

UNIVERSITATEA "POLITEHNICA"  
TIMIȘOARA

BIBLIOTECA CENTRALĂ

Nr. Inv. 629/212

Dulap 369 Lit. A

Universitatea "Politehnica" Timișoara  
de Electronică și Telecomunicații  
Institutul de Electronică Aplicată

**Teza de doctorat**

**Contribuții la conducerea adaptivă a roboților  
prin prelucrarea informației vizuale  
utilizând rețele neuronale celulare**

**Conducător de doctorat**

**prof. dr. ing. Tiponuş Virgil**

**Doctorand**

**ing. Gacsádi Alexandru**

**Timișoara, 2001**

# Mulțumiri

În primul rând mulțumesc conducătorului științific prof. dr. ing. Virgil Tiponut care mi-a fost dascăl, de ajutorul căruia m-am bucurat la fiecare solicitare. Sub conducerea dânsului am avut posibilitatea de a studia în domenii de știință actuale și de a descoperi frumusețea activității de cercetare.

Doresc să mulțumesc domnului acad. dr. ing. Roska Tamás și domnului prof. dr. ing. Szolgay Péter pentru generozitatea lor, pentru ajutorul și resursele materiale valoroase puse la dispoziție în cadrul stagiilor efectuate la Laboratorul de Calcul Analogic și Neuronal de la Institutul de Calculatoare și Automatizări din Budapesta.

Aduc mulțumiri referenților științifici prof. dr. ing. Mircea Ivănescu și prof. dr. ing. Toma Leonida Dragomir pentru observațiile prețioase și sugestiile constructive prin care au contribuit la îmbunătățirea conținutului științific al tezei.

Mulțumesc domnului prof. dr. ing. Teodor Maghiar pentru înțelegerea și sprijinul de care am beneficiat în permanență la locul de muncă în cadrul Universității din Oradea.

Pentru încurajarea și ajutorul primit în pregătirea doctoratului se cuvin mulțumiri domnului prof. dr. Bondor Károly și domnului prof. dr. ing. Teodor Leuca.

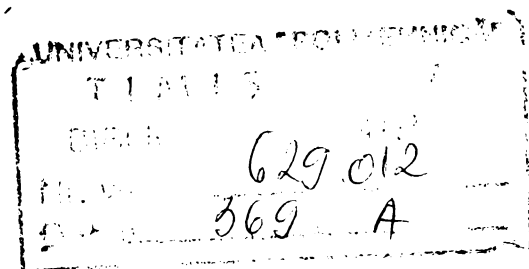
Vreau de asemenea să mulțumesc Colectivului Departamentului de Electronică Aplicată din Timișoara pentru sprijinul acordat pe parcursul anilor.

Mulțumesc profesorilor, prietenilor și colegilor mei, care m-au ajutat în spațiu și în timp mai apropiat sau mai îndepărtat.

Nu în ultimul rând, mulțumesc familiei pentru înțelegerea, răbdarea și sprijinul prin care au participat la elaborarea acestei lucrări.

Oradea, 29.01.2001

BIBLIOTECA CENTRALĂ  
UNIVERSITATEA "POLITEHNICA"  
TIMIȘOARA



Gacsádi Alexandru

# Cuprins

<b>Mulțumiri.....</b>	<b>ii</b>
<b>Cuprins .....</b>	<b>iii</b>
<b>1. Introducere .....</b>	<b>1</b>
<b>2. Rețeaua neuronală celulară .....</b>	<b>7</b>
2.1 Rețeaua neuronală celulară de bază .....	7
2.2 Rețea neuronală celulară invariantă în spațiu .....	13
2.3 Rețele neuronale celulare multistrat.....	15
2.4 Alte variante de rețele neuronale celulare.....	17
2.5 Rețeaua neuronală celulară discretă în timp – DTCNN.....	19
2.6 Rețeaua neuronală celulară standard invariantă în spațiu cu operatori de dimensiune 3*3 .....	21
2.7 Condițiile inițiale și de frontieră ale rețelei neuronale celulare .....	24
2.8 Stabilitatea rețelelor neuronale celulare .....	27
2.9 Proiectarea aplicațiilor cu rețele neuronale celulare .....	30
2.10 Calculatorul universal CNN.....	33
2.11 Mediul de dezvoltare CNN “CadetWin” .....	35
2.12 Circuite integrate CNN .....	37
<b>3. Algoritm analogic CNN pentru urmărirea obiectelor aflate în mișcare .....</b>	<b>39</b>
3.1 Comanda vizuală a unui robot .....	39
3.2 Sistemul robotic utilizat la urmărirea obiectelor aflate în mișcare .....	45
3.3 Algoritm pentru urmărirea obiectelor aflate în mișcare utilizând rețele neuronale celulare .....	47
3.3.1 Selectarea și urmărirea unui obiect dintr-o imagine binară.....	50
3.3.2 Determinarea poziției unui obiect în planul imaginii utilizând rețele neuronale celulare.....	55
3.3.3 Determinarea unghiurilor de referință $\theta_1$ și $\theta_2$ .....	59
3.4 Testarea algoritmului CNN de urmărire a unui obiect aflat în mișcare .....	66
3.5 Un nou algoritm pentru determinarea punctului central al unui obiect utilizând rețele neuronale celulare .....	69
3.6 Concluzii .....	75
<b>4. Interpolarea semnalelor bidimensionale utilizând rețele neuronale celulare .....</b>	<b>77</b>
4.1 Interpolarea semnalelor bidimensionale .....	77
4.2 Mărirea imaginilor cu păstrarea dimensiunilor elementului de imagine .....	80
4.2.1 Principiul interpolării imaginilor.....	80
4.2.2 Interpolarea liniară a imaginilor utilizând rețele neuronale celulare..	81
4.3 Interpolarea imaginilor utilizând rețele neuronale celulare cu operatori de reacție .....	83

4.3.1	Condiții inițiale de proiectare pentru determinarea operatorilor A de reacție utilizați la interpolare .....	83
4.3.2	Interpolare CNN liniară utilizând operator de reacție .....	87
4.3.3	Interpolare CNN pătratică utilizând operator de reacție .....	88
4.3.4	Interpolare CNN spline cubică utilizând operator de reacție .....	89
4.4	Testarea metodelor de interpolare CNN prin simulare .....	92
4.4.1	Mărirea imaginilor cu păstrarea dimensiunilor elementului de imagine .....	92
4.4.1.1	Mărirea imaginilor binare .....	92
4.4.1.2	Creșterea rezoluției imaginilor cu niveluri de gri .....	94
4.4.2	Reconstrucția de imagini prin interpolare .....	94
4.4.2.1	Reconstrucția prin interpolare a imaginilor în care elementele de imagine cu valori cunoscute au o dispunere neregulată.....	94
4.4.2.2	Reconstrucția prin interpolare a imaginilor în care elementele de imagine cu valori cunoscute au o dispunere regulată .....	95
4.4.3	Codarea și decodarea imaginilor prin interpolare .....	97
4.5	Implementarea metodelor de interpolare pe un chip-CNN de 64*64 pixeli ..	99
4.6	Concluzii .....	102
<b>5.</b>	<b>Planificarea traiectoriei unui robot mobil într-un mediu cu obstacole utilizând rețele neuronale celulare .....</b>	<b>103</b>
5.1	Planificarea traiectoriei unui robot mobil într-un mediu cu obstacole.....	103
5.2	Algoritmul CNN de comandă a unui robot mobil cu reacție vizuală bazată pe imagini .....	106
5.3	Planificarea traiectoriei unui robot mobil la deplasarea între două puncte ale unui mediu cu obstacole .....	108
5.3.1	Evaluarea distanțelor punctelor din mediul de lucru față de punctul țintă.....	109
5.3.2	Alegerea direcției optime de deplasare pentru robot.....	111
5.3.3	Deplasarea continuă a robotului pe o direcția aleasă până se asigură apropierea față de țintă.....	113
5.3.4	Planificarea traiectoriei prin determinarea direcției optime la fiecare pas.....	117
5.4	Simularea algoritmului CNN de planificare a traiectoriei unui robot mobil într-un mediu cu obstacole.....	118
5.5	Concluzii .....	119
<b>6.</b>	<b>Concluzii .....</b>	<b>120</b>
6.1	Prezentare sintetică a tezei .....	120
6.2	Contribuții originale.....	122
6.3	Generalizări și direcții de cercetare viitoare .....	126
	<b>Anexe .....</b>	<b>129</b>
	<b>Bibliografia .....</b>	<b>155</b>

# 1. Introducere

Rețeaua neuronală celulară (CNN-Cellular neural network [7,8]) este un procesor analogic cu structură bidimensională sau multidimensională, fiind formată din circuite analogice neliniare identice dispuse regulat, numite celule. Aceste celule interacționează local între ele pe baza unor operatori de care depinde rezultatul prelucrării. Adăugând la aceste procesoare elementare unități de memorie locală, unități de calcul aritmetic și logic respectiv o unitate de programare globală se obține calculatorul universal CNN (CNN-Universal Machine [87]).

Prin implementarea în tehnologia VLSI a acestor calculatoare CNN, prelucrarea semnalului cu rețele neuronale celulare devine complet paralelă și realizabilă în timp real. Astfel, din punctul de vedere al vitezei de calcul, procesarea CNN a semnalelor analogice poate constitui o alternativă avantajoasă față de procesarea semnalelor cu calculatoarele numerice seriale, sau față de alte mijloace hard specializate de procesare paralelă. În anumite clase de aplicații viteza de procesare a semnalelor cu calculatorul CNN poate fi cu până la trei ordine de mărime mai mare față de varianta de prelucrare numerică convențională.

Rețele neuronale celulare se pot utiliza cu succes într-o gamă foarte largă de aplicații [13], un domeniu semnificativ fiind modelarea și analiza sistemelor biologice [102,119]. Prin modelarea funcționării retinei este posibilă înțelegerea, verificarea și exprimarea unor noi ipoteze cu privire la funcționarea acesteia [90]. Pe de altă parte, cunoștințele dobândite permit elaborarea principiilor teoretice ce stau la baza funcționării retinei artificiale [111].

Puterea de calcul deosebită a rețelelor neuronale celulare, echivalentă în domeniul digital cu cca.  $10^{12}$  operații pe secundă, se poate exemplifica și prin capacitatea acestora de a rezolva fără iterații, printr-o singură instrucțiune elementară, ecuații diferențiale [62,91].

Având în vedere structura bidimensională, specifică rețelelor neuronale celulare, rezultă corespondența imediată a fiecărei celule cu un element discret de imagine. De aceea, rețele neuronale celulare se pot utiliza cu succes în prelucrări de imagini, mai ales la procedee care solicită o mare putere de calcul [16,17]. Lucrările publicate în acest domeniu demonstrează posibilitatea utilizării rețelelor neuronale celulare începând de la

prelucrări elementare ale imaginilor [1,71], segmentare [66,86], scheletizare [49], recunoaștere de forme [93], codarea imaginilor [63,98], criptografie [20], realizarea de memorii asociative [3,101], metode de prelucrare a imaginilor bazate pe morfologia matematică [120] și până la prelucrări complexe spațio-temporale [95].

În sens Turing calculatorul CNN este universal, adică prin utilizarea lui se poate rezolva în principiu orice clasă de probleme [11,12,18,109]. Soluționarea cu metode CNN a unei probleme concrete se poate realiza numai după ce aceasta a fost transpusă în mediul CNN. Pentru anumite aplicații complexe nu este posibilă determinarea unui singur set de operatori care să asigure prelucrarea dorită cu ajutorul rețelei neuronale celulare într-o singură etapă și să ofere un rezultat convenabil. În astfel de cazuri, un set de operatori nu este altceva decât o singură instrucțiune elementară iar proiectarea CNN se transformă de fapt în programare CNN cu ajutorul a mai multor instrucțiuni elementare sau subrutine având la bază operatori existenți [20,63,66,92,93,98,100,109].

Practic în orice aplicație care se poate prezenta sub formă de algoritm este posibilă și utilizarea rețelelor neuronale celulare. Însă este evident că, deși procesarea CNN este aplicabilă în orice problemă, utilizarea acesteia nu este eficientă, față de prelucrarea numerică serială, decât într-o clasă restrânsă de probleme. În anumite situații este posibil ca vitezele de prelucrare a celor două metode să fie comparabile. Dacă problema de soluționat reprezintă o parte a unui algoritm complex atunci alegerea variantei de procesare cu rețele neuronale celulare respectiv prelucrarea numerică serială, se face pe baza performanțelor în ansamblu ale celor două procedee preferându-se o structură de prelucrare cât mai omogenă. Metoda de prelucrare CNN se va alege numai dacă majoritatea subrutinelor din algoritm pot fi prelucrate eficient cu rețele neuronale celulare. Astfel, devine important ca în cadrul unor algoritmi complecși fiecare subrutină să se poată realiza cu metode CNN, chiar dacă aparent sunt cu performanțe asemănătoare față de prelucrarea numerică serială.

Cercetările actuale în domeniul rețelelor neuronale celulare sunt orientate pe două direcții principale, interdependente, una cu caracter teoretic și alta cu caracter aplicativ.

Pe plan teoretic, un obiectiv important de cercetare este tocmai dezvoltarea unor algoritmi analogici CNN competitivi. Aplicații utilizând rețele neuronale celulare se regăsesc în cele mai diverse domenii din știință, pentru soluționarea acelor probleme care se pot reduce la prelucrări de semnale bidimensionale. În unele aplicații, procesarea CNN s-a dovedit a fi chiar superioară privind viteza de lucru, față de alte metode care utilizează procesarea numerică serială.

Posibilitatea realizării unor circuite integrate CNN, chiar și pe baza tehnologiei VLSI actuale, se datorează proprietății specifice rețelei neuronale celulare și anume existența numai a unor interacțiuni locale între celule. În acest fel s-a putut evidenția practic avantajul major al procesării CNN complet paralele, care rezultă în cazul implementării pe chip. An de an, în numeroase laboratoare de cercetare din întreaga lume se proiectează, se realizează și se testează circuite integrate specializate care implementează rețele neuronale celulare. Aceste circuite prezintă parametri din ce în ce mai performanți, făcând astfel mai atractiv sub aspect aplicativ mediul de lucru CNN [21,57,68,78].

Pentru o problemă concretă, dintr-o oarecare soluție posibilă, procedeul CNN poate deveni chiar soluția potrivită, cea mai eficientă, numai după implementarea algoritmilor CNN și funcționarea lor robustă pe chip.

Fără posibilitatea implementării pe chip a operatorilor și algoritmilor CNN, acestea nu ar fi decât simple programe de simulare scrise pentru un microprocesor inexistent. Importanța algoritmilor CNN crește considerabil numai după ce sunt validați în urma implementării acestora pe circuite CNN reale.

În cazul implementării unor algoritmi simpli CNN, chiar și circuitul CNN cu numai  $20 \times 22$  de celule s-a dovedit mai eficient din punct de vedere al vitezei de procesare față de prelucrarea serială [21]. La proiectarea de noi circuite CNN se intenționează nu numai creșterea dimensiunilor rețelei dar și extinderea performanțelor acestora, prin utilizarea de imagini mască sau de imagini de polarizare respectiv creșterea preciziei și a robusteții în funcționare [68].

În domeniul cercetărilor aplicative privind rețelele neuronale celulare, prezintă interes deosebit nu numai proiectarea și realizarea de circuite CNN dar și dezvoltarea de mijloace hard și soft utile în elaborarea de aplicații cu asemenea rețele neuronale. Astfel, se menționează mediul de dezvoltare CNN “CadetWin” (CNN application development environment and toolkit under Windows [123]), limbajul propriu de nivel superior “Alpha” (CNN Alpha language and compiler [129]) și limbajul de asamblare “AMC” (Extended analogic macro code and interpreter language and compiler [130]). Aceste mijloace sunt deosebit de utile începând de la elaborările din faza de cercetare teoretică până la evaluarea rezultatelor experimentale pe circuite CNN.

Trebuie subliniată strânsa interdependență între dezvoltarea aspectelor teoretice din domeniul CNN și realizările aplicative susținute de existența unor circuite CNN

performante. Cele două direcții de cercetare se află nu numai într-o competiție continuă, dar și într-o susținere reciprocă.

Rețelele neuronale în general, fiind mijloace adaptive de procesare paralele și distribuită, sunt utilizate cu succes în multe domenii cum ar fi: modelarea adaptivă, recunoașterea de forme, recunoașterea vorbirii sau a scrisului, predicția, clasificarea, optimizarea, comanda roboților și alte aplicații în care problemele sunt imprecise prin însăși natura lor sau descrierea prin metode analitice este dificilă [22,51,52,104,105].

Comanda roboților pe baza informației vizuale sau comanda vizuală ("visual servoing") [15,50,54,80,110,112]) este un domeniu multidisciplinar care include prelucrarea imaginilor, cinematica și dinamica roboților, teoria sistemelor, fiecare dintre acestea fiind domenii de cercetare de sine stătătoare. Pentru a se putea realiza în timp real comanda vizuală a roboților, este necesară o putere de calcul deosebit de ridicată, accesibilă totuși datorită evoluției rapide a calculatoarelor seriale ori prin crearea unor arhitecturi paralele specializate de procesare.

Ca o altă alternativă față de tehnicile convenționale, rețelele neuronale pot fi utilizate la rezolvarea problemelor specifice de la comanda adaptivă a robotului [67,73,82], dar și la controlul pe baza informației vizuale [4,26,107]. S-a arătat că prin utilizarea rețelelor neuronale se poate realiza o poziționare vizuală cu un grad de acuratețe similar cu cel obținut prin tehnici analitice. Rețelele neuronale constituie de asemenea, o disciplină de sine stătătoare, dar prin introducerea acesteia în robotică se intenționează realizarea în timp real a comenzii, creșterea adaptibilității și a preciziei de poziționare a robotului și nicidecum apariția unei dificultăți în plus în abordarea unui domeniu de știință suficient de complex.

Prelucrarea rapidă și robustă a imaginii este deosebit de importantă pentru creșterea adaptabilității și obținerea unei viteze ridicate la comanda vizuală a robotului, de aceea rămâne un subiect de cercetare de certă actualitate [54].

Alături de celelalte aplicații prezentate anterior, rețelele neuronale celulare s-au dovedit eficiente și în alte probleme specifice de prelucrare a imaginilor care se pot utiliza la comanda vizuală a robotului, începând de la extracția unui obiect din imagine [114], detecția de poziție, mișcare, viteză [63,66,69,89,113], navigarea robotului într-un mediu cu obstacole [56,94,98], ori la conducerea propriu-zisă [60].

Scopul cercetării prezentate în această lucrare îl constituie studiul posibilității implementării rețelelor neuronale celulare la conducerea adaptivă a unui robot pe baza informației vizuale.



În cadrul studiului acestor domenii de cercetare se au în vedere atât aspectele legate de creșterea capacității de procesare a semnalelor bidimensionale cu rețele neuronale celulare cât și aspectele legate de posibilitățile dezvoltării comenzii adaptive a roboților bazată pe imagini.

În capitolul 2 se prezintă structura de bază a rețelei neuronale celulare, dar și alte structuri importante derivate din aceasta, care s-au dovedit utile în cele mai diverse aplicații. În acest capitol se face o prezentare generală a noțiunilor teoretice legate de rețelele neuronale celulare. Sunt prezentate definiții, notații și expresii utilizate apoi în capitolele următoare. În finalul acestui capitol se prezintă conceptul general de mașină universală CNN, respectiv cele două variante de chip-CNN care s-au utilizat pentru validarea experimentală a noilor metode de procesare propuse de autor în cadrul acestei teze.

Începând cu capitolul 3 sunt prezentate rezultatele unor cercetări proprii, originale ale autorului în legătură cu posibile utilizări ale rețelelor neuronale celulare la prelucrarea de semnale bidimensionale cu aplicații în robotică. Rezultatele obținute în aceste domenii oferă răspunsuri la unele întrebări cu caracter teoretic și aplicativ.

La elaborarea noilor algoritmi CNN s-a ținut cont permanent de posibilitatea implementării acestora cu ușurință pe cel mai performant chip CNN existent la ora respectivă, având în vedere adevărul demult cunoscut și anume că, performanțele reale practice sunt cele mai edificatoare pentru verificarea oricărei teorii.

În capitolul 3 este prezentat un algoritm CNN original, bazat pe imagini, de urmărire a unui obiect în mișcare cu ajutorul unei camere video montate pe brațul unui robot cu două grade de libertate. Avantajul major al controlului bazat pe imagini față de controlul bazat pe poziții constă în precizia poziționării sistemului care este mai puțin sensibil la erorile de calibrare ale camerei video. Soluțiile propuse pentru fiecare dintre etapele algoritmului pot fi utilizate cu succes și în alte aplicații similare, chiar dacă metodele utilizate pentru prelucrarea imaginilor depind întotdeauna de aplicația concretă, având în vedere că, pentru comanda vizuală a robotului informațiile apriorice sunt deosebit de importante.

Astfel, în prima etapă a algoritmului este prezentată selectarea și urmărirea într-o imagine a unui singur model special cu o suprafață și viteză redusă, caz în care se poate utiliza metoda CNN bazată pe suprafață, metodă suficient de robustă pentru un set mare de distorsiuni ale imaginii și mișcări reduse. Un pas important al algoritmului este determinarea punctului central al unui obiect dintr-o imagine, pentru care se poate

utiliza metoda cunoscută deja din literatura de specialitate, dar pentru soluționarea acestei probleme, se prezintă și un alt nou procedeu original CNN mai rapid. Pentru conducerea brațului de robot bazată pe imagini s-au introdus imaginile (semnalele bidimensionale) de comandă, structura acestora fiind definită pentru mai multe clase de aplicații și tipuri de circuite CNN.

Determinarea imaginilor de comandă necesare pentru conducerea vizuală bazată pe imagini a unui robot se poate realiza și prin interpolare. De aceea, în capitolul 4 se studiază și se propun metode noi, originale, de interpolare a semnalelor bidimensionale, folosind rețele neuronale celulare. Operatorii utilizați la interpolare s-au obținut pe cale analitică și sunt numai operatori liniari de reacție, de dimensiune  $3 \times 3$ , fiind posibilă astfel implementarea imediată a acestui procedeu pe un chip-CNN existent [68]. Astfel, prelucrarea semnalelor se poate efectua în timp real, prin reducerea a numărului de încărcări pe chip a imaginilor inițiale. În acest capitol sunt prezentate, de asemenea, rezultatele verificării experimentale a acestor metode de interpolare la creșterea rezoluției imaginilor binare și cu niveluri de gri, la codarea și decodarea imaginilor în vederea transmiterii lor și la reconstrucția de imagini.

În capitolul 5 se propune o metodă originală CNN de planificare a traiectoriei unui robot mobil cu reacție vizuală bazată pe imagini, într-un mediu de lucru cu obstacole cunoscute, statice sau mobile. La prelucrarea imaginilor, pentru planificarea traiectoriei robotului se utilizează numai rețele neuronale celulare, asigurând obținerea în timp real a mărimii de comandă necesară robotului. Navigarea robotului ocolind obstacolele, de la o poziție inițială de start până la o poziție țintă pe o traiectorie optimă ca lungime și cu număr minim de viraje, se realizează prin metoda globală CNN. Metoda globală CNN, asociată cu nivelul ierarhic superior din conducerea robotului, poate oferi traiectoria planificată optimă nivelului ierarhic inferior din conducerea robotului la navigarea prin metodă locală.

Concluziile finale, contribuțiile autorului și unele direcții de cercetare viitoare sunt prezentate în capitolul 6. Programele scrise în limbaj de asamblare AMC, utilizate pentru soluționarea problemelor descrise în lucrare sunt prezentate în anexele 1-6.

## 2. Rețeaua neuronală celulară

În acest capitol se face o prezentare generală a principalelor noțiuni legate de rețelele neuronale celulare, începând cu structura de bază (CNN-Cellular neural network [7,8]), introdusă prima oară de L.O. Chua și L. Yang în 1988. De atunci, din punct de vedere teoretic și aplicativ acest domeniu s-a îmbogățit continuu și cu alte variante de rețele neuronale celulare, care au dovedit o eficiență deosebită în procesarea spațio-temporală a semnalelor bidimensionale, în timp real. Pe parcursul capitolului se fac referiri la noțiunile teoretice privind asigurarea stabilității rețelei și la metodele actuale utilizate pentru determinarea operatorilor necesari la prelucrarea semnalelor cu rețele neuronale celulare. În centrul atenției aplicațiilor cu rețele neuronale celulare stă posibilitatea implementării algoritmilor pe calculatorul universal CNN (CNN-Universal Machine [87]), prin care prelucrarea devine complet paralelă și realizabilă în timp real. Sunt prezentate, de asemenea, două variante de circuite integrate CNN experimentale, împreună cu mediul de dezvoltare de aplicații "CadetWin" (CNN application development environment and toolkit under Windows [123]), care s-au utilizat la simularea și la testarea pe chip a unor noi algoritmi propuși în capitolele următoare.

### 2.1 Rețeaua neuronală celulară de bază

#### *Definiția 1: Structura rețelei neuronale celulare de bază*

Rețeaua neuronală celulară de bază [7,8,14] este o structură bidimensională rectangulară, fiind formată din circuite analogice identice neliniare, dispuse regulat, numite celule.

În figura 2.1 se prezintă structura unei rețele neuronale celulare de bază monostrat cu M linii și N coloane, de dimensiune  $M \times N$ . Se notează cu  $(i,j)$  coordonatele spațiale carteziene ale celulei  $C(i,j)$  din rețeaua neuronală celulară,  $1 \leq i \leq M$ ;  $1 \leq j \leq N$ .

#### *Definiția 2: Vecinătatea sau sfera de influență a unei celule*

Prin vecinătatea sau sfera de influență de rangul  $r$  a unei celule  $C(i,j)$  se înțelege mulțimea:

$$N_r(i,j) = \{C(k,l) \mid \max\{|k-i|, |l-j|\} \leq r\}, \quad (2.1)$$

unde  $r$  este un număr întreg pozitiv.

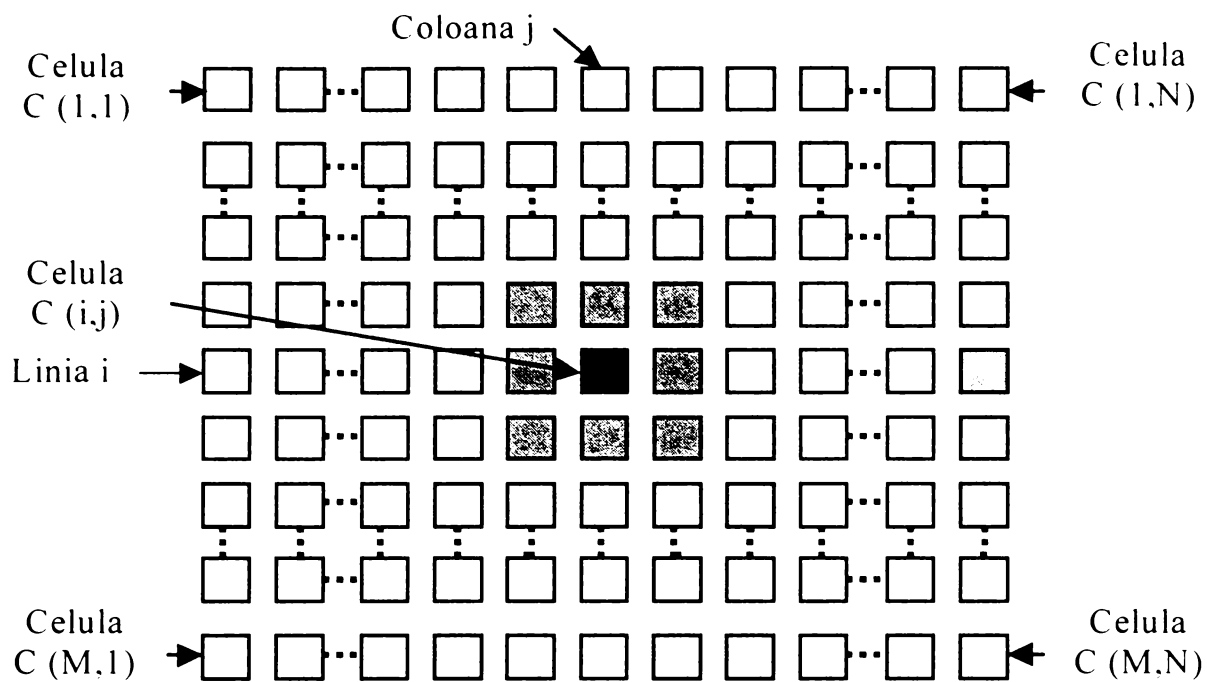


Figura 2.1. Structura de bază a unei rețele neuronale celulare monostrat cu  $M$  linii și  $N$  coloane.

Pentru o celulă  $C(i,j)$  dimensiunea sferei de influență  $N_r$  de rază  $r$  este  $(2r+1) \cdot (2r+1)$ . În figura 2.2 este prezentată sfera de influență a unei celule  $C(i,j)$  de rază  $r=1$  (vecinătate  $3 \cdot 3$ ), respectiv de rază  $r=2$  (vecinătate  $5 \cdot 5$ ).

Sistemul de vecinătăți prezintă proprietatea de simetrie, dacă presupunând că  $C(i,j) \in N_r(k,l)$  atunci și  $C(k,l) \in N_r(i,j)$ , pentru oricare  $C(i,j)$  și  $C(k,l)$  din rețeaua neuronală celulară.

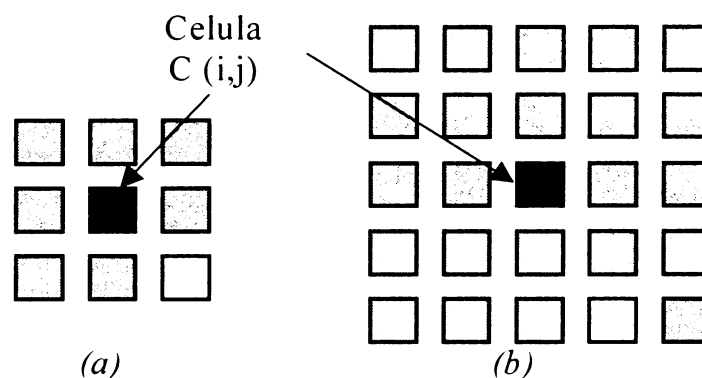


Figura 2.2. Vecinătatea unei celule  $C(i,j)$ : a) de rază  $r=1$  (vecinătate  $3 \cdot 3$ );  
b) de rază  $r=2$  (vecinătate  $5 \cdot 5$ ).

O celulă este conectată în mod direct numai cu acele celule din rețea care se află în sfera ei de influență. Conexiunile dintre celule se realizează pe baza unor operatori denumiți “template” în literatura de specialitate CNN. Acești operatori au semnificația unor matrice de pondere sau de conexiune.

### **Observații:**

1.) Celulele neconectate în mod direct între ele pot comunica datorită efectului de propagare a interacțiunilor locale dintre celule, pe durata regimului tranzitoriu din rețea. Astfel, cu toate că interconectările dintre celule sunt numai locale, se constată că utilizând rețelele CNN pot fi extrase și proprietăți globale ale semnalelor procesate.

2.) Pentru  $r=N-1$  și  $M=N$  se obține rețeaua neuronală celulară complet conectată, unde fiecare celulă este conectată cu fiecare celulă, adică sfera de influență pentru o celulă este toată rețeaua. În această situație rezultă de fapt rețeaua neuronală de tip Hopfield [51].

### **Definiția 3: Celule interne, celule de margine și extreme**

Se consideră  $C(i,j)$  o celulă internă a unei rețele dacă toate celulele  $C(k,l) \in N_r(i,j)$  din vecinătatea acesteia sunt incluse în acea rețea. În caz contrar, celulele sunt de margine sau extreme.

În figura 2.3 se prezintă pozițiile celulelor extreme și de margine.

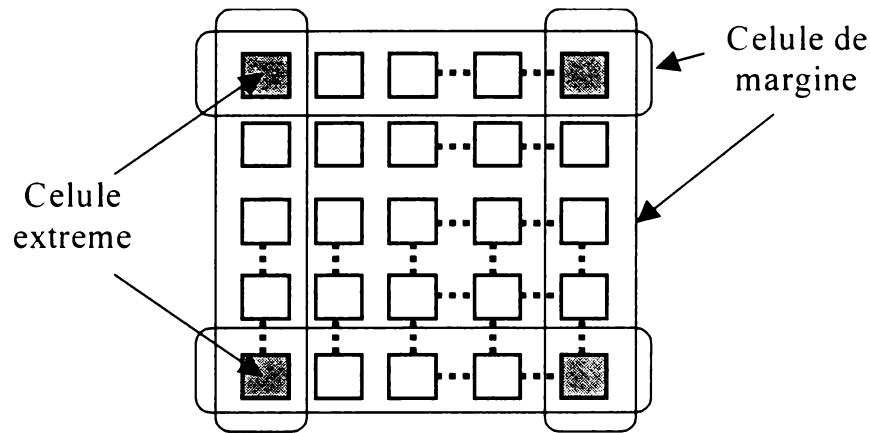


Figura 2.3. Pozițiile celulelor extreme și de margine.

### **Definiția 4: Circuitul electric de bază al unei celule interne**

Structura circuitului electric aferent fiecărei celule  $C(i,j)$  este prezentată în figura 2.4.

Se constată prezența a 3 noduri caracterizate respectiv de tensiunea de intrare  $v_{uij}$ , tensiunea de stare  $v_{xij}$  și tensiunea de ieșire  $v_{yij}$ .

Circuitul electric al fiecărei celule  $C(i,j)$  include următoarele elemente:

- sursa de tensiune independentă  $E_{ij}$ , care constituie mărimea de intrare a celulei;
- o sursă de curent continuu independentă  $I$ , reprezentând polarizarea;
- sursele liniare de curent comandate în tensiune,  $I_{xu}$ ,  $I_{xy}$ , și  $I_{yx}$ ;

- rezistențele  $R_x$ ,  $R_y$  și o capacitate  $C$ . Parametri elementelor de circuit  $I$ ,  $C$ ,  $R_x$ ,  $R_y$  sunt identici pentru fiecare celulă.

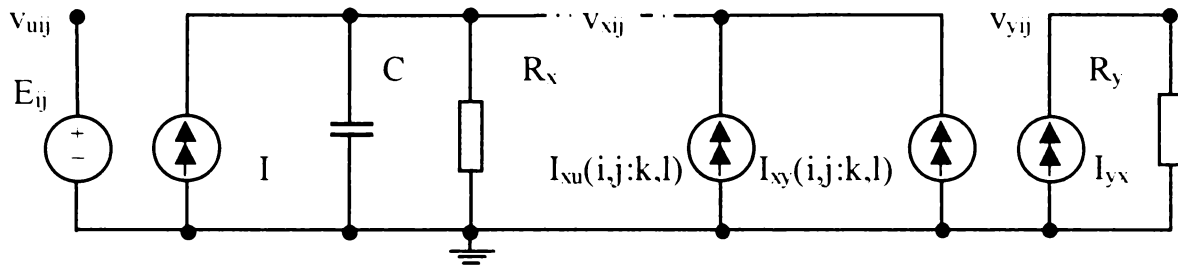


Figura 2.4. Structura circuitului electric pentru o celulă  $C(i,j)$ .

Sursele de curent  $I_{xu}$ ,  $I_{xy}$  sunt comandate cu tensiunile de intrare  $v_{ukl}$  (reacție directă) respectiv cu tensiunile de ieșire  $v_{ykl}$  (reacția inversă) ale celulelor  $C(k,l) \in N_r(i,j)$  din vecinătatea de rază  $r$  a celulei  $C(i,j)$ .

Valoarea curentului furnizat de sursele comandate este dată de relațiile:

$$I_{xu}(i,j;k,l) = B(i,j;k,l)v_{ukl}, \quad (2.2)$$

$$I_{xy}(i,j;k,l) = A(i,j;k,l)v_{ykl}, \quad (2.3)$$

în care  $C(i,j) \in N_r(k,l)$  pentru  $1 \leq i \leq M$ ;  $1 \leq j \leq N$ , iar  $A$  și  $B$  sunt operatori sau template.  $A(i,j;k,l)$  se numește operatorul de comandă al ieșirii prin reacție inversă denumit pe scurt operator de reacție, iar  $B(i,j;k,l)$  este operator de comandă al intrării prin reacție directă, sau operator de comandă.

Sursa neliniară de curent comandată în tensiune, de la ieșire, este caracterizată de relația:

$$I_{yx} = \frac{1}{R_y} f(v_{xij}), \quad (2.4)$$

$$\text{în care } f(v) = \frac{1}{2} [|v+1| - |v-1|]. \quad (2.5)$$

Reprezentarea grafică a funcției  $f(v)$  este prezentată în figura 2.5.

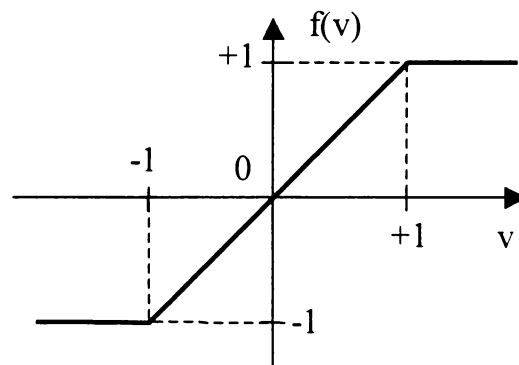


Figura 2.5. Caracteristica de transfer  $f(v)$ .

### **Definiția 5: Rețeaua neuronală celulară standard**

Evoluția stării fiecărei celule interne  $C(i,j)$  este caracterizată de următoarele relații, care rezultă pe baza figurii 2.4:

- ecuația de stare (2.6)

$$C \frac{dv_{xij}(t)}{dt} = -\frac{1}{R_x} v_{xij}(t) + \sum_{C(k,l) \in N_r(i,j)} A(i,j;k,l) v_{ykl}(t) + \sum_{C(k,l) \in N_r(i,j)} B(i,j;k,l) v_{ukl}(t) + I$$

- ecuația de intrare

$$v_{uij} = E_{ij}; \quad (2.7)$$

- ecuația de ieșire

$$v_{yij}(t) = \frac{1}{2} \left[ |v_{xij}(t) + 1| - |v_{xij}(t) - 1| \right]; \quad (2.8)$$

- condiții inițiale (2.9)

$$|v_{xij}(0)| \leq 1 \text{ și } |v_{uij}(t)| \leq 1;$$

$$A(i,j;k,l) = A(k,l;i,j);$$

$$C > 0 \text{ și } R_x > 0,$$

pentru  $1 \leq i,k \leq M$  și  $1 \leq j,l \leq N$  cu  $C(k,l) \in N_r(i,j)$ .

#### **Observații:**

1.) Alegând valori convenabile, din considerente tehnologice, pentru elementele de circuit  $R_x$ ,  $R_y$  și  $C$ , există posibilitatea implementării VLSI a unor astfel de rețele neuronale celulare.

2.) Valoarea maximă a tensiunii de stare pentru orice celulă și în orice moment pe durata regimului tranzitoriu este limitată [7]:

$$|v_{ij}(t)|_{\max} = V_{\max} = 1 + R_x I + R_x \max_{C(k,l) \in N_r(i,j)} \left[ \sum \{ |A(i,j;k,l)| + |B(i,j;k,l)| \} \right]. \quad (2.10)$$

3.) Structura bidimensională a unei rețele neuronale de bază sugerează ideea asocierii acesteia cu o imagine, fiecare celulă corespunzând unui pixel. Mai mult decât atât, pot fi asociate imagini corespunzătoare stării rețelei (STATE), intrării (INPUT) și respectiv ieșirii (OUTPUT). În această lucrare se va utiliza pentru modelul unei rețele neuronale celulare această asociere cu imagini.

4.) Pentru respectarea condițiilor inițiale impuse unei rețele neuronale celulare, relațiile (2.9), valorile elementelor de imagine se normalizează după cum urmează:

- în cazul unei imagini binare se asociază pentru nivelul alb valoarea  $-1$  și valoarea  $+1$  pentru nivelul negru al unui pixel;
  - la o imagine cu niveluri de gri (gray-scale) se asociază pentru nivelul pixelilor de la alb la negru domeniul de valori  $[-1,+1]$  (domeniul valorilor standard CNN).
- 5.) Circuitul electric are constanta de timp a regimului tranzitoriu:  $\tau_{CNN}=C \cdot R_x$ .



## 2.2 Rețea neuronală celulară invariantă în spațiu

În expresiile matematice (2.2)-(2.9), care descriu evoluția în timp a stării rețelei neuronale celulare, s-au folosit notațiile  $v$  pentru potențialul într-un nod de circuit și  $I$  în cazul surselor de curent, pentru a sublinia posibilitatea reală a implementării acestora pe un chip [13.76]. În scopul simplificării descrierii rețelelor neuronale celulare se utilizează frecvent forma normalizată, în care  $R_x$ ,  $R_y$  și  $C$  au valori unitare.

În acest caz evoluția stării fiecărei celule interne  $C_{ij}$ , pentru  $1 \leq i \leq M$ ;  $1 \leq j \leq N$ , va fi caracterizată de următoarele expresii:

- ecuația de stare

$$\dot{x}_{ij} = -x_{ij} + \sum_{C_{kl} \in N_r} A_{ij,kl} y_{kl} + \sum_{C_{kl} \in N_r} B_{ij,kl} u_{kl} + z_{ij}; \quad (2.11)$$

- ecuația de ieșire

$$y_{ij} = f(x_{ij}) = \frac{1}{2} \left[ |x_{ij} + 1| - |x_{ij} - 1| \right]; \quad (2.12)$$

- condiții inițiale

$$|x_{ij}(0)| \leq 1 \text{ și } |u_{ij}(t)| \leq 1. \quad (2.13)$$

unde  $u_{ij}$  reprezintă intrarea,  $x_{ij}$  reprezintă starea, iar  $y_{ij}$  reprezintă ieșirea.

Operatorul de reacție s-a notat cu  $A_{ij,kl}$ ,  $B_{ij,kl}$  reprezintă operatorul de comandă, iar  $z_{ij}$  semnifică polarizarea, (“threshold”, “bias” sau “current”).

Celulele  $C_{kl}$  sunt din vecinătatea de rază  $r$  a celulei  $C_{ij}$ , adică  $C_{kl} \in N_r$ .

### **Definiția 6: Rețea neuronală celulară invariantă în spațiu**

O rețea neuronală celulară este invariantă în spațiu sau izotropică dacă operatorii  $A_{ij,kl}$ ,  $B_{ij,kl}$ ,  $z_{ij}$ , nu depind de indicii  $(i,j)$ .

În acest caz:

$$\sum_{C_{kl} \in N_r} A_{ij,kl} y_{kl} = \sum_{|k-i| \leq r} \sum_{|l-j| \leq r} A_{k-i, l-j} y_{kl}, \quad (2.14)$$

$$\sum_{C_{kl} \in N_r} B_{ij,kl} u_{kl} = \sum_{|k-i| \leq r} \sum_{|l-j| \leq r} B_{k-i, l-j} u_{kl}, \quad (2.15)$$

$$z_{ij} = z. \quad (2.16)$$

Mărimile  $A_{ij,kl}$ ,  $B_{ij,kl}$  și  $z_{ij}$  se vor considera invariante în spațiu și în timp în toate cazurile, dacă nu se specifică altfel.

Operatorii frecvent utilizați în rețelele neuronale celulare pot fi clasificați după cum urmează [14]:

1.) Operatorul liniar de reacție  $A_{ij,kl}$  cu elemente constante din mulțimea numerelor reale,  $a_{kl} \in \mathbf{R}$ .

2.) Operatorul liniar de comandă  $B_{ij,kl}$  cu elemente constante din mulțimea numerelor reale,  $b_{kl} \in \mathbf{R}$ .

3.) Operatorul neliniar de reacție  $A_{ij,kl}$  pentru care:

$A_{ij,kl}y_{kl}=a(y_{ij})$ , funcție de valoarea la ieșire a celulelor,  $y_{ij}$ ,

$A_{ij,kl}y_{kl}=a(y_{kl})$ , funcție de valoarea la ieșire a celulelor,  $y_{kl}$ ,

$A_{ij,kl}y_{kl}=a(y_{ij} \oplus y_{ij})$ , funcție de combinațiile valorilor de ieșire a celulelor,

$y_{ij}$ ,  $y_{kl}$ , unde “ $\oplus$ ” poate reprezenta operația de adunare, scădere sau produs.

4.) Operatorul neliniar de comandă  $B_{ij,kl}$  pentru care:

$B_{ij,kl}u_{kl}=b(u_{ij})$ , funcție de valoarea la intrarea celulelor,  $u_{ij}$ ,

$B_{ij,kl}u_{kl}=b(u_{kl})$ , funcție de valoarea la intrarea celulelor,  $u_{kl}$ ,

$B_{ij,kl}u_{kl}=b(u_{ij} \oplus u_{ij})$ , funcție de combinațiile valorilor de intrare a celulelor,

$u_{ij}$ ,  $u_{kl}$ , unde  $\oplus$  poate reprezenta operația de adunare, scădere, sau produs.

5.) Se poate introduce operatorul de tip  $C_{ij,kl}$  care este de forma:

$C_{ij,kl}x_{kl}=c(x_{ij})$ , funcție de valoarea de stare a celulelor,  $x_{ij}$ ,

$C_{ij,kl}x_{kl}=c(x_{kl})$ , funcție de valoarea de stare a celulelor,  $x_{kl}$ ,

$C_{ij,kl}x_{kl}=c(x_{ij} \oplus x_{ij})$ , funcție de combinațiile valorilor de stare a celulelor,

$x_{ij}$ ,  $x_{kl}$ , unde “ $\oplus$ ” poate reprezenta operația de adunare, scădere, sau produs.

6.) Uneori se utilizează operatorul cel mai general, de tip  $D_{ij,kl}$ , care este de forma:

$D_{ij,kl}=d(u_{ij}, x_{ij}, y_{ij}, u_{kl}, x_{kl}, y_{kl})$ .

În argumentul funcției  $d$ , între valorile celulelor de intrare, de stare și de ieșire poate exista operația de adunare, scădere, sau produs.

Având în vedere tipurile de operatori prezentați mai sus, ecuația diferențială de stare pentru rețeaua neuronală celulară standard devine:

$$\begin{aligned} \dot{x} = & -x_{ij} + \sum_{C_{kl} \in N_r} A_{ij,kl} y_{kl} + \sum_{C_{kl} \in N_r} B_{ij,kl} u_{kl} + z_{ij} + \\ & + \sum_{C_{kl} \in N_r} C_{ij,kl} x_{kl} + \sum_{C_{kl} \in N_r} D_{ij,kl}(u_{kl}, x_{kl}, y_{kl}). \end{aligned} \quad (2.17)$$

## 2.3 Rețele neuronale celulare multistrat

Noțiunile definite în cazul rețelelor bidimensionale pot fi generalizate cu ușurință pentru cazul cu mai multe dimensiuni, rezultând astfel rețelele multidimensionale [7.8.48].

### **Definiția 7: Rețele neuronale celulare multistrat**

Pentru o rețea neuronală celulară multistrat, ecuația de stare poate fi exprimată sub forma vectorială:

$$\mathbf{C} \frac{d \mathbf{x}_{ij}(t)}{dt} = -\mathbf{R}_x^{-1} \otimes \mathbf{x}_{ij}(t) + \mathbf{A} \otimes \mathbf{y}_{ij}(t) + \mathbf{B} \otimes \mathbf{u}_{ij} + \mathbf{z}_{ij}, \quad (2.18)$$

în care “ $\otimes$ ” reprezintă operatorul de convoluție spațială. Numărul  $L$  al straturilor, este un întreg pozitiv,  $L \in \mathbf{N}$ , iar indicele stratului este  $l, l = 1, 2, \dots, L$ .

Capacitatea  $\mathbf{C}$ , și rezistențele  $\mathbf{R}_x$  sunt matrice diagonale de forma:

$$\mathbf{C} = \begin{bmatrix} C_1 & 0 & 0 & 0 & 0 \\ 0 & C_2 & 0 & 0 & 0 \\ \cdot & \cdot & \cdot & \cdot & \cdot \\ \dot{0} & \dot{0} & \dot{C}_1 & \dot{0} & \dot{0} \\ \cdot & \cdot & \cdot & \cdot & \cdot \\ \dot{0} & \dot{0} & \dot{0} & C_{L-1} & \dot{0} \\ 0 & 0 & 0 & 0 & C_L \end{bmatrix}, \quad (2.19)$$

$$\mathbf{R}_x = \begin{bmatrix} R_{x1} & 0 & 0 & 0 & 0 \\ 0 & R_{x2} & 0 & 0 & 0 \\ \cdot & \cdot & \cdot & \cdot & \cdot \\ \dot{0} & \dot{0} & R_{xl} & \dot{0} & \dot{0} \\ \cdot & \cdot & \cdot & \cdot & \cdot \\ \dot{0} & \dot{0} & \dot{0} & R_{xL-1} & \dot{0} \\ 0 & 0 & 0 & 0 & R_{xL} \end{bmatrix}, \quad (2.20)$$

iar operatorii  $\mathbf{A}$ ,  $\mathbf{B}$  sunt matrice triunghiulare:

$$\mathbf{A} = \begin{bmatrix} A_{1,1} & A_{1,2} & A_{1,1} & A_{1,L-1} & A_{1,L} \\ A_{2,1} & A_{2,2} & A_{2,1} & A_{2,L-1} & A_{2,L} \\ \vdots & \vdots & \vdots & \vdots & \vdots \\ A_{l,1} & A_{l,2} & A_{l,1} & A_{l,L-1} & A_{l,L} \\ \vdots & \vdots & \vdots & \vdots & \vdots \\ A_{L-1,1} & A_{L-1,2} & A_{L-1,2} & A_{L-1,L-1} & A_{L-1,L} \\ A_{L,1} & A_{L,2} & A_{L,1} & A_{L,L-1} & A_{L,L} \end{bmatrix}, \quad (2.21)$$

$$\mathbf{B} = \begin{bmatrix} B_{1,1} & B_{1,2} & B_{1,1} & B_{1,L-1} & B_{1,L} \\ B_{2,1} & B_{2,2} & B_{2,1} & B_{2,L-1} & B_{2,L} \\ \vdots & \vdots & \vdots & \vdots & \vdots \\ B_{l,1} & B_{l,2} & B_{l,1} & B_{l,L-1} & B_{l,L} \\ \vdots & \vdots & \vdots & \vdots & \vdots \\ B_{L-1,1} & B_{L-1,2} & B_{L-1,2} & B_{L-1,L-1} & B_{L-1,L} \\ B_{L,1} & B_{L,2} & B_{L,1} & B_{L,L-1} & B_{L,L} \end{bmatrix}. \quad (2.22)$$

Mărimile  $u_{ij}$ ,  $x_{ij}$ ,  $y_{ij}$   $z_{ij}$  sunt date de expresiile:

$$\mathbf{u}_{ij} = \begin{bmatrix} u_{ij1} \\ u_{ij2} \\ \vdots \\ u_{ijl} \\ \vdots \\ u_{ijL-1} \\ u_{ijL} \end{bmatrix}, \quad \mathbf{x}_{ij} = \begin{bmatrix} x_{ij1} \\ x_{ij2} \\ \vdots \\ x_{ijl} \\ \vdots \\ x_{ijL-1} \\ x_{ijL} \end{bmatrix}, \quad \mathbf{y}_{ij} = \begin{bmatrix} y_{ij1} \\ y_{ij2} \\ \vdots \\ y_{ijl} \\ \vdots \\ y_{ijL-1} \\ y_{ijL} \end{bmatrix}, \quad \mathbf{z}_{ij} = \begin{bmatrix} z_{ij1} \\ z_{ij2} \\ \vdots \\ z_{ijl} \\ \vdots \\ z_{ijL-1} \\ z_{ijL} \end{bmatrix}. \quad (2.23)$$

**Observații:**

- 1.) În majoritatea cazurilor, pentru elementele  $R_x$ ,  $R_y$  și  $C$  din diferitele straturi, se utilizează valori identice.
- 2.) Caracteristicile rețelelor multistrat, cum ar fi stabilitatea, sunt similare cu cele ale rețelelor monostrat.
- 3.) Dacă nu există operatori de reacție între straturi, funcția realizată de rețeaua neuronală multistrat se poate implementa prin prelucrare secvențială cu o rețea neuronală monostrat.

## 2.4 Alte variante de rețele neuronale celulare

Pentru unele aplicații mai complexe pot fi definite variante speciale de rețele neuronale celulare.

1.) În cazul cel mai general, mărimile  $A_{ij,kl}$ ,  $B_{ij,kl}$ ,  $z_{ij}$  sunt variabile în spațiu (depind de coordonatele  $(i,j)$ ) respectiv se pot modifica în funcție de variabila de timp [48].

2.) Dacă mărimea de polarizare  $z_{ij}$  se face dependentă de poziția din rețea, rezultă o posibilitate suplimentară pentru a comanda rețeaua neuronală celulară. Imaginea asociată ("bias-map") influențează regimul tranzitoriu al rețelei [59] și prin urmare determină, alături de imaginile de intrare respectiv de stare, comportamentul rețelei.

3.) Operatorul de reacție  $A_{ij,kl}$  este cu întârziere [88]:

$A_{ij,kl}^{\tau} y_{kl}(t - \tau)$  cu posibilitatea dependenței întârzierii de poziție, adică:  $\tau = \tau_{kl}$ .

4.) Operatorul de comandă  $B_{ij,kl}$  este cu întârziere [88]:

$B_{ij,kl}^{\tau} u_{kl}(t - \tau)$  cu posibilitatea dependenței întârzierii de poziție, adică:  $\tau = \tau_{kl}$ .

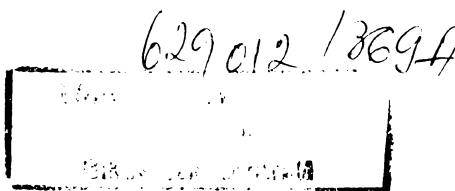
5.) Rețele neuronale celulare cu imagine mască ("MASK image").

În cazul unei rețele neuronale celulare de dimensiune  $M \times N$ , se asociază imaginii de stare, o imaginea mască, având aceeași dimensiune. Pentru anumite valori ale pixelilor din imaginea mască nu se permite modificarea în timpul procesului de prelucrare a valorilor elementelor de imagine din pozițiile identice ale imaginii de stare.

De exemplu, considerând cazul unei imagini mască binară, pixelii din imaginea de stare își pot modifica valoarea în timpul procesului tranzitoriu, dacă în imaginea mască le corespunde în aceeași poziție un element cu valoare +1. Dacă în imaginea mască un pixel este de valoare -1, elementul identic ca poziție din imaginea de stare nu-și va putea schimba valoarea.

6.) Prin discretizare temporală, ecuația diferențială de stare a unei celule poate fi aproximată cu o ecuație cu diferențe finite: (2.24)

$$\bullet \frac{1}{h} [x_{ij}((n+1)h) - x_{ij}(nh)] = -x_{ij}(nh) + \sum_{C_{kl} \in N_r} A_{ij,kl} y_{kl}(nh) + \sum_{C_{kl} \in N_r} B_{ij,kl} u_{kl}(nh) + z_{ij}$$



În relația de mai sus  $t=n \cdot h$  este variabila discretă de timp,  $h$  este pasul de eșantionare iar  $n$  este un număr natural. Totodată funcția de transfer  $f(v)$ , relația (2.5), se modifică în consecință, astfel că mărimea la ieșire va fi dată de relația: (2.25)

$$\bullet \quad y_{ij}(nh) = 0.5(|x_{ij}(nh) + 1| - |x_{ij}(nh) - 1|) \equiv f[x_{ij}(nh)], \text{ pentru } 1 \leq i \leq M; 1 \leq j \leq N.$$

Pe baza acestor ecuații, operația realizată de rețea poate fi interpretată ca fiind similară unui filtru nelinier bidimensional, care transformă o imagine de stare  $x(nh)$  într-o altă imagine  $x[(n+1)h]$ . Dacă operatorii  $(A, B, z)$  sunt invariabili în spațiu filtrul este de asemenea invariant în spațiu. Deoarece filtrarea realizată între două momente discrete succesive se poate folosi doar la detecția de proprietăți locale, pentru extragerea de proprietăți globale sunt necesare mai multe iterații.

Vecinătatea  $N_{nr}$  este de  $n$  ori mai mare decât vecinătatea  $N_r$  astfel încât pentru un număr  $n$  de iterații suficient de mare, vecinătatea  $N_{nr}$ , va cuprinde toată imaginea indiferent de valorile lui  $(i,j)$  și  $r$ . Așadar, proprietatea de propagare oferă posibilitatea extragerii și a unor caracteristici globale ale imaginilor, cu păstrarea proprietăților locale, vecinii apropiați având efecte multiple față de cei îndepărtați.

7.) Pentru funcțiile de transfer de la stare către ieșire, pot fi folosite în afară de funcția  $f(v)$  liniară pe porțiuni și alte funcții cum ar fi: funcția sigmoidă, funcția Gauss funcția signum, funcția cu pantă negativă.

8.) Dispunerea celulelor în strat respectiv modul de interconectare a unei celule cu celulele din vecinătate poate căpăta și alte forme decât cea specifică rețelei cu structură rectangulară. Unele exemple sunt prezentate în figura 2.6 [88].

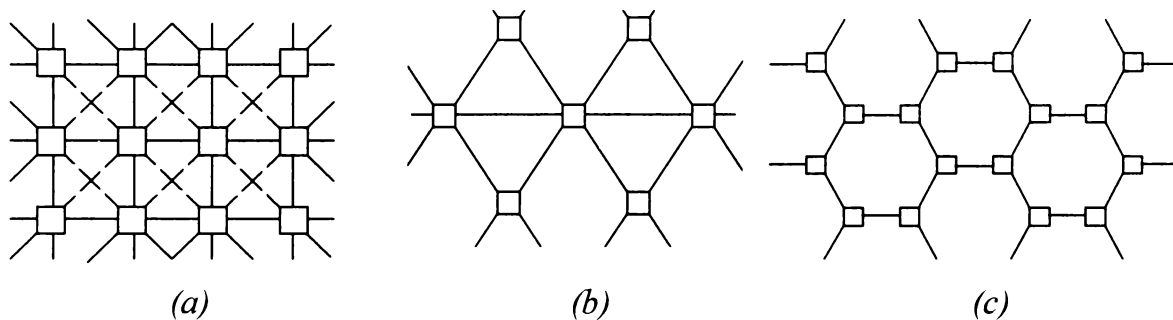


Figura 2.6. Structuri de vecinătăți CNN: (a) structura rectangulară; (b) structura triunghiulară; (c) structura hexagonală.

9.) Interacțiunile dintre celule pot fi perturbate uneori de zgomote. Pentru a evidenția acest lucru, se poate însuma în paralel cu intrarea, cu starea sau cu ieșirea fiecărei celule o sursă de curent de zgomot,  $\eta_{ij}(t)$ .

## 2.5 Rețeaua neuronală celulară discretă în timp – DTCNN

### Definiția 8: Rețeaua neuronală celulară discretă în timp

Rețeaua neuronală celulară discretă în timp (DTCNN-Discrete time cellular neural network) [47.48] este definită de relațiile:

- ecuația de stare

$$v_x^c = R_x(A_d^c v_y^d(kT) + B_d^c v_u^d + I^c); \quad (2.26)$$

- ecuația de ieșire

$$v_y^c(kT) = f(v_x^c((k-1)T)) = \begin{cases} +1 & \text{dacă } v_x^c(k-1) > 0 \\ -1 & \text{dacă } v_x^c(k-1) < 0 \end{cases}. \quad (2.27)$$

În expresiile de mai sus  $v_u^c$ ,  $v_x^c$ ,  $v_y^c$  reprezintă tensiunile din nodurile circuitului electric corespunzător unei celule "c" din rețea.  $A_d^c$ ,  $B_d^c$ ,  $I^c$  reprezintă operatorul de reacție, de comandă, respectiv polarizarea corespunzătoare unei celule "c" din rețea, cu vecinătatea "d".

În figura 2.7 se prezintă schema electrică corespunzătoare unei celule din rețeaua neuronală celulară discretă în timp. Prin  $(kT)$  a fost notată variabila de timp discretă.

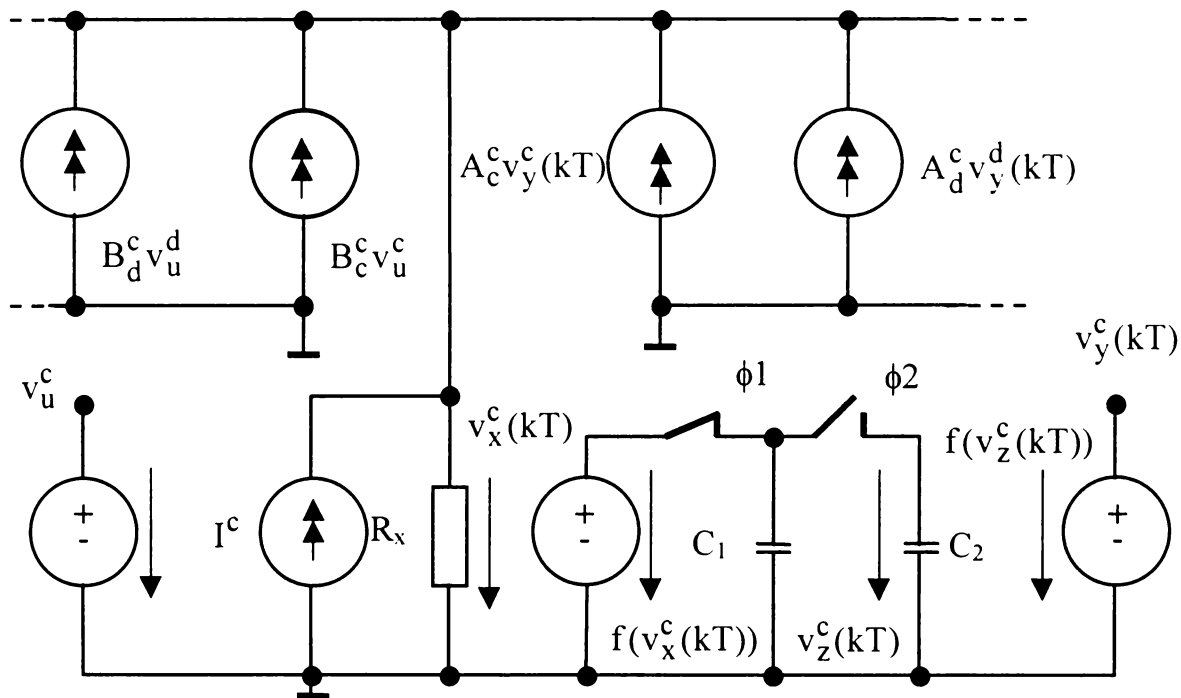


Figura 2.7. Schema electrică corespunzătoare unei celule din rețeaua neuronală celulară discretă în timp – DTCNN.

La rețeaua neuronală celulară discretă în timp pentru fiecare secvență de timp se obține o stare stabilă de ieșire, fapt ce simplifică considerabil simularea pe calculator a comportării rețelei [29]. O iterație completă se obține la finele perioadei semnalelor de comandă  $\Phi 1$  și  $\Phi 2$  (figura 2.8), după cum urmează.

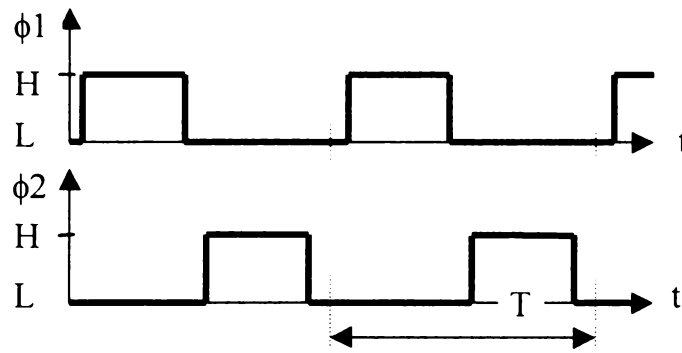


Figura 2.8. Semnalele de tact pentru o rețea discretă în timp.

Dacă  $\Phi 1$  este pe nivel "H" capacitatea  $C_1$  se încarcă la nivelul  $+V_{sat}$  sau  $-V_{sat}$ . Când  $\Phi 2$  atinge nivelul "H" capacitățile  $C_1$  și  $C_2$  vor fi conectate în paralel și în consecință:

$$v_z^c(kT) = \frac{C_1 f(v_x^c((k-1)T)) + C_2 f(v_z^c((k-1)T))}{C_1 + C_2}. \quad (2.28)$$

Sursele de tensiune controlate în tensiune  $f(v_x^c(kT))$  și  $f(v_z^c(kT))$  au caracteristici neliniare definite de relația:

$$f(v) = \begin{cases} V_{sat} & \text{dacă } v > 0 \\ -V_{sat} & \text{dacă } v < 0 \end{cases} \quad (2.29)$$

**Observații:**

- 1.) Față de rețeaua neuronală celulară analogică de bază, în cazul rețelei neuronale celulare discrete în timp ieșirile pot avea numai valorile binare  $+1$  sau  $-1$ .
- 2.) Înaintea unei iterații complete se poate defini și imaginea de ieșire  $y^c(0) \in [-1, 1]$ . Aceasta se poate considera ca o nouă imagine inițială, alături de imaginea de intrare și imaginea de stare.
- 3.) Operatorii pot fi continui, dependenți sau independenți de variabila timp.
- 4.) Rețelele neuronale celulare discrete în timp sunt robuste la toleranțele elementelor de circuit.
- 5.) Prin modificarea frecvenței semnalelor de tact se poate controla viteza de lucru a rețelei.



## 2.6 Rețeaua neuronală celulară standard invariantă în spațiu cu operatori de dimensiune 3\*3

În marea majoritate a aplicațiilor se utilizează rețeaua neuronală celulară standard invariantă în spațiu și cu operator de dimensiune 3\*3, sau operatori reductibile la această dimensiune. În aceste cazuri se folosesc următoarele convenții de notare [13,14]:

- vecinătatea de rază 1 a unei celule  $C_{ij}$ , adică  $C_{kl} \in N_1$ ,

$$C_{kl} = \begin{bmatrix} c_{i-1,j-1} & c_{i-1,j} & c_{i-1,j+1} \\ c_{i,j-1} & c_{i,j} & c_{i,j+1} \\ c_{i+1,j-1} & c_{i+1,j} & c_{i+1,j+1} \end{bmatrix}; \quad (2.30)$$

- operatorul de reacție:

$$A = \begin{bmatrix} a_{-1,-1} & a_{-1,0} & a_{-1,+1} \\ a_{0,-1} & a_{0,0} & a_{0,+1} \\ a_{+1,-1} & a_{+1,0} & a_{+1,+1} \end{bmatrix}; \quad (2.31)$$

- operatorul de comandă

$$B = \begin{bmatrix} b_{-1,-1} & b_{-1,0} & b_{-1,+1} \\ b_{0,-1} & b_{0,0} & b_{0,+1} \\ b_{+1,-1} & b_{+1,0} & b_{+1,+1} \end{bmatrix}, \quad (2.32)$$

$$\begin{aligned} \sum_{C_{kl} \in N_r} A_{ij,kl} y_{kl} &= \sum_{|k-i| \leq 1} \sum_{|l-j| \leq 1} A_{k-i,l-j} y_{kl} = \sum_{k=-1}^1 \sum_{l=-1}^1 a_{kl} y_{i+k,j+l} \\ &= a_{-1,-1} y_{i-1,j-1} + a_{-1,+1} y_{i-1,j+1} + a_{+1,+1} y_{i+1,j+1} + a_{+1,-1} y_{i+1,j-1} + \\ &+ a_{-1,0} y_{i-1,j} + a_{+1,0} y_{i+1,j} + a_{0,-1} y_{i,j-1} + a_{0,+1} y_{i,j+1} + a_{0,0} y_{i,j} \stackrel{\text{def}}{=} A \otimes Y_{ij} \end{aligned} \quad (2.33)$$

$$\begin{aligned} \sum_{C_{kl} \in N_r} B_{ij,kl} u_{kl} &= \sum_{|k-i| \leq 1} \sum_{|l-j| \leq 1} B_{k-i,l-j} u_{kl} = \sum_{k=-1}^1 \sum_{l=-1}^1 b_{kl} u_{i+k,j+l} \\ &= b_{-1,-1} u_{i-1,j-1} + b_{-1,+1} u_{i-1,j+1} + b_{+1,+1} u_{i+1,j+1} + b_{+1,-1} u_{i+1,j-1} + \\ &+ b_{-1,0} u_{i-1,j} + b_{+1,0} u_{i+1,j} + b_{0,-1} u_{i,j-1} + b_{0,+1} u_{i,j+1} + b_{0,0} u_{i,j} \stackrel{\text{def}}{=} B \otimes U_{ij} \end{aligned} \quad (2.34)$$

În cele de mai sus s-a notat cu “ $\otimes$ ” operația de convoluție spațială.

Prin înlocuirea sumelor de corelație în expresia ecuației diferențiale de stare, corespunzătoare unei celule, rezultă:

$$\dot{x} = -x_{ij} + A \otimes Y_{ij} + B \otimes U_{ij} + z. \quad (2.35)$$

Operația pe care o realizează o rețea neuronală celulară asupra unei imagini de intrare  $U(t_0)$  pentru obținerea unei imagini de ieșire stabilă  $Y$ , este complet definită de operatorii  $A$ ,  $B$ ,  $z$ , precizați la rândul lor prin cei 19 parametri. Aceste elemente alcătuiesc o instrucțiune elementară CNN.

Pentru o rețea neuronală celulară standard, invariantă în spațiu cu operatori de dimensiune  $3 \times 3$ , în funcție de natura celor trei operatori se pot defini următoarele structuri:

1.) Rețeaua neuronală celulară standard de tip  $C(A \neq 0, B \neq 0, z \neq 0)$ , este caracterizată de prezența legăturilor sinaptice inhibitorii sau excitatorii având în vedere că:

$$A \neq 0, B \neq 0, z \neq 0. \quad (2.36)$$

În figura 2.9 se prezintă circulația informației într-o rețea neuronală celulară standard, invariantă în spațiu cu operatori de dimensiune  $3 \times 3$ , iar structura unei celule  $C_{ij}$  este prezentată în figura 2.10.

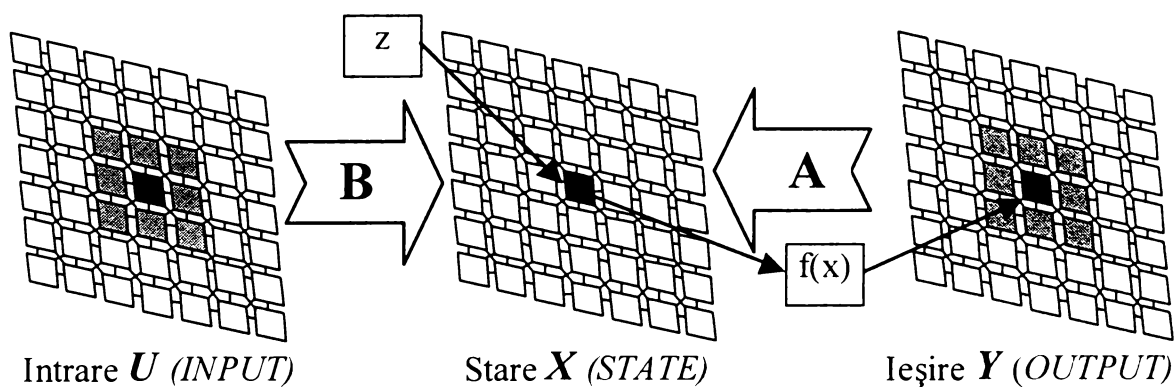


Figura 2.9. Circulația informației într-o rețea neuronală celulară standard, invariantă în spațiu cu operatori de dimensiune  $3 \times 3$ .

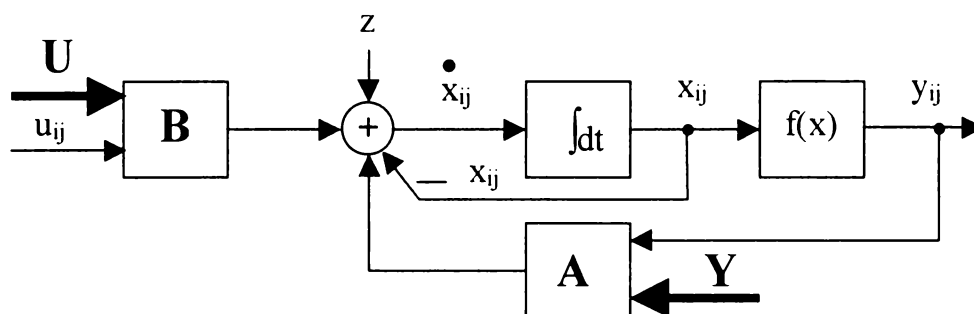


Figura 2.10. Structura unei celule  $C_{ij}$ .

2.) Rețea neuronală celulară de tip  $C(\mathbf{0}, \mathbf{B} \neq \mathbf{0}, z \neq 0)$ , numită cu cuplaj înainte sau fără reacție inversă și care este caracterizată de relațiile:

$$\mathbf{A} = \mathbf{0}, \mathbf{B} \neq \mathbf{0}, z \neq 0. \quad (2.37)$$

3.) Rețea neuronală celulară de tip  $C(\mathbf{A} \neq \mathbf{0}, \mathbf{B} = \mathbf{0}, z \neq 0)$ , numită cu cuplaj înapoi sau fără intrare și care este caracterizată de relațiile:

$$\mathbf{A} \neq \mathbf{0}, \mathbf{B} = \mathbf{0}, z \neq 0. \quad (2.38)$$

4.) Rețea neuronală celulară de tip scalar,  $C(A = a_{00}, \mathbf{B} \neq \mathbf{0}, z \neq 0)$ , este caracterizată de relațiile:

$$A = a_{00}, \mathbf{B} \neq \mathbf{0}, z \neq 0. \quad (2.39)$$

**Observație:**

Un operator complet (template) include operatorul A de reacție inversă, operatorul B de comandă și polarizarea z. În cadrul acestei lucrări, pentru un operator complet se va utiliza convenția de notare: <nume operator>.tem [125].

## 2.7 Condițiile inițiale și de frontieră ale rețelei

### neuronale celulare

Pentru o rețea neuronală celulară, ecuațiile de stare ale celulelor formează un sistem de ecuații diferențiale. Starea finală la ieșirea la rețelei, rezultă prin rezolvarea acestui sistem. Rezolvarea ecuațiilor diferențiale ordinare este posibilă numai dacă sunt cunoscute condițiile inițiale și de limită sau de frontieră. Condițiile de frontieră se pot realiza prin conectarea unor celule virtuale la marginile rețelei, atât pentru imaginea de stare cât și pentru imaginea de ieșire [13,14,62].

În modelul unei rețele neuronale celulare starea inițială a rețelei este asociată cu imaginea de stare la momentul inițial  $t_0$ , adică cu  $x_{ij}(t_0)$ .

#### **Definiția 9: Celule virtuale**

Celulele  $C_{kl}$  pentru care  $|k - i| \leq r$ ,  $|l - j| \leq r$ , dar  $k \notin \{1, 2, \dots, M\}$  și / sau  $l \notin \{1, 2, \dots, N\}$  se numesc celule virtuale. Acestor celule li se asociază intrări virtuale  $u_{kl}$ , stări virtuale  $x_{kl}$ , ieșiri virtuale  $y_{kl}$  și polarizări virtuale  $z_{kl}$ , pentru ca sistemul de ecuații diferențiale să devină compatibil.

În cazul unei rețele neuronale celulare de dimensiune  $M \times N$ , includerea de celule virtuale presupune adăugarea a două linii și a două coloane virtuale. Cele două linii virtuale, una sus și una jos, vor avea indicele asociat pentru linii de 0 respectiv  $M+1$ . Cele două coloane virtuale, una în stânga și una în dreapta rețelei, vor avea indicele asociat pentru coloane de 0 respectiv  $N+1$ . Pentru a impune anumite condiții de frontieră, celulele virtuale vor fi forțate să aibă anumite valori, fapt ce se realizează prin conectarea lor la surse de tensiune. Sunt utilizate frecvent următoarele condiții de frontieră [13]:

1.) Condiții de frontieră cu valori constante (Dirichlet). (2.40)

- Celule virtuale din stânga:  $y_{i0} = \alpha_1$  și  $u_{i0} = \beta_1$  pentru  $i = 1, 2, \dots, M$ ;
- Celule virtuale din dreapta:  $y_{iN+1} = \alpha_2$  și  $u_{iN+1} = \beta_2$  pentru  $i = 1, 2, \dots, M$ ;
- Celule virtuale de sus:  $y_{0j} = \alpha_3$  și  $u_{0j} = \beta_3$  pentru  $j = 1, 2, \dots, N$ ;
- Celule virtuale de jos:  $y_{M+1j} = \alpha_4$  și  $u_{M+1j} = \beta_4$  pentru  $j = 1, 2, \dots, N$ .

Mărimile  $\alpha_1, \beta_1, \alpha_2, \beta_2, \alpha_3, \beta_3, \alpha_4, \beta_4$ , sunt în general constante identice având valorile  $E=0$ ,  $E=-1$ , sau  $E=+1$ , așa cum se arată în figura 2.11.

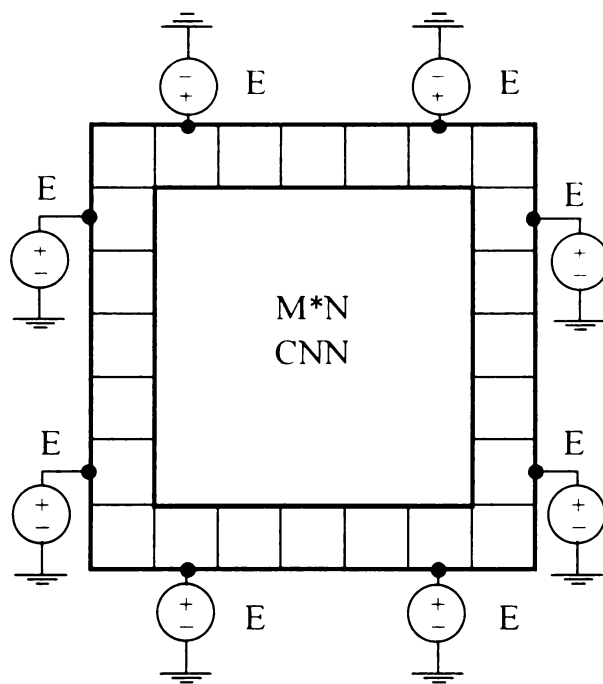


Figura 2.11. Condiții de frontieră cu valori constante.

2.) Condiția de frontieră zero-flux (Neumann). (2.41)

- Celule virtuale din stânga:  $y_{i0}=y_{i1}$  și  $u_{i0}=u_{i1}$  pentru  $i = 1, 2, \dots, M$ ;
- Celule virtuale din dreapta:  $y_{iN+1}=y_{iN}$  și  $u_{iN+1}=u_{iN}$  pentru  $i = 1, 2, \dots, M$ ;
- Celule virtuale de sus:  $y_{0j}=y_{1j}$  și  $u_{0j}=u_{1j}$  pentru  $j = 1, 2, \dots, N$ ;
- Celule virtuale de jos:  $y_{M+1j}=y_{Mj}$  și  $u_{M+1j}=u_{Mj}$  pentru  $j = 1, 2, \dots, N$ .

Această condiție de frontieră este utilizată pentru cazul în care nu există intrare, existând doar stare inițială (figura 2.12).

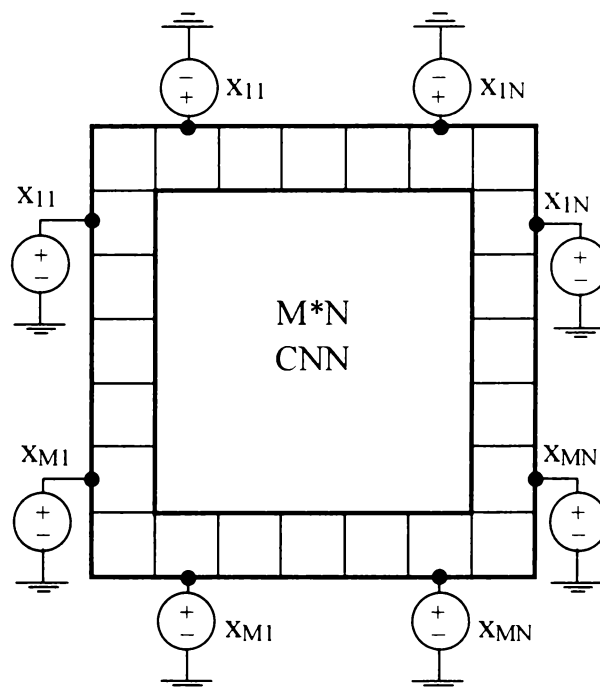


Figura 2.12. Condiția de frontieră zero-flux.

3.) Condiția de frontieră periodică (Toroidal). (2.42)

- Celule virtuale din stânga:  $y_{i0}=y_{iN}$  și  $u_{i0}=u_{iN}$  pentru  $i=1,2,\dots,M$ ;
- Celule virtuale din dreapta:  $y_{iN+1}=y_{i1}$  și  $u_{iN+1}=u_{i1}$  pentru  $i=1,2,\dots,M$ ;
- Celule virtuale de sus:  $y_{0j}=y_{Mj}$  și  $u_{0j}=u_{Mj}$  pentru  $j=1,2,\dots,N$ ;
- Celule virtuale de jos:  $y_{M+1j}=y_{1j}$  și  $u_{M+1j}=u_{1j}$  pentru  $j=1,2,\dots,N$ .

În figura 2.13 se prezintă interpretarea condiției de frontieră periodică.

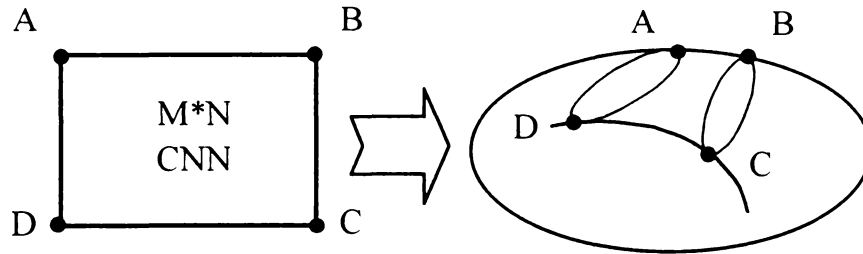


Figura 2.13. Condiția de frontieră periodică.

## 2.8 Stabilitatea rețelelor neuronale celulare

Dacă se aplică semnal la intrarea unei rețele neuronale celulare și condițiile inițiale sunt bine determinate, este de dorit ca după un regim tranzitoriu cât mai scurt să se ajungă la o stare de echilibru staționar, adică starea celulelor să converge către o stare stabilă.

Un punct de echilibru stabil pentru o rețea neuronală celulară este definit ca vectorul de stare de echilibru care are componentele formate din stări stabile de echilibru ale celulelor.

Punctele de echilibru stabil sunt puncte ale unui bazin de atracție, mulțimea traiectoriilor dintre starea inițială și starea finală staționară a sistemului fiind convergente către acest punct. Astfel, pentru o rețea neuronală celulară se pot poziționa un set de bazine de atracție în spațiul stărilor, în centrul bazinelor aflându-se punctele de echilibru stabil.

### **Definiția 10: Rețea neuronală celulară complet stabilă sau convergentă**

O rețea neuronală celulară standard cu dimensiunea  $M \times N$ , de tip  $C(A, B, z)$  este complet stabilă sau convergentă dacă toate soluțiile  $x(t, x_0)$  cu starea inițială  $x_0$  converg către un punct de echilibru  $x_{ij}^*$  [7]. Se consideră  $x_{ij}^*$  stare stabilă de echilibru pentru starea unei celule  $x_{ij}$  din rețea dacă:

$$\left. \frac{dx_{ij}}{dt} \right|_{x_{ij}=x_{ij}^*} = 0, \quad (2.43)$$

$$\lim_{t \rightarrow \infty} x_{ij}(t) = x_{ij}^* \quad \text{pentru } 1 \leq i \leq M; \quad 1 \leq j \leq N. \quad (2.44)$$

Punctele de echilibru stabil depind în general de condițiile inițiale, de intrare și de dinamica circuitului.

Comportarea dinamică depinde de interacțiunile spațiale locale. În cazul general, convergența rețelelor neuronale celulare către o stare stabilă este dependentă numai de operatorul de reacție inversă  $A$ , fiind independentă de operatorul de reacție directă  $B$  [7,9,10,76]. De aceea, studiul stabilității rețelelor neuronale celulare se reduce la studiul operatorilor  $A$ , structura acestora determinând dacă evoluția stării rețelei se va face sau nu către o stare stabilă.

O rețea neuronală celulară de dimensiune  $M \times N$ , invariantă în spațiu și având dimensiune arbitrară pentru vecinătăți este complet stabilă pentru o intrare și polarizare cu valori constante, dacă sunt satisfăcute următoarele trei condiții [14]:

- Operatorul  $A$  este simetric în raport cu elementul central

$$A_{ij,kl} = A_{kl,ij}. \quad (2.45)$$

- Funcția de transfer neliniară de la stare la ieșire este derivabilă, mărginită și

$$f(x_{i,j}) > 0 \quad \text{pentru} \quad -\infty < x_{i,j} < +\infty. \quad (2.46)$$

- Toate punctele de echilibru sunt izolate. Un punct de echilibru  $x_{ij}^*$  pentru

$$\dot{x} = f(x) \quad \text{se spune că este izolat dacă și numai dacă nu există un alt punct de echilibru într-o vecinătate suficient de mică a lui } x_{ij}^*.$$

Dacă sunt îndeplinite aceste condiții înseamnă că toate valorile ieșirilor celulelor rețelei converg către o constantă, adică rețeaua este convergentă către o stare stabilă:

$$\lim_{t \rightarrow \infty} y_{ij}(t) = \text{const.}, \quad \text{pentru } 1 \leq i \leq M; \quad 1 \leq j \leq N. \quad (2.47)$$

Din punct de vedere practic este important ca alături de satisfacerea condiției de stabilitate să fie satisfăcută și condiția  $A_{ij,kl} > 1/R_x$ . În această situație starea celulelor tind asimptotic către o valoare stabilă, care în modul este mai mare decât 1.

$$\text{Dacă } \lim_{t \rightarrow \infty} |x_{ij}| > 1 \text{ adică } x_{ij}^* > 1 \text{ și } \lim_{t \rightarrow \infty} y_{ij}(t) = \text{const.}$$

$$\text{rezultă } \lim_{t \rightarrow \infty} y_{ij}(t) = \pm 1 \text{ pentru } 1 \leq i \leq M; \quad 1 \leq j \leq N. \quad (2.48)$$

Aceste expresii au o semnificație importantă, deoarece presupunând că intrarea și/sau starea inițială a rețelei sunt imagini binare, la sfârșitul procesului tranzitoriu se va obține la ieșire tot o imagine binară.

Dacă s-a determinat un operator de tip  $A$  invariant în spațiu și liniar, pentru aprecierea satisfacerii criteriului de stabilitate nu este necesară cercetarea îndeplinirii condițiilor la fiecare operator în parte. Pentru aprecierea ușoară a satisfacerii de către operatori a criteriului de stabilitate, sunt definite clase de operatori după criteriul simetriei de semn a elementelor precum și transformări ale acestora prin a căror utilizare se poate determina dacă rețeaua converge către o stare stabilă [7,9,10].

Dacă utilizând aceste transformări nu se poate demonstra sau verifica direct că operatorul asigură sau nu stabilitatea, aceasta nu înseamnă inevitabil că rețeaua este



instabilă, ci doar că metoda nu oferă un răspuns univoc privind satisfacerea criteriului de stabilitate.

Operatorii utilizați în cadrul prezentei teze de doctorat satisfac condițiile necesare pentru ca rețelele neuronale celulare implementate pe baza lor să prezinte un comportament stabil.

## 2.9 Proiectarea aplicațiilor cu rețele neuronale celulare

Proiectarea în domeniul rețelelor neuronale celulare înseamnă în primul rând proiectarea de operatori. Ca orice rețea neuronală și rețeaua celulară are capacitatea de a învăța. Funcția dorită a se realiza prin prelucrarea cu rețele neuronale celulare se obține determinând în mod corespunzător setul de operatori sau template [77,97,126].

Comparativ cu procesoarele numerice, care sunt relativ ușor de programat, determinarea sau proiectarea setului de operatori pentru o rețea neuronală celulară, care să asigure o anumită prelucrare dorită, este mult mai dificilă [118]. Se confirmă și în cazul rețelelor neuronale celulare faptul că, dacă se dorește ca rețeaua să lucreze rapid, în timp real, trebuie să se “consume” mult timp cu antrenarea sau învățarea ei. Acest fapt este lesne de justificat dacă avem în vedere că o rețea de dimensiune  $100 \times 100$  de celule constituie un bloc analogic cu 10.000 celule interconectate. Dinamica acestei rețele trebuie astfel “acordată” încât pe baza ecuației diferențiale de stare asociată rețelei să realizeze tocmai prelucrarea dorită asupra imaginii de intrare și de stare. În cazul operatorilor  $3 \times 3$ , sunt 19 parametri care trebuie determinați ( $2 \times 9 + 1$ ).

La proiectarea operatorilor se au în vedere două condiții deosebit de importante din punct de vedere al posibilității de implementare pe chip a rețelei neuronale celulare:

1.) În aplicațiile curente se folosesc aproape în exclusivitate rețea cu operatori liniari, de dimensiune  $3 \times 3$ , deoarece deocamdată numai acestea pot fi implementate pe circuitele CNN existente. Sunt elaborate metode pentru a se putea implementa și operatori cu dimensiunea  $5 \times 5$  sau cu neliniarități simple, prin transformarea lor în operatori liniari, de dimensiune  $3 \times 3$  [59].

2.) În cursul proiectării se va avea în vedere faptul că datorită imperfecțiunilor tehnologice chiar dacă operatorii sunt considerați invarianți în spațiu, există o dispersie spațială a valorilor acestora. De aceea, dacă este posibil se va alege acea variantă care va asigura o funcționare cât mai robustă a rețelei, adică cât mai tolerantă la erorile datorate imperfecțiunilor tehnologice [24,74,118]. După determinarea unui operator și testarea funcționării lui corecte prin simulare are loc etapa optimizării (acordării) valorilor elementelor operatorilor, în vederea funcționării corecte a operatorului și la implementarea pe chip-CNN. Valorile optime astfel obținute pot fi dependente de familia de chip-CNN utilizat.

Pentru proiectarea operatorilor CNN se pot utiliza următoarele metode:

- metoda intuitivă, euristică sau empirică;
- metoda învățării;
- metoda proiectării directe.

Prima metodă se bazează în mod esențial pe intuiția proiectantului și se poate aplica cu succes numai în cazuri simple existând însă și situații când nu se poate garanta găsirea operatorilor doriți. Proiectantul trebuie să aibă experiență mare în procesarea imaginilor și în domeniul CNN, pentru a “specula” soluția favorabilă.

Asemănător rețelelor neuronale clasice, metoda învățării se poate utiliza și în cazul rețelelor neuronale celulare. Determinarea unor metode performante de antrenare pentru aceste rețele reprezintă în momentul de față un domeniu de cercetare de certă actualitate [5].

Utilizarea metodei de învățare în cazul rețelelor neuronale celulare, impune luarea în considerare a anumitor particularități ale acestora.

Metoda învățării supervizate se bazează pe existența unor perechi de intrare și de ieșire dorită, astfel încât să se obțină operatori din ce în ce mai buni în decursul antrenamentului. Multe metode de învățare a rețelelor neuronale folosesc principiul evaluării într-un punct din spațiul parametrilor a unor funcții de cost. În cadrul procesului de învățare se caută minimizarea valorii acestor funcții de cost. Ca metodă de minimizare se poate utiliza metoda gradientului.

Găsirea minimumului funcției de cost pe cale analitică este o metodă utilă și rapidă, dacă se poate identifica o funcție de cost potrivită [37,39].

Practic metodele diferă una de alta, prin criteriul după care se trece de la un punct la altul, în cadrul metodei iterative de minimizare a funcției de cost.

Dintre algoritmi de învățare cunoscuți și aplicați în general la rețele neuronale, în cazul rețelelor neuronale celulare se folosește, mai cu seamă algoritmul genetic.

Algoritmul genetic [61] fiind un model numeric al evoluției, imită selecția naturală. Evoluția și selecția naturală au un rol important în biologie, dar își găsesc aplicație și în cadrul inteligenței artificiale. Algoritmul genetic se poate considera ca și o metodă stohastică de căutare.

Algoritmul genetic, în contrast cu alte metode, nu studiază punctele singulare ale funcției de cost din spațiul parametrilor, ci se ocupă la un moment dat cu mai multe puncte, lucrând cu populații. Elementele populației vor determina diferite valori ale funcției de cost, unele vor fi mai apropiate de minimumul global, pentru care valoarea

funcției de cost este mai mică, dar vor exista și elemente ale populației care vor determina valori mai îndepărtate de acest minim global. Astfel, elementele populației vor avea proprietăți diferite. Se dorește ca algoritmul genetic să realizeze o selecție spontană, asemănătoare selecției naturale, astfel încât în cadrul evoluției să se obțină populații care să aibă cât mai multe elemente situate aproape de minimul global și cât mai puține elemente aflate la distanță mare față de punctul care asigură minimul global al funcției de cost. La aplicarea algoritmului genetic în cazul rețelelor neuronale celulare, problema deosebită o reprezintă determinarea unui mod de codare a elementelor operatorilor și găsirea formei de exprimare adecvate pentru funcția de cost [61].

Pentru rețelele neuronale celulare, în foarte multe cazuri însă, operatorul sau lucrează corect sau nu lucrează deloc, fără stări intermediare, fiind astfel dificilă determinarea unor funcții de cost sau de energie. O altă particularitate a rețelelor neuronale celulare o constituie faptul că pentru multe cazuri complexe nu există un singur operator invariant în spațiu și timp, astfel încât procesul de învățare nu se va opri niciodată cu un rezultat acceptabil.

Eficiența utilizării metodei de învățare pentru determinarea operatorilor s-a demonstrat deocamdată numai la procesarea de imagini simple binare; în multe alte aplicații operatorii se pot obține mai ușor prin metoda proiectării directe.

Cea de a treia metodă de proiectare de operatori este metoda proiectării directe. Această metodă se poate aplica mai ales în cazul imaginilor binare, la rețele cuplate înainte și cuplate înapoi, la care se cunoaște exact funcția dorită [118]. Metoda este dependentă de particularitățile operatorilor. Comparativ cu metodele anterioare care oferă un număr finit de soluții pentru operatorii doriți, proiectarea directă furnizează toate variantele posibile dintre care se va alege, evident, cea mai robustă. Un alt avantaj al acestei metode este că necesită o putere de calcul mult inferioară față de metoda învățării.

Pentru prelucrarea imaginilor cu niveluri de gri utilizând rețele neuronale celulare, un grad sporit de dificultate îl prezintă determinarea operatorilor de reacție de tip A.

## 2.10 Calculatorul universal CNN

Calculatorul universal CNN (CNN Universal Machine [87]), s-a obținut prin generalizarea noțiunii CNN. La baza calculatorului universal CNN stă procesorul analogic sau chipul CNN. Procesorul analogic realizează un program analogic cu ajutorul unei memorii locale pe baza unui program format din instrucțiuni analogice și logice, adică prin calcul dual. Semnalele cu care lucrează microprocesorul analogic pot fi analogice și numerice și la fel și operatorii utilizați pot realiza funcții analogice sau operații logice. Un program CNN analogic conține algoritmi care se realizează atât secvențial cât și paralel. CNN-UM este primul calculator analogic programabil, cu limbaj de programare și sistem de operare, care are puterea de calcul a unui supercomputer pe un singur chip. În figura 2.14 este prezentată structura unui calculator universal CNN.

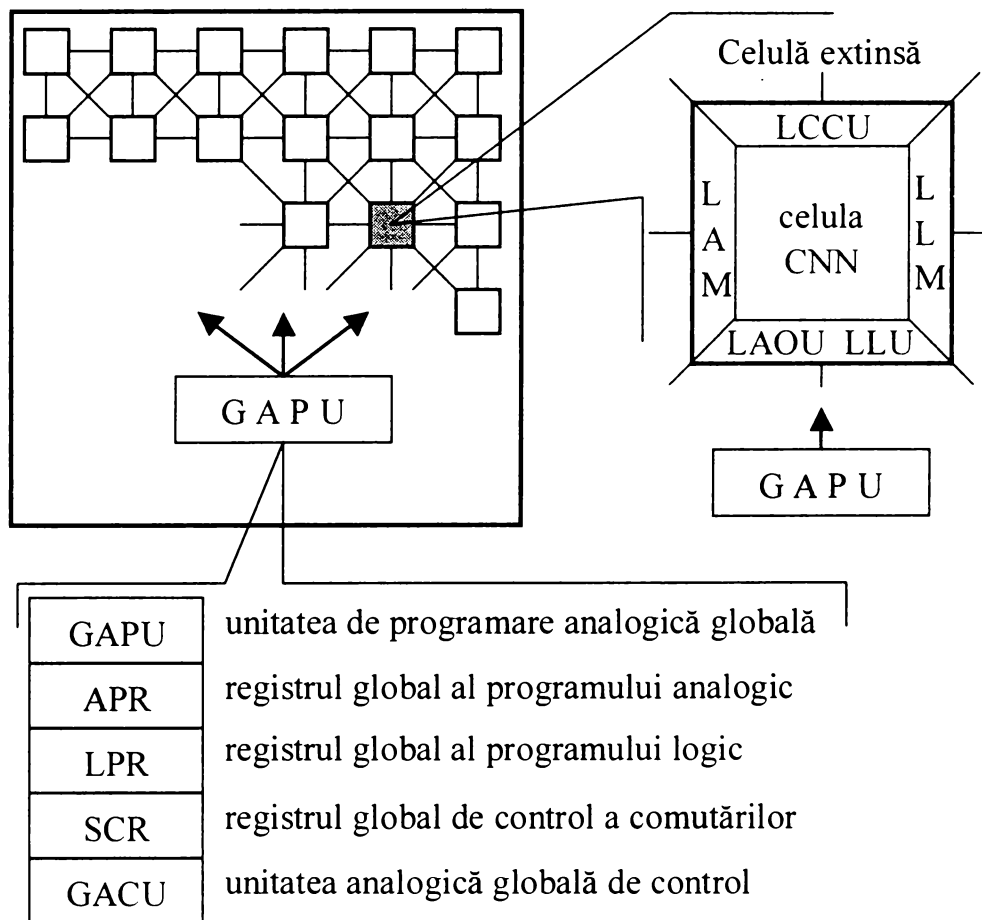


Figura 2.14. Structura calculatorului universal CNN-UM.

Comanda, în ansamblu, a procesorului este realizată de către unitatea de programare analogică globală (GAPU - Global Analogic Programing Unit). Această

unitate conține registrul global al programului analogic cu operatori (APR - Global Analog Program Register) și registrul global cu instrucțiuni logice (LPR - Global Logic Program Register). Realizarea corectă a interacțiunilor între celulele rețelei se obține cu ajutorul registrului care comandă conexiunile locale (SCR - Switch Configuration Register). Unitatea globală de control analogic (GACU - Global Analogic Control Unit) conține programul de comandă a instrucțiunilor analogice în cod mașină. Programul de comandă a instrucțiunilor analogice în cod mașină este rezultatul unei compilări al unui program analogic de nivel înalt sau a unui interpretor. O celulă extinsă conține în afară de elementele specifice celulei propriu-zise și alte elemente: unitatea logică locală (LLU – Local Logic Unit), unitatea locală analogică de ieșire (LAOU - Local Analog Output Unit), unitate locală de memorie analogică cu mai multe elemente de memorie analogică locală (LAM - Local Analogic Memory), memorie logică locală (LLM - Local Logic Memory) și unitate locală de control și comunicare a celulei (LCCU - Local Communication and Control Unit).

CNN-UM realizează programe cu algoritmi analogici, prin instrucțiuni cu operatori analogici și operații logice în cazul în care se utilizează imagini binare. Pentru realizarea unor astfel de programe este nevoie de imaginea originală, de imagini cu rezultate parțiale, de memorarea unor operatori logici și memorarea unor operatori analogici.

Memoriile analogice locale (LAM) servesc la memorarea imaginilor de intrare, de stare și de ieșire, imagini cu niveluri de gri. Aceste memorii sunt foarte importante deoarece existența lor asigură memorarea imaginilor intermediare pe chip, care vor fi supuse unor prelucrări cu alți operatori, conform programului analogic general. Unitatea logică, cu două intrări și o ieșire, este programabilă și poate realiza o funcție logică pentru pixelii din aceeași poziție a două imagini binare. În acest caz nu se realizează nici o conexiune logică cu celulele vecine. Pentru imagini binare se folosesc memoriile LLM. Scrierea și citirea din memoriile LAM și LLM se poate face pentru o linie întreagă, utilizând valori analogice sau binare, astfel încât transferul pe o magistrală  $M$  dimensională a unei imagini complete  $M*N$  se poate face în  $N$  pași; se micșorează astfel substanțial timpul necesar pentru încărcarea și extragerea imaginilor de pe chip. Reducerea efectivă a timpului de lucru se va asigura prin procesarea paralelă.

## 2.11 Mediul de dezvoltare CNN “CadetWin”

Proiectarea, testarea și optimizarea aplicațiilor CNN este posibilă numai dacă există un mediu de dezvoltare CNN adecvat. Această unealtă reprezintă o variantă situată între două limite: simulare 100% soft și emularea hard. Pentru simularea rețelelor neuronale celulare se poate utiliza mediul de programare MATLAB [40], pentru care a fost elaborat un “toolbox” adecvat, ce poate fi utilizat atât pentru rețele analogice [85] cât și pentru DTCNN [29].

Interesul deosebit pe plan mondial acordat cercetării în domeniul rețelelor neuronale are la bază posibilitatea realizării circuitelor CNN în tehnologie VLSI. Aceste chipuri, pentru a putea fi practic utilizate, trebuie să fie însoțite de un mediu de dezvoltare de aplicații. În cadrul prezentei teze de doctorat a fost utilizat mediul de dezvoltare “CadetWin” (CNN application development environment and toolkit under Windows [123]), care are următoarele componente:

1.) Platforma “VisMouse” (CNN visual mouse software platform for Windows [124,127]) bazat pe concepția “visual mouse”. Acesta este un mediu software integrat pentru proiectarea de aplicații CNN. Cu ajutorul acestei platforme se pot achiziționa, memora și vizualiza imagini de intrare și imagini de ieșire, se poate comanda camera video precum și alte accesorii. De pe această platformă se pot accesa și alte mijloace software ale mediului de dezvoltare CadetWin.

2.) “TemMaster” (Template design and optimization tool for binary input-output CNN’s [126]) este un software dedicat pentru proiectarea și optimizarea de operatori.

3.) “SimCNN” (Multi-layer CNN simulator for visual mouse platform [128]) este un program de simulare cu ajutorul căruia se pot testa operatori respectiv se pot proiecta, testa și optimiza algoritmi ori subrutine spațio-temporale care includ operații aritmetice și logice și care utilizează rețele neuronale celulare monostrat sau multistrat.

4.) Editorul și compilatorul “Alpha” (CNN Alpha language and compiler [129]) care permite editarea și compilarea programelor într-un limbaj de nivel înalt specific CNN.

5.) Editorul și interpretorul în limbaj de nivel inferior (asamblor) “AMC” (Extended analogic macro code and interpreter [130]).

6.) Editor și interpretor de programe pseudocod în "Script" [124,128].

7.) Interfața "CCPS" (CNN chip prototyping system [131]), dintre calculator și platforma cu chip-CNN. Cu ajutorul acestei interfețe se poate conecta și aborda în mod unitar oricare platformă cu chip-CNN nou în vederea testării și perfecționării ei.

8.) Programarea în mediu CNN este facilitată de existența unei biblioteci software de operatori și algoritmi care se dezvoltă și se revizuieste periodic pe baza rezultatelor cercetărilor CNN din întreaga lume [125].

Prin utilizarea mediului de dezvoltare CadetWin se pot realiza programe CNN în limbaj de nivel înalt specific Alpha sau în limbaj de asamblare AMC. Este important de semnalat faptul că aceste programe sunt unitare și compatibile sub aspectul rulării în mediul CadetWin atât pe mijloace de simulare software sau emulare hardware cât și pe chipul CNN analogic.

În figura 2.15 se prezintă etapele de realizare ale unui algoritm analogic, de la proiectare până la simulare soft, emulare hardware respectiv testare direct pe un chip CNN [92].

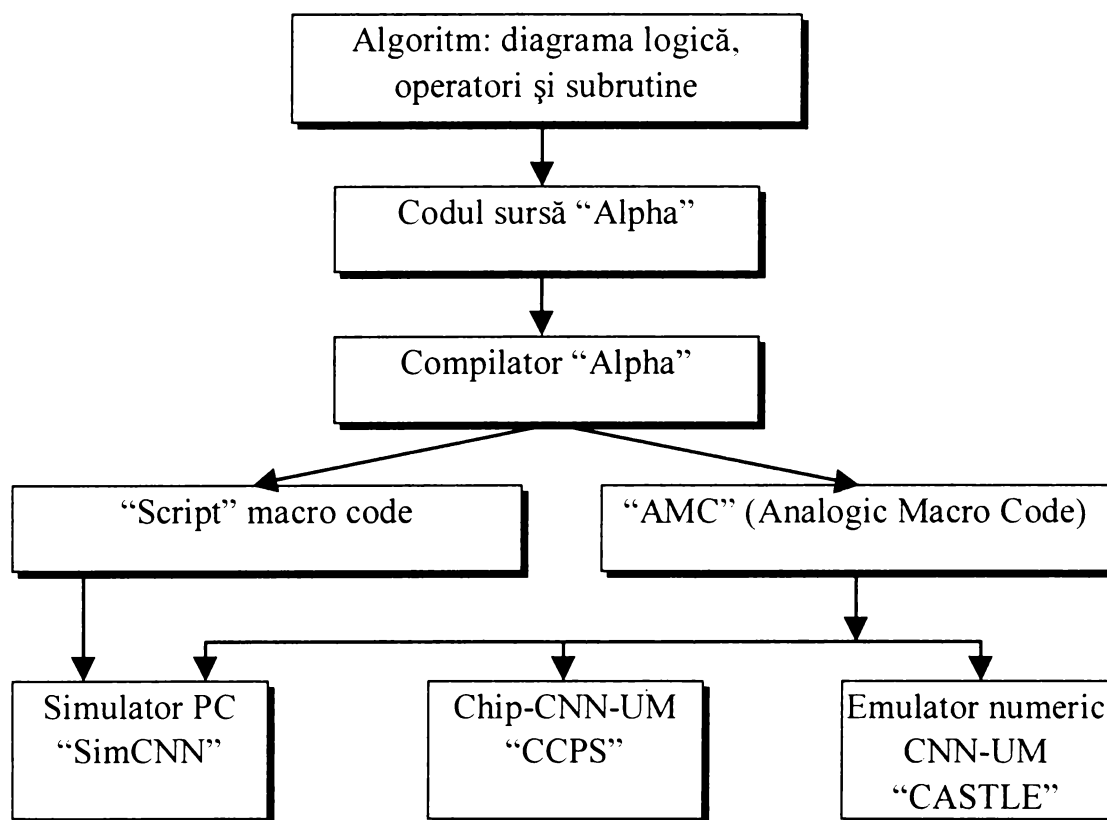


Figura 2.15. Etapele de elaborare ale unui algoritm analogic CNN.



## 2.12 Circuite integrate CNN

În scurta perioadă de timp, de când au fost propuse prima oară rețelele neuronale celulare, în laboratoarele de cercetare din întreaga lume s-au proiectat și realizat peste 10 prototipuri de chip-CNN analogice [21,68,78] și circuite de emulare numerice [57].

Dintre aceste realizări se prezintă două tipuri de circuite CNN utilizate în experimentele prezentate în această lucrare.

### 1.) Circuitul CNN cP 400 [21].

Circuitul CNN cP 400 este primul procesor analogic care prezintă caracteristicile specifice unui calculator CNN-UM. Cu ajutorul lui poate fi executat un program analogic care include operații analogice și logice utilizând imagini binare din memoria locală. Acest circuit are următoarele caracteristici:

- rețeaua neuronală este formată din 20\*22 de celule;
- procesează imagini binare cu valori standard CNN, adică -1 pentru nivelul de alb și +1 pentru nivelul de negru;
- ecuația de stare care caracterizează funcționarea unei celule este dată de relația:

$$\frac{dx^c}{dt} = -g(x^c) + \sum A_d x^d + \sum B_d u^d + D_A + D_B, \quad (2.49)$$

unde  $x^c$  și  $u^c$  reprezintă starea respectiv intrarea celulei "c", iar  $x^d$  și  $u^d$  semnifică starea respectiv intrarea corespunzătoare unei celule din rețea, din vecinătatea celulei "d". Variabilele  $D_A$  și  $D_B$  precum și polarizările, sunt codate pe 8 biți, dintre care unul este pentru semn;

- caracteristica funcției de transfer neliniare  $g(x)$  este prezentată în figura 2.16;

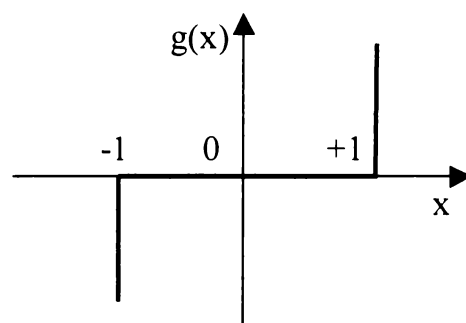


Figura 2.16. Caracteristica de transfer  $g(x)$ .

- la o procesare elementară în condiții optime, constanta de timp caracteristică sau timpul de stabilizare pentru o celulă este  $\tau_{\text{CNN}}=250$  ns;
- se pot memora local cel mult 4 imagini binare, care pot fi imagini de intrare de la senzorul optic sau de pe platformă, ori imagini de ieșire rezultate în urma unor prelucrări anterioare. La achiziția imaginilor pragul de binarizare este reglabil;
- pot fi memorate local cel mult 8 seturi de operatori (A, B, z), cu cel mult 20 de elemente reprezentate fiecare pe câte 8 biți. Dimensiunea unui operator este 3\*3. Valorile elementelor în modul nu pot depăși valoarea 3 în cazul operatorilor de tip A și B, iar în cazul curentului această valoare este 6.

## 2.) Circuitul analogic CNN cP 4000 [68].

Caracteristicile acestui chip-CNN analogic sunt mai mult decât promițătoare. Cele mai semnificative proprietăți sunt după cum urmează:

- rețeaua este formată din 64\*64 de celule;
- utilizează imagini cu niveluri de gri și imagini binare cu valori standard CNN, (adică este atribuit domeniul de valori [-1,1] pentru nivelurile situate între alb și negru);
- pot fi memorate pe chip 32 de seturi de operatori (A, B, z);
- poate memora local în LAM cel mult 4 imagini cu niveluri de gri precum și alte 4 imagini binare în LLM;
- prezintă facilitatea utilizării imaginii mască binară.

Avantajul major al procesării paralele prin utilizarea rețelelor neuronale celulare este prezent însă numai în cazul implementării acestora pe un chip. De aceea, proiectarea și realizarea de chipuri CNN cât mai performant este o direcție de cercetare pentru care se depun în continuare eforturi umane și materiale substanțiale. Astfel, în anul 1999 s-a proiectat o nouă variantă de circuit CNN cu dimensiunea de 176\*144 celule, cu intrări și ieșiri binare [79].

### **3. Algoritm analogic CNN pentru urmărirea obiectelor aflate în mișcare**

În acest capitol este prezentat un algoritm CNN original, bazat pe imagini de urmărire a unui obiect în mișcare cu ajutorul unei camere video montate pe brațul unui robot cu două grade de libertate. Între două imagini de intrare consecutiv achiziționate, prin prelucrarea complet paralelă cu rețele neuronale celulare a semnalelor bidimensionale, se asigură efectuarea tuturor procesărilor necesare în vederea funcționării în timp real a sistemului.

Totodată, este prezentat și un nou algoritm CNN, propus de autor, pentru determinarea punctului central al unui obiect utilizând rețele neuronale celulare, care se bazează numai pe procesări elementare logice și cu operatori liniari de dimensiune  $3 \times 3$ , fiind astfel posibilă implementarea cu ușurință a acestuia pe un chip-CNN de  $64 \times 64$  de celule (cP4000 [68]). În acest fel, prelucrarea se poate efectua chiar în timp real, datorită procesării complet paralele și prin reducerea substanțială a numărului de încărcări pe chip a imaginilor inițiale.

#### **3.1 Comanda vizuală a unui robot**

Extinderea domeniilor de aplicare a roboților prin creșterea adaptibilității acestora, ca urmare a integrării senzorilor în structura robotului reprezintă actualmente o problemă fundamentală. Dintre senzorii utilizați în robotică, senzorul vizual sau camera video ocupă un loc aparte, deoarece utilizarea lui permite evaluarea fără contact a spațiului de lucru.

Prin includerea senzorului vizual într-o buclă de reacție în care este procesată informația conținută în imagini se poate controla poziția efectorului final sau ghida un robot mobil, spre un obiect țintă. De cele mai multe ori extragerea informației din imagine, “privește” (looking) și comanda efectivă a poziției, adică “mută” (moving), sunt incluse într-ăsa zisă buclă deschisă. În consecință, precizia operațiilor realizate depinde direct de acuratețea senzorului vizual de precizia de poziționare a efectorului final al robotului.

Pentru mărirea preciziei, senzorul vizual se include într-o buclă cu reacție negativă vizuală, denumită în general comandă vizuală (visual servoing sau visual servo) [54,110,112].

Comanda vizuală a roboților presupune extragerea de trăsături din imaginile achiziționate, pe baza cărora se realizează modelele obiectelor din imagine. De cele mai multe ori aceste trăsături caracterizează puncte care rezultă în urma proiecției unor obiecte în planul de imagine al camerei video realizându-se modelul geometric al obiectelor. Aceste puncte au ca și parametri coordonatele față de un sistem de referință atașat planului de imagine.

Fiind dat un set de  $k$  parametri ai unei trăsături din imagine, se poate defini vectorul parametru al acestei trăsături din imagine  $\mathbf{f}=[f_1, f_2, \dots, f_k]^T$ . Deoarece oricare element al lui  $\mathbf{f}$  este un parametru real rezultă că  $\mathbf{f} \in \mathbf{F} \subseteq \mathbf{R}^k$ , unde  $\mathbf{F}$  este spațiul parametrilor trăsăturii din imagine. De exemplu, dacă se utilizează transformarea în perspectivă pentru proiecția unui punct oarecare  $P$  din spațiu, pe planul imaginii, trăsătura  $\mathbf{f}$  este chiar vectorul de poziție în sistemul de referință atașat acestui plan, adică  $\mathbf{r}=[x, y]^T$ , iar  $\mathbf{F} \subseteq \mathbf{R}^2$  este spațiul coordonatelor  $x$  și  $y$  din planul imaginii.

Pentru comanda vizuală a unui robot se folosește una din următoarele configurații de amplasare a camerei video:

1.) Camera video este fixată de efectorul final (figura 3.1a), configurația cunoscută sub denumirea “ochi în mână” (eye in hand), [54,80,107,112]. Față de sistemul de referință atașat de baza robotului, poziția punctului țintă  $P$  este descrisă de vectorul  $\mathbf{r}_t$ , iar vectorul de poziție corespunzător efectorului final este  $\mathbf{r}_e$ . Există o relație cunoscută  ${}^e\mathbf{r}_c$ , deseori constantă, între poziția camerei ori a camerelor video și poziția efectorului final. Vectorul de poziție al punctului țintă față de cameră este  ${}^c\mathbf{r}_t$ .

2.) Camera video are o poziție fixă, situată în spațiul de lucru, ca în figura 3.1b [2,4,58,70]. Poziția camerei (sau a camerelor video)  $\mathbf{r}_c$  este constantă față de sistemul de referință atașat de baza robotului. În acest caz imaginea țintei respectiv vectorul de poziție  ${}^c\mathbf{r}_t$ , sunt independente de mișcarea robotului.

Există și combinații a celor două structuri prezentate mai sus; de exemplu, cazul în care se urmărește poziția efectorului final al unui robot cu o cameră video montată pe efectorul final al unui alt robot.

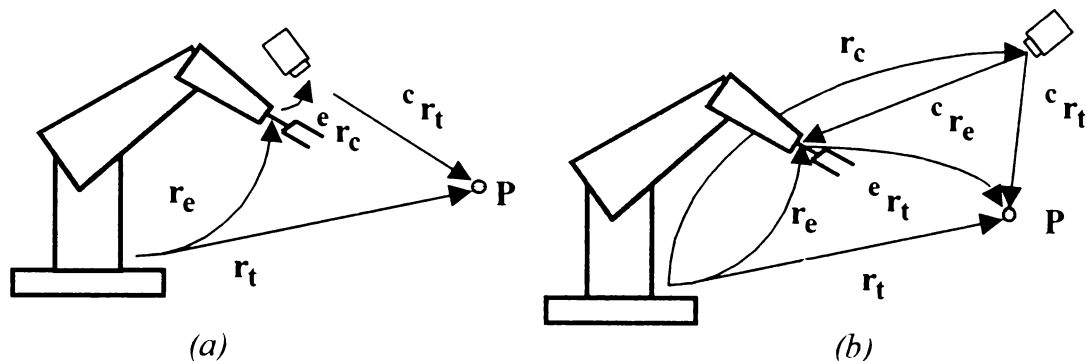


Figura 3.1. Configurații de amplasare a camerei video la comanda vizuală a unui robot: (a) camera video este fixată de efectorul final; (b) camera video fixă.

Sistemele de comandă vizuală se pot clasifica pe baza a două criterii [50,54].

1.) După structura sistemului de comandă a robotului:

1.a) Structură dinamică “privește și mută” [54,112].

În acest caz, în structura sistemului de comandă a robotului sistemul vizual este în ordinea ierarhică superioară, adică sistemul vizual furnizează mărimile de referință pentru sistemul de conducere al cuplelor cinematice. Această configurație folosește traductoarele interne pentru atingerea poziției prescrise a robotului.

1.b) Comandă vizuală “directă” [50,58].

În cazul acestei structuri sistemul vizual comandă direct cuplele cinematice, astfel încât nu există altă buclă de reacție decât cea vizuală pentru stabilirea poziției finale a mecanismului robotic.

2.) După modul de definire a erorii de poziționare:

2.a) Comandă vizuală bazată pe poziții [75,80,112].

Semnalul eroare este definit în coordonatele aferente spațiului de lucru tridimensional. Identificarea poziției țintă se realizează pe baza unui model geometric al obiectului țintă, la nivelul planului de imagine atașat camerei video, prin extragerea de trăsături care sunt utilizate pentru estimarea poziției țintei în funcție de poziția camerei video. Reacția negativă minimizează eroarea în spațiul pozițiilor estimate. Avantajul major al metodei de comandă vizuală bazată pe poziții este faptul că sarcinile de comandă se pot descrie în coordonatele carteziene, utilizate frecvent în robotică. Dezavantajul metodei este legat de faptul că mărimea de reacție este determinată aproximativ, fiind dependentă de parametrii de calibrare ai sistemului. În consecință, comanda vizuală bazată pe poziții este extrem de sensibilă la erorile de calibrare. Înaintea utilizării efective a informației vizuale pentru comanda unui robot este necesară calibrarea camerei video. Această operație constă în [54,122]:

- determinarea parametrilor intrinseci ai camerei, cum ar fi de exemplu distanța focală;
- determinarea poziției camerei video ( ${}^e r_c$ ) față de poziția efectorului final sau calibrarea "ochi mână" (figura 3.1a).
- determinarea, pentru camera fixă, a poziției față de sistemul de referință atașat de baza robotului,  $r_c$  (figura 3.1b):

Un alt dezavantaj al acestei metode de comandă este necesitatea realizării unui model clar al obiectului țintă.

## 2.b) Comandă vizuală bazată pe imagini [4.50,58.107].

Sarcina de comandă vizuală bazată pe imagini poate fi reprezentată printr-o funcție de eroare de imagine definită direct funcție de parametrii trăsăturii imaginii:

$e: F \rightarrow \mathbf{R}^l$ , unde  $1 \leq k$ ,  $k$  fiind dimensiunea spațiului parametrilor trăsăturilor de imagine. Pentru o sarcină de comandă realizată  $e=0$ .

Chiar dacă se utilizează un sistem "ochi în mână" greșit calibrat, dacă reacția sistemului este asimptotic stabilă, eroarea de imagine va tinde spre zero și eroarea cinematică va tinde la zero. Astfel, unul din avantajele principale ale comenzii bazate pe imagini față de comanda bazată pe poziții este că precizia poziționării sistemului este mai puțin sensibilă la erorile de calibrare ale camerei video. Un alt avantaj îl reprezintă posibilitatea reducerii timpului de procesare.

Pe baza acestor criterii de clasificare rezultă cele 4 structuri de bază pentru comanda vizuală a unui robot, prezentate în figurile 3.2-3.5. Indiferent de structura utilizată, sistemul vizual trebuie să extragă informația necesară pentru a putea îndeplini sarcinile de comandă urmărite.

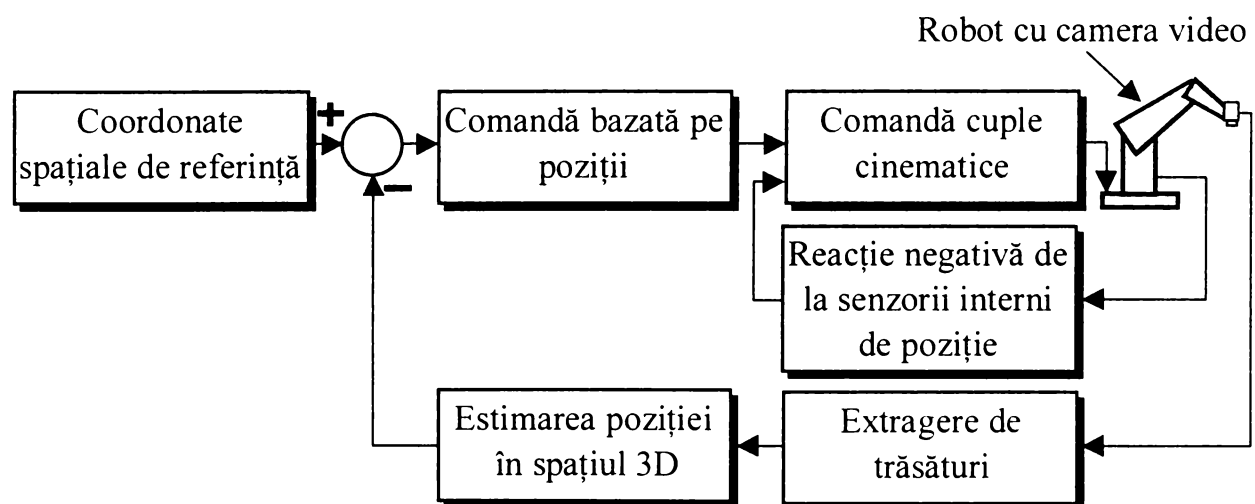


Figura 3.2. Structură dinamică "privește și mută" bazată pe poziții.

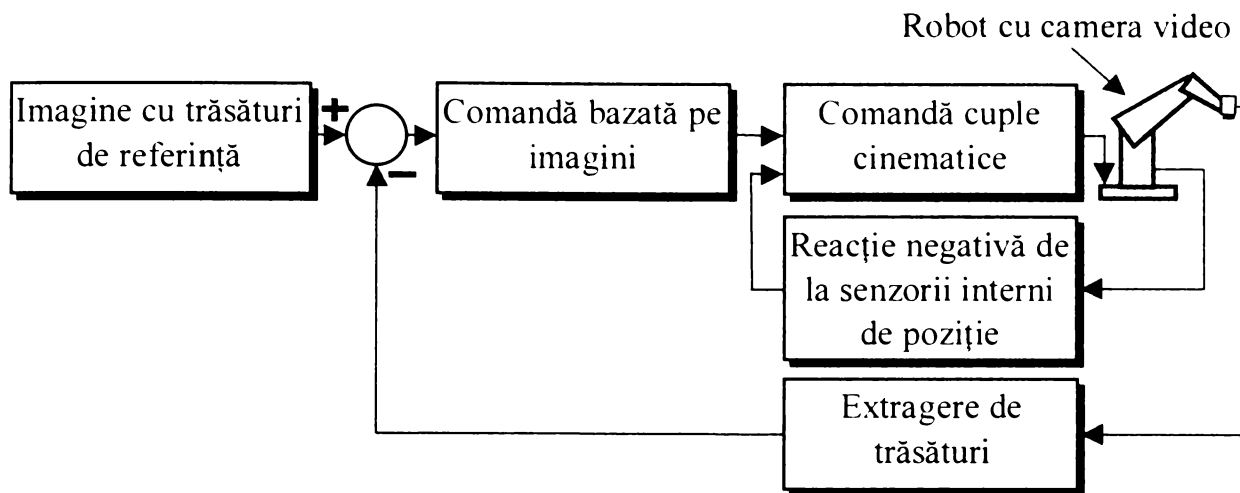


Figura 3.3. Structură dinamică “privește și mută” bazată pe imagini.

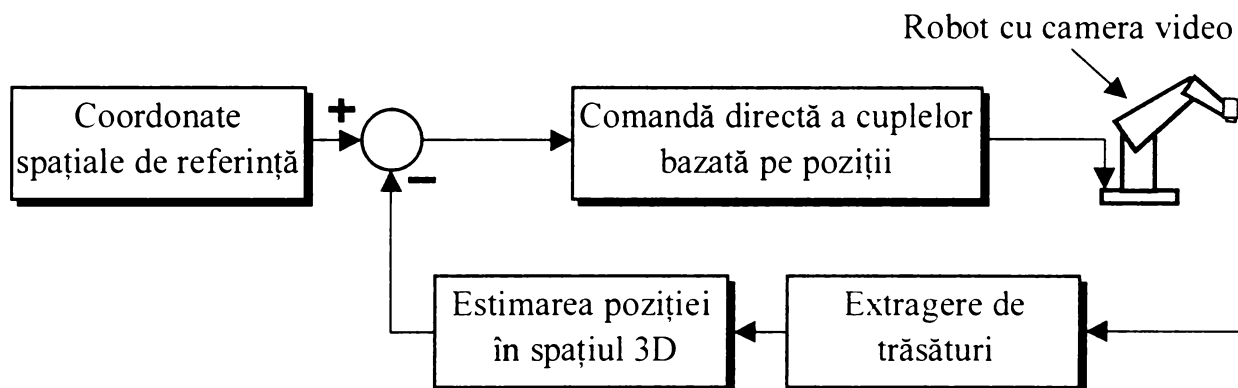


Figura 3.4. Comandă vizuală “directă” bazată pe poziții.

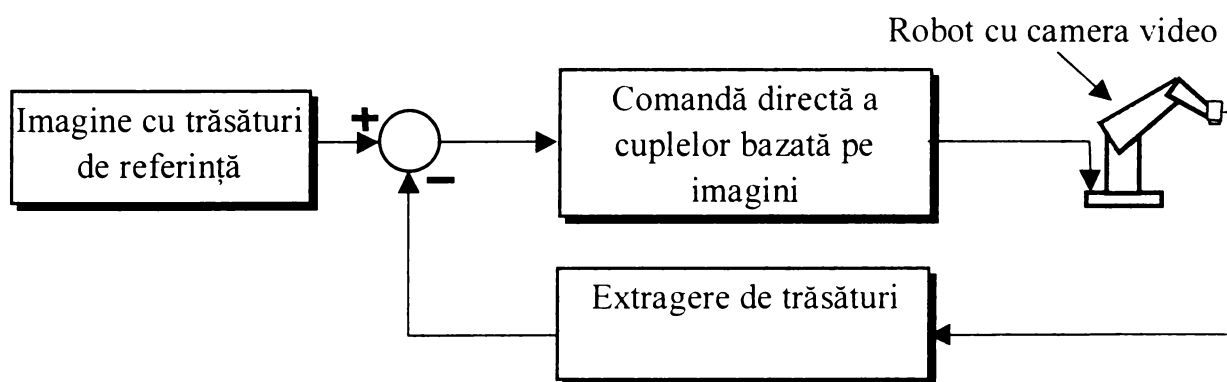


Figura 3.5. Comandă vizuală “directă” bazată pe imagini.

Aproape toate sistemele utilizate practic adoptă structura dinamică “privește și mută”, datorită următoarelor motive:

- i.) Rata de achiziție și prelucrare pentru imagini este mai mică față de rata cu care se pot achiziționa și prelucra semnalele traductoarelor interne ale robotului.
- ii.) Această structură permite separarea sistemului vizual față de sistemul conducere al robotului, considerat ideal în cele ce urmează.

iii.) Majoritatea roboților au o interfață standard care permite comanda în poziție și viteză. Astfel, sistemul vizual se poate conecta relativ ușor la sistemul de conducere al robotului.

Sistemele de comandă vizuală care observă doar obiectul țintă sunt sisteme în buclă deschisă a punctului final “EOL”(end point open-loop), iar cele care au în observare directă și efectorul final și ținta sunt sisteme în buclă închisă “ECL”(end point closed-loop).

O aplicație tipică a comenzii vizuale directe este poziționarea unui efector final cu o cameră montată pe el în așa fel încât să prehenseze obiectele. Poziția efectorului final față de poziția obiectului se determină indirect prin relația cinematică cunoscută dintre acesta și poziția camerei video [2,80,112]. Erorile din această relație cinematică conduc la erori de poziționare care nu pot fi corectate de sistem. Aceste erori pot fi eliminate dacă comanda vizuală a brațului de robot este bazată pe imagini sau prin observarea directă atât a poziției efectorului final cât și a poziției țintei.

În acest capitolul se prezintă un algoritm CNN propus de autor, de urmărire a unui obiect în mișcare cu ajutorul unei camere video montată pe un braț robotic, utilizând comanda vizuală bazată pe imagini.

Problema este reluată în capitolul 5 al tezei, în care se propune un algoritm CNN de planificare a traiectoriei unui robot mobil care se deplasează autonom într-un mediu cu obstacole. Planificarea traiectoriei se face pe baza imaginilor furnizate de o cameră video fixă, care vizează atât robotul cât și ținta.



### 3.2 Sistemul robotic utilizat la urmărirea obiectelor aflate în mișcare

Se va considera în cele ce urmează modelul simplificat al unui sistem robotic prezentat schematic în figura 3.6. Sistemul include un robot cu două grade de libertate și un senzor vizual montat pe brațul unui robot. Robotul are numai cuple cinematice de rotație notate cu A și B și a căror poziții sunt caracterizate prin unghiurile  $\theta_1$  și  $\theta_2$ .

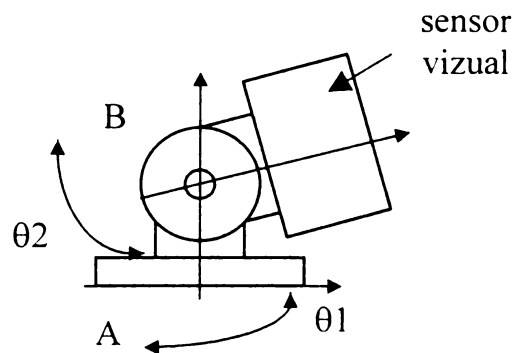


Figura 3.6. Sistem robotic cu comandă vizuală bazată pe imagini.

Se atașează planului de imagine al senzorului vizual un sistem de referință,  $xOy$ , cu originea situată chiar în centrul imaginii. În planul imaginii furnizate de senzorul vizual se selectează un obiect și se consideră că poziția obiectului în plan va fi descrisă de coordonatele  $x_0$  și  $y_0$  ale unui singur punct al obiectului numit punct central sau punct caracteristic (figura 3.7).

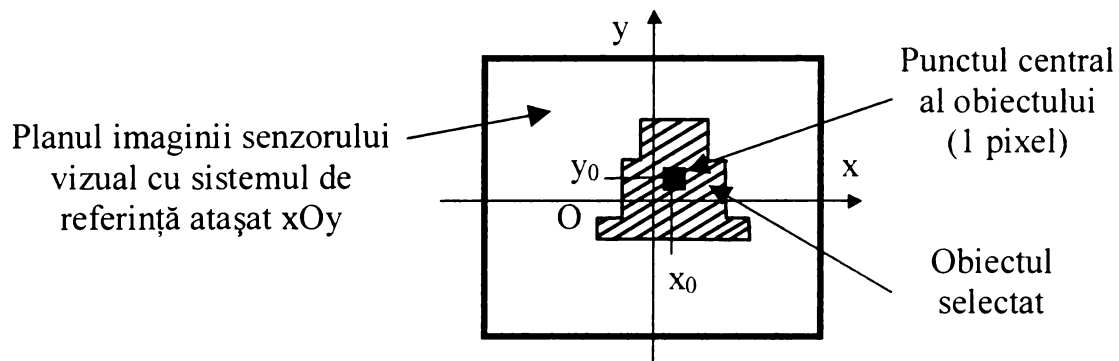


Figura 3.7. Precizarea poziției obiectului în planul imaginii senzorului vizual.

Punctul central al obiectului este punctul situat la jumătatea distanței față de cele mai îndepărtate puncte ale obiectului, atât după direcția  $x$  cât și după direcția  $y$ . În cazul în care obiectul prezintă axe de simetrie după direcția  $x$  și după direcția  $y$ , punctul

central se găsește la intersecția axelor de simetrie. În principiu, punctul central al unui obiect se poate obține prin procesul de decojire simetrică succesivă a obiectului cu câte un pixel pe fiecare direcție. Acest proces se desfășoară până la obținerea unui singur pixel, considerat a fi chiar punctul central al obiectului.

În această aplicație se presupune că la momentul inițial  $t_0$ , punctul central sau cel puțin un punct oarecare al obiectului desemnat este situat în originea sistemului de referință atașat planului de imagine. Această condiție se va realiza practic modificând, spre exemplu, manual, valorile inițiale ale unghiurilor cuplelor cinematice, la valorile de referință  $\theta_{10}$  și  $\theta_{20}$ .

În principiu, poate fi utilizat orice alt criteriu de desemnare a obiectului, spre exemplu, desemnarea dintr-o imagine cu obiecte în repaus a acelui obiect care începe la un moment dat să se deplaseze. Algoritmul propus în acest capitol își păstrează și în acest caz valabilitatea.

Sistemului robotic descris trebuie să asigure, ca după desemnarea unui obiect, indiferent de mișcarea acestuia în spațiu, camera video să urmărească obiectul desemnat. În acest scop, poziția brațului robotic trebuie astfel modificată încât la atingerea punctului de echilibru stabil al sistemului, punctul central al obiectului să se găsească în originea sistemului de referință  $xOy$  atașat planului imaginii.

Obiectivul propus îl constituie creșterea vitezei de procesare în vederea asigurării funcționării sistemului în timp real. În acest scop se va urmări utilizarea rețelelor neuronale celulare în cât mai multe etape de procesare din schema bloc a sistemului robotic prezentat. Astfel, începând de la achiziția unei imagini curente și până la determinarea unghiurilor de referință  $\theta_1$  și  $\theta_2$ , se dorește ca procesarea să se realizeze numai în mediu CNN, pe același chip, în vederea micșorării timpului total de procesare. Imaginile de intrare se presupun achiziționate cu pasul de eșantionare  $T$ . Funcționarea în timp real impune ca între două eșantioane de imagini succesiv achiziționate, să se realizeze toate prelucrările necesare pentru comanda robotului.

Dacă viteza de procesare este suficient de mare, chiar și în cazul unor erori de poziționare, sistemul de comandă al robotului va corecta poziția curentă, înainte ca "să se piardă din privire" obiectul desemnat. Astfel, urmărirea obiectului se consideră continuă, chiar dacă algoritmul utilizează imagini achiziționate la momente discrete de timp. Prin creșterea vitezei de procesare a semnalelor de intrare, poate rezulta posibilitatea urmării de obiecte care se deplasează rapid.

### 3.3 Algoritm pentru urmărirea obiectelor aflate în mișcare utilizând rețele neuronale celulare

În vederea obținerii comportamentului dorit pentru sistemul robotic descris anterior, se propune algoritmul de comandă pe baza informației vizuale prezentat în figura 3.8.

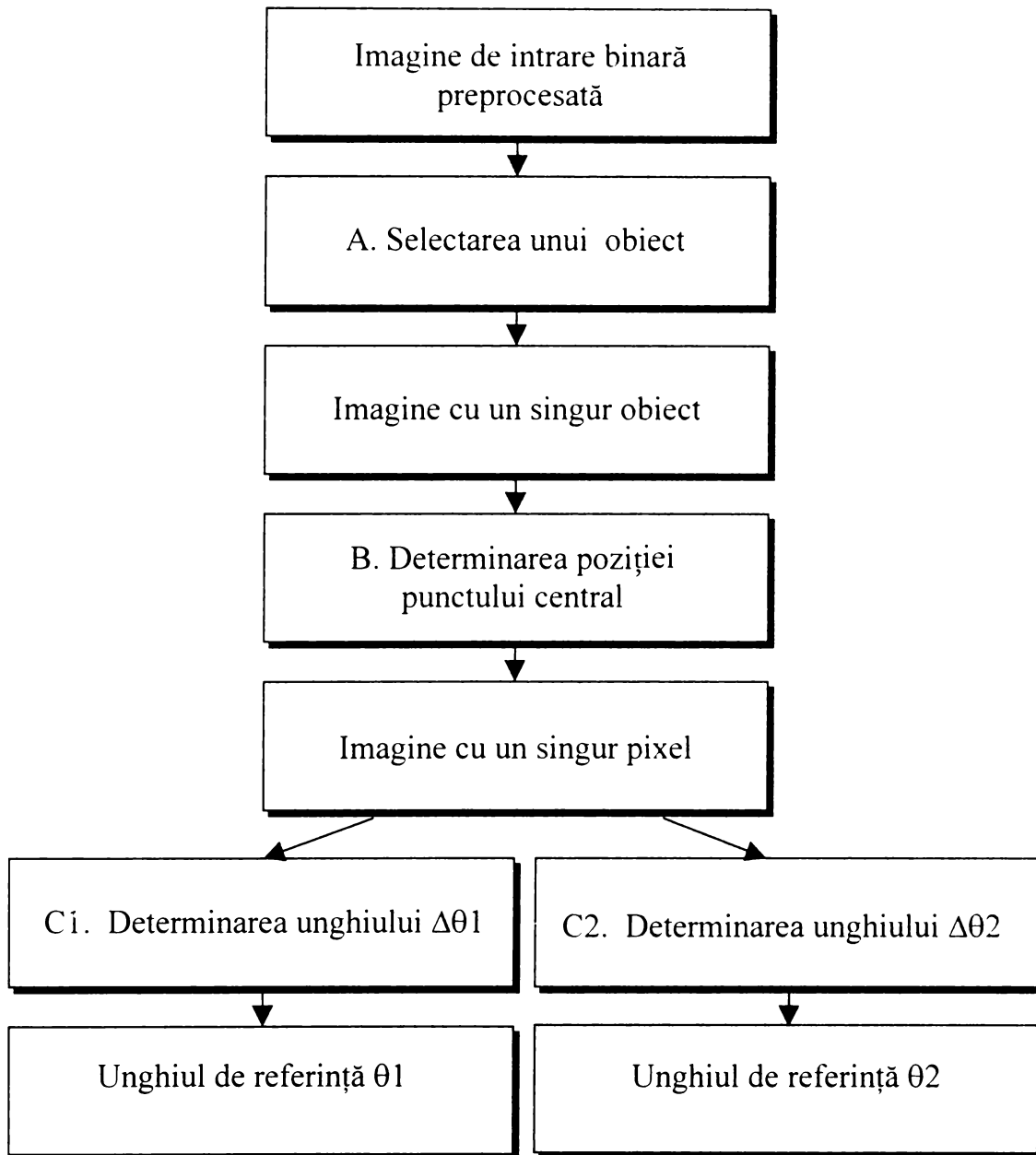


Figura 3.8. Organigrama algoritmului analogic CNN pentru urmărirea obiectelor aflate în mișcare.

Algoritmul pentru urmărirea obiectelor aflate în mișcare utilizează o imagine binară de intrare  $v(i,j)$  de dimensiune  $M*N$ . Imaginea binară se consideră ca fiind

rezultată în urma unor procesări elementare asupra imaginii achiziționate, cu niveluri de gri. În imaginea binară pixelii care aparțin obiectului au valoarea +1, iar celelalte elemente de imagine au valoarea -1.

$$v(i, j) = \begin{cases} +1 & \text{pentru pixelii care sunt în obiect} \\ -1 & \text{pentru pixelii care nu sunt în obiect} \end{cases} \quad (3.1)$$

pentru  $1 \leq i \leq M ; 1 \leq j \leq N$ .

Acest algoritm cuprinde următoarele etape:

i.) Desemnarea la momentul inițial și apoi selectarea automată a obiectului care va fi urmărit, la achiziția fiecărei imagini. Pentru desemnarea unui obiect în planul imaginii, la momentul inițial  $t_0$ , trebuie să se aducă cel puțin un punct al obiectului în originea sistemului de referință atașat planului de imagine. După aceasta însă, la orice moment următor ( $t_0+kT$ ) trebuie să se realizeze doar selectarea automată a obiectului desemnat la momentul  $t_0$ . Astfel, la sfârșitul acestei etape de procesare, imaginea de ieșire conține doar obiectul desemnat la  $t_0$ , dar în poziția curentă.

ii.) Determinarea în imaginea obținută după prima de procesare, a poziției  $P(x,y,kT)$  a punctului central a obiectului selectat. Algoritmul nu precizează coordonatele numerice ale punctului central în sistemul de referință atașat planului de imagine ci realizează numai identificarea acestuia.

iii.) Determinarea variațiilor  $\Delta\theta_1$  și  $\Delta\theta_2$  ale unghiurilor față de valorile actuale ale unghiurilor  $\theta_1$  și  $\theta_2$  pentru cuplele cinematice de rotație ale brațului robotic. Unghiurile de referință noi ale cuplelor cinematice de rotație A și B rezultă pe baza relațiilor:

$$\theta_{1\text{nou}} = \theta_{1\text{actual}} + \Delta\theta_1, \quad (3.2)$$

$$\theta_{2\text{nou}} = \theta_{2\text{actual}} + \Delta\theta_2. \quad (3.3)$$

Valorile unghiurilor  $\Delta\theta_1$  și  $\Delta\theta_2$  se vor determina în așa fel încât prin noua poziționare a brațului robotic (camerei video) punctul central al obiectului selectat din imaginea achiziționată să se situeze în originea sistemului de referință  $xOy$ , atașat planului de imagine al sensorului vizual. În acest caz, prin poziționarea brațului robotic eroarea de imagine devine nulă și se realizează sarcina de comandă care a fost propusă. Aceasta înseamnă de fapt găsirea unei soluții asemănătoare cu soluția pentru problema cinematică inversă a brațului sistemului robotic.

Pentru conducerea sistemului robotic pe baza informației vizuale “calibrarea” sistemului vizual cu sistemul de comandă rezultă din simpla suprapunere exactă a două imagini care au aceeași dimensiune,  $M \times N$ .

Pentru implementarea algoritmului analogic CNN de urmărire a obiectelor aflate în mișcare se propune folosirea unei structuri de rețea neuronală celulară cu trei straturi, prezentată în figura 3.9.

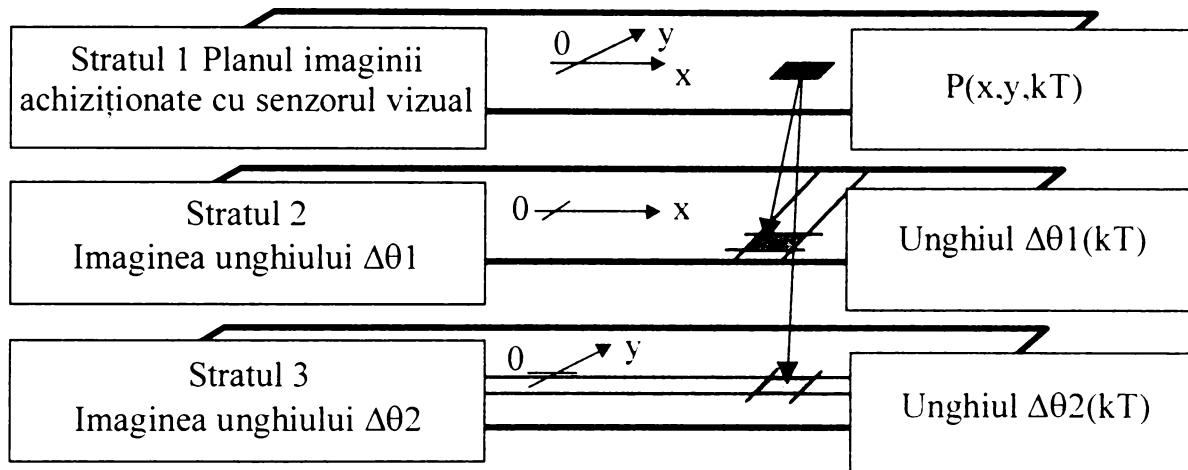


Figura 3.9. Structura de rețea neuronală celulară atașată comenzii sistemului

Stratul 1, superior, reprezintă chiar imaginea curentă de intrare. Prin selectarea unui obiect și determinarea punctului central, în urma unor procesări elementare, va rezulta o imagine conținând un singur pixel activ, cu valoarea +1. Straturile 2 și 3 sunt controlate de acest strat. Ieșirile celulelor din stratul 1 pot avea numai valori binare, adică +1 pentru pixelul activ (negru) și -1 pentru pixelii inactivi (alb).

Stratul 2 se asociază cu “imaginea”  $\Delta\theta_1$ . Această imagine este necesară pentru determinarea unghiului de referință  $\theta_1$ , corespunzător fiecărei poziții pe orizontală a pixelului activ din stratul 1.

Stratul 3 se asociază cu “imaginea”  $\Delta\theta_2$ . Corespunzător fiecărei poziții pe verticală a pixelului activ din stratul 1, cu ajutorul imaginii  $\Delta\theta_2$  se determină unghiul de referință  $\theta_2$ .

Straturile 2 și 3 adică “imaginile”  $\Delta\theta_1$  și  $\Delta\theta_2$  funcționează ca niște memorii bidimensionale care sunt adresate în poziție de pixelul activ din stratul 1. Domeniul valorilor de la ieșirea celulelor (conținutul locațiilor de memorie) din straturile 2 și 3 sunt cuprinse în intervalul  $[-1,+1]$ , adică imaginile corespunzătoare sunt cu niveluri de gri. Imaginile corespunzătoare straturilor 1, 2 și 3 au dimensiuni identice. Determinarea unghiurilor  $\Delta\theta_1$  și  $\Delta\theta_2$  se face pe baza suprapunerii stratului 1 cu straturile 2 și 3 și selectarea a câte unei locații de memorie de la adresa indicată de pixelul activ din stratul

1. În acest fel este suficientă numai identificarea poziției locației prin intermediul imaginii stratului 1. Pentru o memorie bidimensională clasică determinarea unei valori pentru o locație de memorie este imposibilă dacă nu se cunosc numeric coordonatele spațiale ale locației.

Pentru fiecare etapă din algoritmul analogic CNN pentru urmărirea obiectelor aflate în mișcare se utilizează numai soluții care se pot implementa pe circuitele CNN, prezentate în capitolul 2. Semnalele care se utilizează, indiferent de natura lor, sunt interpretate numai ca imagini, toate prelucrările făcându-se în acest mediu compatibil CNN, până la obținerea noilor valori pentru unghiurile de referință ale cuplelor cinematice. Se dorește ca fiecare etapă să se realizeze printr-o singură procesare adică cu un singur operator. Operatorii care se folosesc trebuie să fie liniari, cu dimensiunea  $3 \times 3$ , astfel încât să permită implementarea și testarea pe un chip-CNN real. Acolo unde este posibil se va utiliza deci un singur operator cunoscut [125]. Dacă într-o anumită etapă dată, soluțiile oferite de operatorii existenți nu sunt performante, atunci se impune elaborarea de noi operatori și algoritmi CNN.

În cazul implementării algoritmului de urmărire continuă a unui obiect pe un chip-CNN programabil, pot să apară problemele specifice de adaptare a operatorilor algoritmului la familia de chip CNN utilizat [21,68]. Totodată, la etapele prezentate anterior, apare în plus și etapa de achiziție a imaginii curente. Această etapă de achiziție nu modifică în esență nici algoritmul și nici timpul total de procesare. Față de imaginile lipsite de zgomot care s-au utilizat la testarea prin simulare a algoritmului, în imaginile naturale apare zgomotul inerent din mediul real.

### **3.3.1 Selectarea și urmărirea unui obiect într-o imagine binară**

Se presupune cazul unei imagini binare de intrare în care se desemnează un obiect la un moment dat  $t_0$ , după un criteriu oarecare. În continuare, secvențele de imagini care urmează trebuie astfel prelucrate încât în imaginea rezultată să rămână numai obiectul desemnat anterior, dar în poziția curentă. Se va presupune, de asemenea, că obiectele din imaginile achiziționate, sunt separabile. Dacă obiectele sunt suprapuse, chiar și parțial, sau sunt greu separabile, rețeaua le va trata ca fiind un singur obiect. În cele ce urmează se consideră că imaginile de intrare satisfac condițiile inițiale impuse de această etapă, fiind anterior preprocesate adecvat în acest scop.

Pentru desemnarea, selectarea și urmărirea unui obiect într-o imagine binară se creează o imagine de “memorare” care conține informația cu privire la obiectul desemnat sau selectat în eșantionul anterior. Această imagine de memorare la momentul inițial  $t_0$ , pentru criteriul de desemnare ales, este o imagine cu cel puțin un pixel activ (+1) care se suprapune ca poziție cu cel puțin un pixel activ al obiectului desemnat din planul de imagine achiziționat. Începând de la momentul  $(t_0+T)$ , imaginea de memorare va fi imaginea de ieșire de la secvența anterioară  $[t_0+(k-1)T]$ . Se continuă astfel cu secvențele de imagini de intrare care se achiziționează cu pasul de eșantionare  $T$ .

Pentru selectarea automată a unui obiect desemnat dintr-o imagine binară prin procesarea cu un sigur operator, s-a folosit operatorul follow.tem. Dimensionarea acestuia s-a făcut euristic de către autor. Pentru stratul 1 de rețea, imaginea de intrare curentă se aplică pe INPUT, iar imaginea de memorare se aplică pe STATE.

Operatorul follow.tem este definit de relațiile: (3.4)

$$A = \begin{array}{|c|c|c|} \hline 0.3 & 0.3 & 0.3 \\ \hline 0.3 & 4 & 0.3 \\ \hline 0.3 & 0.3 & 0.3 \\ \hline \end{array} \quad B = \begin{array}{|c|c|c|} \hline 0 & 0 & 0 \\ \hline 0 & 5.1 & 0 \\ \hline 0 & 0 & 0 \\ \hline \end{array} \quad z = \boxed{0}$$

Pentru o succesiune de imagini de intrare și imagini de memorare ca în figura 3.10, se prezintă în aceeași figură imaginile de ieșire după procesarea cu operatorul follow.tem.

Se constată ca răspunsul rețelei este corect, în imaginea de ieșire fiind prezent numai obiectul desemnat la început și poziționat corespunzător imaginii curente. Diferența între două poziții consecutive ale obiectului marcat poate fi de mai mulți pixeli pe fiecare direcție.

Procesarea cu follow.tem este corectă și în cazul desemnării unui obiect de dimensiuni mai mici, de câțiva pixeli, indiferent în ce poziție s-ar găsi, indiferent ce mișcare execută, de rotație, de translație sau și una și alta (figura 3.11; 1a-1c și 2a-2c).

Pentru urmărirea corectă a unui obiect într-o secvență de imagini binare, condiția necesară și suficientă este ca să existe cel puțin un element activ comun al obiectului din imagini succesiv achiziționate. În caz contrar răspunsul rețelei este greșit, adică se pierde obiectul din imaginea de ieșire.

Odată ce obiectul a fost pierdut, nu va mai exista obiect selectat nici în imaginea de memorare pentru eșantionul următor. Urmărirea aceluși obiect va fi posibilă numai prin reluarea procedurii de desemnare de la momentul inițial  $t_0$ .

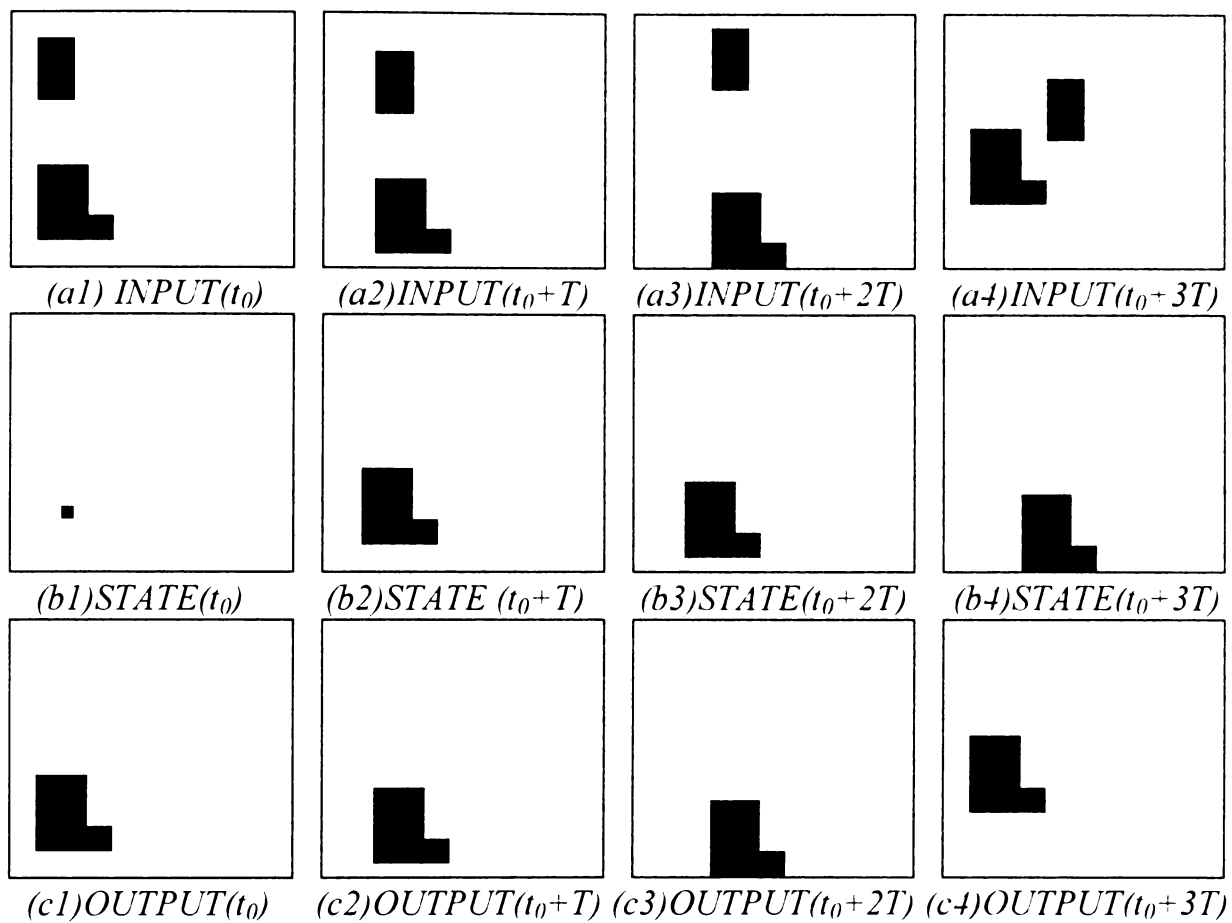


Figura 3.10. Procesarea cu *follow.tem* a unui șir de imagini la  $(t_0+kT), k=0,1,2,3$ :

(a1-a4) imagini de intrare binare preprocesate; (b1-b4) imagini de memorare  $(t_0+kT)=ieșire [t_0+(k-1)T]$ ; (c1-c4) imagini de ieșire.

În cazul în care a fost desemnat un obiect și dintr-o cauză oarecare acesta ajunge ca urmare a mișcării sale să se suprapună în imagine cu un alt obiect, se constată că rețeaua va urmări, până este posibil, ambele obiecte, inclusiv și cel care nu a fost desemnat (figura 3.11; 3a-3c și 4a-4c). Și în acest caz rezultă necesitatea unei noi desemnări a obiectului dorit.

Dacă pasul de eșantionare  $T$  este exprimat în secunde, la dimensiunea obiectului desemnat de  $N*N$  pixeli, viteza maximă pe o direcție a obiectului, acceptată de către operatorul *follow.tem* pentru procesare corectă, este  $(N/T)$  pixeli/ secundă.

În cazul utilizării operatorului *follow.tem* timpul de procesare este deci dependent de caracterul imaginii de intrare, de dimensiunea obiectului care s-a selectat și de diferența între pozițiile obiectului desemnat la două imagini succesiv achiziționate. Timpul de procesare este proporțional cu numărul de iterații necesar. Pentru un obiect cu dimensiunea  $N*N$  pixeli rezultă cel mult  $N^2$  iterații.



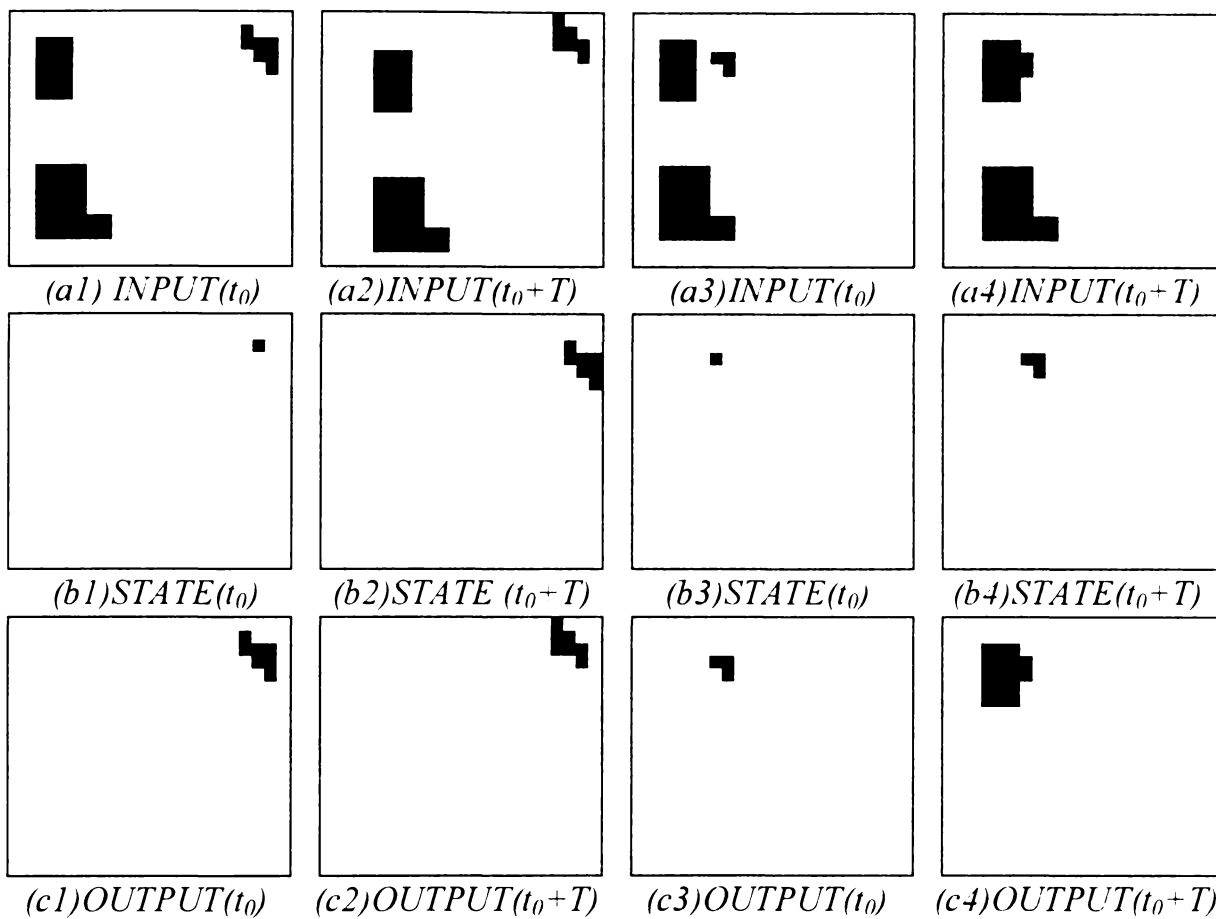


Figura 3.11. Procesarea cu *follow.tem* a unui șir de imagini la  $(t_0+kT)$ ,  $k=0,1$ : (a1-a4) imagini de intrare binare preprocesate; (b1-b4) imagini de memorare  $(t_0+kT)$  = imagini de ieșire  $[t_0+(k-1)T]$ ; (c1-c4) imagini de ieșire.

La implementarea pe un chip-CNN [21], în cazul optimizării operatorului *follow.tem* se impune în primul rând condiția ca în imaginea de ieșire rezultată să fie numai obiectul desemnat, unul singur. Se acceptă ca reproducerea formei după procesare să nu fie chiar corectă la o anumită secvență achiziționată, dacă deplasarea după o anumită direcție se face cu mai mult decât un pixel într-o perioadă de eșantionare, dar la secvența următoare să se corecteze și forma obiectului. Astfel, în urma optimizării operatorului *follow.tem* la implementarea pe un chip-CNN de  $20 \times 22$  pixeli, rezultă operatorul *follow1.tem* definit de relațiile:

$$\begin{matrix}
 A = & \begin{matrix} \boxed{0.275} & \boxed{0.275} & \boxed{0.275} \\ \boxed{0.275} & \boxed{2.3} & \boxed{0.275} \\ \boxed{0.275} & \boxed{0.275} & \boxed{0.275} \end{matrix} & B = & \begin{matrix} \boxed{0} & \boxed{0} & \boxed{0} \\ \boxed{0} & \boxed{3} & \boxed{0} \\ \boxed{0} & \boxed{0} & \boxed{0} \end{matrix} & z = & \boxed{0}
 \end{matrix}
 \tag{3.5}$$

Din figura 3.12 rezultă că urmărirea este corectă la fiecare pas de eșantionare, rezultând întotdeauna un singur obiect, cel care a fost desemnat.

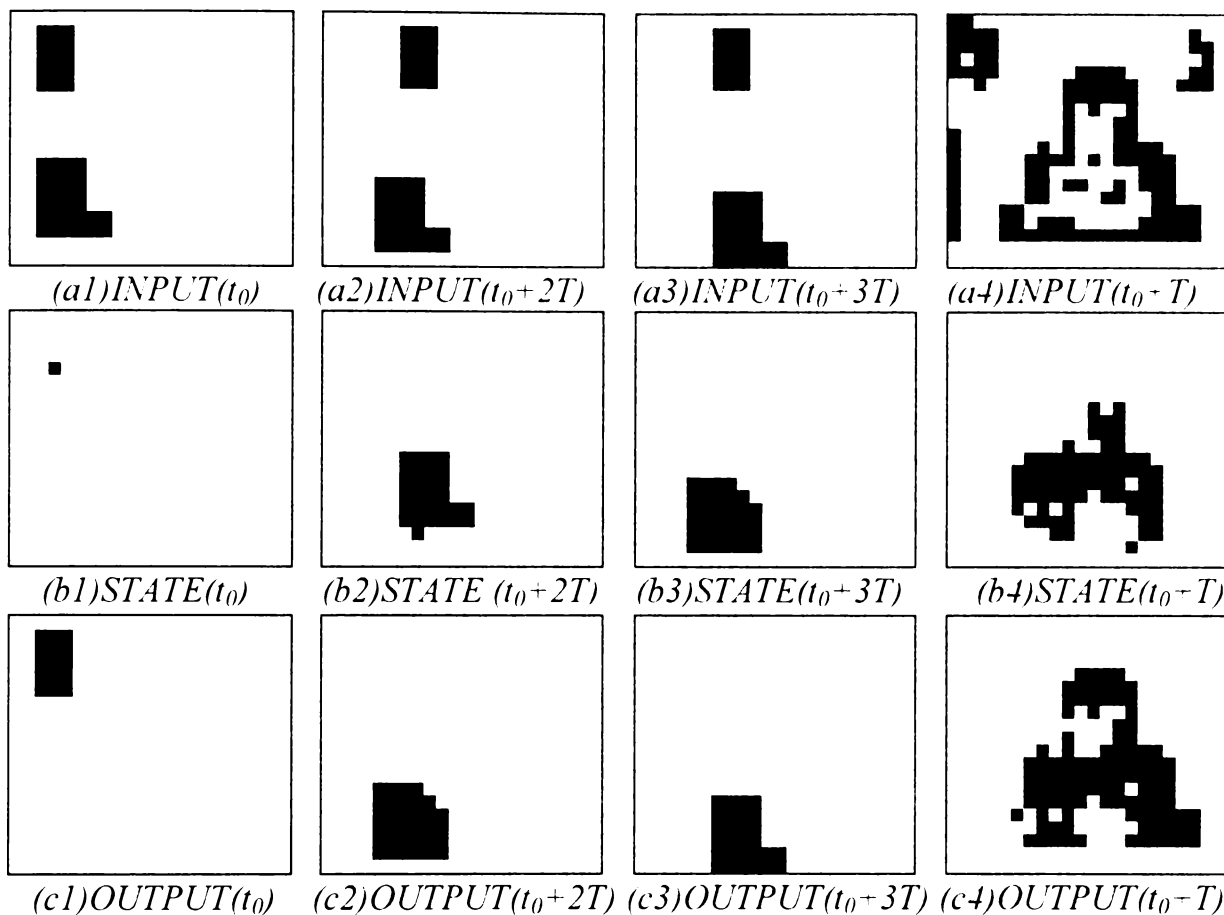


Figura 3.12. Procesarea cu follow-up a unor imagini la  $(t_0+kT), k=0,1,2$ : (a1-a4) imagini de intrare binare preprocesate; (b1-b4) imagini de memorare  $(t_0+kT) =$  imagini de ieșire  $[t_0+(k-1)T]$ ; (c1-c4) imagini de ieșire.

Reproducerea formei obiectului marcat este corectă dacă deplasarea obiectului pe o direcție nu a fost mai mare de un pixel, în intervalul de timp dintre două imagini consecutive de intrare. Pentru deplasări mai mari erorile de reproducere a formei cresc, dar urmărirea rămâne corectă. Forma obiectului se va corecta după secvențele de imagini achiziționate care vor urma. Obiecte de dimensiuni mici sunt urmărite corect, dar forma acestora se reproduce cu erori relative mai mari raportate la dimensiunile obiectului, respectiv are loc mai ușor pierderea de sub urmărire.

La urmărirea unui obiect, pentru a nu crește considerabil timpul de procesare corespunzător primului pas de eșantionare, se acceptă introducerea unei erori de reproducere de formă. Această eroare se poate micșora prin mărirea în imaginea de memorare inițială, a numărului de elemente active la mai mulți pixeli.

În general, la implementarea pe un chip-CNN, pentru funcționarea corectă a urmării și reproducerii formei unui obiect selectat, se impun condiții restrictive mai severe privind valorile maxime ale dimensiunii orificiilor din obiect, distanța dintre obiecte, viteza de deplasare (figura 3.12; 4a-4c).

Pe baza rezultatelor obținute la selectarea unui obiect dintr-o imagine prin procesarea unor imagini cu operatorul follow1.tem pe un chip-CNN [21], având în vedere dimensiunile obiectelor în raport cu dimensiunile imaginii, se poate aprecia totuși că erorile relative introduse de către acest operator sunt acceptabile.

### 3.3.2 Determinarea poziției unui obiect în planul imaginii utilizând rețele neuronale celulare

Având o imagine binară de intrare  $v(i,j)$  de dimensiune  $M*N$ , definită prin relația (3.1), care conține un singur obiect, se dorește să se determine poziția obiectului în planul imaginii.

Se va considera că poziția obiectului în planul imaginii se identifică cu poziția punctului central al obiectului. Prin determinarea poziției  $P(x,y,kT)$  a obiectului în planul imaginii se va înțelege numai identificarea punctului central fără a cunoaște numeric coordonatele acestuia în sistemul de referință rectangular  $xOy$  atașat planului de imagine.

Pentru determinarea poziției punctului central al obiectului se va folosi familia de operatori “center.tem”[125]. Prin utilizarea familiei de operatori center.tem se realizează de fapt o decojire simetrică succesivă a obiectului cu câte un pixel după fiecare direcție (V, N-V, N, N-E, E, S-E, S, S-V). Acest proces continuă până când obiectul va fi format dintr-un singur pixel activ (+1). Prin identificarea poziției acestui pixel se consideră determinată și poziția punctului central al obiectului din planul imaginii achiziționate. Imaginea de intrare binară este adusă pe INPUT, iar imaginea STATE este indiferentă (pixelii pot avea orice valori în domeniul standard CNN). Familia de operatori center.tem este alcătuită din operatorii center1.tem-center8.tem definiți de relațiile [125]:

(3.6)

center1.tem

$$A = \begin{bmatrix} 0 & 0 & 0 \\ 0 & 1 & 0 \\ 0 & 0 & 0 \end{bmatrix}$$

$$B = \begin{bmatrix} 1 & 0 & 0 \\ 1 & 4 & -1 \\ 1 & 0 & 0 \end{bmatrix}$$

$$z = \boxed{-1}$$

center2.tem

$$A = \begin{bmatrix} 0 & 0 & 0 \\ 0 & 1 & 0 \\ 0 & 0 & 0 \end{bmatrix}$$

$$B = \begin{bmatrix} 1 & 1 & 1 \\ 1 & 6 & 0 \\ 1 & 0 & -1 \end{bmatrix}$$

$$z = \boxed{-1}$$

center3.tem

$$A = \begin{bmatrix} 0 & 0 & 0 \\ 0 & 1 & 0 \\ 0 & 0 & 0 \end{bmatrix}$$

$$B = \begin{bmatrix} 1 & 1 & 1 \\ 0 & 4 & 0 \\ 0 & -1 & 0 \end{bmatrix}$$

$$z = \boxed{-1}$$

center4.tem

$$A = \begin{bmatrix} 0 & 0 & 0 \\ 0 & 1 & 0 \\ 0 & 0 & 0 \end{bmatrix}$$

$$B = \begin{bmatrix} 1 & 1 & 1 \\ 0 & 6 & 1 \\ -1 & 0 & 1 \end{bmatrix}$$

$$z = \boxed{-1}$$

center5.tem

$$A = \begin{bmatrix} 0 & 0 & 0 \\ 0 & 1 & 0 \\ 0 & 0 & 0 \end{bmatrix}$$

$$B = \begin{bmatrix} 0 & 0 & 1 \\ -1 & 4 & 1 \\ 0 & 0 & 1 \end{bmatrix}$$

$$z = \boxed{-1}$$

center6.tem

$$A = \begin{bmatrix} 0 & 0 & 0 \\ 0 & 1 & 0 \\ 0 & 0 & 0 \end{bmatrix}$$

$$B = \begin{bmatrix} -1 & 0 & 1 \\ 0 & 6 & 1 \\ 1 & 1 & 1 \end{bmatrix}$$

$$z = \boxed{-1}$$

center7.tem

$$A = \begin{bmatrix} 0 & 0 & 0 \\ 0 & 1 & 0 \\ 0 & 0 & 0 \end{bmatrix}$$

$$B = \begin{bmatrix} 0 & -1 & 0 \\ 0 & 4 & 0 \\ 1 & 1 & 1 \end{bmatrix}$$

$$z = \boxed{-1}$$

center8.tem

$$A = \begin{bmatrix} 0 & 0 & 0 \\ 0 & 1 & 0 \\ 0 & 0 & 0 \end{bmatrix}$$

$$B = \begin{bmatrix} 1 & 0 & -1 \\ 1 & 6 & 0 \\ 1 & 1 & 1 \end{bmatrix}$$

$$z = \boxed{-1}$$

Pentru a se ajunge la sfârșitul prelucrării cu familia de operatori center.tem doar la un singur pixel activ, numărul de iterații pentru decojire trebuie corelat cu dimensiunea obiectului. Astfel, la obiectele cu dimensiuni mai mari, pentru obținerea unui rezultat corect numărul de iterații trebuie crescut considerabil. Această familie de operatori este implementabilă pe chipul-CNN existent [21], dar chiar și în această situație procesarea este foarte mare consumatoare de timp.

În figura 3.13 se prezintă determinarea poziției punctului central al obiectului dintr-o imagine de intrare binară de 20\*22 pixeli, după 25 de iterații respectiv rezultatul final, adică imaginea de ieșire după 50 de iterații.

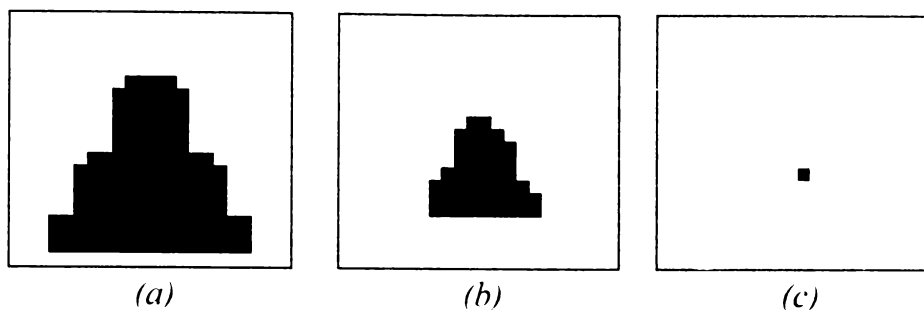


Figura 3.13. Determinarea punctului central cu `center.tem` pentru un obiect fără orificii: (a) imaginea de intrare; (b) imaginea de ieșire după 25 de iterații; (c) imaginea de ieșire după 50 de iterații.

Pentru obținerea unui rezultat convenabil cu operatorii `center.tem` se presupune, de asemenea, că obiectul care este decojit are un contur închis format numai din elemente active, care au valoarea +1. Dar dacă obiectul desemnat nu este cu contur închis și are și orificii sau goluri, de exemplu datorită iluminării necorespunzătoare din imaginea reală achiziționată, metoda determinării poziției punctului central prin acest procedeu nu conduce la un rezultat corect. În figura 3.14 se prezintă o astfel de situație, când nu rezultă univoc poziția punctului central, adică un singur pixel și astfel nu se poate preciza exact poziția în plan a obiectului. Această eroare este inacceptabilă pentru funcționarea corectă a algoritmului de urmărire a unui obiect aflat în mișcare.

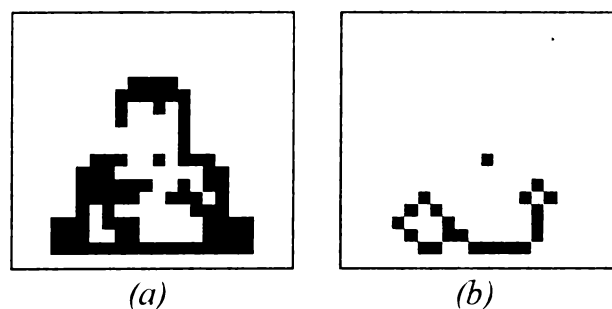


Figura 3.14. Determinarea punctului central cu `center.tem` pentru un obiect cu orificii: (a) imaginea de intrare; (b) imaginea de ieșire după 50 de iterații.

În consecință, înaintea determinării poziției punctului central cu ajutorul familiei de operatori `center.tem`, este necesară realizarea unei preprocesări cu ajutorul operatorului `hollow.tem` [125] a imaginii de intrare binare, pentru obținerea obiectului cu contur închis și fără orificii. Imaginea binară conținând un singur obiect se aplică pe INPUT, iar pe STATE se aplică “imaginea +1”, adică toate elementele de imagine sunt de valoarea +1.

Operatorul hollow.tem este definit de relațiile [125]: (3.7)

$$A = \begin{bmatrix} 0.5 & 0.5 & 0.5 \\ 0.5 & 2 & 0.5 \\ 0.5 & 0.5 & 0.5 \end{bmatrix} \quad B = \begin{bmatrix} 0 & 0 & 0 \\ 0 & 2 & 0 \\ 0 & 0 & 0 \end{bmatrix} \quad z = \boxed{3.25}$$

În figura 3.15 se prezintă un exemplu de determinare a poziției punctului central al unui obiect cu orificii, după procesare cu hollow.tem, rezultând în acest caz un singur pixel, adică o determinare corectă a poziției punctului central al obiectului.

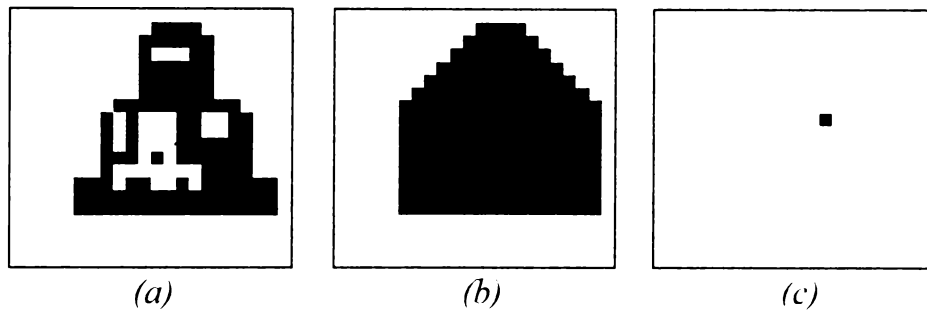


Figura 3.15. Determinarea punctului central pentru un obiect cu orificii:

- (a) imaginea de intrare; (b) imaginea de ieșire după hollow.tem;  
 (c) imaginea de ieșire după center.tem.

Prin utilizarea familiei de operatori center.tem nu rezultă însă o soluție unică, poziția punctului final activ depinzând de direcția din care se începe decojirea simetrică. Se poate constata că datorită acestui motiv rețeaua poate greși cu un pixel poziționarea (de exemplu, pe verticală, figura 3.15).

Numărul de iterații necesare pentru o procesare corectă cu hollow.tem este dependent de dimensiunea obiectului selectat și de numărul de orificii care există în obiect. În consecință, datorită preprocesării cu ajutorul hollow.tem a imaginii binare de intrare pentru a putea determina corect poziția punctului central al unui obiect cu center.tem este necesară și mai mult timp.

La implementarea pe un chip-CNN de 20\*22 de pixeli a operatorului hollow.tem, se dorește, de asemenea, ca răspunsul obținut să fie cât mai apropiat de răspunsul ideal obținut prin simulare, pentru a nu modifica substanțial poziția punctului central. De aceea, după optimizarea operatorului hollow.tem rezultă operatorul hollow1.tem definit de relațiile:

(3.8)

$$A = \begin{bmatrix} 0.5 & 0.5 & 0.5 \\ 0.5 & 2.0 & 0.5 \\ 0.5 & 0.5 & 0.5 \end{bmatrix} \quad B = \begin{bmatrix} 0 & 0 & 0 \\ 0 & 2 & 0 \\ 0 & 0 & 0 \end{bmatrix} \quad z = \boxed{2.750}$$

În figura 3.16 sunt prezentate rezultatele obținute la testarea pe un chip-CNN de 20\*22 de pixeli a operatorului hollow1.tem.

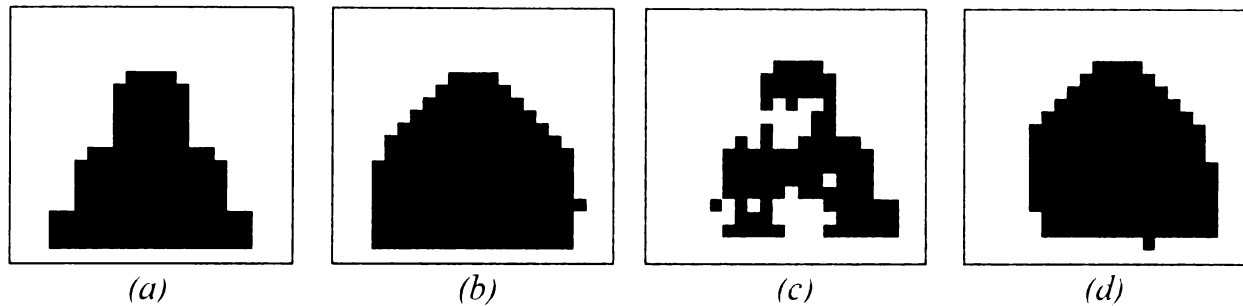


Figura 3.16. Testarea pe chip-CNN de 20\*22 de pixeli a hollow1.tem:  
(a) și (c) imagini de intrare; (b) și (d) imagini de ieșire după procesare.

### 3.3.3 Determinarea unghiurilor de referință $\theta_1$ și $\theta_2$

Având în planul imaginii stratului 1 poziția punctului central al unui obiect se pot determina în etapa a 3-a  $\theta_1$  și  $\theta_2$ , care reprezintă valorile unghiurilor de referință pentru poziția următoare a cuplelor cinematice de rotație A și B ale brațului robotic, asemănător soluțiilor pentru problema cinematică inversă. Se creează în acest scop imaginile  $\Delta\theta_1$  și  $\Delta\theta_2$ , adică straturile 2 și 3 ale structurii rețelei asociate algoritmului de urmărire a unui obiect. Unghiurile de referință noi,  $\theta_1$  și  $\theta_2$ , rezultă pe baza relațiilor (3.2) și (3.3).

Analizând transformata cinematică inversă pentru brațul unui robot cu cuple cinematice de rotație cu două grade de libertate [81], imaginile unghiurilor  $\Delta\theta_1$  respectiv  $\Delta\theta_2$ , propuse de autor, pot avea una din următoarele forme sau combinații ale acestora:

i.) Imagini cu niveluri de gri (figura 3.17:a și b), în care fiecare pixel are o valoare diferită și prin nivelul său de gri conține informația referitoare la mărimile  $\Delta\theta_1$  și  $\Delta\theta_2$ . În imaginile  $\Delta\theta_1$  și  $\Delta\theta_2$  valorile pixelilor depind de coordonatele x și y ale elementului de imagine în sistemul de referință atașat planului de imagine  $\Delta\theta_1=f(x,y)$  și  $\Delta\theta_2=g(x,y)$ . În acest caz nu se introduc aproximări dar este nevoie de un timp mai lung de procesare pentru determinarea unghiurilor de referință  $\theta_1$  respectiv  $\theta_2$ . Timpul de

procesare este mai mare mai ales datorită necesității obținerii punctului central al obiectului selectat.

ii.) Imagini cu niveluri de gri, care conțin pixeli cu valori identice pe câte o coloană (pentru imaginea  $\Delta\theta_1$ , figura 3.17c) respectiv câte o linie (pentru imaginea  $\Delta\theta_2$ , figura 3.17d). Fiecare coloană respectiv linie, prin nivelul său de gri conține informația referitoare la mărimile  $\Delta\theta_1$  și  $\Delta\theta_2$ , dacă sunt valabile aproximările  $\Delta\theta_1=f(x)$ , adică depinde numai de poziția după axa x și  $\Delta\theta_2=g(y)$ , adică depinde numai de poziția după axa y. Aceste aproximări permit ca imaginile să devină chiar binare, astfel încât fiecare coloană (pentru imaginea  $\Delta\theta_1$ , figura 3.17e) respectiv fiecare linie (pentru imaginea  $\Delta\theta_2$ , figura 3.17f) poate conține informația corespunzătoare codificată binar.

iii.) Imagini binare, pentru cea mai simplă situație, când imaginile unghiurilor  $\Delta\theta_1$  (figura 3.17g) respectiv  $\Delta\theta_2$  (figura 3.17h) servesc doar la determinarea semnului de variație ale unghiurilor față de poziția curentă, cu o mărime prestabilită, constantă. Prin această aproximare se poate chiar elimina din algoritm necesitatea de a determina punctul central al obiectului.

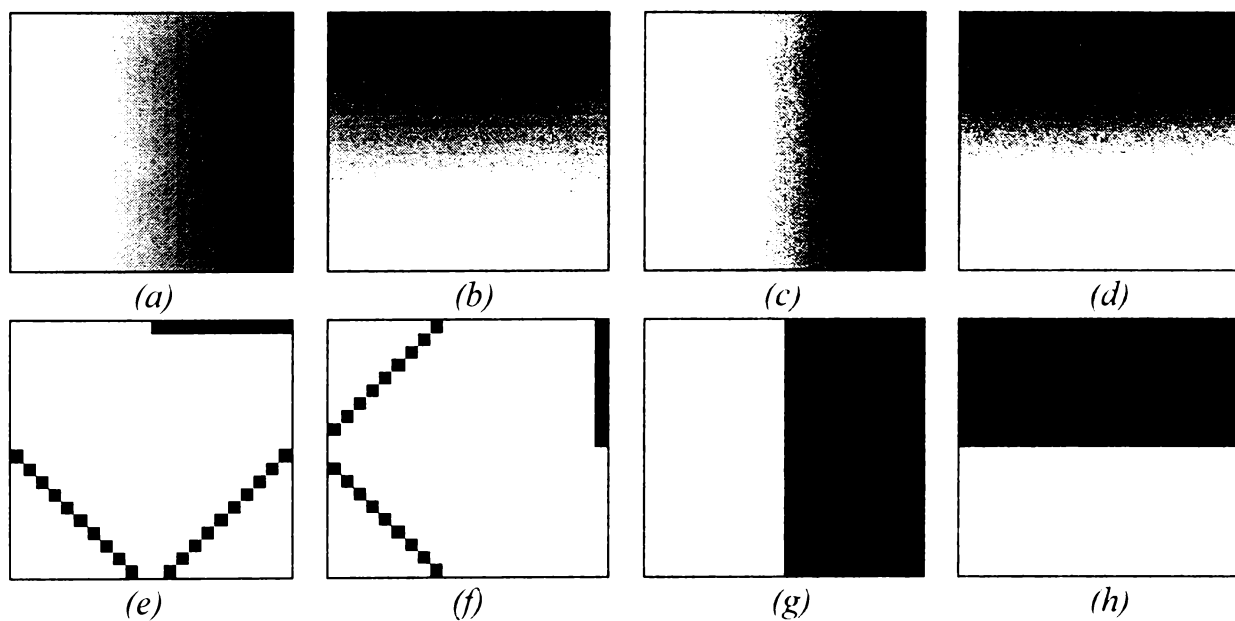


Figura 3.17. Imaginile unghiurilor de comandă: (a) imaginea  $\Delta\theta_1$ , cu niveluri de gri; (b) imaginea  $\Delta\theta_2$ , cu niveluri de gri; (c) imaginea  $\Delta\theta_1$ , cu niveluri de gri având coloane identice; (d) imaginea  $\Delta\theta_2$ , cu niveluri de gri având linii identice; (e) imaginea binară  $\Delta\theta_1$ ; (f) imaginea binară  $\Delta\theta_2$ ; (g) și (h) imagini utilizate la determinarea semnului  $\Delta\theta_1$  și  $\Delta\theta_2$ .

La alegerea structurii imaginilor  $\Delta\theta_1$  și  $\Delta\theta_2$  se au în vedere următoarele aspecte:



- precizia și viteza impusă pentru poziționarea punctului central al obiectului față de originea sistemului de referință atașat planului de imagine;
- viteza de deplasare a obiectului pe fiecare axă;
- modul în care se realizează implementarea pe chip-CNN a algoritmului de urmărire al unui obiect aflat în mișcare.

Prin simulare soft sau la procesarea pe un chip-CNN 64\*64 de pixeli [68] se pot folosi oricare din variantele de imagini  $\Delta\theta_1$  și  $\Delta\theta_2$  prezentate anterior, pe când la procesarea pe un chip CNN 20\*22 de pixeli, pot fi utilizate doar imaginile binare [21].

Indiferent de structura imaginilor cu care se operează, procedeul de determinare a mărimilor  $\Delta\theta_1$  și  $\Delta\theta_2$  se bazează pe extragerea, cu metode CNN, a valorilor corespunzătoare unui element de imagine, sau corespunzătoare unei linii ori coloane din imaginile asociate straturilor 2 și 3, pozițiile acestora fiind identificate prin pixeli de valoare +1 în planul imaginii stratului 1.

Valorile elementelor din imaginile  $\Delta\theta_1$  și  $\Delta\theta_2$ , cu niveluri de gri, trebuie determinate pixel cu pixel, corespunzător pozițiilor pe care le poate lua brațul robotic. Imaginile  $\Delta\theta_1$  și  $\Delta\theta_2$  se pot realiza și în cazul în care se cunosc valorile elementelor de imagine doar pentru un număr redus de pixeli. Valorile elementelor de imagine necunoscute pot fi determinate prin interpolare, de exemplu, prin interpolare spline cubică utilizând rețele neuronale celulare, metodă propusă de autor în capitolul 4.

Pentru cazul în care la imaginile unghiurilor  $\Delta\theta_1$  și  $\Delta\theta_2$  se folosesc imagini imagine cu niveluri de gri (figura 3.17;a și b), valorile acestor unghiuri se determină pe baza posibilității utilizării imaginii binare mască (MASK), la procesarea unei imagini cu ajutorul unui operator. Dacă într-o imagine mască binară un singur element este inactiv (de exemplu, cu valoarea +1, figura 3.18a), dintr-o altă imagine cu niveluri de gri (figura 3.18b), care coincide ca dimensiuni cu prima, se poate extrage valoarea unui pixel care se află în aceeași poziție în imaginea a doua ca și elementul inactiv din prima imagine binară. Pentru determinarea valorii unui pixel dintr-o imagine cu niveluri de gri se va utiliza operatorului `filwhite.tem` sau operatorul `filblack.tem` [125].

Operatorul `filwhite.tem` este definit de relațiile: (3.9)

$$A = \begin{bmatrix} 0 & 0 & 0 \\ 0 & 2 & 0 \\ 0 & 0 & 0 \end{bmatrix} \quad B = \begin{bmatrix} 0 & 0 & 0 \\ 0 & 0 & 0 \\ 0 & 0 & 0 \end{bmatrix} \quad z = \boxed{-4}$$

Operatorul `filblack.tem` este definit de relațiile: (3.10)

$$A = \begin{bmatrix} 0 & 0 & 0 \\ 0 & 2 & 0 \\ 0 & 0 & 0 \end{bmatrix} \quad B = \begin{bmatrix} 0 & 0 & 0 \\ 0 & 0 & 0 \\ 0 & 0 & 0 \end{bmatrix} \quad z = \boxed{4}$$

În urma prelucrării, fără imagine mască, a unei imagini cu operatorul `filwhite.tem` sau cu operatorul `filblack.tem`, vor rezulta imagini care au toți pixelii de valoare -1 respectiv +1. Utilizând operatorul `filwhite.tem` sau `filblack.tem`, dacă se folosește și imagine mască binară, în imaginea cu niveluri de gri, care rezultă în urma prelucrării, un singur element va diferi de valoarea -1 respectiv +1 (figura 3.18;c și d). Doar acestui element din imagine i s-a menținut valoarea inițială dinaintea prelucrării, prin elementul inactiv situat în aceeași poziție din imaginea mască. Astfel, printr-o singură instrucțiune AMC, se poate extrage valoarea acestui element ca fiind valoarea maximă respectiv minimă din imagine (figura 3.18). Ca și în cazul imaginilor prezentate în figura 3.17;a;b, se parcurg practic aceleași etape pentru cunoașterea valorii unei coloane sau a unei linii în imaginile prezentate în figura 3.17;c;d, imaginile mască vor avea în aceste cazuri o coloană respectiv o linie inactivă.

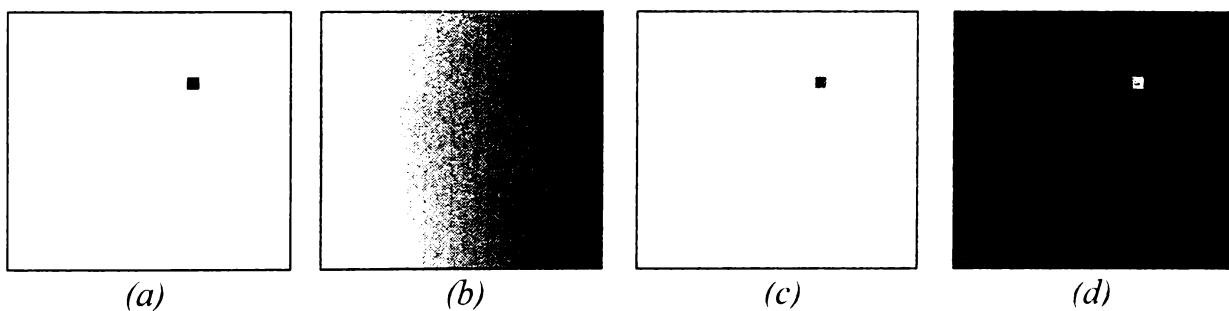


Figura 3.18. Determinarea unghiului  $\Delta\theta_1$  pentru imagini cu niveluri de gri:  
 (a) imaginea binară mască (stratul 1); (b) imaginea  $\Delta\theta_1$ , cu niveluri de gri;  
 (c) imaginea de ieșire după `filwhite.tem`; (d) imaginea de ieșire după `filblack.tem`.

În cazul utilizării imaginilor din figura 3.17;g:h, pentru determinarea semnelor unghiurilor  $\Delta\theta_1$  și  $\Delta\theta_2$ , se utilizează proprietatea acestora conform căreia valoarea medie a pixelilor este nulă, adică numărul de pixeli albi (-1) este identic cu numărul de pixeli negri (+1). Printr-o singură instrucțiune AMC se poate contoriza numărul de pixeli de un anumit fel din imaginea binară (de valori +1 sau valori -1). Utilizând numai procesări elementare logice (XOR) între imaginea binară cu un singur obiect, stratul 1 și imaginile unghiurilor  $\Delta\theta_1$  și  $\Delta\theta_2$ , se poate pune în evidență modificarea numărului de pixeli de un anumit fel, dacă obiectul nu este situat în centrul imaginii. Semnele pentru

$\Delta\theta_1$  și  $\Delta\theta_2$  rezultă prin compararea numărului de elemente de un anumit fel cu valoarea medie din imaginea originală.

În figura 3.19 se prezintă un exemplu pentru determinarea semnului pentru  $\Delta\theta_1$ . Dacă pragul de comparație este diferit de zero și diferit pentru sensul pozitiv respectiv sensul negativ, se poate realiza o histereză pentru comanda unghiului cuplei, adică camera video să se miște numai la modificarea substanțială a poziției obiectului urmărit în raport cu centrul imaginii.

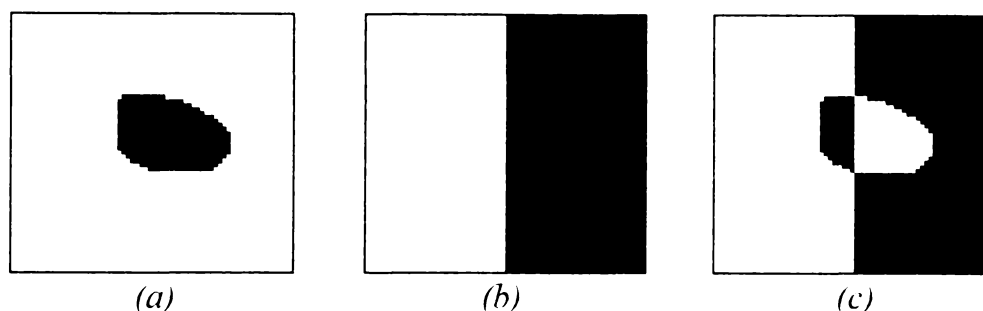


Figura 3.19. Determinarea semnului  $\Delta\theta_1$ : (a) imaginea binară de pe stratul 1; (b) imaginea binară  $\Delta\theta_1$ ; (c) imaginea de ieșire după XOR.

Având în vedere caracteristicile circuitului CNN cu  $20 \times 22$  de pixeli [21], pentru a putea implementa pe acest chip, algoritmul de urmărire a unui obiect aflat în mișcare, imaginile alese pentru determinarea unghiurilor  $\Delta\theta_1$  și  $\Delta\theta_2$  sunt cele din figura 3.17:e;f. Astfel, dacă ne referim la imaginea  $\Delta\theta_1$ , fiecărei coloane îi corespunde o anumită valoare pentru poziționarea pe orizontală, cuprinsă între o valoare maximă și o valoare minimă. Partea dreaptă a imaginii corespunde valorilor pozitive ale unghiului  $\Delta\theta_1$ , în stânga imaginii sunt codurile valorilor negative ale unghiului.

Pentru imaginea  $\Delta\theta_2$  fiecare linie reprezintă câte o valoare necesară pentru poziționarea pe verticală, între o valoare minimă și valoarea maximă. În partea de sus a imaginii sunt valorile pozitive ale unghiului  $\Delta\theta_2$ , iar în partea de jos valorile negative ale aceluiași unghi. Numărul de poziții discrete este diferit în cele două imagini, deoarece dimensiunile imaginii nu sunt identice după cele două direcții (având dimensiunea de  $20 \times 22$  pixeli). Față de  $\Delta\theta_2$ , apar în plus două poziții discrete la  $\Delta\theta_1$ .

Astfel, pornind de la poziția punctului central reprezentată în stratul 1 al rețelei, pentru determinarea noilor valori pentru  $\Delta\theta_1$  și  $\Delta\theta_2$  se parcurg mai mulți pași de procesare, ca în figura 3.20. Pentru extragerea valorilor  $\Delta\theta_1$  și  $\Delta\theta_2$  se folosesc operatorii shsiud.tem sau shsirl.tem care s-au determinat pe baza shadsim.tem [125]. Dacă o imagine binară (aplicată pe STATE) este procesată cu ajutorul operatorilor

shsiud.tem sau shsirl.tem. în imaginea rezultată. dimensiunea obiectelor (de valori +1) se va mări cu câte un pixel prin crearea unor umbre pe direcția N-S respectiv pe direcția E-V.

Operatorul shsiud.tem este definit de relațiile [125]: (3.11)

$$A = \begin{bmatrix} 0 & 1 & 0 \\ 0 & 2 & 0 \\ 0 & 1 & 0 \end{bmatrix} \quad B = \begin{bmatrix} 0 & 0 & 0 \\ 0 & 0 & 0 \\ 0 & 0 & 0 \end{bmatrix} \quad z = \boxed{2}$$

Operatorul shsirl.tem este definit de relațiile [125]: (3.12)

$$A = \begin{bmatrix} 0 & 0 & 0 \\ 1 & 2 & 1 \\ 0 & 0 & 0 \end{bmatrix} \quad B = \begin{bmatrix} 0 & 0 & 0 \\ 0 & 0 & 0 \\ 0 & 0 & 0 \end{bmatrix} \quad z = \boxed{2}$$

Prin prelucrarea cu operatorul shsiud.tem a unei imagini binare cu un singur obiect (figura 3.20d) de dimensiunea unui pixel (punctul central), se obține o imagine care conține un obiect de dimensiunea unei coloane (figura 3.20e), iar prin procesarea cu operatorul shsirl.tem a aceleași imagini inițiale rezultă o imagine care conține un obiect de dimensiunea unei linii (figura 3.20i).

Pentru determinarea lui  $\Delta\theta 1$  se selectează coloana curentă (figura 3.20g), din imaginea  $\Delta\theta 1$  prin realizarea funcției logice ȘI, pixel cu pixel, între imaginea care conține un obiect de dimensiunea unei coloane și imaginea  $\Delta\theta 1$ . Cele două imagini se aplică pe INPUT respectiv pe STATE . Funcția logică ȘI se realizează cu operatorul logAND.tem definit de relațiile[125]: (3.13)

$$A = \begin{bmatrix} 0 & 0 & 0 \\ 0 & 2 & 0 \\ 0 & 0 & 0 \end{bmatrix} \quad B = \begin{bmatrix} 0 & 0 & 0 \\ 0 & 1 & 0 \\ 0 & 0 & 0 \end{bmatrix} \quad z = \boxed{-1}$$

Pentru ca indiferent de coloana selectată din imaginea  $\Delta\theta 1$  să se obțină în același mod și același loc codul unghiului  $\Delta\theta 1$ , asupra imaginii care rezultă după funcția logică ȘI, se mai aplică o nouă procesare de umbră E-V, cu operatorul shsirl.tem. Valoarea analogică pentru  $\Delta\theta 1$  va rezulta întotdeauna prin decodificarea coloanei extreme din dreapta sau stânga imaginii rezultate (figura 3.20h).

În cazul determinării valorii  $\Delta\theta 2$ , procedeul de selectare este asemănător cu cel prezentat pentru unghiul  $\Delta\theta 1$ , dar se va selecta o linie din imaginea  $\Delta\theta 2$  (figura 3.20k).

Valoarea analogică pentru  $\Delta\theta_2$  rezultă prin decodificarea primei sau a ultimei linii de sus a imaginii care rezultă după efectuarea cu operatorul shsiud.tem a umbrei N-S asupra imaginii cu o linie selectată din  $\Delta\theta_2$  (figura 3.20l).

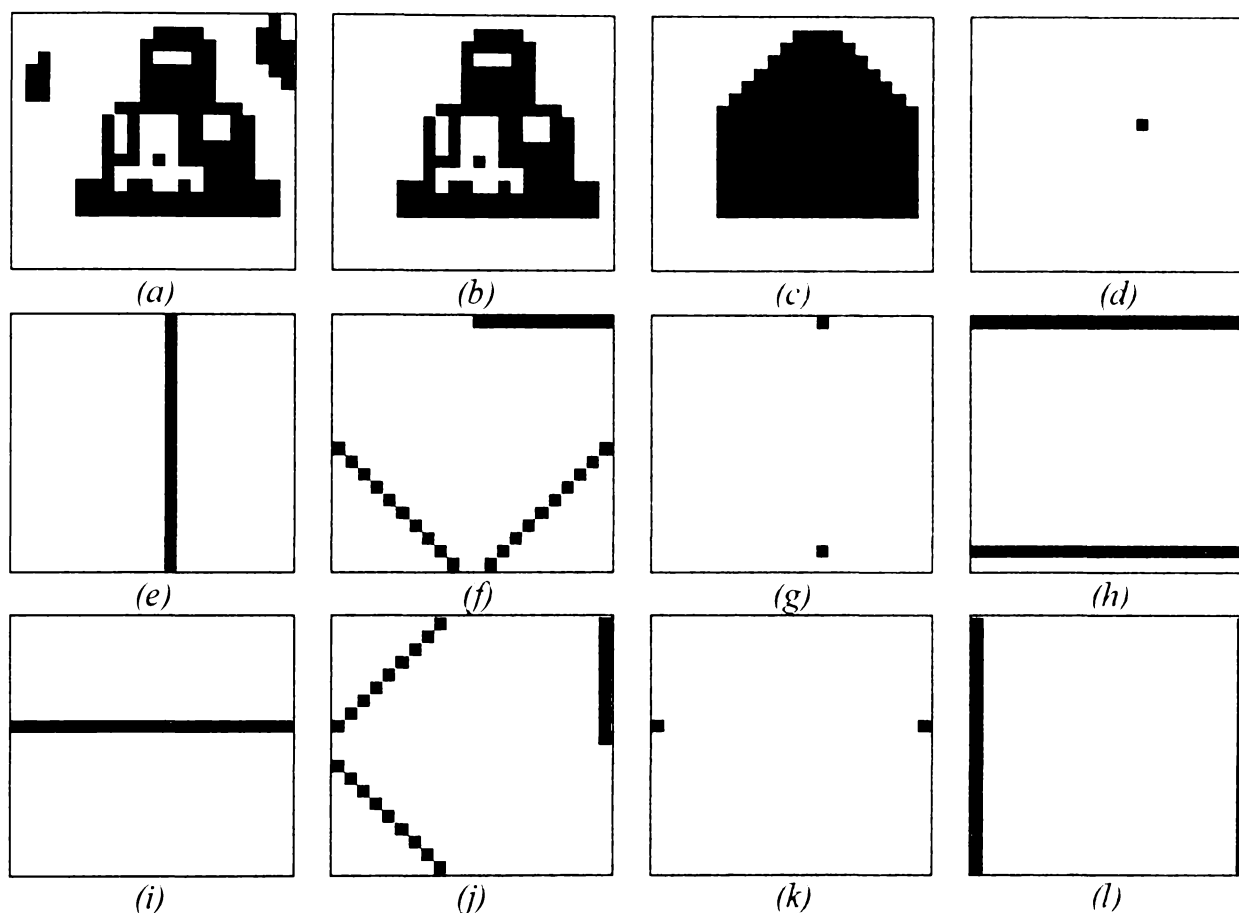


Figura 3.20. Simularea algoritmului CNN de urmărirea unui obiect aflat în mișcare: a) imaginea actuală de intrare; b) imaginea de ieșire după follow.tem; c) imaginea de ieșire după hollow.tem; d) imaginea de ieșire cu punctul central al obiectului; e) imaginea de ieșire după shsiud.tem; f) imaginea  $\Delta\theta_1$ ; g) imaginea de ieșire după logAND.tem; h) imaginea de ieșire după shsirl.tem; i) imaginea de ieșire după shsirl.tem; j) imaginea  $\Delta\theta_2$ ; k) imaginea de ieșire după logAND.tem; l) imaginea de ieșire după shsiud.tem.

Deoarece procesările cu operatorii shsiud.tem și shsirl.tem sunt tranziente, acestea necesită multe iterații, timpii de procesare depinzând de dimensiunile imaginii. Numărul de iterații pentru procesarea cu LogAND.tem este unu, deoarece aceasta este o procesare locală fără tranzient. În cazul unor imagini de dimensiunea 20\*22 pixeli, pentru prelucrările cu operatorii shsiud.tem și shsirl.tem numărul maxim de iterații necesar este de 22.

### 3.4 Testarea algoritmului CNN de urmărire a unui obiect aflat în mișcare

În figura 3.21 se prezintă sistemul experimental utilizat pentru testarea algoritmului de urmărire a unui obiect aflat în mișcare. Această structură de testare are la bază sistemul de dezvoltare “CadetWin”(CNN application development environment and toolkit under Windows) [123] și camera video “EVI-D31 Sony” [132]. Camera video este mobilă, având două grade de libertate, asigurate de cuple cinematice de rotație. Comanda poziției se face cu ajutorul unui calculator printr-o interfață serială standard RS 232.

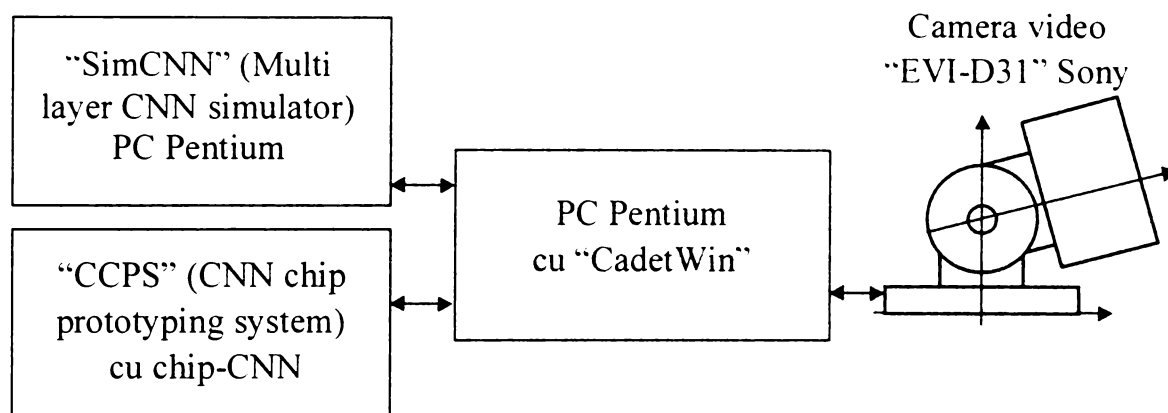


Figura 3.21. Sistemul experimental utilizat pentru testarea algoritmului de urmărire a unui obiect aflat în mișcare.

Algoritmul CNN de urmărire a unui obiect aflat în mișcare a fost implementat în program în limbaj de asamblare “AMC” (Extended analogic macro code and interpreter [130]) (anexa 1) și testat integral cu ajutorul simulatorului “SimCNN”(Multi-layer CNN simulator with the visual mouse platform) [128]. Cu ajutorul acestei platforme, pe baza programelor AMC, este posibilă comanda cuplelor cinematice de rotație prin portul serial al camerei video prin valori absolute, valori relative sau cu valori prestabilite și viteze reglabile. Pentru fiecare etapă din algoritmul analogic CNN pentru urmărirea obiectelor aflate în mișcare s-au utilizat la simulare și soluții care se pot implementa pe un chip-CNN cu 20\*22 pixeli, cu intrare optică directă, existent la data respectivă [21].

Pentru implementarea pe chip-CNN a operatorilor follow1.tem și hollow1.tem s-a utilizat interfața “CCPS”(CNN chip prototyping system) [131].

Principalele etape ale algoritmului CNN de urmărire a unui obiect aflat în mișcare sunt cele prezentate deja în figura 3.20.

În tabelul 3.1 se prezintă timpii de procesare caracteristici ai algoritmului CNN de urmărire a unui obiect aflat în mișcare, corespunzătorii simulării respectiv la implementarea pe un chip-CNN cu 20\*22 de pixeli. S-a notat cu  $\tau_{CNN}$  constanta de timp caracteristică pentru o celulă a acestui chip-CNN. În cazul simulării, când ecuația diferențială de stare care caracterizează dinamica unei celule este implementată numeric, timpul de procesare se va exprima în  $\tau_1$ ; acesta reprezintă produsul dintre numărul de iterații necesare și pasul de iterație.

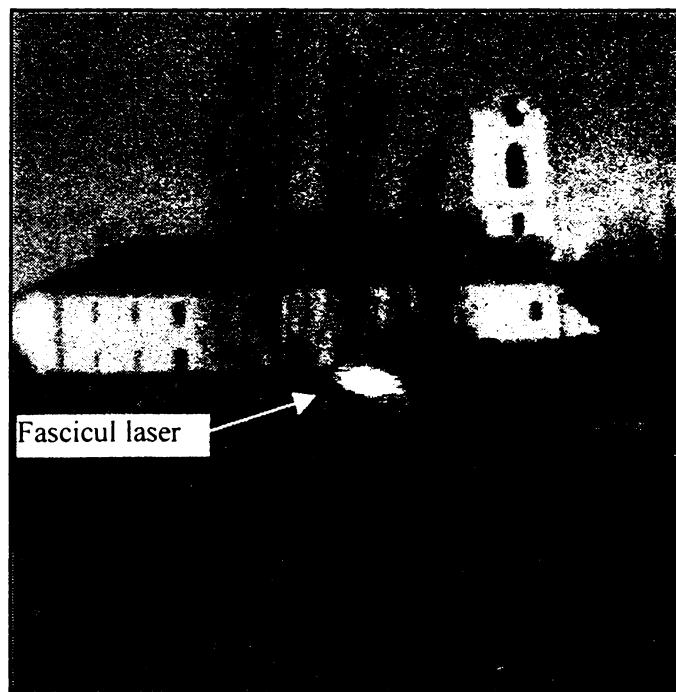
Pentru operatorii center.tem, logAND.tem, shsirl.tem, shsiud.tem s-au utilizat aceleași valori ca și cele care au fost stabilite la simulare, acestea fiind valabile chiar și pentru situațiile cele mai defavorabile. Se observă că la operatorii follow1.tem și hollow1.tem din etapa de implementare pe chip timpii de procesare sunt apropiați de valorile timpilor de procesare care au rezultat la simulare pentru follow.tem și hollow.tem.

Operator	Sim CNN ( $\tau_1$ )	20*22 CNN-UM ( $\tau_{CNN}$ )
achiziție	-	~1
follow.tem	<50	40
center.tem	72	72
hollow.tem	<40	50
shsiud.tem	<22	<22
logAND.tem	1	1
shsirl.tem	<22	<22
shsirl.tem	<22	<22
logAND.tem	1	1
shsiud.tem	<22	<22
Total	<252	<253

*Tabel 3. 1: Timpii caracteristici de procesare ai algoritmului de urmărire a unui obiect aflat în mișcare la simulare și la implementare pe chip-CNN cu 20\*22 pixeli.*

Pentru sistemului robotic descris, în cazul circuitului CNN utilizat (cP400), constanta de timp care caracterizează o celulă fiind de  $\tau_{CNN} = 250$  ns, timpul total de procesare este de aproximativ 63.25  $\mu$ s de la momentul achiziției imaginii până la obținerea unghiurilor de referință noi ale cuplelor cinematice.

Pe baza algoritmului propus de urmărire a unui obiect s-a realizat un program minimal de comandă, în limbaj de asamblare, care utilizează numai operații logice CNN ce se pot executa la nivel de CCPS, rezultând timpul cel mai scurt pentru execuția completă în buclă închisă a algoritmului de comandă (anexa 2). Cu sistemul prezentat în figura 3.21 s-a urmărit în acest fel mișcarea unui fascicol laser proiectat pe suprafața plană a unei fotografii. Programul, care cuprinde achiziția de imagini cu niveluri de gri de 300\*300 pixeli, prelucrarea acestora conform algoritmului propus și furnizarea unghiurilor de comandă pentru camera video, se poate efectua în buclă cu o perioadă de 0.3s. În figura 3.22 se prezintă un cadru din imaginile achiziționate (record file) de la testarea în buclă a acestui program minimal AMC de urmărire a fascicolului laser cu ajutorul camerei video mobile.



*Figura 3.22. Cadru de imagine achiziționat la testarea algoritmului de urmărire a unui fascicol laser cu o cameră video.*

Pe baza rezultatelor obținute prin simulare și respectiv implementare pe un chip-CNN a algoritmului de urmărire, rezultă că între două imagini de intrare succesiv achiziționate se pot efectua toate procesările necesare în vederea funcționării în timp real a sistemului robotic studiat. Creșterea performanțelor algoritmului CNN de urmărire a unui obiect aflat în mișcare, prin mărirea dimensiunilor imaginilor, va determina inevitabil și creșterea timpului de procesare dar poate fi realizabil în continuare în timp real având în vedere că majoritatea procesărilor efectuate sunt paralele.



### 3.5 Un nou algoritm pentru determinarea punctului central al unui obiect utilizând rețele neuronale celulare

Așa cum s-a prezentat în paragraful 3.3.2, determinarea punctului central pentru un obiect dintr-o imagine reprezintă o etapă de procesare care se utilizează frecvent în algoritmi CNN de prelucrare complexă, în timp real [49,117]. Operatorii cunoscuți,  $center.tem$  și  $hollow.tem$ , necesită însă un timp de procesare relativ ridicat. Cu toate acestea ei sunt utilizați, fiind în momentul de față singura procedură CNN care se poate aplica prin utilizarea numai de imagini binare.

În general, în cazul unor probleme complexe este dificil de proiectat un singur operator, liniar de dimensiune  $3 \times 3$ , care să ofere soluție printr-un singur pas de prelucrare, chiar dacă se pot procesa și imagini cu niveluri de gri. De aceea, problema complexă se va descompune în probleme parțiale care deja se pot soluționa cu câte un singur operator elementar și în timp foarte scurt, rezultând un algoritm CNN.

În cele ce urmează se propune un nou algoritm pentru determinarea punctului central al unui obiect dintr-o imagine, care prezintă avantajul unui timp mai redus de procesare comparativ cu algoritmul utilizat în paragraful precedent; organigrama corespunzătoare este prezentată în figura 3.23. Acest algoritm deși oferă soluție după mai mulți pași de procesări elementare, timpul total necesar nu depinde de dimensiunea obiectului la care i se caută punctul central. Pe de altă parte, algoritmul nu este afectat de erorile care se introduc în cazul în care obiectul nu este cu contur închis sau prezintă orificii. Algoritmul pentru determinarea punctului central al unui obiect dintr-o imagine se bazează pe identificarea într-o imagine cu niveluri de gri a poziției unui element de imagine dacă i se cunoaște valoarea, fără a preciza numeric coordonatele acestuia în sistemul de referință atașat planului de imagine.

Imaginea de intrare cu obiectul pentru care se determină punctul central trebuie să fie tot binară, ca în figura 3.24a. Cu convenția cunoscută, pixelii care aparțin obiectului, mulțimea  $O$ , au valoarea  $+1$ , celelalte elemente au valoarea  $-1$ :

$$(i, j) \in O \mid v(i, j) = +1, \quad (3.14)$$

$$(i, j) \notin O \mid v(i, j) = -1, \text{ pentru } 1 \leq i \leq M; 1 \leq j \leq N.$$

Acestei imagini binare i se asociază două imagini cu niveluri de gri ajutătoare, cu aceleași dimensiuni ca și imaginea inițială de intrare. Pentru determinarea axei de

simetrie pe orizontală se va utiliza o imagine de "măsurare X" cu valori X (figura 3.24b), iar cealaltă imagine "măsurare Y" cu valori Y (figura 3.24c) servește pentru determinarea axei de simetrie pe verticală. În imaginea de "măsurare X", valorile pixelilor de pe o coloană sunt constante iar valorile coloanelor cresc liniar de la stânga la dreapta în intervalul de la -1 la +1. În imaginea de "măsurare Y", valorile pixelilor de pe o linie sunt constante și valorile liniilor cresc de jos în sus, de la -1 la +1.

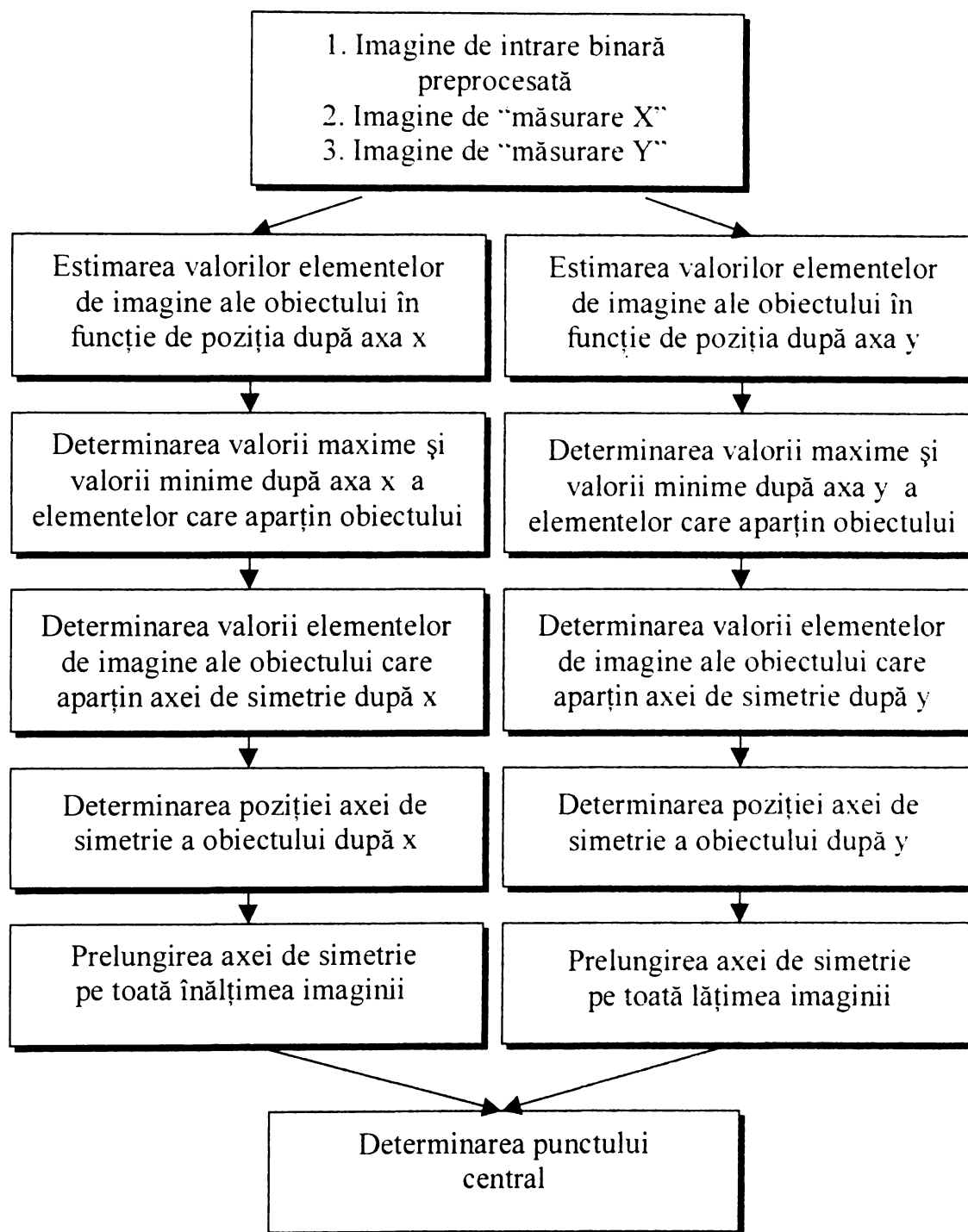


Figura 3.23. Organigrama noului algoritm CNN pentru determinarea punctului central al unui obiect.

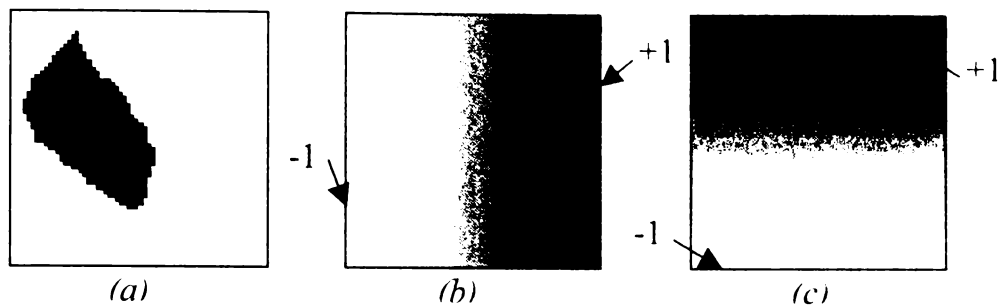


Figura 3.24. Imaginile de intrare care se utilizează la algoritmul CNN pentru determinarea punctului central al unui obiect: (a) imaginea binară cu un obiect; (b) imagine de "măsurare X"; (c) imagine de "măsurare Y".

Cu aceste două imagini de "măsurare" se realizează o evaluare după poziție a valorilor elementelor de imagine care aparțin numai obiectului. Imaginea binară de intrare se utilizează ca și mască (MASK), care nu permite modificarea valorilor anumitor elemente de imagine din imaginile de măsurare. De exemplu, se pot modifica numai valorile acelor elemente din imaginile de măsurare cărora le corespund în aceeași poziție în imaginea binară mască elemente active cu valoarea +1. Imaginea mască este inversa imaginii de intrare. Estimarea valorilor elementelor de imagine care aparțin obiectului, în funcție de poziție, se realizează pentru două situații:

- Dacă se utilizează operatorul `filwhite.tem.` relația (3.9) [125], valorile elementelor de imagine din imaginile de măsurare care nu aparțin obiectului în imaginea binară devin -1;

$$v(i, j)|_X = \begin{cases} X & \text{pentru } (i, j) \in \mathbf{O} \\ -1 & \text{pentru } (i, j) \notin \mathbf{O} \end{cases}, \quad (3.15)$$

$$v(i, j)|_Y = \begin{cases} Y & \text{pentru } (i, j) \in \mathbf{O} \\ -1 & \text{pentru } (i, j) \notin \mathbf{O} \end{cases}. \quad (3.16)$$

- Dacă se utilizează operatorul `filblack.tem.` relația (3.10) [125], valorile elementelor de imagine, din imaginile de măsurare care nu aparțin obiectului în imaginea binară devin +1;

$$v(i, j)|_X = \begin{cases} X & \text{pentru } (i, j) \in \mathbf{O} \\ +1 & \text{pentru } (i, j) \notin \mathbf{O} \end{cases}, \quad (3.17)$$

$$v(i, j)|_Y = \begin{cases} Y & \text{pentru } (i, j) \in \mathbf{O} \\ +1 & \text{pentru } (i, j) \notin \mathbf{O} \end{cases}. \quad (3.18)$$

Astfel, valorile elementelor din imaginile ajutătoare care aparțin obiectului depind de poziția pe care o are obiectul în imaginea binară.

În figura 3.25 se prezintă imaginile de ieșire după principalele etape de procesare ale algoritmului CNN pentru determinarea punctului central al unui obiect. După o succesiune de procesări elementare, accesibile cu instrucțiuni AMC, care folosesc imaginea binară de intrare și imaginile de măsurare, se obțin valorile extreme ale elementelor din imaginea de măsurare care coincid în poziție cu elementele obiectului în imaginea binară.

În acest fel, în imaginile din figura 3.25;a;c, devine posibilă determinarea valorilor maxime a elementelor care aparțin obiectului după cele două direcții:

$$v_{\max}(i, j)|_X \text{ și } v_{\max}(i, j)|_Y \text{ pentru } (i, j) \in \mathbf{O} \text{ și } 1 \leq i \leq M; 1 \leq j \leq N. \quad (3.19)$$

În imaginile din figura 3.25;b;d, se pot determina valorile minime a elementelor care aparțin obiectului, după cele două direcții:

$$v_{\min}(i, j)|_X \text{ și } v_{\min}(i, j)|_Y \text{ pentru } (i, j) \in \mathbf{O} \text{ și } 1 \leq i \leq M; 1 \leq j \leq N. \quad (3.20)$$

Valorile elementelor de imagine de pe axele de simetrie rezultă ca fiind media aritmetică dintre valoarea maximă și cea minimă de pe direcțiile corespunzătoare (figura 3.25;g și j).

Având determinate valorile elementelor de pe axele de simetrie pozițiile acestora se determină folosind tot imaginile ajutătoare din figura 3.25;a;b;c;d, printr-o succesiune de instrucțiuni AMC, elementare logice [130]. Punctul central se găsește la intersecția axelor de simetrie (figura 3.25k).

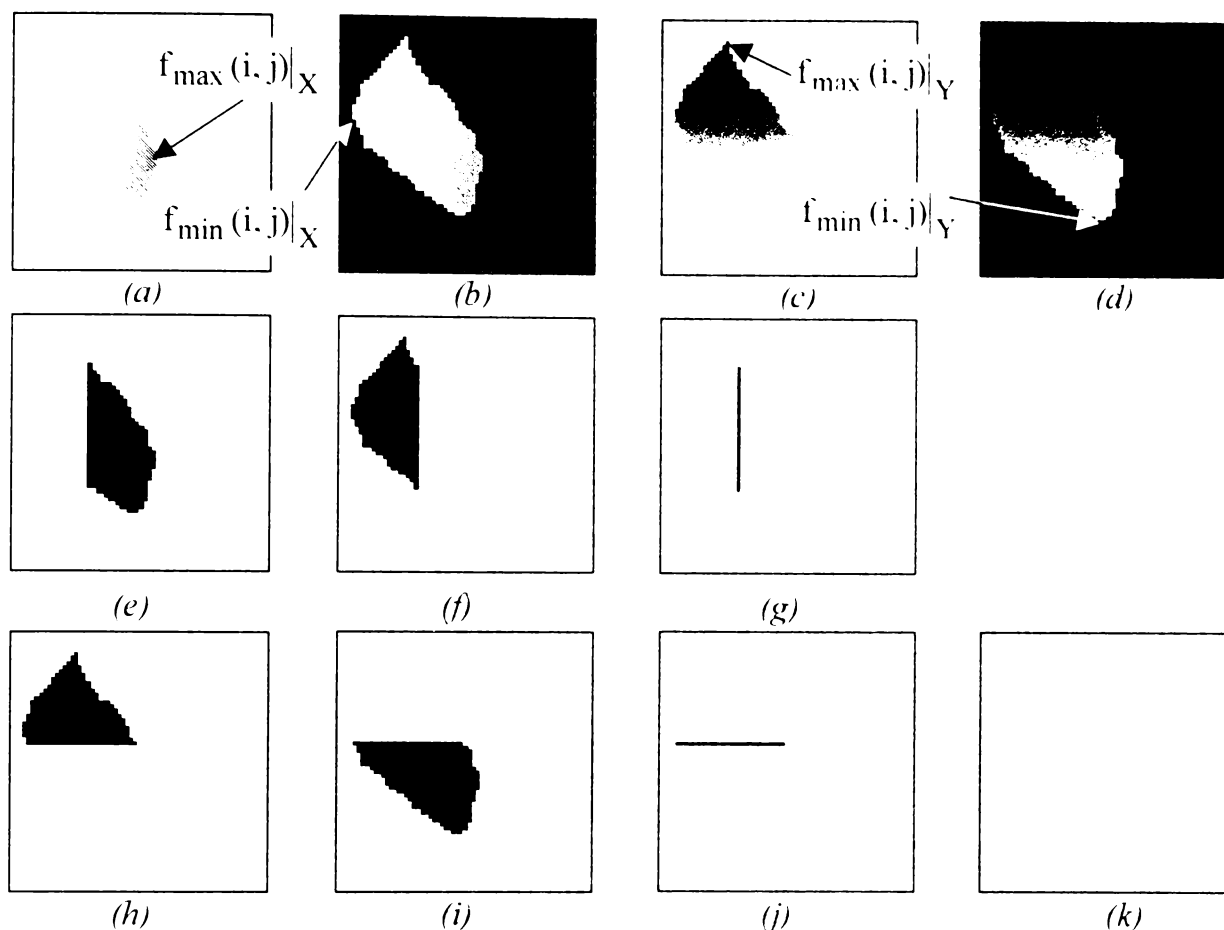


Figura 3.25. Imaginile de ieșire după principalele etape ale algoritmului CNN pentru determinarea punctului central al unui obiect: (a) și (b) imagini utilizate la determinarea valorii maxime respectiv minime din obiect pe axa x; (c) și (d) imagini utilizate la determinarea valorii maxime respectiv minime din obiect pe axa y; (e) și (f) imagini utilizate la determinarea axei de simetrie după direcția x; (h) și (i) imagini utilizate la determinarea axei de simetrie după direcția y; (g) și (j) imagini care conțin axele de simetrie ale obiectului după direcția x respectiv după direcția y; (k) imagine care conține punctul central al obiectului.

Prelungirea axelor de simetrie pe toată dimensiunea imaginii se realizează prin crearea unor umbre a acestor axe pe orizontală și pe verticală, cu operatorii  $shsiud.tem.$ , relația (3.11) și  $shsirl.tem.$ , relația (3.12) [125].

Aceste prelungiri ale axelor sunt necesare deoarece în cazul în care obiectul are orificii, punctul central al obiectului se poate situa și în aceste orificii, așa cum rezultă din figura 3.26.

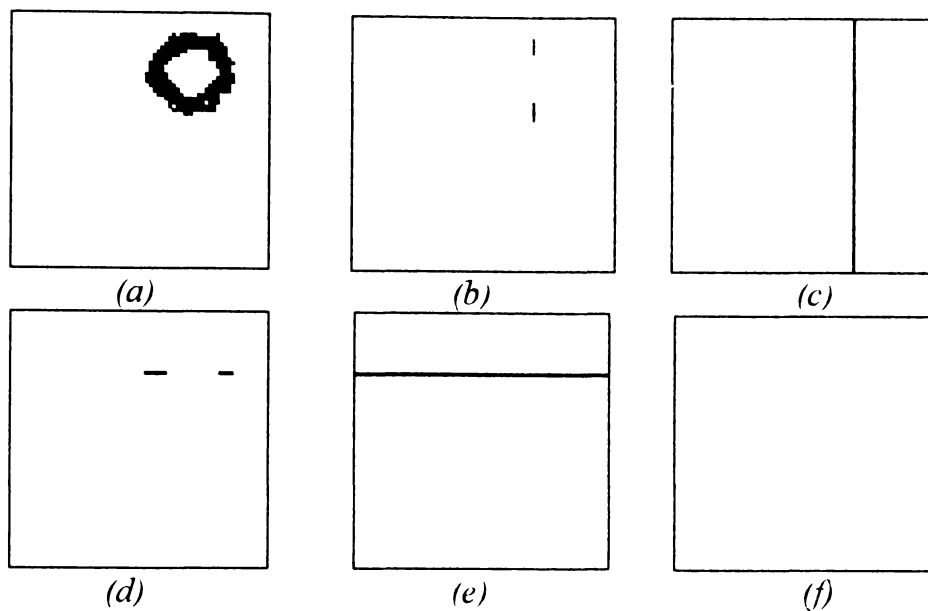


Figura 3.26. Determinarea punctului central al unui obiect cu orificii: (a) imaginea de intrare binară cu un obiect având orificii; (b) și (d) imagini care conțin axele de simetrie ale obiectului după direcția x respectiv după direcția y; (c) și (e) imagini care conțin axele de simetrie prelungite după direcția x respectiv după direcția y; (f) imagine care conține punctul central al obiectului cu orificii.

Pentru testarea algoritmului prezentat mai sus s-a utilizat mediul de simulare “VisMouse-SimCNN” (Visual mouse platform and multi-layer CNN simulator [124]). În cazul unui obiect fără orificii, algoritmul CNN utilizează numai instrucțiuni elementare AMC (anexa 3), care nu necesită multe iterații. Pentru dimensiuni ale imaginii binare de intrare de  $64 \times 64$  pixeli, operațiile cu `filwhite.tem` și `filblack.tem`, timpul necesar a fost de cel mult  $10\tau_{\text{CNN}}$ , celelalte procesări elementare fiind operații logice, fără tranzient. Dacă obiectul are însă orificii, timpul de procesare crește datorită utilizării operatorilor `shsiud.tem` și `shsirl.tem`. Chiar și în acest caz, prin utilizarea algoritmului pentru determinarea punctului central al unui obiect dintr-o imagine, timpul total de procesare nu crește proporțional cu dimensiunile obiectului și nici cu dimensiunile imaginii; de aceea, această soluție este mai avantajoasă față de utilizarea familiei de operatori `center.tem`.

### 3.6 Concluzii

În acest capitol au fost prezentați doi algoritmi originali, propuși de autor, pentru urmărirea unui obiect în mișcare, cu ajutorul unei camere video montate pe brațul unui robot și respectiv un algoritm de determinare a punctului central al unui obiect utilizând rețele neuronale celulare.

Algoritmul CNN de urmărire a unui obiect în mișcare cu ajutorul unei camere video mobile a fost verificat integral prin simulare și apoi testare pe un chip-CNN cu  $20 \times 22$  de celule.

Pe baza rezultatelor obținute prin simulare și respectiv implementare pe un chip-CNN a algoritmului de urmărire a unui obiect în mișcare cu o cameră video, se poate considera că rețelele neuronale celulare constituie mijloace eficiente rapide și utile în rezolvarea comenzii vizuale bazate pe imagini a brațului robotic.

Între două imagini de intrare consecutiv achiziționate, prin prelucrarea complet paralelă cu rețele neuronale celulare a semnalelor bidimensionale, se asigură efectuarea tuturor procesărilor necesare în vederea funcționării în timp real a sistemului.

Soluțiile oferite pentru etapele algoritmului CNN de urmărire, permit implementarea imediată pe un chip-CNN de  $64 \times 64$  de celule (cP4000 [68]), ori pe alte circuite CNN mai performante care vor apărea în viitor. Se vor îmbunătăți astfel și performanțele algoritmului, deoarece timpul de prelucrare nu crește proporțional cu mărirea dimensiunii imaginilor prelucrate.

Algoritmul pentru determinarea punctului central al unui obiect utilizând rețele neuronale celulare se bazează numai pe procesări elementare logice și cu operatori liniari de dimensiune  $3 \times 3$ , fiind astfel posibilă implementarea cu ușurință a acestuia pe un chip-CNN de  $64 \times 64$  de celule (cP4000 [68]). În acest fel, prelucrarea se poate efectua chiar în timp real, datorită procesării complet paralele și prin reducerea substanțială a numărului de încărcări pe chip a imaginilor inițiale.

Algoritmul menționat mai sus a fost testat integral prin simulare. Deși oferă soluție după mai mulți pași de procesări elementare, timpul total necesar nu depinde de dimensiunile obiectului ale cărui punct central urmează a fi determinat. Pe de altă parte, rezultatul conform algoritmului în discuție nu este afectat de erorile specifice obiectelor

al căror contur nu este închis sau care prezintă orificii, respectiv de erorile produse de necorelarea la start a direcției de decojire.

Utilizarea rețelelor neuronale celulare la identificarea poziției unui obiect dintr-o imagine, prin intermediul poziției punctului central, demonstrează încă odată că prin aceste metode de prelucrare se pot extrage proprietăți globale din imagini, chiar dacă procesările CNN sunt aparent numai locale.



## 4. Interpolarea semnalelor bidimensionale utilizând rețele neuronale celulare

În acest capitol sunt prezentate noi metode de interpolare, propuse de autor, care utilizează rețele neuronale celulare, cu operatori liniari de reacție de dimensiune  $3 \times 3$ , obținuți pe cale analitică. Prin implementarea acestor metode de interpolare pe un chip-CNN se realizează o procesare complet paralelă și deci în timp real [68].

Interpolarea CNN a semnalelor bidimensionale se poate utiliza la obținerea semnalelor bidimensionale de comandă pentru roboți. Totodată, mărirea imaginii prin interpolare cu păstrarea dimensiunilor elementelor de imagine poate fi utilă la interpretarea imaginilor biomedicale respectiv la obținerea unor imagini de calitate HDTV recepționând semnalul TV analogic uzual [121]. Sunt prezentate, pe parcursul acestui capitol, rezultatele verificării prin simulare și testare pe un chip-CNN a acestor metode de interpolare în cazul creșterii rezoluției imaginilor binare și cu niveluri de gri, la codarea și decodarea imaginilor în vederea transmiterii lor și la reconstrucția de imagini.

### 4.1 Interpolarea semnalelor bidimensionale

Semnalele bidimensionale de interpolat se consideră ca fiind funcții discrete bidimensionale,  $v(x_i, y_j)$ , de dimensiune  $M \times N$ . Se va folosi termenul de imagine pentru toate semnalele bidimensionale chiar dacă natura acestora nu este de imagine propriu-zisă (spre exemplu, “imaginile” de comandă ale roboților sau “imaginile” care provin de la senzorii tactili ai acestora). Variabilele  $(x_i, y_j)$ ,  $1 \leq i < M$  și  $1 \leq j < N$ , reprezintă coordonatele spațiale pe orizontală respectiv verticală ale unui element de imagine oarecare. Valorile funcției  $v(x_i, y_j)$  pentru imagini cu niveluri de gri sunt în domeniul standard CNN adică  $[-1, +1]$ , de la alb către negru, iar pentru imagini binare aceste valori sunt  $+1$  pentru negru și  $-1$  pentru alb. Aceste valori sunt interpretate ca înălțimi care descriu o suprafață în raport cu o suprafață de referință.

Dacă la un moment dat se cunosc valorile elementelor de imagine  $v(x_i, y_j)$  pentru un număr  $P$  finit de elemente numite noduri, interpolarea imaginilor constă în estimarea valorile elementelor de imagine necunoscute, din valorile elementelor de imagine care se cunosc. Pentru estimarea funcției  $v(x_i, y_j)$  în punctul în care valorile acesteia nu se

cunosc se poate folosi o funcție de interpolare  $V(x_i, y_j)$  care satisface condițiile [45.83,96]:

$$v(x_i, y_j) = V_p, \text{ unde } p=1, 2, \dots, P. \quad (4.1)$$

Funcția  $V(x_i, y_j)$  se obține dintr-un set de funcții liniar independente  $\vartheta(x_i, y_j)$ :

$$V(x_i, y_j) = \sum_{p=1}^P \alpha_p \vartheta(x_i, y_j), \quad (4.2)$$

unde  $\alpha_p$  sunt soluțiile sistemului:

$$\sum_{p=1}^P \alpha_p \vartheta(x_i, y_j) = V_p \quad (4.3)$$

Dacă se utilizează, de exemplu, ca funcții liniar independente șirul funcțiilor trigonometrice, se obține chiar seria Fourier [96]. De cele mai multe ori însă se alege un polinom algebric ca funcție de interpolare,  $V(x_i, y_j)$ . Indiferent de metoda de interpolare care se alege, se dorește ca imaginea care rezultă să aibă erori cât mici față de o imagine considerată de referință.

În scopul simplificării notării se va folosi, dacă este cazul, convenția:

$$v(x_i, y_j) = v(i, j), \text{ pentru } 1 \leq i < M \text{ și } 0 \leq j < N.$$

Interpolarea nu este identică cu aproximarea unei suprafețe. Suprafața care rezultă prin interpolare trece neapărat prin toate punctele care au fost considerate cunoscute la începutul procesării în timp ce în cazul aproximării această condiție nu se realizează. Astfel, prin aproximare se pot elimina erorile grosolane care ar putea exista printre valorile unor noduri obținute ca rezultate experimentale, care evident se cunosc cu o anumită incertitudine.

Un alt aspect deosebit de important privind interpolarea îl constituie timpul de calcul, care trebuie să fie cât mai scurt, astfel încât să existe posibilitatea execuției aplicației în timp real. Prin implementarea pe un chip-CNN a metodelor de interpolare CNN propuse, procesările sunt complet paralele și se pot realiza în timp real.

Prin utilizarea rețelelor neuronale celulare crește viteza de procesare, însă folosirea directă a unor funcții de interpolare nu este posibilă. De aceea, la proiectarea de operatori vom avea în vedere minimizarea unor norme care vor asigura ca suprafețele descrise de valorile, amplitudinile elementelor de imagine, să fie cât mai netede. Operatorii care rezultă vor avea un efect similar interpolării cu funcții liniare, pătratice sau spline cubice.

Imaginile de intrare utilizate la testarea metodelor de interpolare prin simulare sau procesare pe chip, diferă între ele după cum sunt dispuse elementele de imagine cu valori necunoscute față de elementele de imagine ale căror valori se cunosc. La toate imaginile de intrare care se vor interpola, se consideră cunoscute și pozițiile elementelor de imagine care au valori cunoscute. Valorile acestor elemente nu se vor modifica în decursul procesului tranzitoriu datorită utilizării unor imagini mască. Se vor avea în vedere următoarele situații:

i.) Mărirea dimensiunilor imaginii, adică se intercalează pe linii și pe coloane noi elemente de imagine față de elementele de imagine ale căror valori se cunosc. Creșterea dimensiunii pe orizontală și pe verticală a imaginii se face cu păstrarea dimensiunilor elementelor de imagine.

ii.) Reconstrucția unei imagini oarecare. În acest caz se cunosc valorile doar la o parte din elementele unei imagini, dispuse neregulat și se necesită obținerea prin calcul a elementelor lipsă. Imaginea de ieșire are aceleași dimensiuni și rezoluție ca și imaginea de intrare.

iii.) Reconstrucția unei imagini de intrare la care elementele cu valori necunoscute sunt dispuse regulat pe linii și coloane. Și în acest caz rezoluția imaginii de ieșire rămâne identică cu rezoluția imaginii de intrare, la fel și dimensiunea.

Ultimele două situații permit o evaluare ușoară a erorii care rezultă în urma interpolării cu metodele propuse, deoarece imaginile se obțin din imagini reale la care s-au anulat valorile corespunzătoare unei părți din elementele imaginii.

iv.) Interpolare pentru transmiterea la distanță a unor imagini. La emisie are loc reducerea dimensiunii imaginilor prin codare iar la recepție prin decodare se reface imaginea cu dimensiunea și rezoluția inițială.

## 4.2 Mărirea imaginilor cu păstrarea dimensiunilor elementului de imagine

### 4.2.1 Principiul interpolării liniare

Mărirea imaginilor cu păstrarea dimensiunilor elementelor de imagine se poate realiza prin interpolare. În principiu, mărirea imaginilor constă în creșterea numărului de linii și de coloane. Se introduc noi elemente de imagine ale căror valori sunt calculate prin interpolare [42,55]. Înaintea interpolării, propriu-zise, se va mări deci dimensiunea imaginii inițiale descrisă de variabila generală  $v(i,j)$ , prin inserție de elemente de imagine pe linii și coloane cu valori nule.

În figura 4.1 se prezintă principiul de interpolare pentru cazul procesării secvențiale, la creșterea dimensiunii unei imagini de 2 ori pe linii și de 2 ori pe coloane. Pixelii de culoarea albă reprezintă elementele inițiale, la care se cunosc valorile înainte de interpolare, iar cele de culoarea gri sunt elemente cu valori necunoscute, care se calculează prin interpolare.

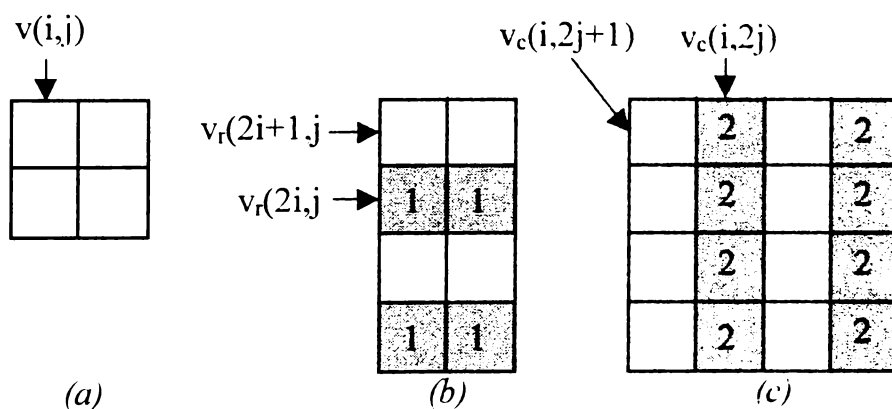


Figura 4.1. Creșterea dimensiunilor imaginii prin interpolare, cu păstrarea dimensiunilor elementului de imagine: (a) imaginea inițială; (b) imaginea care se obține în urma inserției de linii; (c) imaginea care se obține în urma inserției de coloane.

Dacă se utilizează metoda de interpolare liniară, valorile elementelor de imagine obținute prin inserare (zerourile) se vor înlocui cu media aritmetică a valorilor vecinilor acestora, calculul efectuându-se în două etape, după cum urmează:

1.) în prima etapă se calculează pe linii elementele notate cu 1, element după element, ca în figura 4.1b:

$$v_r(2i, j) = \frac{[v(i, j) + v(i + 1, j)]}{2}, \quad (4.4)$$

$$v_r(2i + 1, j) = v(i, j); \quad 0 \leq i \leq M - 1, 0 \leq j \leq N - 1; \quad (4.5)$$

2.) în a doua etapă, se calculează elementele pe coloane notate cu 2, element după element (figura 4.1c):

$$v_c(i, 2j) = \frac{[v(i, j) + v(i, j + 1)]}{2}, \quad (4.6)$$

$$v_c(i, 2j + 1) = v(i, j); \quad 0 \leq i \leq M - 1, 0 \leq j \leq N - 1. \quad (4.7)$$

În expresiile de mai sus, elementele de imagine  $v_r(2i, j)$ ,  $v_r(2i + 1, j)$ ,  $v_c(i, 2j)$ ,  $v_c(i, 2j + 1)$  corespund imaginii mărite pe linii și pe coloane, iar  $v(i, j)$ ,  $v(i, j + 1)$ ,  $v(i + 1, j)$  sunt elemente de imagine ale imaginii inițiale.

În cazul utilizării metodei de interpolare descrise mai sus, datorită principiului secvențial și volumului mare de calcul, timpul de procesare este ridicat și crește proporțional odată cu dimensiunea imaginii.

#### 4.2.2 Interpolarea liniară a imaginilor utilizând rețele neuronale celulare

Pentru mărirea imaginii, cu păstrarea dimensiunilor elementului de imagine, se prezintă un algoritm de interpolare liniară cu implementare CNN în lucrarea [108]. Prin această metodă rezultatul final se obține în două etape, în fiecare dintre aceste etape utilizându-se numai operatori de comandă, de tip B (figura 4.2). Pixelii de culoarea albă reprezintă elementele la care se cunosc valorile la începutul interpolării. În prima etapă se calculează valorile elementelor notate cu 1 cu ajutorul operatorului B1, iar în a doua etapă se obțin valorile elementelor notate cu 2 cu ajutorul operatorului B2. Prin utilizarea rețelelor neuronale celulare pentru interpolare, în fiecare etapă procesarea se poate realiza paralel. În cazul interpolării liniare CNN, operatorii de comandă sunt definiți de relațiile [108]:

$$B1 = \begin{array}{|c|c|c|} \hline 0.25 & 0 & 0.25 \\ \hline 0 & 0 & 0 \\ \hline 0.25 & 0 & 0.25 \\ \hline \end{array} \quad B2 = \begin{array}{|c|c|c|} \hline 0 & 0.25 & 0 \\ \hline 0.25 & 0 & 0.25 \\ \hline 0 & 0.25 & 0 \\ \hline \end{array} \quad (4.8)$$

	2		2		2
2	1	2	1	2	1
	2		2		2
2	1	2	1	2	1
	2		2		2
2	1	2	1	2	1

(a)

	2		2		2
2		2		2	
	2		2		2
2		2		2	
	2		2		2
2		2		2	

(b)

Figura 4.2. Interpolare CNN cu operator de tip B: (a) imaginea inițială inserată cu zerouri pe linii și coloane, la etapa determinării prin interpolare cu operatorul B1 a elementelor de imagine notate cu 1; (b) determinarea prin interpolare cu operatorul B2 a elementelor de imagine notate cu 2.

Pentru a se obține în urma interpolării un comportament mai bun la muchii, se poate utiliza un alt algoritm adaptiv CNN de interpolare descris în lucrarea [121], care folosește numai operatori de comandă. Interpolarea este efectuată tot în două etape, cu operatori de tip B asemănători cu operatorii B1 și B2 din exemplul precedent. În acest algoritm, pentru a calcula valoarea necunoscută a unui element de imagine prin interpolare liniară dintre cei 4 vecinii cunoscuți, se aleg numai acei doi de pe o diagonală, pentru care diferența dintre valorile elementelor este mai mică. În acest fel, valoarea elementului calculat nu va deteriora muchia.

### **4.3 Interpolarea imaginilor utilizând rețele neuronale celulare cu operator de reacție**

În cazul utilizării la interpolare a rețelelor neuronale celulare se are în vedere faptul că deși elementele sau celulele nu sunt conectate decât local, prin conexiuni limitate de vecinătăți de rază  $r$ , totuși datorită efectului de propagare determinat de comportamentul dinamic al celulelor, starea respectiv ieșirea unei celule va fi influențată și de celulele din afara propriei vecinătăți directe,  $N_r$ . Acest efect are loc numai dacă există o reacție de la ieșirea celulelor vecine la starea celulei, prin intermediul operatorului de reacție  $A$ . Dacă se implementează pe un chip-CNN metoda de interpolare realizată numai cu operator de reacție, procesarea devine complet paralelă.

În lucrarea [19] se propune un operator de tip  $A$ , de dimensiune  $5 \times 5$ . Însă acest operator nu poate fi implementat pe circuitele CNN existente, atât datorită dimensiunii prea mari cât și a valorilor parametrilor din operator.

În cele ce urmează sunt prezentate metodele noi, propuse de autor, de interpolare a imaginilor utilizând rețele neuronale celulare. Totodată, sunt descrise procedeele de dimensionare a operatorilor liniari de reacție de dimensiune  $3 \times 3$ , cu care se realizează interpolarea CNN a imaginilor.

#### **4.3.1 Condiții inițiale de proiectare pentru determinarea operatorilor $A$ de reacție utilizați la interpolare**

În general, la proiectarea în domeniul CNN, un grad sporit de dificultate îl prezintă determinarea operatorilor de reacție de tip  $A$ , utilizați la prelucrări de imagini cu niveluri de gri. În continuare sunt descrise condițiile inițiale utilizate la proiectarea acestui tip de operator:

1.) În cazul interpolării CNN utilizând operator cu reacție este neapărat necesară utilizarea unei imagini mască care să nu permită modificarea valorilor celulelor care se cunosc la începutul interpolării. Elementele care nu trebuie să-și modifice starea în decursul procesului tranzitoriu corespund pozițiilor pentru care pixelii din mască au o anumită valoare, de exemplu,  $-1$ .

2.) La proiectarea de operatori cu reacție, indiferent de metoda utilizată, se va avea în vedere să se elimine necesitatea cunoașterii condițiilor de frontieră. Acest deziderat se poate realiza prin prelungirea imaginii la frontiere, cu linii și coloane virtuale, care repetă valorile celulelor vecine [13,62]. În cazul procesării CNN această condiție de frontieră este de tipul zero-flux.

3.) Imaginea care urmează a se interpola cu zerouri inserate, se aplică pe starea STATE a rețelei, deci la momentul  $t=0$ ,  $x_{ij} = v(i,j)$ . Evoluția fiecărei celule interne  $C_{ij}$ , este caracterizată de ecuația de stare:

$$\dot{x} = \frac{dx_{ij}}{dt} = -x_{ij} + \sum_{C_{kl} \in N_r} A_{ij,kl} y_{kl} + \sum_{C_{kl} \in N_r} B_{ij,kl} u_{kl} + z_{ij}, \quad (4.9)$$

pentru  $1 \leq i \leq M$ ;  $1 \leq j \leq N$ .

În relația de mai sus  $u_{kl}$  reprezintă intrarea,  $x_{ij}$  reprezintă starea iar  $y_{kl}$  reprezintă ieșirea. Celulele  $C_{kl}$  sunt din vecinătatea de rază  $r$  a celulei  $C_{ij}$ , adică  $C_{kl} \in N_r$ . Operatorul de reacție s-a notat cu  $A_{ij,kl}$ ,  $B_{ij,kl}$  semnifică operatorul de comandă iar  $z_{ij}$  reprezintă polarizarea.

În cele ce urmează se vor folosi numai operatori de reacție de tip A iar pe intrarea rețelei se va aplica orice imagine. Operatorul de comandă de tip B respectiv polarizarea  $z$  se consideră nule, adică:

$$\sum_{C_{kl} \in N_r} B_{ij,kl} u_{kl} = 0 \quad \text{și} \quad z_{ij} = 0. \quad (4.10)$$

4.) Operatorul A se presupune de forma:

$$A = \begin{bmatrix} a_{-1,-1} & a_{-1,0} & a_{-1,+1} \\ a_{0,-1} & a_{0,0} & a_{0,+1} \\ a_{+1,-1} & a_{+1,0} & a_{+1,+1} \end{bmatrix}. \quad (4.11)$$

Pentru ca această configurație de operator să asigure stabilitatea rețelei și menținerea în orice situație a valorilor de ieșire  $y_{ij}$  în domeniul liniar  $[-1,1]$ , condiția necesară și suficientă care trebuie să se îndeplinească este ca:

$$\left| \sum_{C_{kl} \in N_r} A_{ij,kl} y_{kl} \right| \leq 1, \quad \text{pentru } 1 \leq i \leq M; \quad 1 \leq j \leq N. \quad (4.12)$$

În acest caz ieșirea rețelei este identică cu starea rețelei, adică:

$$y_{ij} \equiv x_{ij}, \quad \text{pentru } 1 \leq i \leq M; \quad 1 \leq j \leq N. \quad (4.13)$$



5.) La dimensionarea operatorului de reacție se are în vedere condiția de a obține în final o stare stabilă  $x_{ij}^*$ , pentru fiecare celulă. Pentru ca rețeaua să ajungă într-o stare stabilă trebuie să se îndeplinească condiția [14]:

$$\lim_{t \rightarrow \infty} x_{ij}(t) = x_{ij}^*, \text{ pentru } 1 \leq i \leq M; \quad 1 \leq j \leq N, \quad (4.14)$$

respectiv:

$$\left. \frac{dx_{ij}}{dt} \right|_{x_{ij}=x_{ij}^*} = 0. \quad (4.15)$$

Totodată din relațiile (4.9), (4.10), (4.11) (4.13), și (4.15) rezultă:

$$\sum_{C_{kl} \in N_r} A_{ij,kl} y_{kl} = x_{i,j} = y_{i,j}, \text{ respectiv:} \quad (4.16)$$

$$\begin{aligned} \sum_{C_{kl} \in N_r} A_{ij,kl} y_{kl} = & a_{-1,-1} y_{i-1,j-1} + a_{-1,+1} y_{i-1,j+1} + a_{+1,+1} y_{i+1,j+1} + a_{+1,-1} y_{i+1,j-1} + \\ & + a_{-1,0} y_{i-1,j} + a_{+1,0} y_{i+1,j} + a_{0,-1} y_{i,j-1} + a_{0,-1} y_{i,j+1} + a_{0,0} y_{i,j} = y_{i,j} \end{aligned}$$

6.) La proiectarea de operatori cu reacție se pot utiliza și metode de minimizare a unor norme care pot constitui funcții de cost sau de energie. Prin găsirea minimelor globale pentru aceste funcții de cost se pot dimensiona și alți operatori de reacție, care asigură o interpolare pătratică sau spline cubică. Asemenea funcții de cost, pentru care se calculează punctele de minim sunt prezentate în lucrările [45,46,102].

Astfel, pentru exemplificare, în cazul interpolării unei funcții unidimensionale  $v(x)$ , se are în vedere minimizarea normei:

$$v_m^2 = \int_a^b \left| \frac{d^m v(x)}{dx^m} \right|^2 dx, \quad \text{cu } P \geq m \geq 1, \quad (4.17)$$

unde  $P$  este numărul de puncte ale variabilei  $x$  pentru care se cunosc valorile  $v(x)$ , adică  $v(x)=V_p$  unde  $p=1,2,\dots,P$ .

În cazul interpolării unei funcții unidimensionale se recomandă două variante practice de norme [46,102]:

modelul de fir infinit de lung pentru  $m=1$ ,

$$|v|^2 = \int_a^b \left| \frac{dv}{dx} \right|^2 dx, \quad (4.18)$$

modelul de bară elastică infinită pentru  $m=2$ ,

$$|v|^2 = \int_a^b \left| \frac{d^2 v}{dx^2} \right|^2 dx. \quad (4.19)$$

Pentru cazul semnalelor bidimensionale, vor rezulta ca modele de interpolare modelul de membrană ( $m=1$ ) și modelul de placă subțire ( $m=2$ ). Relațiile corespunzătoare sunt prezentate în continuare [46.102]:

$$E = \iint_{x,y \in D} \left[ \left( \frac{\partial v}{\partial x} \right)^2 + \left( \frac{\partial v}{\partial y} \right)^2 \right] dx dy. \quad (4.20)$$

$$(x,y) \in D \mid 1 \leq x \leq M; 1 \leq y \leq N,$$

$$E(v(x,y)) = \iint_{x,y \in D} \left[ \left( \frac{\partial^2 v}{\partial x^2} \right)^2 + 2 \left( \frac{\partial^2 v}{\partial x \partial y} \right)^2 + \left( \frac{\partial^2 v}{\partial y^2} \right)^2 \right] dx dy. \quad (4.21)$$

Dintre toate funcțiile care aproximează funcția  $v(x_i, y_j)$  între nodurile:

$v(x_i, y_j) = V_p$ ;  $p=1,2,\dots,P$ , unde  $P$  este numărul de puncte ale variabilei  $v$  pentru care se cunosc valorile, funcțiile spline cubice au proprietatea remarcabilă de a minimiza integrală din expresia (4.21)[96].

Minimizarea acestor funcții de cost vor asigura ca suprafețele descrise de valorile elementelor de imagine să fie cât mai netede.

În urma discretizării spațiale cu un pas de eșantionare  $h$ , identic pe linii și pe coloane, adică:

$$x_{i+1} - x_i = x_i - x_{i-1} = h \quad (4.22)$$

$$y_{j+1} - y_j = y_j - y_{j-1} = h,$$

integralele (4.20) și (4.21) se vor transforma în sume.

Se va omite în continuare scrierea completă a variabilelor spațiale  $x_i$  și  $y_j$  pentru a nu se confunda cu starea și respectiv ieșirea rețelei. Se va folosi convenția  $v(x_i, y_j) \equiv v_{i,j}$ .

Conform celor de mai sus, derivatele parțiale într-un punct  $(i,j)$  pentru funcția  $v_{i,j}$  sunt date de relațiile: (4.23)

$$\frac{\partial v_{i,j}}{\partial x} = \frac{v_{i+1,j} - v_{i,j}}{h},$$

$$\frac{\partial v_{i,j}}{\partial x} = \frac{v_{i,j} - v_{i-1,j}}{h},$$

$$\frac{\partial v_{i,j}}{\partial y} = \frac{v_{i,j+1} - v_{i,j}}{h},$$

$$\frac{\partial v_{i,j}}{\partial y} = \frac{v_{i,j} - v_{i,j-1}}{h},$$

$$\frac{\partial^2 v_{i,j}}{\partial x^2} = \frac{v_{i+1,j} - v_{i,j} - v_{i,j} + v_{i-1,j}}{h^2},$$

$$\frac{\partial^2 v_{i,j}}{\partial y^2} = \frac{v_{i,j+1} - v_{i,j} - v_{i,j} + v_{i,j-1}}{h^2},$$

$$\frac{\partial^2 v_{i,j}}{\partial x \partial y} = \frac{1}{h^2} (v_{i+1,j+1} - v_{i+1,j} - v_{i,j+1} + v_{i,j}),$$

$$\frac{\partial^2 v_{i,j}}{\partial x \partial y} = \frac{1}{h^2} (v_{i,j} - v_{i,j-1} - v_{i-1,j} + v_{i-1,j-1}),$$

$$\frac{\partial^2 v_{i,j}}{\partial x \partial y} = \frac{1}{h^2} (v_{i,j+1} - v_{i-1,j+1} - v_{i,j} + v_{i-1,j}),$$

$$\frac{\partial^2 v_{i,j}}{\partial x \partial y} = \frac{1}{h^2} (v_{i+1,j} - v_{i,j} - v_{i+1,j-1} + v_{i,j-1}).$$

### 4.3.2 Interpolare CNN liniară utilizând operator de reacție

Se consideră că operatorul care va rezulta este simetric în raport cu celula centrală, adică în matricea A elementele satisfac condițiile:

$$a_{-1,-1} = a_{-1,0} = a_{-1,+1} = a_{0,-1} = a_{0,+1} = a_{+1,-1} = a_{+1,0} = a_{+1,+1} = a, \quad (4.24)$$

$$a_{0,0} = 0, \text{ de asemenea,} \quad (4.25)$$

se mai impune condiția de aproximare finală:

$$y_{i-1,j-1} \cong y_{i-1,j+1} \cong y_{i+1,j+1} \cong y_{i+1,j-1} \cong y_{i-1,j} \cong y_{i+1,j} \cong y_{i,j-1} \cong y_{i,j+1} = y. \quad (4.26)$$

$$\text{Din relațiile de mai sus rezultă: } a=0.125. \quad (4.27)$$

Operatorul de reacție aintpoll.tem care asigură interpolare liniară este de forma:

$$(4.28)$$

$$A = \begin{array}{|c|c|c|} \hline 0.125 & 0.125 & 0.125 \\ \hline 0.125 & 0 & 0.125 \\ \hline 0.125 & 0.125 & 0.125 \\ \hline \end{array} \quad B = \begin{array}{|c|c|c|} \hline 0 & 0 & 0 \\ \hline 0 & 0 & 0 \\ \hline 0 & 0 & 0 \\ \hline \end{array} \quad z = \begin{array}{|c|} \hline 0 \\ \hline \end{array}$$

Acest operator asigură, în starea stabilă a rețelei, ca ieșirea fiecărei celule necunoscute să fie egală cu media valorilor vecinilor săi.

### 4.3.3 Interpolare CNN pătratică utilizând operator de reacție

Funcția de cost care rezultă prin discretizarea relației (4.20), pentru  $m=1$ , careia trebuie să i se găsească un minim global pentru interpolarea imaginii  $v(x_i, y_j)$  este:

$$E(v(x_i, y_j)) = \sum_{i=1}^M \sum_{j=1}^N \left[ \left( \frac{\partial v}{\partial x_i} \right)^2 + \left( \frac{\partial v}{\partial y_j} \right)^2 \right]. \quad (4.29)$$

Se va folosi o altă formă convenabilă a expresiei de mai sus, obținută pe baza relațiilor (4.23):

$$E(v_{i,j}) = \sum_{i=1}^M \sum_{j=1}^N \frac{1}{h^2} \left[ (v_{i+1,j} - v_{i,j})(v_{i,j} - v_{i-1,j}) + (v_{i,j+1} - v_{i,j})(v_{i,j} - v_{i,j-1}) \right]. \quad (4.30)$$

Valorile variabilei  $v$ , pentru care  $E$  este minim, se obțin din condiția:

$$\frac{\partial E(v)}{\partial v_{i,j}} = 0; \text{ pentru } 1 \leq i \leq M; \quad 1 \leq j \leq N. \quad (4.31)$$

Se exprimă în continuare funcția de cost în raport cu ieșirea rețelei:

$$E(v) = E(y), \text{ respectiv} \quad (4.32)$$

$$E(y) = \sum_{i=1}^M \sum_{j=1}^N \frac{1}{h^2} \left[ (y_{i+1,j} - y_{i,j})(y_{i,j} - y_{i-1,j}) + (y_{i,j+1} - y_{i,j})(y_{i,j} - y_{i,j-1}) \right], \quad (4.33)$$

$$E(y) = \sum_{i=1}^M \sum_{j=1}^N \frac{1}{h^2} (y_{i+1,j} y_{i,j} - y_{i,j}^2 - y_{i+1,j} y_{i-1,j} + y_{i,j} y_{i-1,j} + y_{i,j+1} y_{i,j} - y_{i,j}^2 - y_{i,j+1} y_{i,j-1} + y_{i,j} y_{i,j-1}) \quad (4.34)$$

Pentru a găsi minimul acestei funcții de cost trebuie ca:

$$\frac{\partial E}{\partial y_{i,j}} = 0; \text{ pentru } 1 \leq i \leq M; \quad 1 \leq j \leq N, \text{ adică:} \quad (4.35)$$

$$\frac{\partial E}{\partial y_{i,j}} = \sum_{i=1}^M \sum_{j=1}^N \frac{1}{h^2} (y_{i+1,j} - 2y_{i,j} + y_{i-1,j} + y_{i,j+1} - 2y_{i,j} + y_{i,j-1}) = 0, \quad (4.36)$$

$$4y_{i,j} = y_{i-1,j} + y_{i,j+1} + y_{i,j-1} + y_{i+1,j},$$

Din egalitatea de mai sus rezultă:

$$y_{i,j} = \frac{y_{i-1,j} + y_{i,j+1} + y_{i,j-1} + y_{i+1,j}}{4}. \quad (4.37)$$

Conform relației (4.16) se poate scrie:

$$\sum_{C_{kl} \in N_r} A_{ij,kl} y_{kl} = a_{-1,-1} y_{i-1,j-1} + a_{-1,+1} y_{i-1,j+1} + a_{+1,+1} y_{i+1,j+1} + a_{+1,-1} y_{i+1,j-1} + \\ + a_{-1,0} y_{i-1,j} + a_{+1,0} y_{i+1,j} + a_{0,-1} y_{i,j-1} + a_{0,+1} y_{i,j+1} + a_{0,0} y_{i,j} = y_{i,j} \quad (4.38)$$

Prin identificarea coeficienților între expresiile (4.37) și (4.38) rezultă elementele operatorului A:

$$a_{-1,-1} = a_{-1,+1} = a_{+1,-1} = a_{+1,+1} = 0, \quad (4.39)$$

$$a_{-1,0} = a_{0,-1} = a_{0,+1} = a_{+1,0} = 0.25,$$

$$a_{0,0} = 0.$$

În consecință, operatorul de reacție aintpol2.tem, care asigură interpolare pătratică, este de forma: (4.40)

$$A = \begin{array}{|c|c|c|} \hline 0 & 0.25 & 0 \\ \hline 0.25 & 0 & 0.25 \\ \hline 0 & 0.25 & 0 \\ \hline \end{array} \quad B = \begin{array}{|c|c|c|} \hline 0 & 0 & 0 \\ \hline 0 & 0 & 0 \\ \hline 0 & 0 & 0 \\ \hline \end{array} \quad z = \boxed{0}$$

#### 4.3.4 Interpolare CNN spline cubică utilizând operator de reacție

Funcția de cost care rezultă prin discretizarea relației (4.21), pentru  $m=2$ , căreia trebuie să se găsească un minim global pentru interpolarea imaginii  $v(x_i, y_j)$  este:

$$E(v(x_i, y_j)) = \sum_{i=1}^M \sum_{j=1}^N \frac{1}{h^2} \left[ \left( \frac{\partial^2 v}{\partial x^2} \right)^2 + 2 \left( \frac{\partial^2 v}{\partial x \partial y} \right)^2 + \left( \frac{\partial^2 v}{\partial y^2} \right)^2 \right] \quad (4.41)$$

Se va folosi o altă formă convenabilă a expresiei de mai sus, obținută pe baza relațiilor (4.23):

$$E(v_{i,j}) = \sum_{i=1}^M \sum_{j=1}^N \frac{1}{h^2} \left[ (v_{i-1,j} - 2v_{i,j} + v_{i+1,j})^2 (v_{i,j-1} - 2v_{i,j} + v_{i,j+1})^2 - \right. \\ \left. - (v_{i+1,j+1} - v_{i+1,j} - v_{i,j+1} + v_{i,j})(v_{i,j} - v_{i,j-1} - v_{i-1,j} + v_{i-1,j-1}) + \right. \\ \left. (-1)(v_{i-1,j+1} + v_{i,j} - v_{i,j+1} - v_{i-1,j})(-1)(v_{i,j} + v_{i+1,j-1} - v_{i,j-1} - v_{i+1,j}) \right] \quad (4.42)$$

Valorile variabilei  $v$ , pentru care  $E$  este minim, se obțin din condiția:

$$\frac{\partial E}{\partial v_{i,j}} = 0; \text{ pentru } 1 \leq i \leq M; \quad 1 \leq j \leq N. \quad (4.43)$$

Se exprimă în continuare funcția de cost în raport cu ieșirea rețelei:

$$E(v) = E(y) \text{ respectiv:} \quad (4.44)$$

$$E(y) = \sum_{i=1}^M \sum_{j=1}^N \frac{1}{h^2} \left[ (y_{i-1,j} - 2y_{i,j} + y_{i+1,j})^2 (y_{i,j-1} - 2y_{i,j} + y_{i,j+1})^2 - \right. \\ \left. - (y_{i+1,j+1} - y_{i+1,j} - y_{i,j+1} + y_{i,j})(y_{i,j} - y_{i,j-1} - y_{i-1,j} + y_{i-1,j-1}) + \right. \\ \left. (-1)(y_{i-1,j+1} + y_{i,j} - y_{i,j+1} - y_{i-1,j})(-1)(y_{i,j} + y_{i+1,j-1} - y_{i,j-1} - y_{i+1,j}) \right] \quad (4.45)$$

Pentru a găsi minimumul funcției de mai sus trebuie ca:

$$\frac{\partial E}{\partial y_{i,j}} = 0; \text{ pentru } 1 \leq i \leq M; \quad 1 \leq j \leq N. \quad (4.46)$$

Pe baza condiției de mai sus se poate scrie:

$$\frac{\partial E}{\partial y_{i,j}} = \sum_{i=1}^M \sum_{j=1}^N \frac{1}{h^2} \left[ -4(y_{i-1,j} - 2y_{i,j} + y_{i+1,j}) - 4(y_{i,j-1} - 2y_{i,j} + y_{i,j+1}) + \right. \\ \left. + y_{i+1,j+1} - y_{i+1,j} - y_{i,j+1} + y_{i,j} + y_{i,j} - y_{i,j-1} - y_{i-1,j} + y_{i-1,j-1} + \right. \\ \left. + y_{i-1,j+1} + y_{i,j} - y_{i,j+1} - y_{i-1,j} + y_{i,j} + y_{i+1,j-1} - y_{i,j-1} - y_{i+1,j} \right] ,$$

respectiv:

$$\frac{\partial E}{\partial y_{i,j}} = \sum_{i=1}^M \sum_{j=1}^N \frac{1}{h^2} (20y_{i,j} - 6y_{i-1,j} - 6y_{i+1,j} - 6y_{i,j} - 6y_{i,j+1} + \\ + y_{i+1,j+1} + y_{i-1,j-1} + y_{i-1,j+1} + y_{i+1,j-1}) = 0 \quad (4.47)$$

Din egalitatea de mai sus rezultă:

$$y_{i,j} = \frac{6y_{i-1,j} + 6y_{i+1,j} + 6y_{i,j} + 6y_{i,j+1} - (y_{i+1,j+1} + y_{i-1,j-1} + y_{i-1,j+1} + y_{i+1,j-1})}{20} \quad (4.48)$$

Pe de altă parte, pe baza relației (4.16) se poate scrie:

$$\sum_{C_{kl} \in N_r} A_{ij,kl} y_{kl} = a_{-1,-1} y_{i-1,j-1} + a_{-1,+1} y_{i-1,j+1} + a_{+1,+1} y_{i+1,j+1} + a_{+1,-1} y_{i+1,j-1} + \\ + a_{-1,0} y_{i-1,j} + a_{+1,0} y_{i+1,j} + a_{0,-1} y_{i,j-1} + a_{0,-1} y_{i,j+1} + a_{0,0} y_{i,j} = y_{i,j} \quad (4.48)$$

Prin identificarea coeficienților între expresiile (4.47) și (4.48) rezultă elementele operatorului A: (4.49)

$$a_{-1,-1} = a_{-1,+1} = a_{+1,-1} = a_{+1,+1} = -0.05 ,$$

$$a_{-1,0} = a_{0,-1} = a_{0,+1} = a_{+1,0} = 0.3 ,$$

$$a_{0,0} = 0 .$$

Rezultă în final operatorul de reacție aintpol3.tem, care asigură interpolare spline cubică, sub forma: (4.50)

$$A = \begin{array}{|c|c|c|} \hline -0.05 & 0.3 & -0.05 \\ \hline 0.3 & 0 & 0.3 \\ \hline -0.05 & 0.3 & -0.05 \\ \hline \end{array}$$

$$B = \begin{array}{|c|c|c|} \hline 0 & 0 & 0 \\ \hline 0 & 0 & 0 \\ \hline 0 & 0 & 0 \\ \hline \end{array}$$

$$z = \boxed{0}$$

## 4.4 Testarea metodelor de interpolare CNN prin simulare

Rezultatele experimentale prezentate în continuare au fost obținute cu ajutorul unor programe scrise în limbajul de asamblare "AMC" (Extended analogic macro code and interpreter [130]) (anexa 4) și executate pe platforma "VisMouse-SimCNN" (Visual mouse platform and multi-layer CNN simulator [124]) din mediul de dezvoltare "CadetWin" (CNN application development environment and toolkit under Windows [123]). Pentru inserția de elemente cu valori nule pe linii și coloane, în imaginea ce urmează a fi interpolată, s-a utilizat mediul de programare MATLAB [40].

### 4.4.1 Mărirea imaginilor cu păstrarea dimensiunilor elementului de imagine

#### 4.4.1.1 Mărirea imaginilor binare

În figura 4.3 sunt prezentate imaginile binare utilizate pentru exemplificarea procesului de dublare a dimensiunilor imaginii pe orizontală și pe verticală, cu păstrarea dimensiunilor elementelor de imagine ca la imaginea inițială (50\*50 pixeli). Pentru a se putea evalua eroarea, s-a creat o imagine considerată de referință printr-o așa zisă interpolare ideală (figura 4.3c).

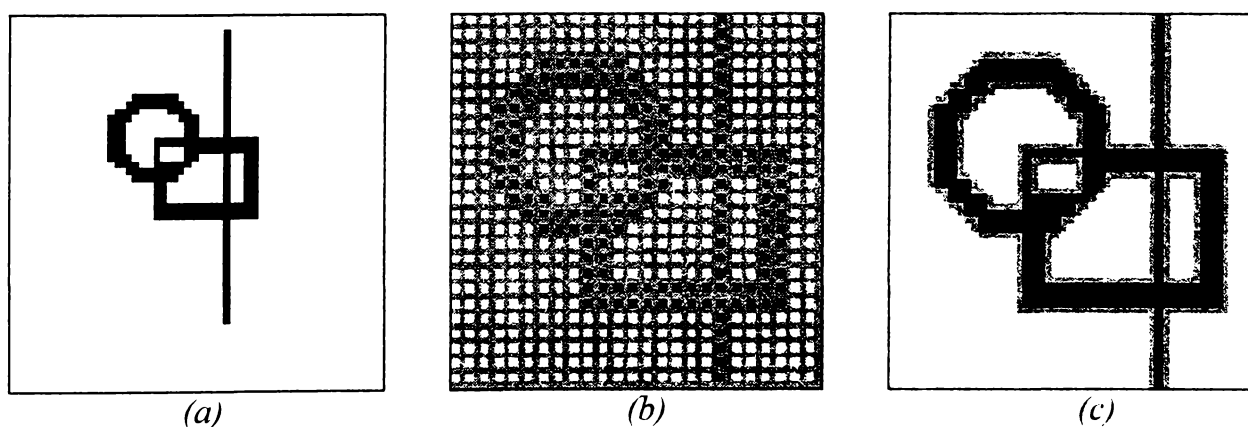
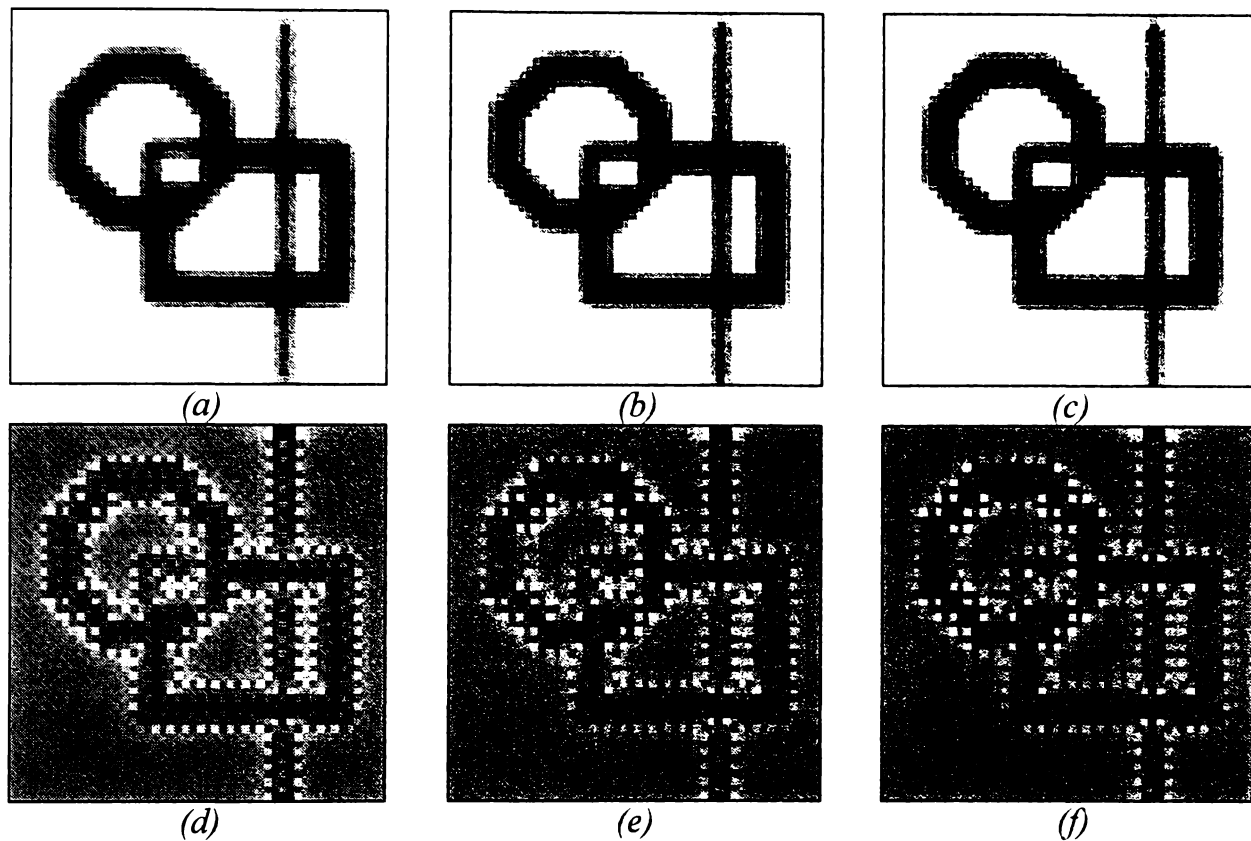


Figura 4.3. Imagini binare utilizate pentru testarea metodelor de interpolare cu CNN utilizând operatorii *aintpoll.tem*, *aintpol2.tem*, *aintpol3.tem*: (a) imaginea inițială de 50 \*50 de pixeli, din care se decupează o parte; (b) imaginea de stare având 50 \*50 de pixeli, la care s-au intercalat pe linii și coloane elemente cu valori nule; (c) imaginea de referință rezultată în urma unei mărituri prin interpolare ideală.



Erorile aparțin tot domeniului de valori  $[-1, +1]$ . Imaginile binare care rezultă în urma interpolării CNN utilizând operatori cu reacție, precum și erorile aferente ale acestora față de imaginea de referință, sunt prezentate în figura 4.4.



*Figura 4.4. Imagini binare obținute în urma interpolării prin simulare: (a) imaginea rezultată prin interpolare cu `aintpol1.tem`; (b) imaginea rezultată prin interpolare cu `aintpol2.tem`; (c) imaginea rezultată prin interpolare cu `aintpol3.tem`; (d) eroarea dintre imaginea de referință și imaginea rezultată prin interpolare cu `aintpol1.tem`; (e) eroarea dintre imaginea de referință și imaginea rezultată prin interpolare cu `aintpol2.tem`; (f) eroarea dintre imaginea de referință și imaginea rezultată prin interpolare cu `aintpol3.tem`.*

Timpul de procesare a interpolării CNN utilizând operatori de reacție depinde de corelația existentă între pixelii imaginii, adică de caracterul imaginii și mai puțin de dimensiunea ei. În cazul simulării, adică a implementării numerice CNN, mărimea timpului de procesare rezultă ca fiind numărul minim de iterații necesar pentru obținerea unei imagini stabile. În aplicațiile prezentate anterior, pentru aceste imagini binare timpul de procesare necesar a fost aproximativ  $24 \tau_{\text{CNN}}$ ,  $\tau_{\text{CNN}}$  fiind constanta de timp a unei celule.

#### 4.4.1.2 Creșterea rezoluției imaginilor cu niveluri de gri

Alte rezultate privind interpolarea CNN cu operatori de reacție obținute prin simulare, sunt prezentate în continuare în figura 4.5.

Dintr-o imagine cu niveluri de gri inițială s-a selectat o regiune de interes cu dimensiunea de 50\*50 pixeli, ca în figura 4.5a. În această imagine s-a inserat pe linii și pe coloane zerouri, rezultând o imagine cu dimensiunea de 100\*100 pixeli. După acesta, prin interpolare cu aintpol3.tem, a rezultat imaginea din figura 4.5b. Din imaginea rezultată s-a decupat o altă zonă de interes cu dimensiunea 50\*50 pixeli, urmat de o nouă interpolare rezultând o imagine cu dimensiunea 100\*100 pixeli, prezentată în figura 4.5c. Timpul total de procesare la interpolare pentru imaginile cu niveluri de gri de dimensiunea menționată mai sus, este aproximativ  $24 \tau_{CNN}$ .

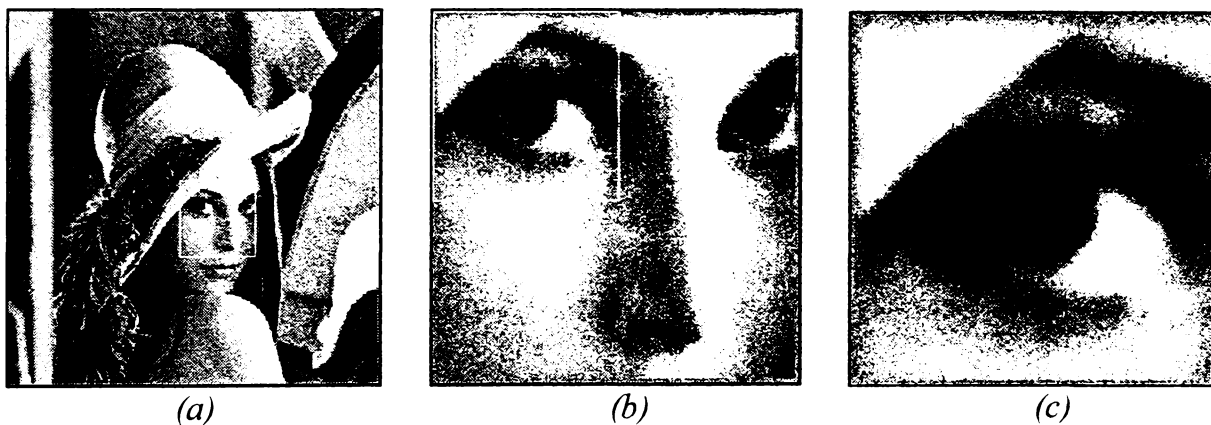


Figura 4.5. Exemple de interpolare CNN a unor imagini utilizând aintpol3.tem:

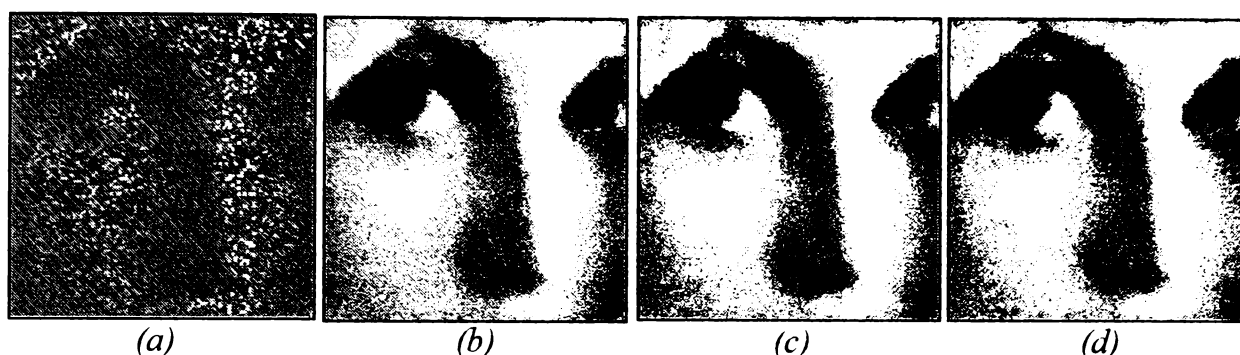
- (a) imaginea inițială;
- (b) imaginea rezultată după prima etapă de mărire;
- (c) imaginea rezultată după a doua etapă de mărire.

### 4.4.2 Reconstrucția de imagini prin interpolare

#### 4.4.2.1 Reconstrucția prin interpolare a imaginilor în care elementele de imagine cu valori cunoscute au o dispunere neregulată

În vederea evaluării performanțelor reconstrucției imaginilor prin interpolare s-a ales o imagine în care pixelii cu valori cunoscute au o dispunere neregulată, aleatoare. Și în acest caz rezoluția și dimensiunile imaginii rămân nemişcate. Aceste elemente cu valori cunoscute nu-și vor schimba starea în decursul procesării fiind utilizată în acest scop o imagine mască. Valorile elementelor de imagine care nu se cunosc se vor calcula prin interpolare.

În exemplul anterior elementele de imagine cu valori cunoscute reprezentau 25% din numărul total de pixeli. În acest exemplu s-a scăzut acest procent la numai 15% din numărul total de elemente de imagine. În figura 4.6 se prezintă rezultatele reconstrucției de imagini (100\*100 pixeli) prin interpolare CNN, utilizând operatorii `aintpol1.tem`, `aintpol2.tem` și `aintpol3.tem`.



*Figura 4.6. Reconstrucția de imagini prin interpolare: (a) imaginea de intrare în care se cunosc numai 15% din totalul de valori ale elementelor de imagine; (b) imaginea rezultată prin interpolare cu `aintpol1.tem`; (c) imaginea rezultată prin interpolare cu `aintpol2.tem`; (d) imaginea rezultată prin interpolare cu `aintpol3.tem`.*

La reconstrucția prin interpolare a imaginilor cu niveluri de gri, în care elementele de imagini cu valori cunoscute au o dispunere neregulată, timpul de procesare este în medie de  $50 \tau_{\text{CNN}}$ , deci crește față de situația prezentată anterior chiar la aceeași dimensiune a imaginii.

#### **4.4.2.2 Reconstrucția prin interpolare a imaginilor în care elementele de imagine cu valori cunoscute au o dispunere regulată**

Reconstrucția de imagini în cazul în care elementele de imagine ale căror valori se vor calcula sunt dispuse regulat pe linii și coloane intercalate între elementele de imagine ale căror valori se cunosc, este util în evaluarea erorilor metodelor de interpolare cu operatorii determinați anterior.

În acest caz rezoluția imaginii de ieșire rămâne identică, la fel și dimensiunile. Imaginea de referință utilizată la evaluarea erorii este chiar imaginea inițială, reală. Imaginea de interpolat s-a obținut din imaginea inițială reală prin anularea valorilor unor elemente de imagine pe linii și coloane. În figura 4.7 sunt prezentate imaginile cu niveluri de gri, de 64\*64 pixeli, utilizate pentru testarea metodelor de interpolare cu CNN utilizând operatorii `aintpol1.tem`, `aintpol2.tem`, `aintpol3.tem`. Imaginile cu niveluri de gri, care rezultă în urma interpolării prin simulare, sunt prezentate în figura 4.8.

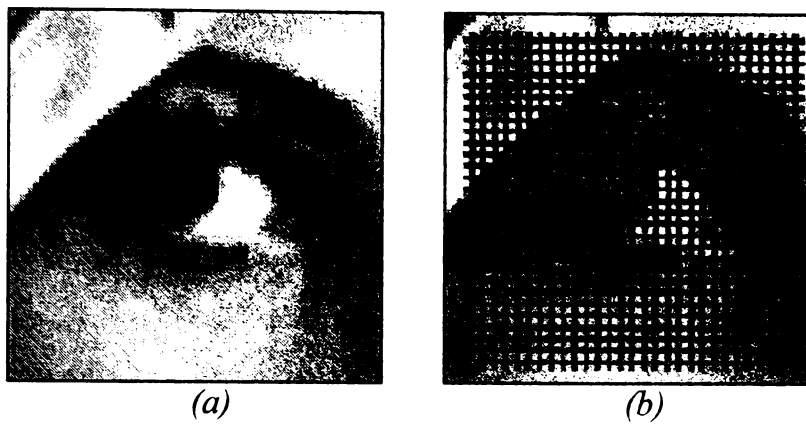


Figura 4.7. Imagini cu niveluri de gri utilizate pentru testarea metodelor de interpolare cu CNN utilizând operatorii `aintpol1.tem`, `aintpol2.tem`, `aintpol3.tem`: (a) imaginea originală; (b) imaginea care se interpolează.

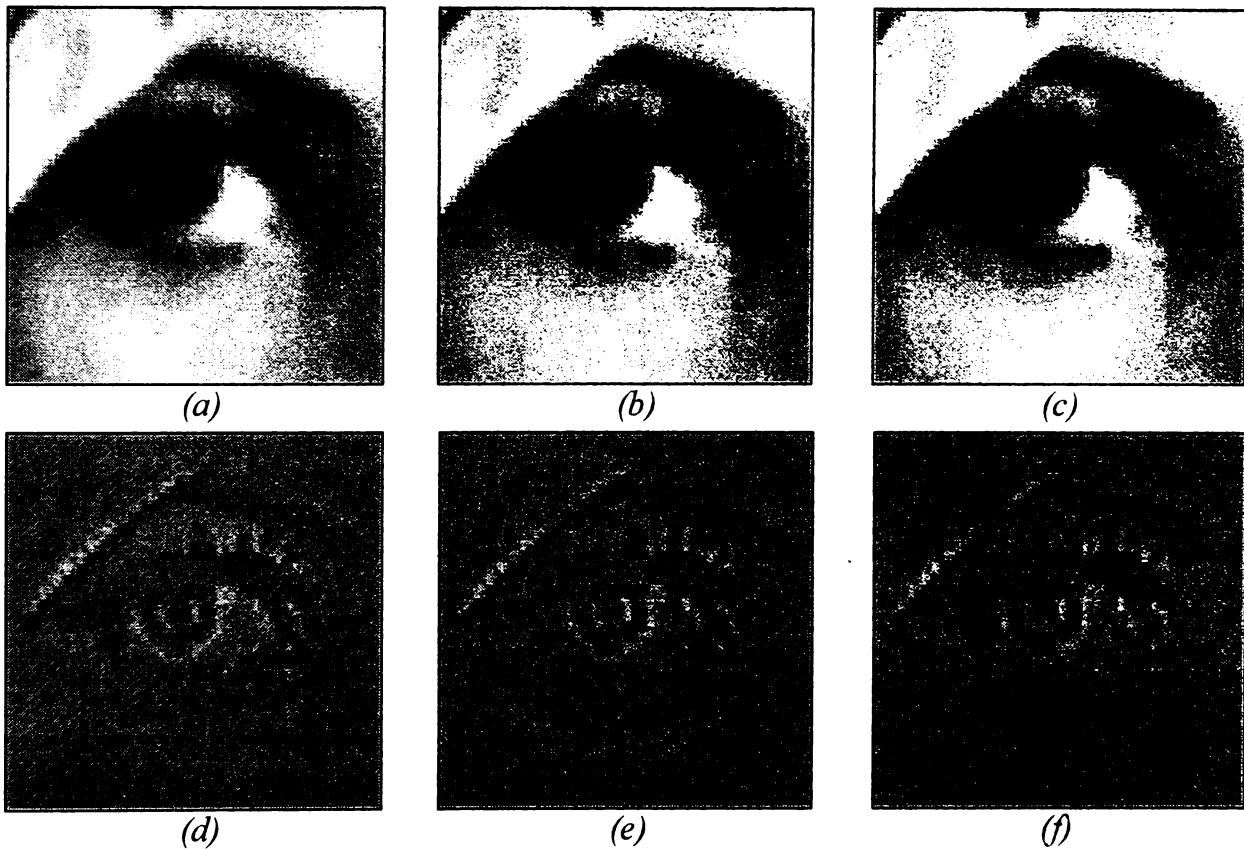


Figura 4.8. Imagini cu niveluri de gri obținute în urma interpolării prin simulare: (a) imaginea rezultată prin interpolare cu `aintpol1.tem`; (b) imaginea rezultată prin interpolare cu `aintpol2.tem`; (c) imaginea rezultată prin interpolare cu `aintpol3.tem`; (d) eroarea dintre imaginea originală și imaginea rezultată prin interpolare cu `aintpol1.tem`; (e) eroarea dintre imaginea originală și imaginea rezultată prin interpolare cu `aintpol2.tem`; (f) eroarea dintre imaginea originală și imaginea rezultată prin interpolare cu `aintpol3.tem`.

La reconstrucția prin interpolare a imaginilor în care elementele de imagine cu valori cunoscute au o dispunere regulată, se constată o reducere substanțială a timpului de procesare a interpolării, în medie până la  $3 \tau_{\text{CNN}}$ . Acest lucru este ușor de înțeles dacă se are în vedere gradul înalt de corelație care există între pixelii imaginii originale.

#### 4.4.3 Codarea și decodarea imaginilor prin interpolare

În vederea reducerii volumului de date care se transmite la distanță se poate folosi interpolarea pentru micșorarea dimensiunilor imaginii la emisie respectiv la refacerea dimensiunilor imaginii de la recepție [23].

Având o imagine cu niveluri de gri de dimensiune  $M \times N$  pixeli (figura 4.9a) pentru codare se recalculează prin interpolare valorile elementelor de imagine care sunt notate cu 1. Pixelii de culoarea albă reprezintă elementele de imagine la care se cunosc valorile inițiale. Imaginea mască corespunzătoare nu permite modificarea valorilor acestor pixeli (celule). Din imaginea rezultată după interpolare se va selecta o imagine de dimensiune  $M/2 \times N/2$  pixeli, formată numai din elementele cu valori recalulate (notate cu 1) și care se va transmite pe canal.

La recepție, se refac dimensiunile imaginii inițiale  $M \times N$  pixeli, prin intercalarea elementelor de imagine recepționate cu elemente de imagini având valori inițiale zero (figura 4.9b). Pentru decodare se folosește același procedeu de interpolare ca și la codare. În imaginea de interpolat la decodare, valorile elementelor recepționate, simbolizate cu alb, își vor menține constant nivelul și se vor calcula prin interpolare valorile elementelor de imagine notate cu 2, simbolizate cu gri.

La același număr de biți utilizați pentru codarea valorii un pixel, prin metoda de codare-decodare expusă, se transmite pe canal o imagine de  $M/2 \times N/2$  pixeli în locul unei imagini cu dimensiunea  $M \times N$  pixeli, adică se reduce la 25% cantitatea de informație necesară a fi transmisă.

	1		1		1
	1		1		1
	1		1		1

(a)

2	2	2	2	2	2
2		2		2	
2	2	2	2	2	2
2		2		2	
2	2	2	2	2	2
2		2		2	

(b)

Figura 4.9. Principiul codării-decodării prin interpolare CNN: (a) imaginea de interpolat la codare; (b) imaginea de interpolat la decodare.

Prin interpolare are loc determinarea elementelor de imagine notate cu 1, la codare și a celor notate cu 2, la decodare.

În figura 4.10 se prezintă imaginea inițială de dimensiune 256\*256 pixeli înainte codării și imaginea obținută după decodare cu dimensiunea refăcută de 256\*256 pixeli. La codarea și decodarea imaginii s-a folosit interpolarea CNN cu operatorul aintpol3.tem. Timpul de procesare la decodare este aproximativ  $25 \tau_{\text{CNN}}$ , la codare acest număr este mult mai mic având în vedere faptul că efectul de propagare între celule este împiedicat de structura măștii.



(a)



(b)

Figura 4.10. Utilizarea aintpol3.tem pentru codarea și decodarea imaginilor: (a) imaginea originală înainte de codare; (b) imaginea cu dimensiunea reconstituită, după decodare.

## 4.5 Implementarea metodelor de interpolare pe un chip-CNN de 64\*64 pixeli

Funcționarea operatorilor cu reacție elaborați pentru interpolare a fost testată pe baza unor programe în limbaj de asamblare AMC (anexa 4) și pe un chip-CNN de 64 \* 64 pixeli (cP 4000 [68]), utilizând interfața "CCPS" (CNN chip prototyping system [131]) din mediul de dezvoltare "CadetWin".

Imaginile inițiale cu dimensiunea 64\*64 pixeli care s-au procesat sunt identice cu imaginile binare și cu niveluri de gri de la simulare. Rezultatele obținute la interpolarea imaginilor binare și cu niveluri de gri la testarea pe chip a operatorilor aintpol1.tem, aintpol2.tem, aintpol3.tem sunt prezentate în figura 4.11 și figura 4.12.

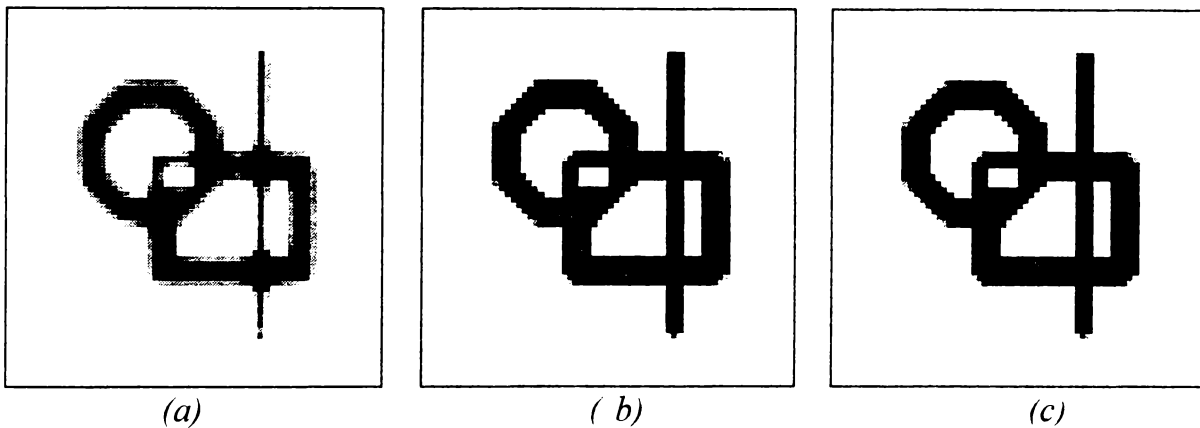


Figura 4.11. Imagini binare obținute prin interpolare utilizând un chip de 64\*64 pixeli: (a) imaginea rezultată prin interpolare cu aintpol1.tem; (b) imaginea rezultată prin interpolare cu aintpol2.tem; (c) imaginea rezultată prin interpolare cu aintpol3.tem.

Interpolarea imaginilor binare și cu niveluri de gri, executate pe chip cu ajutorul operatorilor aintpol1.tem, aintpol2.tem, aintpol3.tem, au necesitat în medie 3,4 ms.

În aceste exemple numărul total de iterații necesar până la obținerea imaginii finale este dependent și de operatorul utilizat. La aintpol1.tem timpii de procesare au fost  $10 \tau_{\text{CNN}}$ , dar pentru aintpol2.tem și aintpol3.tem erau necesare  $25 \tau_{\text{CNN}}$ .

Apreciind imaginile binare și cu niveluri de gri obținute prin interpolare, atât în cazul simulării cât și în cazul testării pe chip, se constată că rezultate mai bune se obțin cu operatorii aintpol3.tem și aintpol2.tem. În cazul imaginilor cu niveluri de gri rezultate prin interpolare pe chip, se poate constata mai ușor decât la simulare,

comportamentul mai bun al operatorului aintpol3.tem din punct de vedere al contrastului.

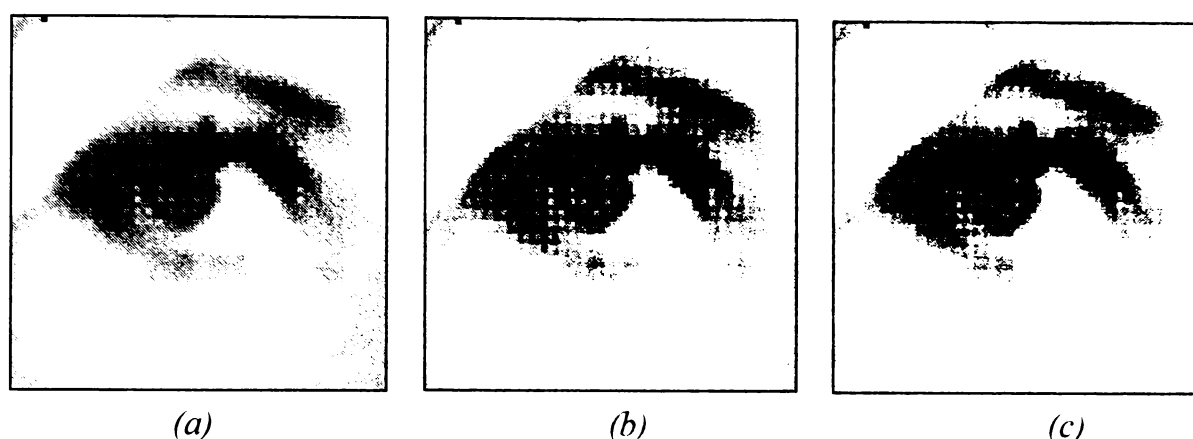


Figura 4.12. Imagini obținute prin interpolare utilizând chipul de 64\*64 pixeli:  
 (a) imaginea rezultată prin interpolare cu aintpol1.tem; (b) imaginea rezultată prin interpolare cu aintpol2.tem; (c) imaginea rezultată prin interpolare cu aintpol3.tem.

În tabelul 4.1 se prezintă o situație comparativă privind timpul mediu de procesare aferent celor 3 operatori aintpol1.tem, aintpol2.tem, aintpol3.tem, în cazul simulării respectiv la procesarea pe chip. Au fost avute în vedere cazul măririi de imagini binare respectiv reconstrucția prin interpolare a imaginilor cu niveluri de gri, în care elementele de imagine cu valori cunoscute au o dispunere regulată. Timpul mediu complet de procesare rezultă în urma efectuării complete a programului AMC de interpolare a unei imagini, la simulare respectiv la implementare pe un chip-CNN. Acest timp include alături de timpul efectiv de procesare la interpolare și timpii necesari pentru citirea imaginii din memorie respectiv pentru încărcarea și descărcarea imaginii pe chip precum și timpul necesar pentru afișarea imaginii.

Operator	Simulare PC 300 MHz		Procesare pe chip-CNN 64*64 pixeli
	Timpul mediu de procesare în $\tau_{CNN}$	Timpul mediu complet de procesare	Timpul mediu complet de procesare
aintpol1.tem	24	0.75s	3.4ms
aintpol2.tem	24	0.75s	3.4ms
aintpol3.tem	24	0.75s	3.4ms

Tabel 4.1. Caracteristicile interpolării la simulare și procesare pe chip.



De remarcat faptul că deocamdată din timpul total de procesare pe chip o valoare semnificativă din acesta este utilizat pentru încărcarea și descărcarea imaginii pe chip. Dacă în cazul unui chip-CNN s-ar considera numai timpul efectiv de procesare de la interpolare, pentru o constantă  $\tau_{\text{CNN}}$  ce caracterizează o celulă de 250 ns, ar rezulta că prelucrarea analogică pe chip a unei imagini cu dimensiunea de 100\*100 pixeli nu ar dura mai mult de 6,25 $\mu$ s (25 iterații\*250 ns). Acest timp este deja comparabil cu durata impulsului de stingere pe orizontală în cazul semnalului analogic video complex standard. Astfel, după fiecare linie de imagine recepționată, chiar pe durata impulsului de stingere pe orizontală poate fi realizată câte o interpolare CNN.

## 4.6 Concluzii

În acest capitol s-au prezentat modalități noi, originale de interpolare a semnalelor bidimensionale cu rețele neuronale celulare. Interpolarea imaginilor binare și cu niveluri de gri cu ajutorul rețelele neuronale celulare care utilizează numai operatorii de reacție liniari de dimensiune  $3 \times 3$  se poate implementa pe un chip-CNN [68]. Față de procedeele de interpolare cu rețele neuronale celulare existente, interpolarea cu operatorii propuși de autor se poate efectua în timp real, prin reducerea substanțială a numărului de încărcări pe chip a imaginilor inițiale. Datorită procesării complet paralele, timpul de execuție nu se modifică proporțional odată cu creșterea dimensiunilor imaginii.

Utilizând programe scrise în limbaj de asamblare AMC, cu operatorii determinați s-a verificat prin simulare și testare pe un chip-CNN funcționarea corectă a acestor metode de interpolare CNN.

Cu ajutorul operatorilor propuși în acest capitol, pe baza rezultatelor obținute la testare, interpolarea semnalelor bidimensionale cu rețele neuronale celulare poate constitui o metodă utilă la mărirea și interpretarea zonelor de interes major din imaginile biomedicale și la obținerea de imagini de calitate HDTV la recepționarea semnalului TV analogic uzual, cu păstrarea dimensiunilor elementului de imagine original.

Având în vedere viteza de procesare ridicată metodele propuse de interpolare pot servi la obținerea imaginilor de comandă ale unui robot, când deja se cunosc valorile unor elemente de imagine corespunzătoare pentru anumite puncte de referință din spațiu.

Interpolarea CNN în timp real cu operatorii propuși, poate constitui o modalitate eficientă și rapidă de reconstrucție a unor imagini deteriorate ori cunoscute parțial sau la codarea și decodarea imaginilor în vederea transmiterii a acestora.

Respectând condițiile inițiale specificate, metoda propusă în acest capitol, pentru determinarea pe cale analitică a operatorilor CNN, poate fi utilă la și în alte aplicații în care se utilizează imagini cu niveluri de gri, dacă se poate identifica o funcție de cost potrivită.

## **5. Planificarea traiectoriei unui robot mobil într-un mediu cu obstacole utilizând rețele neuronale celulare**

În acest capitol sunt prezentate metode noi, originale, de planificare bazată pe imagini a traiectoriei unui robot mobil într-un mediu cu obstacole [54]. Pentru prelucrarea imaginilor și planificarea traiectoriei unui robot se utilizează rețele neuronale celulare, deoarece prin implementarea acestei metode pe chip-CNN se poate asigura procesarea în timp real a imaginilor [7,8,68,87]. Între poziția de start și poziția țintă, ocolind obstacolele din mediu, algoritmul propus furnizează robotului traiectoria optimă din punct de vedere al lungimii și a numărului de viraje.

### **5.1 Planificarea traiectoriei unui robot mobil într-un mediu cu obstacole**

O problemă importantă în robotică este planificarea traiectoriei unui robot mobil într-un mediu cu obstacole, pornind de la o poziție inițială de start până se ajunge la o poziție țintă. Pentru a rezolva această problemă, în literatura de specialitate există o multitudine de soluții care în general au la bază două metode [25,41,52,65]:

i.) Planificarea traiectoriei sau navigarea robotului prin metodă globală.

Această metodă este asociată cu nivelul ierarhic superior din sistemul de conducerea al unui robot. Cu această metodă se determină o traiectorie optimă, ocolindu-se obstacolele statice sau mobile cunoscute din mediu. De cele mai multe ori metodele globale au la bază crearea de “hărți” și abordează problema numai din punct de vedere geometric.

ii.) Planificarea traiectoriei sau navigarea robotului prin metodă locală.

Această metodă se asociază cu nivelul ierarhic inferior din sistemul de conducere al unui robot și de aceea realizează conducerea robotului pe o traiectorie prescrisă de nivelul de planificare globală. Folosind metoda locală de navigare pentru un robot, se pot evita obstacolele necunoscute, statice sau în mișcare, compensând incertitudinea datelor furnizate de nivelul global. Planificarea sau navigarea locală poate lua în

considerare atât cinematica cât și dinamica robotului, deoarece se bazează pe informații obținute din semnale, care se pot prelucra în timp real [25,72]. Însă prin folosirea numai a informațiilor locale nu se garantează găsirea soluției optime pentru traiectoria planificată robotului și nu se semnalează dacă poziția țintă nu este accesibilă.

Deseori se combină cele două strategii, adică planificarea globală pentru asigurarea traiectoriei accesibile și navigația locală pentru optimizarea locală a traiectoriei și evitarea obstacolelor neașteptate. Pentru navigația locală se poate utiliza metoda grafurilor și metoda câmpurilor de potențial.

Pentru determinarea traiectoriei cu ajutorul grafurilor, mediul de lucru este reprezentat printr-un graf în care nodurile reprezintă pozițiile accesibile [52]. Două noduri sunt conectate între ele numai dacă nu există obstacole între ele. Pentru traseul dintre cele două noduri se asociază o anumită pondere corespunzătoare distanței dintre noduri.

În cazul metodei câmpurilor de potențial mediul de lucru este reprezentat printr-un set de puncte libere, unde nu există obstacol. În fiecare punct valoarea potențialului se exprimă prin funcția [56,94]:

$$\Phi(p) = f(d_i(g), d_1(ob_1), \dots, d_n(ob_n)), \quad (5.1)$$

unde  $d_i(g)$  este distanța dintre poziția actuală  $p$  și poziția țintă, iar  $d_n(ob_n)$  este distanța dintre punct și un obstacol. Din poziția actuală, robotul se va deplasa în următoarea poziție care are potențialul cel mai scăzut.

Rețelele neuronale, în general, se pot utiliza pentru navigarea unui robot mobil într-un mediu cu obstacole [41,72,82]. Utilizând rețelele neuronale celulare, mediul este discretizat într-o imagine și astfel reprezentat printr-o rețea CNN standard de  $M \times N$  celule [94]. Metoda propusă se bazează pe efectul de atracție de către celula țintă asupra celulelor din vecinătatea sa cu o forță  $F$ . La rândul lor și aceste celule vor exercita o forță asupra celulelor din vecinătatea lor, ș.a.m.d. până când se ajunge la celula care reprezintă poziția curentă a robotului. Mișcarea robotului se va realiza pe direcția forței de atracție maxime. Această metodă semnalează dacă nu există nici o traiectorie liberă de la poziția actuală a robotului la poziția țintă, însă se poate implementa numai pe o rețea neuronală celulară cu mai multe straturi.

Cu ajutorul rețelelor neuronale celulare se poate realiza conducerea unui robot mobil pe baza informației vizuale, pe o traiectorie marcată, prin compararea imaginilor achiziționate curente cu imagini de referință memorate [99].

Rețelele neuronale celulare se pot utiliza la planificarea traiectoriei, pentru conducerea mai multor roboți mobili într-un mediu de lucru cu obstacole, fără a se produce coliziune [56].

Planificarea traiectoriei unui robot într-un mediu cu obstacole se poate realiza și prin utilizarea automatului celular bidimensional [106] implementat VLSI.

Algoritmul CNN de proiectare a cablajelor imprimabile [109], care utilizează o metodă de detectare a drumului cel mai scurt între două puncte este o aplicație asemănătoare problemei planificării traiectoriei prescrise pentru un robot mobil într-un mediu cu obstacole. Determinarea traseului este posibilă numai respectând anumite condiții inițiale impuse pentru imaginea cablajului.

În cadrul algoritmului CNN de planificarea traiectoriei unui robot mobil într-un mediu cu obstacole, propus de autor în acest capitol, pentru prelucrarea imaginilor se folosește numai rețea neuronală celulară invariantă în spațiu, cu operatori de dimensiune  $3 \times 3$ . În imaginile binare, valorile pixelilor sunt  $+1$  pentru negru și  $-1$  pentru alb, iar pentru imaginile cu niveluri de gri valorile pixelilor sunt în domeniul standard CNN, adică  $[-1, +1]$ , de la alb către negru.

## 5.2 Algoritmul CNN de comandă a unui robot mobil cu reacție vizuală bazată pe imagini

În aplicația de față, se consideră un robot mobil care se găsește într-un mediu plan cu obstacole statice (figura 5.1), supravegherea lui fiind realizată cu o singură cameră video. Imaginile reale ale mediului sunt achiziționate la momente discrete de timp ( $t_0+kT$ ), începând de la momentul inițial  $t_0$ , cu pasul de eșantionare  $T$ ,  $k$  fiind un număr natural,  $k \in \mathbb{N}$ . Comanda vizuală a robotului se realizează pe baza algoritmului global prezentat în figura 5.2. Între două eșantioane de imagini succesiv achiziționate, pentru o imagine de intrare curentă trebuie să se realizeze toate prelucrările necesare din algoritm. De aceea, achiziția unei noi imagini a mediului este posibilă numai după efectuarea tuturor pașilor de procesare din algoritm. Dacă în mediul de lucru nu sunt numai obiecte statice ci și obiecte în mișcare, adică structura mediului se modifică, este cu atât mai important ca procesarea imaginilor să se facă în timp real. Astfel, dacă comanda vizuală a robotului se efectuează ciclic, pe baza algoritmului global, poziția țintă se poate considera fixă iar poziția de start este chiar poziția actuală a robotului din ultima imagine care s-a achiziționat. Se poate accepta și situația în care și obiectul țintă își poate modifica poziția de la un cadru la altul a imaginii achiziționate, dar numai dacă viteza de prelucrare a imaginilor este suficient de mare și astfel, este posibilă obținerea în timp real a mărimii de comandă a robotului.

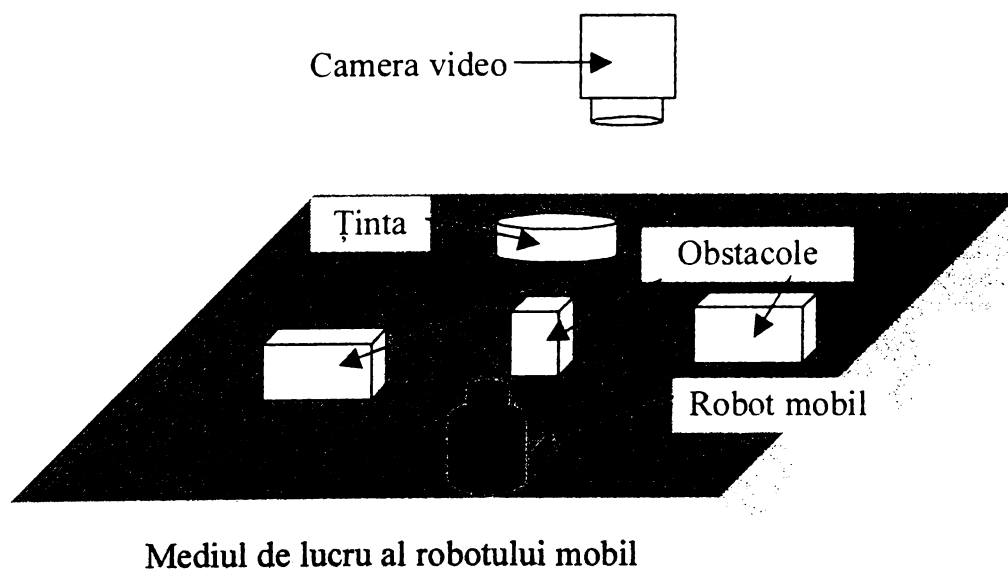
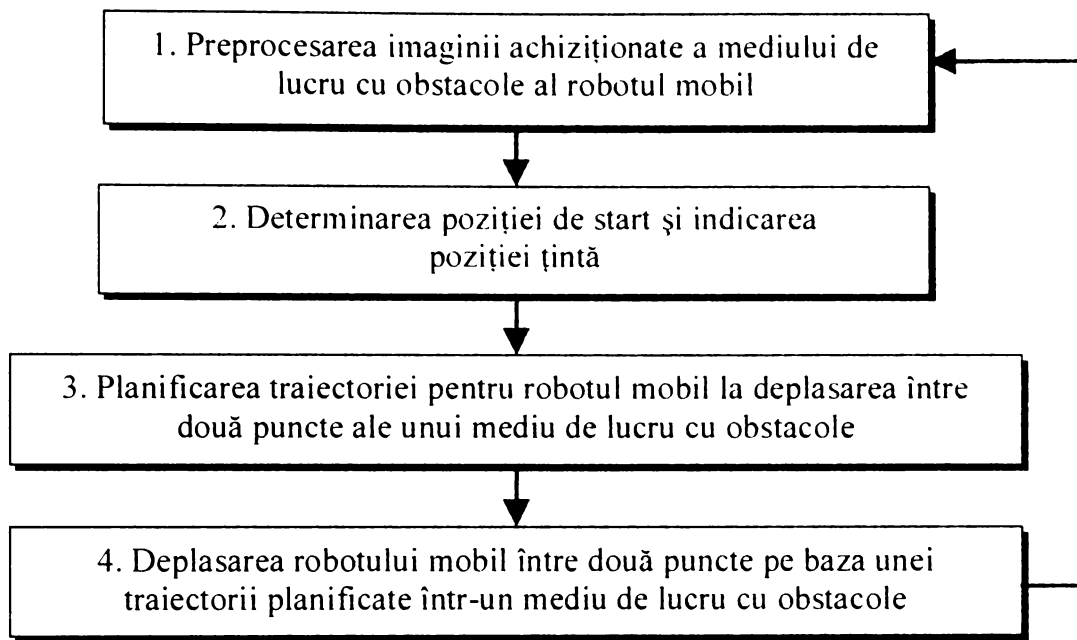


Figura 5.1. Mediul de lucru al unui robot mobil cu comandă vizuală bazată pe imagini.



*Figura 5.2. Organigrama algoritmului global de comandă vizuală al robotului mobil pentru deplasarea între două puncte ale unui mediu de lucru cu obstacole.*

### 5.3 Planificarea traiectoriei unui robot mobil la deplasarea între două puncte ale unui mediu cu obstacole

Algoritmul propus pentru planificarea traiectoriei unui robot mobil, bazată pe imagini, este prezentat în figura 5.3.

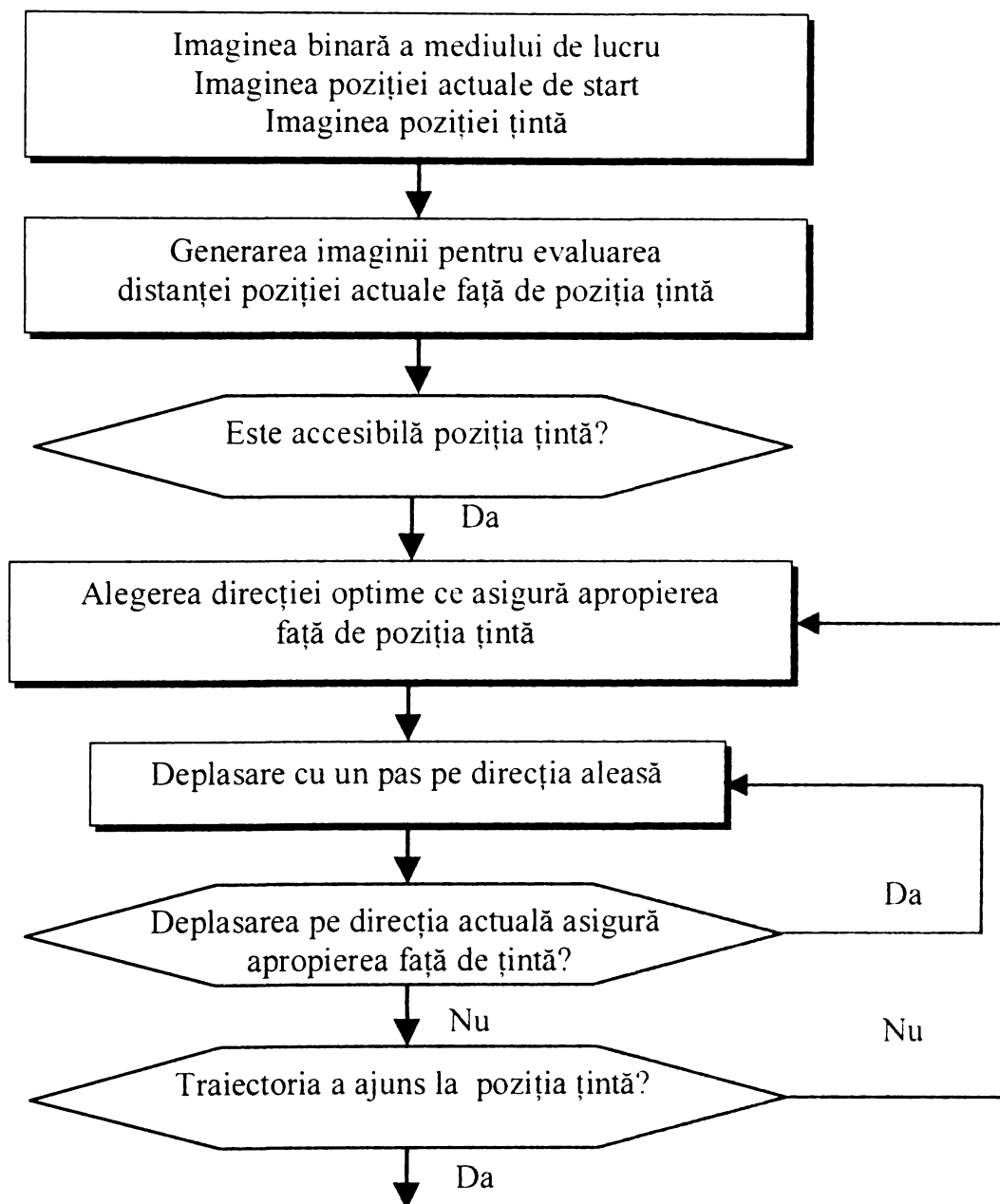


Figura 5.3. Organigrama algoritmului pentru planificarea traiectoriei robotului mobil la deplasarea între două puncte într-un mediu de lucru cu obstacole.

În acest algoritm se utilizează pentru prelucrarea imaginilor numai rețele neuronale celulare. Imaginea de intrare binară a mediului de lucru se obține în urma unor procesări elementare CNN asupra imaginii reale achiziționate cu niveluri de gri. În



imaginea binară rezultată, pentru pixelii cu valori +1 se asociază poziții interzise care nu sunt accesibile robotului în mediul de lucru, iar pentru pixelii cu valoarea -1 se asociază poziții libere, accesibile pentru robot.

### 5.3.1 Evaluarea distanțelor punctelor din mediul de lucru față de punctul țintă

Pentru evaluarea distanțelor punctelor din mediul de lucru față de punctul țintă, în această etapă se generează o undă în planul imaginii cu centrul sursei situate chiar în punctul țintă. În domeniul aplicațiilor CNN generarea controlată a unei unde este o metodă eficientă care se poate utiliza la detectarea conturilor [86] sau chiar la clasificarea binară [34].

Pentru obținerea imaginii cu evaluarea distanțelor pozițiilor din spațiul de lucru față de poziția țintă se utilizează operatorul `explore.tem` [109,125], definit de relațiile:

$$(5.2)$$

$$A = \begin{bmatrix} 0 & a & 0 \\ a & 1 & a \\ 0 & a & 0 \end{bmatrix} \quad B = \begin{bmatrix} 0 & 0 & 0 \\ 0 & 0 & 0 \\ 0 & 0 & 0 \end{bmatrix} \quad z = \boxed{0}$$

Reprezentarea grafică a funcției este prezentată în figura 5.4,  $\beta$  având semnificația de unitate de măsură a distanței.

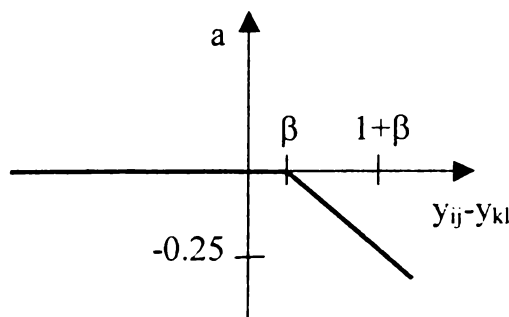


Figura 5.4. Caracteristica de transfer  $a$ .

Prin propagarea ei, unda explorează toate căile accesibile ale mediului de lucru începând din punctul țintă (figura 5.5). Pe starea inițială a rețelei  $x(t_0)$ , STATE, se aplică o imagine în care toate elementele imaginii au valoarea +1, în afară de pixelul corespunzător punctului țintă, care are valoarea -1. Această imagine este de fapt inversa imaginii cu care se indică poziția țintă. Imaginea binară curentă a mediului se va utiliza ca imagine mască (MASK) pentru această prelucrare. Pixelii de la marginea imaginii

mediului de lucru, respectiv frontierei rețelei neuronale celulare, întotdeauna sunt considerați poziții interzise.

Ca urmare a acestei prelucrări în imaginea de ieșire, pixelul din poziția țintă va rămâne la valoarea inițială  $-1$ , iar elementele de imagine care vor avea valoarea  $+1$  vor constitui poziții interzise sau inaccesibile robotului. Toți ceilalți pixeli vor avea valori proporționale cu distanțele pozițiilor lor față de poziția țintă. Astfel, în imaginea rezultată, pornind din centrul sursei unde, valoarea pixelului crește aproximativ cu câte o unitate de măsură a distanței  $\beta$ , la creșterea cu o unitate a razei unde cu propagare circulară.

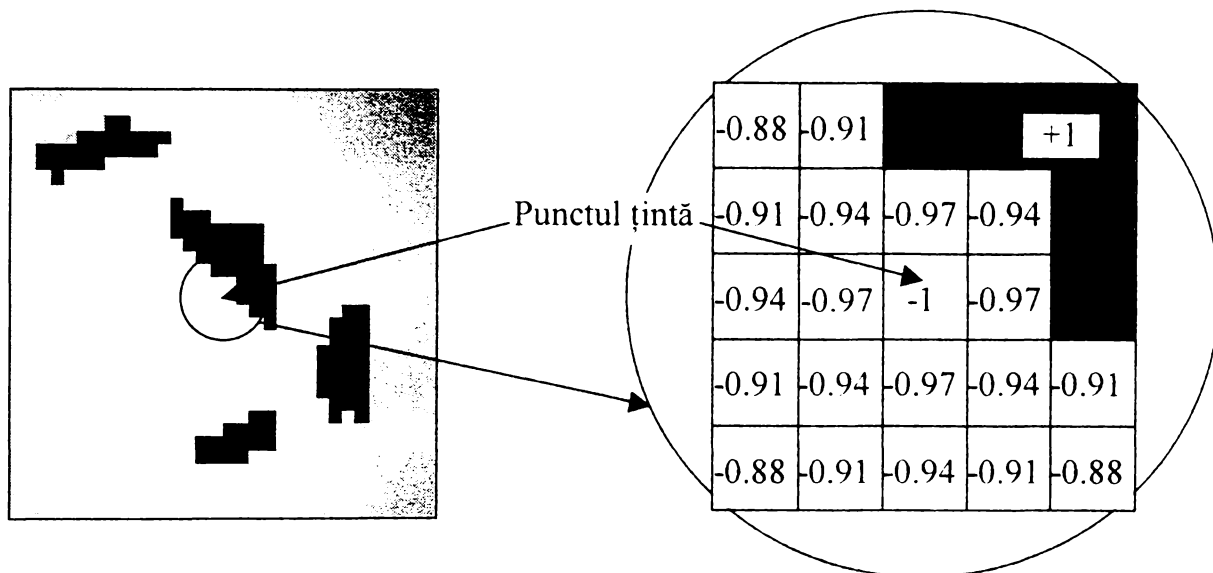


Figura 5.5. Principiul determinării distanței față de țintă prin propagarea unei unde din punctul țintă. Valorile pixelilor cresc cvasiproporțional cu distanța față de punctul origine a sursei.

Dacă există cel puțin o posibilitate de a se ajunge de la poziția de start la poziția țintă, atunci în imaginea de ieșire valoarea pixelului din poziția corespunzătoare poziției de start se va modifica de la  $+1$  la o valoare care este proporțională cu distanța dintre poziția de start și poziția țintă. La fiecare ciclu nou al algoritmului global, propus în acest capitol, se pune în evidență dacă nu există nici un drum liber de obstacole de la poziția de start la poziția țintă. Acest lucru este posibil având în vedere că dacă ținta nu este accesibilă valoarea pixelului din poziția start rămâne  $+1$  și după procesarea CNN, utilizată pentru evaluarea distanțelor punctelor din mediul de lucru față de punctul țintă.

### 5.3.2 Alegerea direcției optime de deplasare pentru robot

Alegerea pentru robot a direcției optime din punct de vedere al lungimii traiectoriei planificate este o etapă de prelucrare a algoritmului care are la bază posibilitatea extragerii valorii unui pixel cu nivel de gri, dacă poziția sa este precizată printr-un singur pixel (de exemplu, de valoare -1) într-o altă imagine binară mască cu dimensiunile identice ca și prima imagine, principiu descris la paragraful 3.3.3. De aceea, pentru această etapă de prelucrare este necesară imaginea cu niveluri de gri care conține estimarea distanțelor pozițiilor din mediul de lucru față de poziția țintă și imaginea binară în care toți pixelii au valoarea +1, în afară de un pixel (-1) prin care se indică poziția punctului de start, ori poziția actuală de alegere a unei direcții noi. Această imagine binară este de fapt inversa imaginii prin care se indică poziția de start. Dintre cei opt vecini care corespund direcțiilor N, S, E, V, S-E, N-E, N-V, S-V, se evaluează și se alege cu o metodă locală acea celulă vecină cu valoare cea mai mică, care asigură ca prin direcția corespunzătoare, drumul parcurs de robot la țintă să fie cel mai scurt. Pentru alegerea direcției optime se utilizează procesări elementare AMC pentru imagini, având la bază familia de operatori shift.tem care corespund celor opt direcții [130] definiți de relațiile următoare: (5.3)

shifte.tem

$$A = \begin{bmatrix} 0 & 0 & 0 \\ 0 & 0 & 0 \\ 0 & 0 & 0 \end{bmatrix} \quad B = \begin{bmatrix} 0 & 0 & 0 \\ 1 & 0 & 0 \\ 0 & 0 & 0 \end{bmatrix} \quad z = \boxed{0}$$

shiftes.tem

$$A = \begin{bmatrix} 0 & 0 & 0 \\ 0 & 0 & 0 \\ 0 & 0 & 0 \end{bmatrix} \quad B = \begin{bmatrix} 1 & 0 & 0 \\ 0 & 0 & 0 \\ 0 & 0 & 0 \end{bmatrix} \quad z = \boxed{0}$$

shifts.tem

$$A = \begin{bmatrix} 0 & 0 & 0 \\ 0 & 0 & 0 \\ 0 & 0 & 0 \end{bmatrix} \quad B = \begin{bmatrix} 0 & 1 & 0 \\ 0 & 0 & 0 \\ 0 & 0 & 0 \end{bmatrix} \quad z = \boxed{0}$$

shiftvs.tem

$$A = \begin{bmatrix} 0 & 0 & 0 \\ 0 & 0 & 0 \\ 0 & 0 & 0 \end{bmatrix} \quad B = \begin{bmatrix} 0 & 0 & 1 \\ 0 & 0 & 0 \\ 0 & 0 & 0 \end{bmatrix} \quad z = \boxed{0}$$

shiftv.tem

$$A = \begin{bmatrix} 0 & 0 & 0 \\ 0 & 0 & 0 \\ 0 & 0 & 0 \end{bmatrix}$$

$$B = \begin{bmatrix} 0 & 0 & 0 \\ 0 & 0 & 1 \\ 0 & 0 & 0 \end{bmatrix}$$

z =

shiftvn.tem

$$A = \begin{bmatrix} 0 & 0 & 0 \\ 0 & 0 & 0 \\ 0 & 0 & 0 \end{bmatrix}$$

$$B = \begin{bmatrix} 0 & 0 & 0 \\ 0 & 0 & 0 \\ 0 & 0 & 1 \end{bmatrix}$$

z =

shiftn.tem

$$A = \begin{bmatrix} 0 & 0 & 0 \\ 0 & 0 & 0 \\ 0 & 0 & 0 \end{bmatrix}$$

$$B = \begin{bmatrix} 0 & 0 & 0 \\ 0 & 0 & 0 \\ 0 & 1 & 0 \end{bmatrix}$$

z =

shiften.tem

$$A = \begin{bmatrix} 0 & 0 & 0 \\ 0 & 0 & 0 \\ 0 & 0 & 0 \end{bmatrix}$$

$$B = \begin{bmatrix} 0 & 0 & 0 \\ 0 & 0 & 0 \\ 1 & 0 & 0 \end{bmatrix}$$

z =

De exemplu, în figura 5.6. pentru deplasarea robotului din punctul A de start către țintă, direcția optimă din punct de vedere al lungimi este către punctul B, iar din punctul de viraj D direcția potrivită este către punctul E.

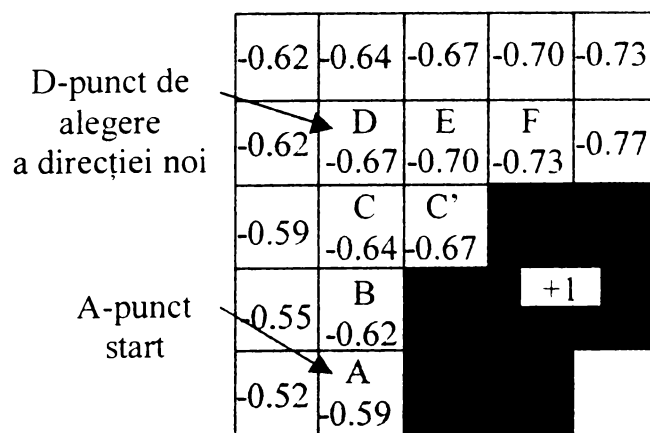


Figura 5.6. Alegerea în punctele de viraj a direcției optime din punct de vedere al lungimii traiectoriei planificate pentru robotul mobil.

### 5.3.3 Deplasarea continuă a robotului pe o direcția aleasă până se asigură apropierea față de țintă

Deplasarea pe direcția aleasă rămâne neschimbată până când această direcție curentă asigură apropierea robotului de poziția țintă. Aceasta înseamnă că, de pe poziția curentă se va păși pe următoarea poziție de pe aceeași direcție numai dacă valoarea pixelului corespunzător pentru poziția respectivă este mai mică decât valoarea pixelului din poziția curentă, spre exemplu în figura 5.6 punctele B și C, respectiv C și D. Dacă valoarea pixelului care urmează pe direcția curentă este mai mare rezultă din nou un viraj sau un pas de alegere a unei noi direcții, punctul D (figura 5.6).

La fiecare ciclu, când se alege o nouă direcție, mai întâi se verifică dacă nu s-a ajuns la poziția țintă, ușor de identificat având în vedere că numai valoarea acestui pixel este -1.

Pentru realizarea imaginii corespunzătoare traiectoriei planificate, după ce s-a ales direcția optimă într-un punct de viraj, pentru apropierea robotului față de poziția țintă, se utilizează familia de operatori select.tem extinsă pe cele opt direcții [109,125], definite de relațiile următoare: (5.4)

selecte.tem

$$A = \begin{array}{|c|c|c|} \hline 0 & 0 & 0 \\ \hline 1 & 4 & 0 \\ \hline 0 & 0 & 0 \\ \hline \end{array} \quad B = \begin{array}{|c|c|c|} \hline 0 & 0 & 0 \\ \hline b & 0 & 0 \\ \hline 0 & 0 & 0 \\ \hline \end{array} \quad z = \boxed{1}$$

selectes.tem

$$A = \begin{array}{|c|c|c|} \hline 1 & 0 & 0 \\ \hline 0 & 4 & 0 \\ \hline 0 & 0 & 0 \\ \hline \end{array} \quad B = \begin{array}{|c|c|c|} \hline b & 0 & 0 \\ \hline 0 & 0 & 0 \\ \hline 0 & 0 & 0 \\ \hline \end{array} \quad z = \boxed{1}$$

selects.tem

$$A = \begin{array}{|c|c|c|} \hline 0 & 1 & 0 \\ \hline 0 & 4 & 0 \\ \hline 0 & 0 & 0 \\ \hline \end{array} \quad B = \begin{array}{|c|c|c|} \hline 0 & b & 0 \\ \hline 0 & 0 & 0 \\ \hline 0 & 0 & 0 \\ \hline \end{array} \quad z = \boxed{1}$$

selectvs.tem

$$A = \begin{array}{|c|c|c|} \hline 0 & 0 & 1 \\ \hline 0 & 4 & 0 \\ \hline 0 & 0 & 0 \\ \hline \end{array} \quad B = \begin{array}{|c|c|c|} \hline 0 & 0 & b \\ \hline 0 & 0 & 0 \\ \hline 0 & 0 & 0 \\ \hline \end{array} \quad z = \boxed{1}$$

selectv.tem

$$A = \begin{bmatrix} 0 & 0 & 0 \\ 0 & 4 & 1 \\ 0 & 0 & 0 \end{bmatrix}$$

$$B = \begin{bmatrix} 0 & 0 & 0 \\ 0 & 0 & b \\ 0 & 0 & 0 \end{bmatrix}$$

$$z = \boxed{1}$$

selectvn.tem

$$A = \begin{bmatrix} 0 & 0 & 0 \\ 0 & 4 & 0 \\ 0 & 0 & 1 \end{bmatrix}$$

$$B = \begin{bmatrix} 0 & 0 & 0 \\ 0 & 0 & 0 \\ 0 & 0 & b \end{bmatrix}$$

$$z = \boxed{1}$$

selectn.tem

$$A = \begin{bmatrix} 0 & 0 & 0 \\ 0 & 4 & 0 \\ 0 & 1 & 0 \end{bmatrix}$$

$$B = \begin{bmatrix} 0 & 0 & 0 \\ 0 & 0 & 0 \\ 0 & b & 0 \end{bmatrix}$$

$$z = \boxed{1}$$

selecten.tem

$$A = \begin{bmatrix} 0 & 0 & 0 \\ 0 & 4 & 0 \\ 1 & 0 & 0 \end{bmatrix}$$

$$B = \begin{bmatrix} 0 & 0 & 0 \\ 0 & 0 & 0 \\ b & 0 & 0 \end{bmatrix}$$

$$z = \boxed{1}$$

Reprezentarea grafică a funcției neliniare  $b$  este prezentată în figura 5.7.  $\beta$  este identică cu cea din figura 5.4, având aceeași semnificație de unitate de măsură a distanței în imagine.

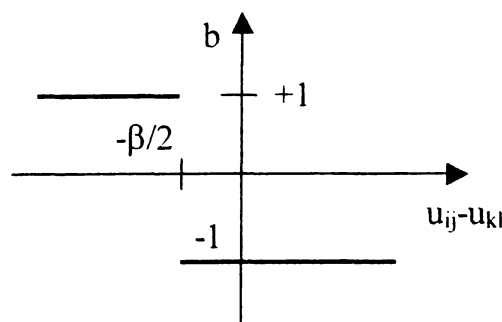
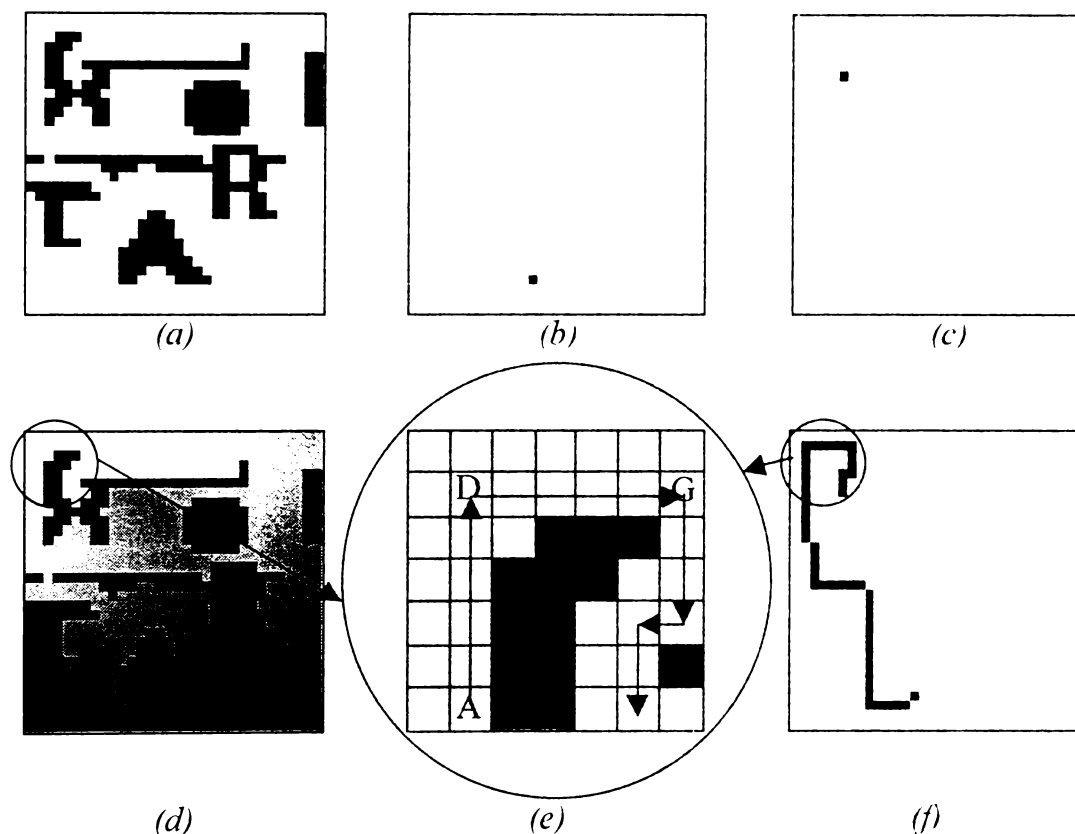


Figura 5.7. Caracteristica de transfer  $b$ .

Între poziția de start și poziția țintă, traiectoria planificată totală pentru robot rezultă din compunerea porțiunilor de traiectorii dintre două viraje care se obțin cu operatorii select.tem (figura 5.8). Pe intrarea INPUT a rețelei neuronale celulare se aplică imaginea cu estimarea distanțelor punctelor mediului de lucru față de poziția țintă. Pe starea STATE se aplică imaginea, cu un singur pixel activ de valoare +1, care indică poziția de start pentru porțiunea din traiectoria planificată. Cei opt operatori select.tem corespund direcțiilor dintre care s-a ales cea optimă în etapa precedentă. De

exemplu, așa cum rezultă din figura 5.8e, dacă poziția de start pentru porțiunea de traiectorie curentă este punctul A, utilizând selectn.tem, se realizează porțiunea A-D din traiectoria planificată. În figura 5.8e, vârful săgeților indică câte un viraj, adică poziția în care se alege din nou direcția care va asigura pentru robotul mobil traiectoria planificată optimă din punctul de vedere al lungimii. Deplasarea robotului pe direcția aleasă într-un punct de viraj, până ce se asigură apropierea acestuia față de poziția țintă este o metodă prin care numărul de viraje este minim, ca și timpul necesar pentru planificarea traiectoriei.



*Figura 5.8. Rezultatele simulării algoritmului CNN de planificare a traiectoriei unui robot mobil pentru deplasarea între două puncte ale unui mediu cu obstacole, pe baza principiului efectuării mișcării pe o direcție aleasă până se realizează apropierea de țintă: (a) imaginea mediului după preprocesare; (b) determinarea poziției de start; (c) indicarea poziției țintă; (d) imaginea generată pentru estimarea distanței dintre poziția start și poziția țintă; (e) imaginea în detaliu a unei porțiuni din traiectoria planificată; (f) traiectoria planificată rezultată.*

Traectoria planificată trebuie să rămână de dimensiunea unui pixel după fiecare viraj și utilizare de operator select.tem. De aceea, imaginea de start, pentru fiecare porțiune de traiectorie, trebuie să conțină un singur pixel activ (cu valoare +1). Acest pixel rezultă ca fiind ultimul element din porțiunea precedentă de traiectorie adică,

ultimul punct de viraj. Pentru îndeplinirea acestei condiții se utilizează și familia de operatori del.tem. extinsă pe cele opt direcții, care s-au determinat pe cale empirică, de către autor. Operatorii del.tem. sunt definiți de relațiile următoare: (5.5)

dele.tem

$$A = \begin{bmatrix} 0 & 0 & 0 \\ 0 & 0 & 0 \\ 0 & 0 & 0 \end{bmatrix} \quad B = \begin{bmatrix} 0 & 0 & 0 \\ 1 & 1 & -1 \\ 0 & 0 & 0 \end{bmatrix} \quad z = \boxed{0}$$

deles.tem

$$A = \begin{bmatrix} 0 & 0 & 0 \\ 0 & 0 & 0 \\ 0 & 0 & 0 \end{bmatrix} \quad B = \begin{bmatrix} 1 & 0 & 0 \\ 0 & 1 & 0 \\ 0 & 0 & -1 \end{bmatrix} \quad z = \boxed{0}$$

dels.tem

$$A = \begin{bmatrix} 0 & 0 & 0 \\ 0 & 0 & 0 \\ 0 & 0 & 0 \end{bmatrix} \quad B = \begin{bmatrix} 0 & 1 & 0 \\ 0 & 1 & 0 \\ 0 & -1 & 0 \end{bmatrix} \quad z = \boxed{0}$$

delvs.tem

$$A = \begin{bmatrix} 0 & 0 & 0 \\ 0 & 0 & 0 \\ 0 & 0 & 0 \end{bmatrix} \quad B = \begin{bmatrix} 0 & 0 & 1 \\ 0 & 1 & 0 \\ -1 & 0 & 0 \end{bmatrix} \quad z = \boxed{0}$$

delv.tem

$$A = \begin{bmatrix} 0 & 0 & 0 \\ 0 & 0 & 0 \\ 0 & 0 & 0 \end{bmatrix} \quad B = \begin{bmatrix} 0 & 0 & 0 \\ -1 & 1 & 1 \\ 0 & 0 & 0 \end{bmatrix} \quad z = \boxed{0}$$

delvn.tem

$$A = \begin{bmatrix} 0 & 0 & 0 \\ 0 & 0 & 0 \\ 0 & 0 & 0 \end{bmatrix} \quad B = \begin{bmatrix} -1 & 0 & 0 \\ 0 & 1 & 0 \\ 0 & 0 & 1 \end{bmatrix} \quad z = \boxed{0}$$

deln.tem

$$A = \begin{bmatrix} 0 & 0 & 0 \\ 0 & 0 & 0 \\ 0 & 0 & 0 \end{bmatrix} \quad B = \begin{bmatrix} 0 & -1 & 0 \\ 0 & 1 & 0 \\ 0 & 1 & 0 \end{bmatrix} \quad z = \boxed{0}$$

delen.tem

$$A = \begin{bmatrix} 0 & 0 & 0 \\ 0 & 0 & 0 \\ 0 & 0 & 0 \end{bmatrix} \quad B = \begin{bmatrix} 0 & 0 & -1 \\ 0 & 1 & 0 \\ 1 & 0 & 0 \end{bmatrix} \quad z = \boxed{0}$$



Prin procesarea cu acești operatori asupra unei imagini binare cu un obiect (pixeli cu valori +1) se realizează ștergerea, pe direcția specificată, a unui pixel din obiect. De exemplu, (figura 5.8e) după porțiunea de traiectorie planificată A-D, pentru realizarea porțiunii de traiectorie D-G, imaginea de start are ca pixel activ numai punctul D, care se extrage din segmentul (obiectul) A-D, prin procesarea succesivă cu `delete.m`.

### 5.3.4 Planificarea traiectoriei prin determinarea direcției optime la fiecare pas

Potrivit metodei prezentate în paragraful precedent, alegerea unei noi direcții se realizează numai dacă prin menținerea direcției curente robotul nu s-ar mai apropia de țintă (figura 5.6). Astfel, se reduce la minim numărul de viraje, dar traiectoria planificată nu este cea cu lungimea minimă. În exemplul prezentat, între cele două viraje, punctele A și D, există punctul B din care direcția optimă în loc de C ar fi C'. De aceea, pentru a obține traiectoria optimă din punct de vedere al lungimii drumului de parcurs pentru robot, trebuie să se aleagă direcția optimă la fiecare pas corespunzător fiecărui pixel din imaginea cu niveluri de gri, de evaluare a distanței punctelor mediului de lucru față de țintă. Alegerea direcției optime la fiecare pas se realizează pe baza principiului prezentat la paragraful 5.3.2. În acest fel, rezultă traiectoria planificată, optimă din punct de vedere al lungimii pentru aplicația prezentată în acest capitol (figura 5.9b,c). Vârful săgeților indică faptul că alegerea direcției optime se realizează la fiecare pas corespunzător discretizării spațiale a imaginii mediului cu obstacole.

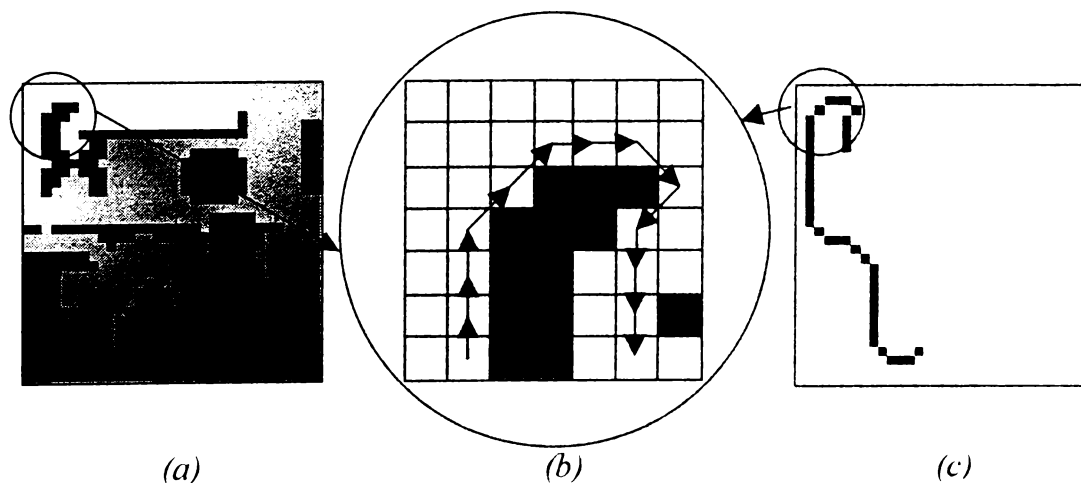


Figura 5.9. Planificarea traiectoriei prin determinarea direcției optime la fiecare pas:  
 (a) imaginea generată pentru estimarea distanței dintre poziția start și poziția țintă;  
 (b) imaginea în detaliu a unei porțiuni din traiectoria planificată optimă;  
 (c) traiectoria planificată optimă din punct de vedere al lungimii.

## 5.4 Simularea algoritmului CNN de planificare a traiectoriei unui robot mobil într-un mediu cu obstacole

Pentru testarea algoritmului de planificare a traiectoriei unui robot mobil într-un mediu de lucru cu obstacole utilizând rețele celulare neuronale s-a utilizat mediul de simulare "VisMouse-SimCNN" (Visual mouse platform and multi-layer CNN simulator [124]). Rezultatele experimentale au fost obținute prin simulare cu ajutorul unor programe realizate în limbaj de asamblare "AMC" (Extended analogic macro code and interpreter [130]), (anexa 5, anexa 6).

Timpul total minim de prelucrare necesar algoritmului se obține din timpii minimi necesari pentru prelucrare, la fiecare etapă în parte. Pentru evaluarea distanțelor punctelor spațiului de lucru față de poziția țintă, timpul minim de prelucrare depinde de distanța dintre poziția de start și poziția de țintă, deoarece este absolut necesar ca unda cu originea în țintă să se propage până în poziția de start.

În etapa de deplasare pe o direcție aleasă, timpul minim necesar este proporțional cu lungimea traseului care trebuie parcurs la planificarea traiectoriei. Din punctul de vedere al timpului total are importanță și numărul de viraje, adică numărul de puncte în care se face o nouă alegere a direcției optime în vederea atingerii țintei. În cazul determinării direcției optime la fiecare pas, timpul necesar de calcul este mai mare decât la varianta unui număr minim de viraje, dar traiectoria planificată are lungimea minimă. Dintre cele două metode propuse, se poate alege cea convenabilă numai după cunoașterea și evaluarea condițiilor impuse și a scopului urmărit în aplicația concretă.

Pentru ca algoritmul CNN de planificare a traiectoriei unui robot mobil să poată funcționa corect trebuie ca fiecărui punct din spațiul de lucru să i se poată asocia o valoare în etapa de evaluare a distanțelor punctelor față de poziția țintă. În consecință, trebuie avut în vedere domeniul valorilor elementelor de imagine CNN și faptul că, în prezent, valorile acestea se pot coda pe 8 biți pe un chip-CNN, ceea ce înseamnă că este limitată valoarea minimă a distanței unitare  $\beta$  (figura 5.4). De asemenea, o condiție necesară pentru buna funcționare a algoritmului prezentat este ca la fiecare imagine achiziționată să existe și să se poată identifica atât punctul de start cât și punctul țintă. Astfel, rezultă dimensiunile imaginii și pasul de eșantionare minim pentru discretizarea spațială a imaginii achiziționate.

## 5.5 Concluzii

Pentru planificarea traiectoriei unui robot mobil într-un mediu cu obstacole, s-a prezentat în acest capitol un algoritm original utilizând rețele neuronale celulare.

Algoritmul CNN de planificare a traiectoriei unui robot într-un mediu cu obstacole, cu ajutorul unei camere video, a fost verificat integral prin simulare.

Rezultatele obținute la testarea algoritmului CNN, propus de autor, confirmă că, prin utilizarea rețelelor neuronale celulare la prelucrarea imaginilor se poate planifica în timp real traiectoria unui robot mobil într-un mediu cu obstacole. De aceea, această metodă de planificare bazată pe imagini constituie o alternativă avantajoasă față de alte procedee utilizate la navigarea robotului mobil. Ocolind obstacolele din mediu, algoritmul CNN propus, furnizează robotului traiectoria planificată optimă din punct de vedere al lungimii și a numărului de viraje, între poziția de start și poziția țintă, ori se semnalează dacă ținta nu este accesibilă.

Îmbunătățirea performanțelor algoritmului global CNN de planificare a traiectoriei unui robot, bazată pe imagini, este dependentă de posibilitatea creșterii în continuare a vitezei de prelucrare a imaginilor, care la rândul ei depinde de posibilitatea implementării și performanțele chipului CNN.

## 6. Concluzii

### 6.1 Prezentare sintetică a tezei

În prezenta teză de doctorat sunt studiate posibilitățile de utilizare a rețelelor neuronale celulare la prelucrarea semnalelor bidimensionale, cu aplicații pentru comanda adaptivă a roboților pe baza informației vizuale.

Este evident, ca prin includerea senzorului vizual în structura de comandă a robotului crește gradul de adaptabilitate al acestuia la modificările din mediul de lucru. Fapt ce conduce la extinderea domeniilor de aplicabilitate [50,54,80,110]. Pentru ca această comandă să se poată realiza în timp real, este necesară o putere de calcul deosebit de ridicată, mai ales pentru prelucrarea rapidă și robustă a imaginii. În lucrare se arată că reducerea timpului de prelucrare și eliminarea sensibilității sistemului la erorile de calibrare ale camerei video sunt avantajele principale ale comenzii bazate pe imagini față de controlul bazat pe poziții. Dacă reacția vizuală a sistemului este asimptotic stabilă, eroarea de imagine și în consecință și eroarea cinematică vor tinde spre zero [4,27,54,58,110].

Ca o altă alternativă față de tehnicile convenționale, rețelele neuronale fiind mijloace adaptive de procesare paralele și distribuite, pot fi utilizate la rezolvarea problemelor specifice de la comanda adaptivă a robotului [67,73,82], dar și la controlul pe baza informației vizuale [4,26,107]. S-a arătat că prin utilizarea rețelelor neuronale se poate realiza o poziționare vizuală cu un grad de acuratețe similar cu cel obținut prin tehnici analitice.

Utilizarea rețelelor neuronale celulare în scopul realizării comenzii bazate pe imagini a roboților, se justifică în primul rând, dacă se au în vedere rezultatele care s-au obținut cu aceste rețele la prelucrarea semnalelor bidimensionale, începând de la prelucrări elementare ale imaginilor [1,66,86,71], recunoaștere de forme [93], codarea imaginilor [63,98], realizarea de memorii asociative [3,101], metode de prelucrare a imaginilor bazate pe morfologia matematică [120] și până la prelucrări complexe spațio-temporale [28,95].

Rețeaua neuronală celulară de bază (CNN-Cellular neural network [7,8]) este o structură bidimensională rectangulară, fiind formată din circuite analogice neliniare

identice dispuse regulat, numite celule. Având în vedere structura bidimensională specifică a acestei rețele rezultă corespondența imediată a fiecărei celule cu un element discret de imagine. Aceste celule interacționează local între ele pe baza unor operatori (template)  $A$ ,  $B$  și  $Z$  care au semnificația unor matrice de pondere. Operația pe care o realizează o rețea neuronală celulară asupra unei imagini de intrare  $U(t_0)$  și imagini inițiale de stare  $X(t_0)$ , pentru obținerea unei imagini de ieșire stabilă  $Y$ , este complet definită de acești operatori care alcătuiesc o instrucțiune elementară CNN.

Calculatorul universal CNN (CNN-Universal Machine [87]) s-a obținut adăugând la rețeaua neuronală celulară de bază unități de memorie locală, unități de calcul aritmetic și logic respectiv o unitate de programare globală. Prin implementarea în tehnologia VLSI a acestor calculatoare CNN, rezultă în mod real prelucrarea complet paralelă a semnalelor cu rețelele neuronale celulare. Testarea prelucrărilor pe chipurile CNN din ce în ce mai performante, evidențiază avantajul major al procesării CNN complet paralele, care este realizabilă în timp real [21,57,68,78,79]. De aceea, din punctul de vedere al vitezei de calcul, pentru comanda adaptivă a roboților bazată pe imagini, prelucrarea semnalelor cu rețele neuronale celulare poate constitui o alternativă avantajoasă față de procesarea numerică a semnalelor cu calculatoarele seriale, ori față de alte mijloace hard specializate de procesare paralelă.

În anumite cazuri funcția dorită a se realiza prin prelucrarea semnalelor bidimensionale cu rețele neuronale celulare se obține proiectând în mod corespunzător setul de operatori. Astfel, în capitolul 4 se propun metode noi, originale, de interpolare a semnalelor bidimensionale, folosind rețele neuronale celulare cu operatori liniari de reacție, de dimensiune  $3 \times 3$ , care s-au obținut pe cale analitică.

În general, în cazul unor probleme complexe este dificil de proiectat un singur operator, liniar de dimensiune  $3 \times 3$ , care să ofere soluție potrivită printr-un singur pas de prelucrare. De aceea, problema complexă se va descompune în probleme parțiale care deja se pot soluționa cu câte un singur operator elementar și în timp foarte scurt, rezultând un algoritm CNN. Pentru a se asigura prelucrarea dorită cu rețeaua neuronală celulară, pe baza unor algoritmi, se realizează programe sau subrutine CNN cu ajutorul a mai multor instrucțiuni elementare (un set de operatori) [20,63,66,92,98,100,109].

În acest fel, rezultă algoritmul CNN original, de urmărire a unui obiect în mișcare, pe baza imaginilor achiziționate cu ajutorul unei camere video montată pe brațul unui robot, prezentat în capitolul 3 și noul algoritm CNN pentru determinarea punctului

central respectiv a poziției unui obiect dintr-o imagine. Pentru planificarea bazată pe imagini a traiectoriei unui robot mobil într-un mediu cu obstacole, s-a propus în capitolul 5 algoritmul original, utilizând rețele neuronale celulare.

Procedeul CNN se poate considera ca fiind cel mai eficient, pentru o problemă concretă, față de o altă soluție posibilă, numai după implementarea operatorilor și algoritmilor pe un chip CNN și funcționarea lor robustă. De aceea, la elaborarea noilor operatori și algoritmi CNN, prezentați în această lucrare, în vederea validării, s-a ținut cont permanent de posibilitatea implementării acestora pe cel mai performant chip CNN existent [21,68,].

## 6.2 Contribuții originale

Prelucrarea semnalelor cu rețelele neuronale celulare constituie actualmente un domeniu tehnic în plină dezvoltare. Prin prezentarea generală din capitolul 2 a acestor rețele, s-a urmărit o introducere în domeniu, corespunzător stadiului actual privind noțiunile teoretice și performanțele obținute în diverse aplicații. Cu acest prilej, pe baza unui material bibliografic bogat și de strictă actualitate, autorul tezei aduce contribuții legate de sistematizarea principalelor noțiuni în domeniu și de stabilire unui însemnat număr de concluzii utile cercetării viitoare din teză.

În capitolul 3 este prezentat un algoritm CNN original, de urmărire a unui obiect în mișcare, pe baza imaginilor achiziționate cu ajutorul unei camere video montată pe brațul unui robot [28,30,32]. Acest algoritm a fost verificat integral prin simulare și testat parțial pe un chip CNN cu 20\*22 celule (cP400 [21]). Testarea s-a făcut pentru diferite condiții inițiale care au putut fi stabilite pentru un sistem robotic concret, utilizat în experimentări.

În cadrul acestui capitol, autorul tezei aduce următoarele contribuții originale:

- A elaborat un algoritm CNN de comandă vizuală bazată pe imagini pentru un braț robotic cu două grade de libertate. Algoritmul permite comanda brațului robotic astfel încât acesta să poată urmări un obiect aflat în mișcare, obiect a cărui imagine, utilizată cu rol de comandă, este prelevată cu ajutorul unei camere video montată pe brațul robotului.

Prin prelucrarea complet paralelă, cu rețele neuronale celulare, a semnalelor bidimensionale, se asigură efectuarea tuturor procesărilor necesare între două

imagini de intrare succesiv achiziționate, fapt ce asigură funcționarea în timp real a sistemului.

- A elaborat operatorul `follow.tem`, cu ajutorul căruia poate fi extras un obiect având o anumită poziție în imaginea curentă, pe baza desemnării obiectului într-o altă imagine, în care poziția acestuia poate fi diferită față de poziția curentă. Este posibilă în acest fel stabilirea și urmărirea poziției unui obiect aflat în mișcare, într-o succesiune de imagini achiziționate privind obiectul respectiv.
- A fost introdusă noțiunea de imagine de comandă necesară comenzii vizuale bazată pe imagini a cuplelor cinematice ale unui braț robotic.

Pentru diferite tipuri de imagini de comandă asociate cuplelor cinematice, a stabilit natura și modalitatea de elaborare cu metode CNN a acestora. Proprietățile imaginilor de comandă depind de specificul aplicației concrete și de particularitățile circuitului CNN pe care se implementează algoritmul.

Pe baza analizei comportamentului sistemului robotic studiat și în urma rezultatelor obținute prin simulare respectiv implementare pe un chip CNN a algoritmului de urmărire a unui obiect în mișcare, se poate considera că rețelele neuronale celulare constituie mijloace eficiente, rapide și utile în implementarea comenzii vizuale a unui braț robotic.

- Utilizând rețele neuronale celulare, a elaborat un algoritm CNN pentru determinarea punctului central respectiv a poziției unui obiect dintr-o imagine.
- Pentru determinarea unor proprietăți globale, cum ar fi axele de simetrie sau punctul central al unui obiect, a introdus noțiunea de imagine de măsurare.

Algoritmul pentru determinarea punctului central al unui obiect utilizând rețele neuronale celulare [33,36], folosește numai procesări elementare logice și cu operatori liniari de dimensiune  $3 \times 3$ , fapt ce permite implementarea acestuia cu ușurință pe un chip CNN cu  $64 \times 64$  de celule (cP4000 [68]). În acest fel prelucrarea se poate efectua în timp real, datorită procesării complet paralele și ca urmare a reducerii substanțiale a numărului de încărcări pe chip a imaginilor inițiale. Acest algoritm, deși furnizează soluția după mai mulți pași de procesări elementare, prezintă avantajul că timpul total de procesare nu depinde de dimensiunea obiectului la care se caută punctul central. Totodată, în cazul acestui algoritm, rezultatul nu este afectat de erorile introduse la determinarea punctului central cu operatorul `center.tem` [125], în cazul în care obiectul are orificii sau nu este cu contur închis.

În capitolul 4, în totalitate original, sunt prezentate modalități noi de interpolare cu rețele neuronale celulare a semnalelor bidimensionale [31,37,39,44].

Contribuțiile originale prezente în acest capitol sunt următoarele:

- A determinat pe cale analitică operatorii de reacție de tip A, liniari și de dimensiune  $3 \times 3$ , aintpol1.tem, aintpol2.tem și aintpol3.tem, care permit interpolarea CNN a semnalelor bidimensionale.

Acești operatori, cu aplicabilitate atât în cazul imaginilor binare cât și a imaginilor cu niveluri de gri, prezintă avantajul că pot fi implementați pe chipuri CNN. Față de procedeele de interpolare existente, chiar și cele bazate pe rețele neuronale celulare, interpolarea cu operatorii nou propuși se poate efectua în timp real, ca urmare a reducerii substanțială a numărului necesar de încărcări pe chip a imaginilor inițiale și deci a duratei totale de calcul. Datorită procesării complete paralele, timpul de execuție nu crește practic odată cu creșterea dimensiunilor imaginii.

- A definit setul necesar și suficient de condiții inițiale și de frontieră ale rețelei neuronale celulare, pentru determinarea pe cale analitică operatorilor de reacție de tip A, în vederea prelucrării de imagini cu niveluri de gri.
- Pentru dimensionarea operatorilor de interpolare a utilizat un procedeu original, care are la bază minimizarea unei funcții de cost concomitent cu condiția asigurării convergenței stării celulelor către o stare stabilă.

Metoda propusă oferă și o soluție la problema proiectării operatorilor de reacție de tip A, pentru prelucrarea unor imagini cu niveluri de gri.

Funcționarea corectă a acestor noi metode de interpolare CNN s-a verificat prin simulare și testare pe un chip CNN de  $64 \times 64$  de celule (cP4000 [68]). Interpolarea semnalelor bidimensionale cu rețele neuronale, utilizând algoritmi propuși în acest capitol, prezintă interes aplicativ nu numai în robotică dar și la mărirea și interpretarea zonelor de interes major din imaginile biomedicale respectiv la obținerea de imagini de calitate HDTV în cazul recepției semnalului TV analogic uzual, cu păstrarea dimensiunilor elementului de imagine original.

Având în vedere viteza de procesare ridicată, metoda de interpolare propusă poate servi la obținerea imaginilor de comandă ale unui robot industrial, când se cunosc deja valorile ale unor elemente de imagine corespunzătoare pentru anumite puncte de referință din spațiu.



Interpolarea CNN în timp real cu operatorii propuși poate constitui o modalitate eficientă și rapidă la reconstrucția unor imagini deteriorate ori cunoscute parțial sau la codarea și decodarea imaginilor în vederea transmiterii acestora.

Capitolul 5, în totalitate original, tratează problema planificării traiectoriei prescrise a unui robot mobil într-un mediu cu obstacole, utilizând rețele neuronale celulare [35.38]. Algoritmul realizează planificarea traiectoriei prin procesarea imaginii mediului în care navighează autonom robotul mobil. Algoritmul nou propus furnizează robotului o traiectorie prescrisă între poziția de start și o poziție țintă, optimă din punctul de vedere al lungimii traseului și a numărului de viraje, ori se semnalează faptul că ținta nu este accesibilă.

Acest capitol conține următoarele contribuții originale:

- Pentru un robot mobil care se deplasează autonom într-un mediu cu obstacole, a fost elaborat un algoritm analogic global, bazat pe rețele neuronale celulare, de planificare a traiectoriei prescrise cu evitarea obstacolelor.
- Metoda de planificare a traiectoriei prescrise a fost optimizată printr-un procedeu CNN, încât traiectoria să prezinte un număr minim de viraje.
- A elaborat familia de operatori del.tem care corespund direcțiilor N, S, E, V, S-E, N-E, N-V, S-V. Procesarea cu acești operatori asupra unei imagini binare cu un obiect (pixeli cu valori +1) are ca rezultat ștergerea, pe direcția specificată, a unui pixel din obiect. Prin utilizarea succesivă a acestor operatori pot fi extrase elementele de imagini de la extremitățile unui obiect, după o direcție.
- A fost elaborat un procedeu CNN prin care se poate determina traiectoria optimă, astfel încât aceasta să fie de lungime minimă.

Rezultatele obținute la testarea algoritmului CNN propus justifică afirmația că prin utilizarea rețelelor neuronale celulare se poate determina în timp real traiectoria prescrisă unui robot mobil atunci când acesta navighează autonom într-un mediu cu obstacole. Această metodă de planificare se bazează exclusiv pe prelucrare de imagini și constituie o alternativă avantajoasă față de alte procedeele utilizate la navigarea roboților mobili.

### 6.3 Generalizări și direcții de cercetare viitoare

Conducerea adaptivă a roboților pe baza informației vizuale și utilizarea rețelelor neuronale la prelucrarea semnalelor bidimensionale continuă să fie în centrul atenției cercetătorilor din aceste două domenii [70,87,115].

Pe baza rezultatelor obținute în prezenta lucrare, se poate afirma că rețelele neuronale constituie o alternativă eficientă de prelucrare în timp real a semnalelor pentru comanda adaptivă a robotului pe baza informației vizuale. Soluțiile oferite pentru algoritmul CNN de urmărire a unui obiect în mișcare, permit implementarea imediată pe un chip CNN de  $64 \times 64$  de celule (cP4000 [68]), ori pe alte circuite CNN mai performante care vor apare în viitor. Astfel se vor îmbunătăți și performanțele algoritmului, deoarece timpul de prelucrare nu crește proporțional cu mărirea dimensiunilor imaginii prelucrate.

Extinderea comenzii se poate realiza și pentru un braț robotic cu trei grade de libertate. Pentru acest caz cât și pentru conducerea unui robot mobil se pot utiliza rezultatele obținute cu rețelele neuronale celulare la detecția de adâncime prin interpretarea imaginilor stereo [84,116]. Soluția potrivită pentru brațul robotic cu trei grade de libertate poate fi conducerea vizuală 2-1/2D [70], prin utilizarea a două camere video în domeniul CNN.

Creșterea performanțelor algoritmului CNN utilizat la comanda vizuală a robotului este posibilă și prin utilizarea în algoritm a memoriilor asociative CNN [43,101] respectiv prin fuziunea semnalelor care provin și de la alți senzori (tactili sau cei de forță/moment) [75].

În toate metodele de conducere prezentate, prelucrarea rapidă și robustă a imaginii prezintă o deosebită importanță. Ca urmare, se impune în cercetările viitoare, ca algoritmi bazati pe procesări de suprafețe și care sunt sensibili la schimbări de fundal, să fie înlocuiți cu metode bazate pe procesări de muchii, mai rapide și mai robuste [66,69]. Metoda utilizată pentru prelucrarea de imagini trebuie să aibă în vedere însă și natura aplicației concrete [26].

La elaborarea algoritmului CNN de comandă a brațului robotic, propus în această lucrare, s-a luat în considerare cazul cel mai simplu, al comenzii cinematice, studiul comportamentului dinamic fiind încă o problema deschisă care ar putea fi abordată în



viitor. În această privință se impune și abordarea cu metode CNN a comenzii vizuale directe bazată pe imagini a robotului [15,50,54], realizabilă mai ales dacă circuitele CNN permit utilizarea de operatori variabili în spațiu și în timp [57].

Respectând condițiile inițiale specificate, metoda propusă de interpolarea CNN poate fi utilă la determinarea pe cale analitică a operatorilor CNN și în alte aplicații în care se utilizează imagini cu niveluri de gri, dacă se poate identifica o funcție de cost potrivită. Astfel, pe baza metodei prezentate se poate extinde interpolarea CNN și pentru spațiul 3D. Asemenea prelucrări se pot dovedi utile la reconstrucția suprafețelor pe baza imaginilor stereo sau la interpolarea între straturi. În aceste cazuri a treia variabilă a funcției imagine este coordonata din spațiu  $z$  iar dacă interpolarea se realizează între cadrele imaginii, cea de a treia coordonată a imaginii este variabila timp.

Îmbunătățirea performanțelor algoritmului global CNN de conducere a unui robot mobil într-un mediu cu obstacole este dependentă de posibilitatea creșterii în continuare a vitezei de prelucrare a imaginilor. Creșterea vitezei de procesare depinde la rândul ei de posibilitatea implementării algoritmului pe un chip CNN și performanțele chipului.

Precizia de poziționare a robotului în mediul de lucru pe baza informației vizuale, se poate crește dacă o dată cu apropierea robotului de țintă se va putea modifica dimensiunea imaginilor achiziționate. Acest deziderat poate fi realizat prin reglarea adecvată a poziției și a distanței focale a camerei video, încât să fie achiziționată numai imaginea corespunzătoare zonei de interes din mediul de lucru. În acest sens, o posibilă soluție o poate reprezenta îmbinarea algoritmului CNN de urmărire a unui obiect cu o cameră video, prezentat în capitolul trei, cu algoritmul de planificarea traiectoriei, propus în capitolul cinci.

Cercetările privind planificarea traiectoriei unui robot mobil care navighează autonom într-un mediu cu obstacole, pot fi extinse în cel puțin următoarele două direcții.

Într-un mediu cu obstacole aflate în mișcare rețelele neuronale se pot utiliza și pentru predicția evoluției mediului [6,64]. Adaptabilitatea robotului la navigarea în mediu crește dacă la planificarea traiectoriei se ține cont și de traiectoria estimată pentru obstacolele în mișcare.

Pentru creșterea adaptabilității la mediu a robotului mobil, la navigarea prin metodă locală este luată uneori în considerare și dinamica robotului [25.115]. Rețelele neuronale celulare își dovedesc în acest caz utilitatea și în ce privește rezolvarea ecuațiilor diferențiale care intervin în studiu.

Tehnicile analogice implementate cu rețele neuronale celulare constituie o nouă viziune asupra algoritmilor și metodelor de prelucrare din domeniul procesării spațio-temporale a semnalelor. Utilizarea lor practică în viitor se va face cu precădere pentru soluționarea în timp real a unor probleme complexe.

## Anexa 1

; Program AMC pentru testarea algoritmului CNN de urmarire  
;cu o camera video, a unui obiect aflat in miscare

start:

```
;host.cam.start 1
;wait 100
;host.start.frgb DT3153
;host.mov.frgb.pic LAM1 -0.5 92 68 64 64
host.load.tem follow.tem TEM1
host.load.tem hollow.tem TEM2
host.load.tem center1.tem TEM3
host.load.tem center2.tem TEM4
host.load.tem center3.tem TEM5
host.load.tem center4.tem TEM6
host.load.tem center5.tem TEM7
host.load.tem center6.tem TEM8
host.load.tem center7.tem TEM9
host.load.tem center8.tem TEM10
host.load.tem treshold.tem TEM11
;numar imagini de intrare din memorie
mov.gam.gam 1 GAM6
mov.gam.gam 7 GAM7
mov.gam.gam 1 GAM3
;imagini de memorare initiale
host.load.pic mask7.bmp LAM2
;imagini de comanda
;imagini binare pentru teta1 si teta 2
host.load.pic comtetab1.bmp LAM7
host.load.pic comtetab2.bmp LAM8
host.display LAM7 7
host.display LAM8 8
```

foll:

```

;numar cicluri pentru center.tem
  mov.gam.gam 0 GAM4
mov.gam.gam 18 GAM5
;imagine de memorare curenta
host.display LAM2 2
;imagine de intrare curenta cu niveluri de gri
host.loadn.pic moobj70000.bmp GAM6 LAM6
mov.lam.lam LAM6 LAM1
host.display LAM1 1
ar.tem TEM11 LAM6 LAM6 LLM1 5 0 0 NIL NIL;treshold
host.display LLM1 13
;achizitionarea cu camera video
;de imagini cu niveluri de gri
;host.mov.frgb.pic LAM6 gray 92 68 64 64
;host.display LAM6 6
;achizitionarea cu camera video de imagini binare
;host.mov.frgb.pic LAM1 -0.5 92 68 64 64
ar.tem TEM1 LLM1 LAM2 LAM3 50 -1 -1 NIL NIL;follow
host.display LAM3 3
ar.tem TEM2 LAM3 LAM3 LAM4 50 -1 -1 NIL NIL;hollow
mov.lam.lam LAM3 LAM2
mov.lam.lam LAM4 LAM2
host.display LAM4 4
mov.lam.lam LAM4 LAM5
loop:
  call center
  sc.inc.gam GAM4 ;bucla pentru center
  sc.rel.gt.gam GAM5 GAM4 GLM4
  host.display LAM5 5
  jumpc GLM4 loop
  host.display LAM5 5
  mov.lam.lam LAM4 LAM9
  mov.lam.lam LAM4 LAM10
  ;host.display LAM9 4

```

```

;host.display LAM10 4
ar.mul.lam LAM9 LAM7 LAM9 ;calcul teta1
host.display LAM9 9
conv.lam.gam.avg LAM9 GAM1
conv.gam.lam GAM1 LAM9
host.display LAM9 10
ar.mul.lam LAM10 LAM8 LAM10 ;calcul teta2
host.display LAM10 11
conv.lam.gam.avg LAM10 GAM2
conv.gam.lam GAM2 LAM10
host.display LAM10 12
;determinarea directiei de miscare
;mov.gam.gam 0 GAM1 ;right-left
;mov.gam.gam 0 GAM2 ;up-down
sc.rel.gt.gam -0.03 GAM1 GLM2
sc.rel.lt.gam 0.03 GAM1 GLM1
sc.rel.gt.gam -0.03 GAM2 GLM4
sc.rel.lt.gam 0.03 GAM2 GLM3
;subrutina de comanda a camerei video
call comcam
sc.inc.gam GAM6 ; conditia de stop
sc.rel.gt.gam GAM7 GAM6 GLM6
jumpc GLM6 foll
end:
;host.stop.frgb
;host.cam.stop
end
;Subrutina center
center:
ar.tem TEM3 LAM5 LAM5 LAM5 GAM3 -1 -1 NIL NIL;center1
ar.tem TEM4 LAM5 LAM5 LAM5 GAM3 -1 -1 NIL NIL;center2
ar.tem TEM5 LAM5 LAM5 LAM5 GAM3 -1 -1 NIL NIL;center3
ar.tem TEM6 LAM5 LAM5 LAM5 GAM3 -1 -1 NIL NIL;center4
ar.tem TEM7 LAM5 LAM5 LAM5 GAM3 -1 -1 NIL NIL;center5

```

```

ar.tem TEM8 LAM5 LAM5 LAM5 GAM3 -1 -1 NIL NIL;center6
ar.tem TEM9 LAM5 LAM5 LAM5 GAM3 -1 -1 NIL NIL;center7
ar.tem TEM10 LAM5 LAM5 LAM5 GAM3 -1 -1 NIL NIL;center8
ret
;Subrutina de comanda a camerei video
comacam:
    jumpc GLM1 conright
    jumpc GLM2 conleft
    jumpc GLM3 up
    jumpc GLM4 down
    jump contin
conright:                                ;GLM1
    jumpc GLM3 rightup                    ;GLM1,GLM3
    jumpc GLM4 rightdown                  ;GLM1,GLM4
    jump right                             ;GLM2
conleft:                                  ;GLM2
    jumpc GLM3 leftup                     ;GLM2,GLM3
    jumpc GLM4 leftdown                   ;GLM2,GLM4
    jump left                              ;GLM2
zero:
    host.cam.mov.rel 0x0000 0x0000 0x1c;zeromove
    jump contin
right:
    host.cam.mov.rel 0x0002 0x0000 0x1c;right
    jump contin
up:
    host.cam.mov.rel 0x0000 0x0002 0x1c;up
    jump contin
rightup:
    host.cam.mov.rel 0x0002 0x0002 0x1c;rightup
    jump contin
left:
    host.cam.mov.rel 0xffffd 0x0000 0x1c;left
    jump contin

```



down:

```
host.cam.mov.rel 0x0000 0xffffd 0x1c;down  
jump contin
```

leftup:

```
host.cam.mov.rel 0xffffd 0x0002 0x1c;leftup  
jump contin
```

rightdown:

```
host.cam.mov.rel 0x0002 0xffffd 0x1c;rightdown  
jump contin
```

leftdown:

```
host.cam.mov.rel 0xffffd 0xffffd 0x1c;leftdown  
jump contin
```

contin:

```
wait 200  
ret
```

## Anexa 2

```
; Program AMC pentru testarea algoritmului CNN  
;de urmarire in timp real cu o camera video  
;a unui fascicul laser in miscare
```

```
start:
```

```
    host.cam.start 2  
    host.start.frgb DT3153  
    wait 500  
    host.mov.frgb.pic LAM9 -0.5 150 60 300 300  
    wait 500  
    ;imagini binare pentru teta1 si teta 2  
    host.load.pic comt31.bmp LLM7  
    host.load.pic comt32.bmp LLM8  
    ar.not.llm LLM7 LLM7  
    ar.not.llm LLM8 LLM8  
    ;numar de cadre de imagine achizitionate  
    mov.gam.gam 1 GAM5  
    mov.gam.gam 127 GAM6
```

```
movobj:
```

```
    ;achizitionarea cu camera video  
    ;de imagini cu niveluri de gri  
    host.mov.frgb.pic LAM10 gray 150 60 300 300  
    host.display LAM10 10  
    ;achizitionarea cu camera video de imagini binare  
    host.mov.frgb.pic LLM11 -0.95 150 60 300 300  
    ;host.display LLM11 11  
    ;memorarea imaginilor achizitionate cu camera video  
    ;host.saven.pic moobj30000.bmp GAM5 LAM10  
    ar.xor.llm LLM11 LLM7 LLM15 ; calcul teta1  
    ;host.display LLM15 8  
    conv.llm.gam.cnt LLM15 GAM1
```

```

ar.xor.llm LLM11 LLM8 LLM16 ; calcul teta2
;host.display LLM16 9
conv.llm.gam.cnt LLM16 GAM2
;determinarea directiei de miscare
sc.rel.gt.gam 44990 GAM1 GLM2;45000
sc.rel.lt.gam 45010 GAM1 GLM1
sc.rel.gt.gam 44990 GAM2 GLM4
sc.rel.lt.gam 45010 GAM2 GLM3
;subrutina de comanda a camerei video
call comcam
sc.inc.gam GAM5
sc.rel.gt.gam GAM6 GAM5 GLM5
jumpc GLM5 movobj
end: host.stop.frgb
host.cam.stop
end
;Subrutina de comanda a camerei video
comacam:
jumpc GLM1 conright
jumpc GLM2 conleft
jumpc GLM3 up
jumpc GLM4 down
jump contin
conright: ;GLM1
jumpc GLM3 rightup ;GLM1, GLM3
jumpc GLM4 rightdown ;GLM1, GLM4
jump right ;GLM2
conleft: ;GLM2
jumpc GLM3 leftup ;GLM2, GLM3
jumpc GLM4 leftdown ;GLM2, GLM4
jump left ;GLM2
zero:
host.cam.mov.rel 0x0000 0x0000 0x1c;zeromove
jump contin

```

```
right:
    host.cam.mov.rel 0x0002 0x0000 0x1c;right
    jump contin

up:
    host.cam.mov.rel 0x0000 0x0002 0x1c;up
    jump contin

rightup:
    host.cam.mov.rel 0x0002 0x0002 0x1c;rightup
    jump contin

left:
    host.cam.mov.rel 0xfffd 0x0000 0x1c;left
    jump contin

down:
    host.cam.mov.rel 0x0000 0xfffd 0x1c;down
    jump contin

leftup:
    host.cam.mov.rel 0xfffd 0x0002 0x1c;leftup
    jump contin

rightdown:
    host.cam.mov.rel 0x0002 0xfffd 0x1c;rightdown
    jump contin

leftdown:
    host.cam.mov.rel 0xfffd 0xfffd 0x1c;leftdown
    jump contin

contin:
    wait 200
    ret
```

### Anexa 3

```
; Program AMC pentru testarea algoritmului CNN
;de determinare a punctului central al unui obiect
```

```
start:
```

```
    mov.gam.gam 1 GAM1
    host.load.tem filwhite.tem TEM1
    host.load.tem filblack.tem TEM2
    host.load.tem shadsimud.tem TEM3
    host.load.tem shadsimrl.tem TEM4
    ;imagine binara cu un obiect
    host.load.pic obiect3.bmp LLM4
    ;imaginea de masurare x
    host.load.pic imcantx.bmp LAM1
    ;imaginea de masurare y
    host.load.pic imcanty.bmp LAM9
    ar.nand.llm LLM4 LLM4 LLM5
    host.display LLM5 1
    host.display LAM1 2
    host.display LAM9 3
    ;determinarea axei de simetrie dupa directia x
ar.tem TEM1 LAM1 LAM1 LAM2 GAM1 zeroflux zeroflux LLM4 NIL
    host.display LAM2 4          ;imaginea cu maxim
ar.tem TEM2 LAM1 LAM1 LAM3 GAM1 zeroflux zeroflux LLM4 NIL
    host.display LAM3 5          ;imaginea cu minim
;determinarea valorii maxime si valorii minime dupa axa x
    conv.lam.gam.max LAM2 GAM1
    conv.lam.gam.max LAM2 GAM4
    sc.mul.gam 0.5 GAM4 GAM4
    conv.lam.gam.min LAM3 GAM5
    sc.mul.gam 0.5 GAM5 GAM5
    sc.add.gam GAM4 GAM5 GAM6
```

```

sc.add.gam -0.01 GAM6 GAM7
conv.gam.lam GAM7 LAM5
ar.sub.lam LAM2 LAM5 LAM6
conv.lam.llm LAM6 LLM7
host.display LLM7 6
sc.add.gam 0.01 GAM6 GAM9
conv.gam.lam GAM9 LAM7
ar.sub.lam LAM3 LAM7 LAM8
conv.lam.llm LAM8 LLM8
ar.nand.llm LLM8 LLM8 LLM20
;axa de simetrie dupa directia x
host.display LLM20 7
ar.landnot2.llm LLM7 LLM8 LLM9
host.display LLM9 8
ar.tem TEM3 LLM9 LLM9 LLM9 64 zeroflux zeroflux NIL NIL
;axa prelungita de simetrie dupa directia x
host.display LLM9 9
;determinarea axei de simetrie dupa directia y
ar.tem TEM1 LAM9 LAM9 LAM2 GAM1 zeroflux zeroflux LLM4 NIL
host.display LAM2 10 ; imaginea cu maxim
ar.tem TEM2 LAM9 LAM9 LAM3 GAM1 zeroflux zeroflux LLM4 NIL
host.display LAM3 11 ; imaginea cu minim
;determinarea valorii maxime si valorii minime dupa axa y
conv.lam.gam.max LAM2 GAM1
conv.lam.gam.max LAM2 GAM4
sc.mul.gam 0.5 GAM4 GAM4
conv.lam.gam.min LAM3 GAM5
sc.mul.gam 0.5 GAM5 GAM5
sc.add.gam GAM4 GAM5 GAM6
sc.add.gam -0.01 GAM6 GAM7
conv.gam.lam GAM7 LAM5
ar.sub.lam LAM2 LAM5 LAM6
conv.lam.llm LAM6 LLM7
host.display LLM7 12

```

```
ar.nand.llm LLM7 LLM7 LLM19
sc.add.gam 0.01 GAM6 GAM9
conv.gam.lam GAM9 LAM7
ar.sub.lam LAM3 LAM7 LAM8
conv.lam.llm LAM8 LLM8
ar.nand.llm LLM8 LLM8 LLM20
host.display LLM20 13
ar.landnot2.llm LLM7 LLM8 LLM10
;axa de simetrie dupa directia y
host.display LLM10 14
ar.tem TEM4 LLM10 LLM10 LLM10 64 zeroflux zeroflux NIL NIL
;axa prelungita de simetrie dupa directia y
host.display LLM10 15
;determinarea punctului central
ar.and.llm LLM9 LLM10 LLM11
;imaginea continand numai punctul central
;al obiectului
host.display LLM11 16
end: end
```

## Anexa 4

```
; Program AMC pentru testarea metodei CNN de interpolare  
;cu aintpoll.tem, aintpol2.tem, aintpol3.tem  
;se determina eroarea fata de imaginea originala
```

```
start:
```

```
    ;bucla pentru determinarea timpului de procesare  
    ;timpul de procesare CNN  
    ;timpul mediu de procesare completa  
mov.gam.gam 1 GAM1  
mov.gam.gam 100 GAM2  
mov.gam.gam 1 GAM3  
host.load.tem aintpoll.tem TEM1  
host.load.tem aintpol2.tem TEM2  
host.load.tem aintpol3.tem TEM3  
    ;imaginea care se interpoleaza  
host.load.pic interpol.bmp LAM1  
    ;host.load.pic aintpolgsch.bmp LAM1  
    ;imaginea originala sau ideala  
host.load.pic ideal.bmp LAM5  
    ;host.load.pic aintlens.bmp LAM5  
    ;imaginea masca  
host.load.pic mask.bmp LLM4  
    ;host.load.pic aintpolmaskgs.bmp LLM4  
host.display LAM1 1  
host.display LAM5 3  
host.display LLM4 2
```

```
cyc:
```

```
ar.tem TEM1 LAM1 LAM1 LAM2 GAM1 zeroflux zeroflux LLM4 NIL  
    host.display LAM2 4  
ar.tem TEM2 LAM1 LAM1 LAM3 GAM1 zeroflux zeroflux LLM4 NIL  
    host.display LAM3 5
```



```
ar.tem TEM3 LAM1 LAM1 LAM4 GAM1 zeroflux zeroflux LLM4 NIL
  host.display LAM4 6
  ;calculul imaginilor de eroare
  ar.sub.lam LAM5 LAM2 LAM8
  host.display LAM8 7
  ar.sub.lam LAM5 LAM3 LAM9
  host.display LAM9 8
  ar.sub.lam LAM5 LAM4 LAM10
  host.display LAM10 9
  sc.add.gam GAM1 GAM3 GAM1
  sc.rel.gt.gam GAM2 GAM1 GLM1
  jumpc GLM1 cyc
end: end
```

## Anexa 5

; Program AMC pentru testarea algoritmului CNN  
;de planificare a traiectoriei unui robot mobil,  
;la deplasarea între două puncte ale unui mediu cu  
;obstacole, pe baza principiului efectuării miscării pe o  
;direcție aleasă până se realizează apropierea de tinta.

start:

```
host.load.tem explore.tem TEM1
host.load.tem shifte.tem TEM2 ;shift est
host.load.tem shiftv.tem TEM3 ;shift vest
host.load.tem shiftn.tem TEM4 ;shift nord
host.load.tem shifts.tem TEM5 ;shift sud
host.load.tem shiften.tem TEM6;shift est-nord
host.load.tem shiftvn.tem TEM7;shift vest-nord
host.load.tem shiftes.tem TEM8;shift est-sud
host.load.tem shiftvs.tem TEM9;shift vest-sud
host.load.tem filwhite.tem TEM10
host.load.tem selecten.tem TEM11;select est-nord
host.load.tem selectes.tem TEM12; select est-sud
host.load.tem selectvn.tem TEM13; select vest-nord
host.load.tem selectvs.tem TEM14; select vest-sud
host.load.tem delen.tem TEM15 ;del nord
host.load.tem deles.tem TEM16 ;del sud
host.load.tem delvn.tem TEM17 ;del vest-nord
host.load.tem delvs.tem TEM18 ;del vest-sud
host.load.tem selecte.tem TEM22;select est
host.load.tem selects.tem TEM23;select sud
host.load.tem selectv.tem TEM24;select vest
host.load.tem selectn.tem TEM25;select nord
host.load.tem dele.tem TEM26 ;del est
host.load.tem dels.tem TEM27 ;del sud
```

```

host.load.tem delv.tem TEM28 ;del vest
host.load.tem deln.tem TEM29 ;del nord
;imaginea mediului
    host.load.pic mediu.bmp LLM1 BIN
;imaginea inversa tinta
host.load.pic tinta.bmp LLM2 BIN
;imaginea start
host.load.pic start.bmp LLM3 BIN
ar.nand.llm LLM2 LLM2 LLM4
ar.nand.llm LLM3 LLM3 LLM3
;imaginea traiectoriei planificate
mov.llm.llm LLM3 LLM6
host.display LLM1 1
ar.nand.llm LLM1 LLM1 LLM1
host.display LLM3 2
host.display LLM4 3
;evaluarea distantei pozitiei actuale fata de pozitia tinta
    ar.tem TEM1 LLM1 LLM2 LAM3 200 1 1 LLM1 NIL
    host.display LAM3 4
loop:
    ar.nand.llm LLM3 LLM3 LLM9
;Subprogram pentru evaluarea directiei optime
    call optdir
;deplasarea pe directia optima aleasa
;pana se realizeaza apropierea de tinta
estnord: ar.tem TEM11 LAM3 LLM3 LLM7 30 1 -1 NIL NIL
    ar.or.llm LLM6 LLM7 LLM6
    host.display LLM6 5
    mov.gam.gam 0 GAM9
    mov.gam.gam 30 GAM10
del_en: ar.tem TEM15 LLM3 LLM3 LLM3 1 -1 -1 LLM7 NIL
    sc.inc.gam GAM9
    sc.rel.gt.gam GAM10 GAM9 GLM2
    jumpc GLM2 del_en

```

```

        jump final
estsud: ar.tem TEM12 LAM3 LLM3 LLM7 30 1 -1 NIL NIL
        ar.or.llm LLM6 LLM7 LLM6
        host.display LLM6 5
        mov.gam.gam 0 GAM9
        mov.gam.gam 30 GAM10
del_es: ar.tem TEM16 LLM3 LLM3 LLM3 1 -1 -1 LLM7 NIL
        sc.inc.gam GAM9
        sc.rel.gt.gam GAM10 GAM9 GLM2
        jumpc GLM2 del_es
        jump final
vestnord: ar.tem TEM13 LAM3 LLM3 LLM7 30 1 -1 NIL NIL
        ar.or.llm LLM6 LLM7 LLM6
        host.display LLM6 5
        mov.gam.gam 0 GAM9
        mov.gam.gam 30 GAM10
del_vn: ar.tem TEM17 LLM3 LLM3 LLM3 1 -1 -1 LLM7 NIL
        sc.inc.gam GAM9
        sc.rel.gt.gam GAM10 GAM9 GLM2
        jumpc GLM2 del_vn
        jump final
vestsud: ar.tem TEM14 LAM3 LLM3 LLM7 30 1 -1 NIL NIL
        ar.or.llm LLM6 LLM7 LLM6
        host.display LLM6 5
        mov.gam.gam 0 GAM9
        mov.gam.gam 30 GAM10
del_vs: ar.tem TEM18 LLM3 LLM3 LLM3 1 -1 -1 LLM7 NIL
        sc.inc.gam GAM9
        sc.rel.gt.gam GAM10 GAM9 GLM2
        jumpc GLM2 del_vs
        jump final
est: ar.tem TEM22 LAM3 LLM3 LLM7 30 1 -1 NIL NIL
        ar.or.llm LLM6 LLM7 LLM6
        host.display LLM6 5

```

```

    mov.gam.gam 0 GAM9
    mov.gam.gam 30 GAM10
del_e: ar.tem TEM26 LLM3 LLM3 LLM3 1 -1 -1 LLM7 NIL
    sc.inc.gam GAM9
    sc.rel.gt.gam GAM10 GAM9 GLM2
    jumpc GLM2 del_e
    jump final
sud: ar.tem TEM23 LAM3 LLM3 LLM7 30 1 -1  NIL NIL
    ar.or.llm LLM6 LLM7 LLM6
    host.display LLM6 5
    mov.gam.gam 0 GAM9
    mov.gam.gam 30 GAM10
del_s: ar.tem TEM27 LLM3 LLM3 LLM3 1 -1 -1 LLM7 NIL
    sc.inc.gam GAM9
    sc.rel.gt.gam GAM10 GAM9 GLM2
    jumpc GLM2 del_s
    jump final
vest: ar.tem TEM24 LAM3 LLM3 LLM7 30 1 -1  NIL NIL
    ar.or.llm LLM6 LLM7 LLM6
    host.display LLM6 5
    mov.gam.gam 0 GAM9
    mov.gam.gam 30 GAM10
del_v: ar.tem TEM28 LLM3 LLM3 LLM3 1 -1 -1 LLM7 NIL
    sc.inc.gam GAM9
    sc.rel.gt.gam GAM10 GAM9 GLM2
    jumpc GLM2 del_v
    jump final
nord: ar.tem TEM25 LAM3 LLM3 LLM7 30 1 -1  NIL NIL
    ar.or.llm LLM6 LLM7 LLM6
    host.display LLM6 5
    mov.gam.gam 0 GAM9
    mov.gam.gam 30 GAM10
del_n: ar.tem TEM29 LLM3 LLM3 LLM3 1 -1 -1 LLM7 NIL
    sc.inc.gam GAM9

```

```

sc.rel.gt.gam GAM10 GAM9 GLM2
jumpc GLM2 del_n
jump final
final:
; atingerea tintei
ar.nand.llm LLM3 LLM3 LLM5
ar.xor.llm LLM5 LLM2 LLM8
host.display LLM8 6
conv.llm.lam LLM8 LAM1
conv.lam.gam.avg LAM1 GAM1
sc.rel.equ.gam -1 GAM1 GLM1
host.display LLM6 5
jumpnc GLM1 loop
end: end

;Subprogram pentru evaluarea directiei optime
optdir:
ar.tem TEM2 LLM9 LLM9 LLM4 1 1 1 NIL NIL
ar.tem TEM10 LLM4 LAM3 LAM2 1 1 1 LLM4 NIL
conv.lam.gam.max LAM2 GAM1
ar.tem TEM3 LLM9 LLM9 LLM4 1 1 1 NIL NIL
ar.tem TEM10 LLM4 LAM3 LAM2 1 1 1 LLM4 NIL
conv.lam.gam.max LAM2 GAM2
ar.tem TEM4 LLM9 LLM9 LLM4 1 1 1 NIL NIL
ar.tem TEM10 LLM4 LAM3 LAM2 1 1 1 LLM4 NIL
conv.lam.gam.max LAM2 GAM3
ar.tem TEM5 LLM9 LLM9 LLM4 1 1 1 NIL NIL
ar.tem TEM10 LLM4 LAM3 LAM2 1 1 1 LLM4 NIL
conv.lam.gam.max LAM2 GAM4
ar.tem TEM6 LLM9 LLM9 LLM4 1 1 1 NIL NIL
ar.tem TEM10 LLM4 LAM3 LAM2 1 -1 1 LLM4 NIL
conv.lam.gam.max LAM2 GAM5
ar.tem TEM7 LLM9 LLM9 LLM4 1 1 1 NIL NIL
ar.tem TEM10 LLM4 LAM3 LAM2 1 1 1 LLM4 NIL
conv.lam.gam.max LAM2 GAM6

```

ar.tem TEM8 LLM9 LLM9 LLM4 1 1 1 NIL NIL  
ar.tem TEM10 LLM4 LAM3 LAM2 1 1 1 LLM4 NIL  
conv.lam.gam.max LAM2 GAM7  
ar.tem TEM9 LLM9 LLM9 LLM4 1 1 1 NIL NIL  
ar.tem TEM10 LLM4 LAM3 LAM2 1 1 1 LLM4 NIL  
conv.lam.gam.max LAM2 GAM8

;se determina directia optima

unu: sc.rel.lt.gam GAM1 GAM2 GLM1  
jumpnc GLM1 doi  
sc.rel.lt.gam GAM1 GAM2 GLM1  
jumpnc GLM1 doi  
sc.rel.lt.gam GAM1 GAM3 GLM1  
jumpnc GLM1 trei  
sc.rel.lt.gam GAM1 GAM4 GLM1  
jumpnc GLM1 patru  
sc.rel.lt.gam GAM1 GAM5 GLM1  
jumpnc GLM1 cinci  
sc.rel.lt.gam GAM1 GAM6 GLM1  
jumpnc GLM1 sase  
sc.rel.lt.gam GAM1 GAM7 GLM1  
jumpnc GLM1 sapte  
sc.rel.lt.gam GAM1 GAM8 GLM1  
jumpnc GLM1 opt  
jump est  
doi: sc.rel.lt.gam GAM2 GAM3 GLM1  
jumpnc GLM1 trei  
sc.rel.lt.gam GAM2 GAM4 GLM1  
jumpnc GLM1 patru  
sc.rel.lt.gam GAM2 GAM5 GLM1  
jumpnc GLM1 cinci  
sc.rel.lt.gam GAM2 GAM6 GLM1  
jumpnc GLM1 sase  
sc.rel.lt.gam GAM2 GAM7 GLM1  
jumpnc GLM1 sapte

```
sc.rel.lt.gam GAM2 GAM8 GLM1
jumpnc GLM1 opt
jump vest
trei: sc.rel.lt.gam GAM3 GAM4 GLM1
jumpnc GLM1 patru
sc.rel.lt.gam GAM3 GAM5 GLM1
jumpnc GLM1 cincii
sc.rel.lt.gam GAM3 GAM6 GLM1
jumpnc GLM1 sase
sc.rel.lt.gam GAM3 GAM7 GLM1
jumpnc GLM1 sapte
sc.rel.lt.gam GAM3 GAM8 GLM1
jumpnc GLM1 opt
jump nord
patru: sc.rel.lt.gam GAM4 GAM5 GLM1
jumpnc GLM1 cincii
sc.rel.lt.gam GAM4 GAM6 GLM1
jumpnc GLM1 sase
sc.rel.lt.gam GAM4 GAM7 GLM1
jumpnc GLM1 sapte
sc.rel.lt.gam GAM4 GAM8 GLM1
jumpnc GLM1 opt
jump sud
cinci: sc.rel.lt.gam GAM5 GAM6 GLM1
jumpnc GLM1 sase
sc.rel.lt.gam GAM5 GAM7 GLM1
jumpnc GLM1 sapte
sc.rel.lt.gam GAM5 GAM8 GLM1
jumpnc GLM1 opt
jump estnord
sase: sc.rel.lt.gam GAM6 GAM7 GLM1
jumpnc GLM1 sapte
sc.rel.lt.gam GAM6 GAM8 GLM1
jumpnc GLM1 opt
```



```
    jump vestnord
sapte: sc.rel.lt.gam GAM7 GAM8 GLM1
    jumpnc GLM1 opt
    jump estsud
opt:   jump vestsud
    ret
```

## Anexa 6

```
; Program AMC pentru testarea algoritmului CNN
;de planificare a traiectoriei unui robot mobil,
;la deplasarea între doua puncte ale unui mediu cu
;obstacole, prin determinarea directiei optime
;la fiecare pas
```

```
start:
```

```
    host.load.tem explore.tem TEM1
    host.load.tem shifte.tem TEM2 ;shift est
    host.load.tem shiftv.tem TEM3 ;shift vest
    host.load.tem shiftn.tem TEM4 ;shift nord
    host.load.tem shifts.tem TEM5 ;shift sud
    host.load.tem shiften.tem TEM6;shift est-nord
    host.load.tem shiftvn.tem TEM7;shift vest-nord
    host.load.tem shiftes.tem TEM8;shift est-sud
    host.load.tem shiftvs.tem TEM9;shift vest-sud
    host.load.tem filwhite.tem TEM10
    ;imaginea mediului
    host.load.pic mediu.bmp LLM1 BIN
    ;imaginea tinta
    host.load.pic tinta.bmp LLM2 BIN
    ;imaginea start
    host.load.pic start.bmp LLM3 BIN
    ;imaginea traiectoriei planificate
    host.load.pic start.bmp LLM6 BIN
    ar.nand.llm LLM2 LLM2 LLM7
    ar.nand.llm LLM3 LLM3 LLM8
    host.display LLM1 1
    ar.nand.llm LLM1 LLM1 LLM1
    host.display LLM8 2
    host.display LLM7 3
```

```

;evaluarea distantei pozitiei actuale fata de pozitia tinta
    ar.tem TEM1 LLM1 LLM2 LAM3 200 1 1 LLM1 NIL
    host.display LAM3 4
loop:
    mov.llm.llm LLM3 LLM9
;Subprogram pentru evaluarea directiei optime
    call optdir
    ;se deplaseaza cu un pas pe directia aleasa
est:  ar.tem TEM2 LLM3 LLM3 LLM3 1 1 1 NIL NIL
    jump final
vest: ar.tem TEM3 LLM3 LLM3 LLM3 1 1 1 NIL NIL
    jump final
nord: ar.tem TEM4 LLM3 LLM3 LLM3 1 1 1 NIL NIL
    jump final
sud:  ar.tem TEM5 LLM3 LLM3 LLM3 1 1 1 NIL NIL
    jump final
estnord: ar.tem TEM6 LLM3 LLM3 LLM3 1 1 1 NIL NIL
    jump final
vestnord: ar.tem TEM7 LLM3 LLM3 LLM3 1 1 1 NIL NIL
    jump final
estsud: ar.tem TEM8 LLM3 LLM3 LLM3 1 1 1 NIL NIL
    jump final
vestsud: ar.tem TEM9 LLM3 LLM3 LLM3 1 1 1 NIL NIL
    jump final
final:
    ;atingerea tintei
    ar.xor.llm LLM3 LLM2 LLM5
    host.display LLM5 5
    conv.llm.lam LLM5 LAM4
    conv.lam.gam.avg LAM4 GAM11
    sc.rel.equ.gam -1 GAM11 GLM1
    ar.and.llm LLM6 LLM3 LLM6
    ar.nand.llm LLM6 LLM6 LLM10
    host.display LLM10 6

```

```

        jumpnc GLM1 loop
end:    end
;Subprogram pentru evaluarea directiei optime
optdir:
    ar.tem TEM2 LLM9 LLM9 LLM4 1 1 1 NIL NIL
    ar.tem TEM10 LLM4 LAM3 LAM2 1 1 1 LLM4 NIL
    conv.lam.gam.max LAM2 GAM1
    ar.tem TEM3 LLM9 LLM9 LLM4 1 1 1 NIL NIL
    ar.tem TEM10 LLM4 LAM3 LAM2 1 1 1 LLM4 NIL
    conv.lam.gam.max LAM2 GAM2
    ar.tem TEM4 LLM9 LLM9 LLM4 1 1 1 NIL NIL
    ar.tem TEM10 LLM4 LAM3 LAM2 1 1 1 LLM4 NIL
    conv.lam.gam.max LAM2 GAM3
    ar.tem TEM5 LLM9 LLM9 LLM4 1 1 1 NIL NIL
    ar.tem TEM10 LLM4 LAM3 LAM2 1 1 1 LLM4 NIL
    conv.lam.gam.max LAM2 GAM4
    ar.tem TEM6 LLM9 LLM9 LLM4 1 1 1 NIL NIL
    ar.tem TEM10 LLM4 LAM3 LAM2 1 -1 1 LLM4 NIL
    conv.lam.gam.max LAM2 GAM5
    ar.tem TEM7 LLM9 LLM9 LLM4 1 1 1 NIL NIL
    ar.tem TEM10 LLM4 LAM3 LAM2 1 1 1 LLM4 NIL
    conv.lam.gam.max LAM2 GAM6
    ar.tem TEM8 LLM9 LLM9 LLM4 1 1 1 NIL NIL
    ar.tem TEM10 LLM4 LAM3 LAM2 1 1 1 LLM4 NIL
    conv.lam.gam.max LAM2 GAM7
    ar.tem TEM9 LLM9 LLM9 LLM4 1 1 1 NIL NIL
    ar.tem TEM10 LLM4 LAM3 LAM2 1 1 1 LLM4 NIL
    conv.lam.gam.max LAM2 GAM8
    ;se determina directia optima
unu:  sc.rel.lt.gam GAM1 GAM2 GLM1
        jumpnc GLM1 doi
        sc.rel.lt.gam GAM1 GAM2 GLM1
        jumpnc GLM1 doi
        sc.rel.lt.gam GAM1 GAM3 GLM1

```

```

jumpnc GLM1 trei
sc.rel.lt.gam GAM1 GAM4 GLM1
jumpnc GLM1 patru
sc.rel.lt.gam GAM1 GAM5 GLM1
jumpnc GLM1 cincii
sc.rel.lt.gam GAM1 GAM6 GLM1
jumpnc GLM1 sase
sc.rel.lt.gam GAM1 GAM7 GLM1
jumpnc GLM1 sapte
sc.rel.lt.gam GAM1 GAM8 GLM1
jumpnc GLM1 opt
jump est
doi: sc.rel.lt.gam GAM2 GAM3 GLM1
jumpnc GLM1 trei
sc.rel.lt.gam GAM2 GAM4 GLM1
jumpnc GLM1 patru
sc.rel.lt.gam GAM2 GAM5 GLM1
jumpnc GLM1 cincii
sc.rel.lt.gam GAM2 GAM6 GLM1
jumpnc GLM1 sase
sc.rel.lt.gam GAM2 GAM7 GLM1
jumpnc GLM1 sapte
sc.rel.lt.gam GAM2 GAM8 GLM1
jumpnc GLM1 opt
jump vest
trei: sc.rel.lt.gam GAM3 GAM4 GLM1
jumpnc GLM1 patru
sc.rel.lt.gam GAM3 GAM5 GLM1
jumpnc GLM1 cincii
sc.rel.lt.gam GAM3 GAM6 GLM1
jumpnc GLM1 sase
sc.rel.lt.gam GAM3 GAM7 GLM1
jumpnc GLM1 sapte
sc.rel.lt.gam GAM3 GAM8 GLM1

```

```
    jumpnc GLM1 opt
    jump nord
patru: sc.rel.lt.gam GAM4 GAM5 GLM1
    jumpnc GLM1 cinci
    sc.rel.lt.gam GAM4 GAM6 GLM1
    jumpnc GLM1 sase
    sc.rel.lt.gam GAM4 GAM7 GLM1
    jumpnc GLM1 sapte
    sc.rel.lt.gam GAM4 GAM8 GLM1
    jumpnc GLM1 opt
    jump sud
cinci: sc.rel.lt.gam GAM5 GAM6 GLM1
    jumpnc GLM1 sase
    sc.rel.lt.gam GAM5 GAM7 GLM1
    jumpnc GLM1 sapte
    sc.rel.lt.gam GAM5 GAM8 GLM1
    jumpnc GLM1 opt
    jump estnord
sase: sc.rel.lt.gam GAM6 GAM7 GLM1
    jumpnc GLM1 sapte
    sc.rel.lt.gam GAM6 GAM8 GLM1
    jumpnc GLM1 opt
    jump vestnord
sapte: sc.rel.lt.gam GAM7 GAM8 GLM1
    jumpnc GLM1 opt
    jump estsud
opt:  jump vestsud
    ret
```

# Bibliografie

- [1] I.N. Aizemberg, N.N. Aizemberg, J. Vandewalle, "Precise edge detection: representation by Boolean functions, implementation on the CNN", Proceedings of IEEE International Workshop on Cellular Neural Networks and their Applications, (CNNA'98), pp. 301-306, London, 1998.
- [2] P.K. Allen, A. Timcenko, B. Yoshimi, P. Michelman, "Automated tracking and grasping of a moving object with a robotic hand-eye system", IEEE Transactions on Robotics and Automation, (RA), Vol. 9, pp. 152-165, 1993.
- [3] K. Bondor, T. Maghiar, S. Castrase, N.D. Trip, A. Gacsádi, "Digital measurements system for cryogenics temperatures that uses semiconductor diodes as sensors", Proceedings of the International Conference on New Trends of Signal Processing V, (NSSS 2000), Liptovsky Mikulás, pp. 215-220, 2000.
- [4] A. Cimponeriu, "Rețele neuronale local liniare pentru comanda adaptivă a roboților cu reacție vizuală", Teză de doctorat, Universitatea "Politehnica" Timișoara, 1997.
- [5] B. Chandler, C. Rekeczky, Y. Nishio, A. Ushida, "Using adaptive simulated annealing in CNN template learning - a powerful alternative to genetic algorithms", Proceedings of European Conference on Circuit Theory and Design, (ECCTD'97), pp. 655-660, Budapest, 1997.
- [6] C.C. Chang, K.T. Song, "Environment prediction for mobile robot in a dynamic environment", IEEE Transactions on Robotics and Automation, (RA), Vol.13, pp. 862-872, 1997.
- [7] L.O. Chua, L. Yang, "Cellular neural networks: Theory", IEEE Transactions on Circuits and Systems, (CAS), Vol.35, pp. 1257-1272, 1988.
- [8] L.O. Chua, L. Yang, "Cellular neural networks: Applications", IEEE Transactions on Circuits and Systems, (CAS), Vol.35, pp. 1273-1290, 1988.
- [9] L.O. Chua, T. Roska, "Stability of a class of nonreciprocal cellular neural networks", IEEE Transactions on Circuits and Systems, (CAS), Vol.37, pp. 1520-1527, 1990.
- [10] L.O. Chua, C.W. Wu, "On the universe of stable neural networks", International Journal of Circuit Theory and Applications, (CTA), Vol.20, pp. 497-517, 1992.
- [11] L.O. Chua, T. Roska, "The CNN paradigm", IEEE Transactions on Circuits and Systems I: Fundamental Theory and Applications, (CAS-I), Vol.40, pp. 147-156, 1993.
- [12] L.O. Chua, T. Roska, P.L. Venetianer, "The CNN is universal as the Turing machine", IEEE Transactions on Circuits and Systems I: Fundamental Theory and Applications, (CAS-I), Vol.40, pp. 289-291, 1993.
- [13] L.O. Chua, M. Hasler, G.S. Moschytz, J. Neiryneck, "Autonomous cellular neural network: A unified paradigm for pattern formation and active wave propagation", IEEE Transactions on Circuits and Systems I: Fundamental Theory and Applications, (CAS-I), Vol.42, pp. 559-577, 1995.

- [14] L.O. Chua, T. Roska, "Cellular Neural Networks: Foundation and Primer". Version 1.7, Lecture Notes for the course EE129 at U.C. Berkeley. 1998.
- [15] P.I. Corke, M.C. Good, "Dynamic effects in visual closed-loop systems". IEEE Transactions on Robotics and Automation, (RA), Vol. 12, pp. 671-683, 1996.
- [16] K.R. Crouse, T. Roska, L.O. Chua, "Image halftoning with cellular neural networks". IEEE Transactions on Circuits and Systems II: Analog and Digital Signal Processing, (CAS-II), Vol.40, pp. 267-283, 1993.
- [17] K.R. Crouse, L.O. Chua, "Methods for image processing and pattern formation in cellular neural networks: A tutorial". IEEE Transactions on Circuits and Systems I: Fundamental Theory and Applications, (CAS-I), Vol.42, pp. 583-601, 1995.
- [18] K.R. Crouse, L.O. Chua, "The CNN universal machine is as universal as a Turing machine". IEEE Transactions on Circuits and Systems I: Fundamental Theory and Applications, (CAS-I), Vol.43, pp. 353-355, 1996.
- [19] M. Csapodi, L. Nemes, G. Tóth, T. Roska, A. Radványi, "Some novel analogic CNN algorithms for object rotation, 3D interpolation-approximation, and a "door-in-a-floor" problem", Proceedings of the IEEE International Workshop on Cellular Neural Networks and their Applications, (CNNA'94), pp. 435-439, Rome, 1994.
- [20] M. Csapodi, J. Vandewalle, B. Preneel, "CNN algorithms for video authentication and copyright protection", Journal of VLSI Signal Processing (JVSP Special Issue), pp. 449-463, Kluwer, 1999.
- [21] R. Dominguez-Castro, S. Espejo, A. Rodriguez-Vazquez, R.A. Carmona, P. Földesy, Á. Zarándy, P. Szolgay, T. Szirányi, T. Roska. "0.8 $\mu$ m CMOS Two dimensional programmable mixed - signal focal - plane array processor with on - chip binary imaging and instructions storage", IEEE Journal of Solid State Circuits, Vol.32, pp. 1013-1026, 1997.
- [22] D. Dumitrescu, H. Costin, "Rețele neuronale. Teorie și aplicații". Editura Teora, București, 1996.
- [23] O.D. Faugeras, "Fundamentals in computer vision, an advanced course". Cambridge University Press, Cambridge, 1983.
- [24] P. Földesy, L. Kék, T. Roska, Á. Zarándy, G. Bártfai, "Fault tolerant CNN template design and optimization based on chip measurements". Proceedings of IEEE International Workshop on Cellular Neural Networks and their Applications, (CNNA'98), pp. 404-409, London, 1998.
- [25] A. Fujimori, P.N. Nikiforunk, M.M. Gupta, "Adaptive navigation of mobile robots with obstacle avoidance", IEEE Transactions on Robotics and Automation, (RA), Vol.13, pp. 596-602, 1997.
- [26] A. Gacsádi, "Aspects regarding the optimization of visual information for an industrial robot". Proceedings of the International Conference on Renewable Sources and Environmental Electro-Technologies (RSEE'96), pp. 194-199, Băile Felix, 1996.
- [27] A. Gacsádi, "Stadiul actual privind conducerea adaptivă a roboților industriali utilizând informația vizuală", Referat de doctorat-I, Universitatea "Politehnica" Timișoara, Facultatea de Electronică și Telecomunicații, Timișoara. 1998.



- [28] A. Gacsádi, "Utilizarea rețelelor neuronale la conducerea roboților industriali pe baza informației vizuale". Referat de doctorat-II, Universitatea "Politehnica" Timișoara, Facultatea de Electronică și Telecomunicații, Timișoara, 1999.
- [29] A. Gacsádi, C. Grava, "Simulation of the discrete time cellular neural network-DTCNN", Proceedings of the International Conference on Renewable Sources and Environmental Electro-Technologies (RSEE'98), pp. 99-104, Băile Felix, 1998.
- [30] A. Gacsádi, T. Roska, P. Szolgay, "An analogic CNN algorithm for following continuously moving objects". Research report, Analogical and Neural Computing Laboratory, Computer and Automation Institute, Hungarian Academy of Sciences, (DNS-7-1999), Budapest 1999.
- [31] A. Gacsádi, C. Grava, "Linear interpolation of 2D-images using cellular neural networks", Proceedings of the International Conference on New Trends of Signal Processing V, (NSSS 2000), pp. 178-183, Liptovsky Mikulás, 2000.
- [32] A. Gacsádi, P. Szolgay, "An analogic CNN algorithm for following continuously moving objects", Proceedings of the IEEE International Workshop on Cellular Neural Networks and their Applications, (CNNA 2000), pp 99-105, Catania, 2000.
- [33] A. Gacsádi, I. Turcaș, J. Vandewalle, "A CNN algorithm for determining the position of an object in an image", Technical Report, Katholieke Universiteit, ESAT-SISTA, Leuven, 2000.
- [34] A. Gacsádi, I. Turcaș, J. Vandewalle, "Binary classification using CNN", Technical Report, Katholieke Universiteit, ESAT-SISTA, Leuven, 2000.
- [35] A. Gacsádi, V. Tiponut, "Path planning for a mobile robot in an environment with obstacles using cellular neural network", Proceedings of the International Conference on Renewable Sources and Environmental Electro-Technologies (RSEE 2000), in print, Oradea, 2000.
- [36] A. Gacsádi, I. Turcaș, J. Vandewalle, "A CNN algorithm for determining the position of an object in an image", Proceedings of the International Conference on Renewable Sources and Environmental Electro-Technologies (RSEE 2000), in print, Oradea, 2000.
- [37] A. Gacsádi, T. Roska, P. Szolgay, "Interpolation of 2D signals using CNN". Research report, Analogical and Neural Computing Laboratory, Computer and Automation Institute, Hungarian Academy of Sciences. (DNS-10-2000), Budapest, 2000.
- [38] A. Gacsádi, V. Tiponut, "Path planning for a mobile robot in an environment with obstacles using cellular neural network", Simpozion National cu participare internațională, (Robotica 2000), pp. 171-176, Oradea-Băile Felix, 2000.
- [39] A. Gacsádi, P. Szolgay, "Interpolation of 2D signals using CNN", submitted to the European Conference on Circuit Theory and Design, (ECCTD'01), Espoo, 2001.
- [40] M. Ghinea, V. Firișteanu, "MATLAB Calcul numeric-grafică-aplicații", Editura Teora, București, 1995.
- [41] J. Gomez-Ortega, E.F. Camacho, J. Quero, "Neural network local navigation of mobile robots in a moving obstacles environment", Proceedings of the Intelligent

Components and Instruments for Control Applications. (SICICA-94), pp. 263-267, Budapest, 1994.

- [42] R.C. Gonzalez, R.E. Woods, "Digital image processing", Addison-Wesley Publishing Company, 1993.
- [43] G. Grassi, G. Acciani, "Heteroassociative memories via globally asymptotically stable discrete-time cellular neural networks", Proceedings of the IEEE International Workshop on Cellular Neural Networks and their Applications, (CNNA 2000), pp. 141-145, Catania, 2000.
- [44] C. Grava, A. Gacsádi, "Enlargement and interpolation of 2D signals using Cellular Neural Network", Proceedings of the International Conference on Engineering of Modern Electric Systems (EMES'99), pp. 183-188, Băile Felix, 1999.
- [45] W.E.L. Grimson, "From images to surfaces - A Computational study of the human early visual system", The MIT Press, Cambridge/Massachusetts/London, 1981.
- [46] W.E.L. Grimson, "An implementation of a computational theory of visual surface interpolation", Computer Vision, Graphics and Image Processing 22, pp. 39-69, 1983.
- [47] H. Harrer, J. Nossek, "Discrete-time cellular neural networks". International Journal of Circuit Theory and Applications, (CTA), Vol. 20, pp. 453-467, 1992.
- [48] H. Harrer, "Multiple-layer discrete-time cellular neural networks using time-variant templates", IEEE Transactions on Circuits and Systems II: Analog and Digital Signal Processing, (CAS-II), Vol.40, pp. 191-199, 1993.
- [49] H. Harrer, P.L. Venetianer, J.A. Nossek, T. Roska, L.O. Chua. "Some examples of preprocessing analog images with discrete-time cellular neural networks". Proceedings of the IEEE International Workshop on Cellular Neural Networks and their Applications, (CNNA'94), pp. 201-206, Rome, 1994.
- [50] K. Hashimoto, T. Ebine, H. Kimura, "Visual servoing with hand-eye manipulator-optimal control approach", IEEE Transactions on Robotics and Automation, (RA), Vol. 12, pp. 766-744, 1996.
- [51] J.A. Hertz, A. Krogh, R.G. Palmer, "Introduction to the theory of neural computation", Addison-Wesley Publishing Company, 1991.
- [52] G. Horváth, "Neurális hálózatok és műszaki alkalmazásai", Műegyetemi Kiadó, Budapest, 1998.
- [53] H. Hu, M. Brady, "Dynamic global path planning with uncertainty for mobile robots in manufacturing", IEEE Transactions on Robotics and Automation, (RA), Vol.13, pp. 760-766, 1997.
- [54] S. Hutchinson, G.D. Hager, P.I. Corke, "A tutorial on visual servo control". IEEE Transactions on Robotics and Automation, (RA), Vol. 12, pp. 651-670, 1996.
- [55] A.K. Jain, "Fundamentals of digital image processing", Prentice-Hall Englewood Cliffs, 1989.
- [56] M. Kanaya, M. Tanaka, "Robot multi-driving controls by cellular neural networks", Proceedings of the IEEE International Workshop on Cellular Neural Networks and their Applications, (CNNA'94), pp. 481-486, Rome, 1994.

- [57] P. Keresztes, T. Bezák, Á. Zarándy, T. Roska, P. Szolgay, T. Hídvégi, P. Jónás, A. Katona, "Design methodology of an emulated digital CNNUM chip", Proceedings of the International Conference on Engineering of Modern Electric Systems (EMES'99), pp. 208-216, Băile Felix, 1999.
- [58] R. Kelly, "Robust asymptotically stable visual servoing of planar robots", IEEE Transactions on Robotics and Automation, (RA), Vol. 12, pp. 759-766, 1996.
- [59] L. Kék, Á. Zarándy, "Implementation of large neighborhood nonlinear templates on the CNN Universal Machine", International Journal of Circuit Theory and Applications - Special Issue: Theory, Design and Applications of Cellular Neural Networks: Part I: Theory, (CTA Special Issue - I), Vol.26, pp. 551-566, 1998.
- [60] Z. Kis, P. Szolgay, "Real-time adaptive control of robot manipulators using cellular neural networks", Proceedings of European Conference on Circuit Theory and Design, (ECCTD'97), pp. 628-633, Budapest, 1997.
- [61] T. Kozek, T. Roska, L. O. Chua, "Genetic algorithm for CNN template learning", IEEE Transactions on Circuits and Systems I: Fundamental Theory and Applications, (CAS-I), Vol.35, pp. 392-402, 1993.
- [62] T. Kozek, T. Roska, "A double time-scale CNN for solving two-dimensional Navier-Stokes equations", International Journal of Circuit Theory and Applications, (CTA), Vol 24, pp. 49-55, 1996.
- [63] T. Kozek, C.W. Wu, Á. Zarándy, H. Chen, T. Roska, M. Kunt, L.O. Chua, "New results and measurements related to some tasks in object-oriented dynamic image coding using CNN universal chip", IEEE Transactions on Circuits and Systems for Video Technology, Vol.7, pp. 606-613, 1997.
- [64] P. Kostic, B. Reljin, I. Reljin, "Cellular neural network for trajectory tracking and predicting", Proceedings of European Conference on Circuit Theory and Design, (ECCTD'99), pp. 956-959, Stresa, 1999.
- [65] J.C. Latombe, "Robot motion planning". Kluwer Academic Publishers, Boston/Dordrecht/London, 1991.
- [66] K. László, F. Ziliani, T. Roska, M. Kunt, "Early segmentation in video compression using CNN processors", Proceedings of IEEE International Workshop on Cellular Neural Networks and their Applications, (CNNA'98), pp. 175-180, London, 1998.
- [67] F.L. Lewis, K. Liu, A. Yesildirek, "Neural net robot controller with guaranteed tracking performance", IEEE Transactions on Neural networks, Vol. 6, pp. 703-715, 1995.
- [68] G. Linan, S. Espejo, R. Dominguez-Castro, E. Roca, A. Rodriguez-Vazquez, "CNNUC3: A mixed-signal 64x64 CNN Universal Chip", Proceedings of the International Conference on Microelectronics for Neural, Fuzzy and Bio-inspired Systems, (MicroNeuro99), pp. 61-68, Granada, 1999.
- [69] F. Luthon, D. Dragomirescu, "A Cellular analog network for MRF-based video motion detection", IEEE Transactions on Circuits and Systems I: Special Issue on Bio-Inspired Processors and Cellular Neural Networks for Vision, (CAS-I Special Issue), Vol. 46, pp. 281-293, 1999.
- [70] E. Malis, F. Chaumette, S. Boudet, "2-1/2-D visual servoing", IEEE Transactions on Robotics and Automation, (RA), Vol. 15, pp. 238-250, 1999.

- [71] T. Matsumoto, T. Yokohama, H. Suzuki, R. Furukawa, A. Oshimito, T. Shimmi, Y. Matsushita, T. Seo, L.O. Chua, "Several image processing examples by CNN", Proceedings of IEEE International Workshop on Cellular Neural Networks and their Applications, (CNNA'90), pp. 100-111, Budapest, 1990.
- [72] M. Meng, S.X. Yang, "A neural network approach to real-time trajectory generation", Proceedings of the IEEE International Conference on Robotics and Automation, pp. 1725-1730, Leuven, 1998.
- [73] W.T. Miller, R.P. Hewes, F.H. Glanz, L.G. Kraft, "Real-time dynamic control of an industrial manipulator using a neural-network-based learning controller", IEEE Transactions on Robotics and Automation, (RA), Vol. 6, pp. 1-9, 1990.
- [74] B. Mirzai, D. Lim, G.S. Moschytz, "Applications of CNN processing by template decomposition", Proceedings of IEEE International Workshop on Cellular Neural Networks and their Applications, (CNNA'98), pp. 379-384, London, 1998.
- [75] B.J. Nelson, P.K. Khsola, "Force and vision resolvability for assimilating disparate sensory feedback", IEEE Transactions on Robotics and Automation, (RA), Vol. 12, pp. 714-731, 1996.
- [76] J.A. Nossek, G. Seiler, T. Roska, L.O. Chua, "Cellular neural networks: Theory and circuit design", International Journal of Circuit Theory and Applications, (CTA), Vol. 20, pp. 533-553, 1992.
- [77] J.A. Nossek, "Design and learning with cellular neural networks", Proceedings of IEEE International Workshop on Cellular Neural Networks and their Applications, (CNNA'94), pp.137-146, Rome, 1994.
- [78] A. Paasio, A. Kananen, K. Halonen, V. Porra, "A 48 by 48 CNN chip operating with B/W images", Proceedings of IEEE International Conference on Electronics, Circuits and systems, (ICECS'98), pp. 191-194, Lisboa, 1998.
- [79] A. Paasio, A. Kananen, V. Porra, "A 176 x 144 processor binary I/O CNN-UM chip design", Proceedings of European Conference on Circuit Theory and Design, Design Automation Day, (ECCTD'99-DAD), pp. 941-944, Stresa, 1999.
- [80] N.P. Papanikolopoulos, P.K. Khosla, T. Kanade, "Visual tracking of a moving target by a camera mounted on a robot: a combination of control and vision", IEEE Transactions on Robotics and Automation, (RA), Vol. 9, pp. 14-35, 1993.
- [81] P.R. Paul, "Robot manipulators: mathematics, programming, and control. The computer control of robot manipulators", MIT Press, Cambridge/Massachusetts/London, 1982.
- [82] D. Pomerleau, "A neural network perception for mobile robot guidance", Kluwer Academic Publishers, Boston/Dordrecht/London, 1993.
- [83] E. Pop, I. Naforniță, V. Tiponuț, A. Mihăescu, L. Toma, " Metode în prelucrarea numerică a semnalelor", Editura Facla, Timișoara, Vol. I-1986, Vol. II-1989.
- [84] A. Radványi, T. Kozek, L.O. Chua, "A CNN solution for Depth estimation from binocular stereo imagery", Proceedings of IEEE International Workshop on Cellular Neural Networks and their Applications, (CNNA'98), pp. 218-223, London, 1998.

- [85] C. Rekeczky, "MATCNN-Analogic CNN Simulation toolbox for MATLAB", Version 1.0, Analogical and Neural Computing Laboratory, Computer and Automation Institute, Hungarian Academy of Science, Budapest, 1997.
- [86] C. Rekeczky, "Active contour and skeleton models in continuous-time CNN", Proceedings of European Conference on Circuit Theory and Design, (ECCTD'99), pp. 1015-1018, Stresa, 1999.
- [87] T. Roska, L.O. Chua, "The CNN Universal Machine: An analogic array computer", IEEE Transactions on Circuits and Systems II: Analog and Digital Signal Processing, (CAS-II), Vol.40, pp. 163-173, 1993.
- [88] T. Roska, L.O. Chua, "Cellular neural networks with non-linear and delay-type template elements and non-uniform grids", International Journal of Circuit Theory and Applications, (CTA), Vol. 20, pp. 469-481, 1992.
- [89] T. Roska, T. Boros, A. Radványi, "Detecting moving and standing objects using cellular neural networks", International Journal of Circuit Theory and Applications, (CTA), Vol. 20, pp. 613-628, 1992.
- [90] T. Roska, J. Hámori, E. Lábos, K. Lotz, L. Orzó, J. Takács, P.L. Venetianer, Z. Vidnyánszky, Á. Zarándy, "The use of CNN models in the subcortical visual pathway", IEEE Transactions on Circuits and Systems I: Fundamental Theory and Applications, (CAS-I), Vol.40, pp.182-195, 1993.
- [91] T. Roska, L.O. Chua, D. Wolf, T. Kozek, R. Tetzlaff, F. Puffer, "Simulating nonlinear waves and partial differential equations via CNN-part I: Basic techniques", IEEE Transactions on Circuits and Systems I: Fundamental Theory and Applications, (CAS-I), Vol.42, pp. 807-815, 1995.
- [92] T. Roska, "Analogic CNN computing: architectural, implementation, and algorithmic advances - a review", Proceedings of IEEE International Workshop on Cellular Neural Networks and their Applications, (CNNA'98), pp. 3-10, London, 1998.
- [93] A. Schultz, C. Rekeczky, I. Szatmári, T. Roska, L.O. Chua, "Spatio-temporal CNN algorithm for object segmentation and object recognition", Proceedings of IEEE International Workshop on Cellular Neural Networks and their Applications, (CNNA'98), pp. 347-352, London, 1998.
- [94] B. Siemiątkowska, "Cellular neural network for mobile robot navigation", Proceedings of the IEEE International Workshop on Cellular Neural Networks and their Applications, (CNNA'94), pp. 285-290, Rome, 1994.
- [95] B.E. Shi, "Gabor-type filtering in space and time with cellular neural networks", IEEE Transactions on Circuits and Systems I: Fundamental Theory and Applications, (CAS-I), Vol.45, pp. 121-132, 1998.
- [96] I. Simionescu, M. Dranga, V. Moise, "Metode numerice în tehnică", Editura Tehnică, București, 1995.
- [97] K. Slot, "Determination of cellular neural networks parameters for feature detection of two-dimensional images", Proceedings of IEEE International Workshop on Cellular Neural Networks and their Applications, (CNNA'90), pp. 73-81, Budapest, 1990.
- [98] A. Stoffels, T. Roska, L.O. Chua, "An object-oriented approach to video coding via the CNN Universal Machine", Proceedings of IEEE International Workshop

on Cellular Neural Networks and their Applications, (CNNA'96), pp. 13-18, Sevilla, 1996.

- [99] P. Szolgay, A. Katona, Á. Kiss, L. Székely, A. Veress, "An optical robot path tracking system", *Toward the Visual Microprocessor - VLSI Design and Use of Cellular Network Universale Machines (Toward the Visual Microprocessor)*, John Wiley and Sons, 1997.
- [100] P. Szolgay, K. Tömördi, "Analogic algorithms for optical detection of breaks and short circuits on the layouts of printed circuits boards using CNN", *International Journal of Circuit Theory and Applications - Special Issue: Theory, Design and Applications of Cellular Neural Networks: Part II: Design and Applications, (CTA Special Issue - II)*, Vol.27, pp. 103-116, 1999.
- [101] S. Tan, J. Hao, J. Vandewalle, "Cellular neural networks as a model of associative memories", *Proceedings of IEEE International Workshop on Cellular Neural Networks and their Applications, (CNNA'90)*, pp. 26-35, Budapest, 1990.
- [102] D. Terzopoulos, "Multilevel computational processes for visual surface reconstruction", *Computer Vision, Graphics and Image Processing* 24, pp. 52-95, 1983.
- [103] R. Tetzlaff, R. Kunz, C. Ames, D. Wolf, "Analysis of brain electrical activity in epilepsy with cellular neural network", *Proceedings of European Conference on Circuit Theory and Design, (ECCTD'99)*, pp. 1007-1010, Stresa, 1999.
- [104] V. Tiponuş "Reţele neuronale", Note de curs, Universitatea "Politehnica" Timişoara, Facultatea de Electronică şi Telecomunicaţii, Timişoara, 1994.
- [105] G. Toderan, M. Coşteiu, M. Giurgiu, "Reţele neuronale", Editura Microinformatica, Cluj-Napoca, 1994.
- [106] P.G. Tzionas, A. Thanailakis, P.G. Tsalides, "Collision-free path planning for a diamond-shaped robot using two-dimensional cellular automata", *IEEE Transactions on Robotics and Automation, (RA)*, Vol.13, pp. 237-250, 1997.
- [107] C. Venaille, G. Wells, C. Torras, "Application of neural networks to image-based control of robot arms", *Proceedings of the Intelligent Components and Instruments for Control Applications, (SICICA-94)*, pp. 281-285, Budapest, 1994.
- [108] P.L. Venetianer, F. Werblin, T. Roska, L.O. Chua, "Analogic CNN algorithms for some image compression and restoration tasks", *IEEE Transactions on Circuits and Systems I: Fundamental Theory and Applications, (CAS-I)*, Vol.42, pp. 278-284, 1995.
- [109] P.L. Venetianer, P. Szolgay, K.R. Crouse, T. Roska, L.O. Chua, "Analogue combinatorics and cellular automata - key algorithms and layout design", *International Journal of Circuit Theory and Applications, (CTA)*, Vol. 24, pp. 145-164, 1996.
- [110] L.E. Weiss, A.C. Sanderson, C.P. Neuman, "Dynamic sensor-based control of robots with visual feedback", *IEEE Transactions on Robotics and Automation, (RA)*, Vol. 3, pp. 404-417, 1987.
- [111] F. Werblin, T. Roska, L.O. Chua, "The analogic cellular neural network as a bionic eye", *International Journal of Circuit Theory and Applications, (CTA)*, Vol.23, pp. 541-569, 1995.

- [112] W.J. Wilson, C.C. Williams Hulls, G.S. Bell, "Relative end-effector control using cartesian position based visual servoing", IEEE Transactions on Robotics and Automation, (RA), Vol. 12, pp. 684-696, 1996.
- [113] L.B. Yang, T. Yang, B.S. Chen, "Moving point target detection using cellular neural networks". Proceedings of the IEEE International Workshop on Cellular Neural Networks and their Applications, (CNNA'94), pp. 445-450. Rome, 1994.
- [114] X. Yang, T. Yang, L.B. Yang, "Extracting focused object from defocused background using cellular neural networks". Proceedings of the IEEE International Workshop on Cellular Neural Networks and their Applications, (CNNA'94), pp. 451-456, Rome, 1994.
- [115] S.X. Yang, M. Meng, "An efficient neural network approach to dynamic robot motion planning". Neural Networks, Vol. 13, pp. 143-148, 2000.
- [116] A. Zanela, S.Taraglio, "A Robustness study of a CNN based stereo vision algorithm". Proceedings of IEEE International Workshop on Cellular Neural Networks and their Applications, (CNNA'98), pp. 325-330, London, 1998.
- [117] Á. Zarándy, F. Werblin, T. Roska, L.O. Chua, "Novel types of analogic CNN algorithms for recognizing bank-notes", Proceedings of the IEEE International Workshop on Cellular Neural Networks and their Applications, (CNNA'94), pp. 273-278, Rome, 1994.
- [118] Á. Zarándy, T. Roska, "CNN template design strategies and fault tolerant CNN template design - a survey". Proceedings European Conference on Circuit Theory and Design, Design Automation Day, (ECCTD'97-DAD), pp. 178-197, Budapest, 1997.
- [119] Á. Zarándy, E. Grawes, T. Roska, F. Werblin, L.O. Chua, "CNN model for identifying colors under different illumination conditions via Land's experiments", Proceedings of IEEE International Workshop on Cellular Neural Networks and their Applications, (CNNA'96), pp. 163-168, Seville, 1996.
- [120] Á. Zarándy, A. Stoffels, T. Roska, L.O. Chua, "Morphological operators on the CNN Universal Machine", Proceedings of IEEE International Workshop on Cellular Neural Networks and their Applications, (CNNA'96), pp. 151-156, Seville, 1996.
- [121] Á. Zarándy, T. Roska, F. Werblin, L.O. Chua, "Intelligent image resolution enhancement by the CNN Universal Machine and its relevance to TV picture enhancement", Proceedings of the International Symposium on Nonlinear Theory and Applications, (NOLTA'95), pp.701-706, Las Vegas, 1995.
- [122] H. Zhuang, K. Wang, Z.S. Roth, "Simultaneous calibration of a robot and a hand-mounted camera", IEEE Transactions on Robotics and Automation, (RA), Vol. 11, pp. 649-660, 1995.
- [123] \*\*\* "CadetWin-99, CNN application development environment and toolkit under Windows" Version 3.0, Analogical and Neural Computing Laboratory, Computer and Automation Institute, Hungarian Academy of Science, Budapest, 1999.
- [124] \*\*\* "CadetWin-99, VisMouse-SimCNN, Visual mouse platform and multi-layer CNN simulator", User's guide, Version 3.0, Analogical and Neural Computing Laboratory, Computer and Automation Institute, Hungarian Academy of Sciences, Budapest, 1999.

- [125] \*\*\* "C S L-CNN Software Library (Templates and Algorithms)". Version 7.3. Analogical and Neural Computing Laboratory, Computer and Automation Institute, Hungarian Academy of Sciences, Budapest, 1999.
- [126] \*\*\* "CadetWin-99. TemMaster. Template design and optimization tool for binary input-output CNNs", User's guide, Version 3.0. Analogical and Neural Computing Laboratory, Computer and Automation Institute, Hungarian Academy of Sciences, Budapest, 1999.
- [127] \*\*\* "CadetWin-99. VisMouse-CNN visual mouse software platform for Windows". Reference manual. Version 3.0. Analogical and Neural Computing Laboratory, Computer and Automation Institute, Hungarian Academy of Sciences, Budapest, 1999.
- [128] \*\*\* "CadetWin-99. SimCNN-Multi-layer CNN simulator for visual mouse platform". Reference Manual, Version 3.0, Analogical and Neural Computing Laboratory, Computer and Automation Institute, Hungarian Academy of Sciences, Budapest, 1999.
- [129] \*\*\* "CadetWin-99, CNN Alpha language and compiler". Reference Manual, Version 3.0, Analogical and Neural Computing Laboratory, Computer and Automation Institute, Hungarian Academy of Sciences, Budapest, 1999.
- [130] \*\*\* "CadetwWin-99, Extended analogic macro code (AMC) and interpreter", Reference Manual. Version 3.0, Analogical and Neural Computing Laboratory, Computer and Automation Institute, Hungarian Academy of Sciences, Budapest, 1999.
- [131] \*\*\* "CCPS, CNN chip prototyping system", User's Guide. Analogical and Neural Computing Laboratory, Computer and Automation Institute, Hungarian Academy of Sciences, Budapest, 1997.
- [132] \*\*\* EVI-D31 Sony, Intelligent communications color video camera, User's Guide, 1997.